

প্রাককথন

নেতাজি সুভাষ মুক্ত বিশ্ববিদ্যালয়ের স্নাতক শ্রেণির জন্য যে পাঠক্রম প্রবর্তিত হয়েছে, তার লক্ষণীয় বৈশিষ্ট্য হল প্রতিটি শিক্ষার্থীকে তাঁর পছন্দমতো কোনো বিষয়ে সাম্মানিক (honours) স্তরে শিক্ষাগ্রহণের সুযোগ করে দেওয়া। এ-ক্ষেত্রে ব্যক্তিগতভাবে তাঁদের গ্রহণ ক্ষমতা আগে থেকেই অনুমান করে না নিয়ে নিয়ত মূল্যায়নের মধ্য দিয়ে সেটা স্থির করাই যুক্তিযুক্ত। সেই অনুযায়ী একাধিক বিষয়ে সাম্মানিক মানের পাঠ-উপকরণ রচিত হয়েছে ও হচ্ছে—যার মূল কাঠামো স্থিরীকৃত হয়েছে একটি সুচিন্তিত পাঠক্রমের ভিত্তিতে। কেন্দ্র ও রাজ্যের অগ্রগণ্য বিশ্ববিদ্যালয়সমূহের পাঠক্রম অনুসরণ করে তার আদর্শ উপকরণগুলির সমন্বয়ে রচিত হয়েছে এই পাঠক্রম। সেইসঙ্গে যুক্ত হয়েছে অধ্যৈতব্য বিষয়ে নতুন তথ্য, মনন ও বিশ্লেষণের সমাবেশ।

দূর-সঞ্চারী শিক্ষাদানের স্বীকৃতি পদ্ধতি অনুসরণ করেই এইসব পাঠ-উপকরণ লেখার কাজ চলছে। বিভিন্ন বিষয়ের অভিজ্ঞ পণ্ডিতমণ্ডলীর সাহায্য এ-কাজে অপরিহার্য এবং যাঁদের নিরলস পরিশ্রমে লেখা, সম্পাদনা তথা বিন্যাসকর্ম সুসম্পন্ন হচ্ছে তাঁরা সকলেই ধন্যবাদের পাত্র। আসলে, এঁরা সকলেই অলক্ষ্যে থেকে দূর-সঞ্চারী শিক্ষাদানের কার্যক্রমে অংশ নিচ্ছেন; যখনই কোনো শিক্ষার্থী এই পাঠ্যবস্তুনিচয়ের সাহায্য নেবেন, তখনই তিনি কার্যত একাধিক শিক্ষকমণ্ডলীর পরোক্ষ অধ্যাপনার তাবৎ সুবিধা পেয়ে যাচ্ছেন।

এইসব পাঠ-উপকরণের চর্চা ও অনুশীলনে যতটা মনোনিবেশ করবেন কোনো শিক্ষার্থী, বিষয়ের গভীরে যাওয়া তাঁর পক্ষে ততই সহজ হবে। বিষয়বস্তু যাতে নিজের চেষ্ঠায় অধিগত হয়, পাঠ-উপকরণের ভাষা ও উপস্থাপনা তার উপযোগী করার দিকে সর্বস্তরে নজর রাখা হয়েছে। এর পর যেখানে যতটুকু অস্পষ্টতা দেখা দেবে, বিশ্ববিদ্যালয়ের বিভিন্ন পাঠকেন্দ্রে নিযুক্ত শিক্ষা-সহায়কগণের পরামর্শে তার নিরসন অবশ্যই হতে পারবে। তার ওপর প্রতি পর্যায়ের শেষে প্রদত্ত অনুশীলনী ও অতিরিক্ত জ্ঞান অর্জনের জন্য গ্রন্থ-নির্দেশ শিক্ষার্থীর গ্রহণ ক্ষমতা ও চিন্তাশীলতা বৃদ্ধির সহায়ক হবে।

এই অভিনব আয়োজনের বেশ কিছু প্রয়াসই এখনও পরীক্ষামূলক—অনেক ক্ষেত্রে একেবারে প্রথম পদক্ষেপ। স্বভাবতই ত্রুটি-বিচ্যুতি কিছু কিছু থাকতে পারে, যা অবশ্যই সংশোধন ও পরিমার্জনার অপেক্ষা রাখে। সাধারণভাবে আশা করা যায়, ব্যাপকতর ব্যবহারের মধ্য দিয়ে পাঠ-উপকরণগুলি সর্বত্র সমাদৃত হবে।

অধ্যাপক (ড.) শূভ শঙ্কর সরকার
উপাচার্য

পুনর্মুদ্রণ ঃ নভেম্বর, 2016

বিশ্ববিদ্যালয় মঞ্জুরি কমিশনের দূরশিক্ষা ব্যুরোর বিধি অনুযায়ী ও অর্থানুকূলে মুদ্রিত।

Printed in accordance with the regulations and financial assistance of the
Distance Education Bureau of the University Grants Commission.

পরিচিতি

বিষয় : রসায়নবিদ্যা

সাম্মানিক স্তর

পাঠক্রম : পর্যায় : ECH 01 : 02

	রচনা	সম্পাদনা
একক 6	ড. মনতোষ দাশগুপ্ত	অধ্যাপক অশোক চৌধুরী
একক 7	ঐ	ঐ
একক 8	ড. পার্থ সেন	ড. মনতোষ দাশগুপ্ত
একক 9	ঐ	ঐ
একক 10	ড. মনতোষ দাশগুপ্ত	অধ্যাপক অশোক চৌধুরী

প্রজ্ঞাপন

এই পাঠ-সংকলনের সমুদয় স্বত্ব নেতাজি সুভাষ মুক্ত বিশ্ববিদ্যালয়ের দ্বারা সংরক্ষিত। বিশ্ববিদ্যালয় কর্তৃপক্ষের লিখিত অনুমতি ছাড়া এর কোনও অংশের পুনর্মুদ্রণ বা কোনওভাবে উদ্ধৃতি সম্পূর্ণ নিষিদ্ধ।

মোহন কুমার চট্টোপাধ্যায়
নিবন্ধক



নেতাজি সুভাষ মুক্ত বিশ্ববিদ্যালয়

ECH 01

সাধারণ রসায়ন

(স্নাতক পাঠক্রম)

পর্যায়

2

একক 6	আণব প্রতিসরণ, আলোক-সক্রিয়তা	7-26
একক 7	দ্বিমেরু ভ্রামক	27-53
একক 8	আণব বর্ণালি ও পদার্থের গঠন	54-110
একক 9	রামন বর্ণালি ও পদার্থের গঠন	111-128
একক 10	কেন্দ্রকীয় রসায়ন	129-192

একক ৬ □ আণব প্রতিসরণ, আলোক-সক্রিয়তা

গঠন

- 6.1 প্রস্তাবনা ও উদ্দেশ্য
- 6.2 আণব প্রতিসরণ
 - 6.2.1 যুত ও গঠনগত ধর্ম
 - 6.2.2 প্রয়োগ
 - 6.2.3 ব্যতিক্রান্ত ফল
 - 6.2.4 প্রতিসরক মাপন : পুল ফ্রিশ প্রতিসরমাপক
 - 6.2.5 প্রতিসরণীয় বিচ্ছুরণ
 - 6.2.6 রেফ্যারকোর
- 6.3 আলোক-সক্রিয়তা
 - 6.3.1 সমতল সমবর্তিত আলোক
 - 6.3.2 আলোক-সক্রিয়তার প্রকৃতি
 - 6.3.3 দক্ষিণ ও বাম-আবর্তী আলোক-সক্রিয় পদার্থ সমূহ
 - 6.3.4 আবর্তন কোণ পরিমাপন
 - 6.3.5 আলোক-সক্রিতার পরিমাণ নিয়ন্ত্রক উপাদানসমূহ
 - 6.3.6 আপেক্ষিক ও আণব আবর্তন
 - 6.3.7 রাসায়নিক গঠন ও আলোক-সক্রিয়তা
 - 6.3.8 আলোক-সক্রিয় উপর্যুগাতের নীতি।
 - 6.3.9 আলোক-সক্রিয় বিচ্ছুরণ
- 6.4 সারাংশ
- 6.5 প্রাস্তিক-প্রশ্নাবলি
- 6.6 উত্তরমালা
- 6.7 গ্রন্থপঞ্জী।

6.1 প্রস্তাবনা ও উদ্দেশ্য

প্রস্তাবনা

অণুর গঠন—তাদের আকার (Size), আকৃতি (shape), পরমাণুগুলির সজ্জা (array), ত্রিমাত্রিক বিন্যাস (distribution)-বর্তমানে সুবেদী যন্ত্রের সাহায্যে সূক্ষ্ম ভৌত পদ্ধতিতে নির্ণয় করা সম্ভব। ECH 0-6 পাঠ্যাংশের প্রথম পর্যায়ের একক 5-এ আপনারা দেখেছেন কীভাবে ইলেক্ট্রন ও রঞ্জন রশ্মির ব্যতিচার (diffraction) অণুসরণ করে কেলাসের পরমাণুসমূহের বিন্যাস ও আন্তর্গারমাণবিক দূরত্ব নির্ণয় করা সম্ভব। বর্তমান অধ্যায়ে আমরা আরও দুটি রূপ ভৌত পদ্ধতির আলোচনা করব, দেখব কীভাবে আণবিক গঠন নির্ণয়ে এদের প্রয়োগ করা যায়। তবে একটা কথা মনে রাখবেন, সঠিকতম গঠন নির্ণয়ের জন্য একাধিক পদ্ধতির প্রয়োগের মাধ্যমে অণুপুঙ্খ বিশ্লেষণ প্রয়োজন। নতুবা আপাত বিরোধী সিদ্ধান্তে উপনীত হবার সম্ভাবনা থাকে।

উদ্দেশ্য

এই অধ্যায়টি সম্যক পাঠ ও আলোচনা করে আপনারা

- আণব প্রতিসরণ ও আলোক সক্রিয়তা সম্বন্ধে ধারণা পাবেন।
- কীভাবে এরা নির্ণীত হয়, তাও জানতে পারবেন।
- দেখবেন ও জানবেন কীভাবে এদের প্রয়োগ করে কোন অণুর অভ্যন্তরীণ গঠন সম্বন্ধে ধারণা পাওয়া যায়।
- আপনারা নতুন এক ধরনের ধর্মের এক ধরনের ধর্মের কথা জানতে পারবেন, এর অভিধা যুত ধর্ম (additive property)।
- 'অপ্রতিসম' কার্বন বলতে কী বোঝায়, তা জানবেন। আরও বুঝবেন যে এই 'অপ্রতিসম কার্বন' পরমাণু কথটা ঠিক নয়।
- ফন্ট হক ও লা বেল-এর আবিষ্কার সম্বন্ধে অবহিত হবেন। আশ্চর্যের কথা এই আবিষ্কারের সময় ফন্ট হকের বয়স ছিল মাত্র আঠারো।
- আলোক-সক্রিয় উপর্যুগাত ও আলোক-সক্রিয় বিচ্ছুরণ সম্বন্ধে ধারণা পাবেন।

6.2 আণব প্রতিসরণ (Molar Refraction)

আলোকের প্রতিসরণের ক্ষেত্রে স্নেল-এর সূত্র আপনারা জানেন, এ প্রসঙ্গে আলোক মাধ্যমের প্রতিসরাঙ্ক সম্বন্ধেও আপনাদের স্পষ্ট ধারণা হয়েছে। পরবর্তী কালে আলোকের প্রকৃতি ব্যাখ্যা প্রসঙ্গে ম্যাক্সওয়েল (Maxwell, 1880) তড়িচ্চুম্বকীয় তত্ত্ব দেন। তা থেকে লোরেন্জ (Lorenz) ও লোরেন্জ (Lorentz) স্বাধীনভাবে মাধ্যমের ঘনত্ব (d) ও প্রতিসরাঙ্ক (n) মধ্যে নিচের সম্পর্কটি প্রতিষ্ঠা করেন :

$$\frac{n^2-1}{n^2+2} \cdot \frac{1}{d} = R_s$$

R_s -কে পদার্থটির আপেক্ষিক প্রতিসরণ (specific refraction) বা আণব প্রতিসরাংক (molar refractivity) বলে; এটি তাপমাত্রা নিরপেক্ষ, কিন্তু ব্যবহৃত আলোকের তরঙ্গদৈর্ঘ্যের উপর নির্ভরশীল (কারণ n -এর মান তরঙ্গদৈর্ঘ্যের উপর নির্ভর করে)। লক্ষ্য করা গেছে যে তরল ও গ্যাসীয় অবস্থায় কোন পদার্থের আণব প্রতিসরণের মান প্রায় অভিন্ন।

আপেক্ষিক প্রতিসরণকে পদার্থের আণবিক ওজন দিয়ে গুণ করলে পাওয়া যায় আণব প্রতিসরণ (R_M)

$$R_M = R_s \times M \quad (M = \text{আণবিক ওজন})$$

$$= \frac{n^2-1}{n^2+2} \cdot \frac{M}{d}$$

জানেনই তো যে 'n' দুই মাধ্যমে আলোর গতিবেগের অণুপাত ($a_{n_b} = \frac{V_a}{V_b}$, $a_{n_b} = a$ মাধ্যমের সাপেক্ষে b মাধ্যমের প্রতিসরাঙ্ক; V = সংশ্লিষ্ট মাধ্যমে আলোকের গতিবেগ), আর সেজন্য n -এর কোন মাত্রা। একক নেই। তাই R_M -এর একক 'মি.³ প্রতি কেজি মোলে'। R_M -এর মান সঠিক পেতে হলে n -এর মান নির্ভুল ভাবে নির্ণীত হতে হবে। নিমজ্জনে প্রতিসরমাপক (immersion refractometer) বা পুলফ্রিচ (Pulfrich) প্রতিসরমাপক দিয়ে n মাপা সম্ভব।

6.2.1 যুত ও গঠনগত ধর্ম

আণব প্রতিসরণ অংশত যুতধর্ম এবং অংশত গঠনগত ধর্ম। সমগণ সমূহের আণব প্রতিসরণ নির্ণয় করে দেখা যায় যে তারপর দুটি সমগণের মধ্যের পার্থক্য সমান হয়। এ থেকেই প্রমাণ হয় যে আণব প্রতিসরণ যুতধর্ম, অর্থাৎ এই পার্থক্য একটি $-\text{CH}_2-$ মূলকের পর্যায়ক্রমিক বৃদ্ধির জন্য ঘটে। $-\text{CH}_2-$ মূলকের অণুদান 4.618 (Na-D অর্থাৎ 589 nm আলোকের জন্য)

পদার্থের যে সবধর্ম তার গঠনের উপর নির্ভর করে তাদের বলে গঠনগত ধর্ম।

পদার্থের যে সবধর্ম তার একক সমূহের সংশ্লিষ্ট ধর্ম যোগ করে পাওয়া যায় তাদের বলে যুত ধর্ম।

এবার আসুন আমরা অঙ্ক কবে দেখি কীভাবে এই যুতধর্মের ধারণার প্রয়োগ করা যায়।

দেখা গেল হেক্সেন (C_6H_{14})-এর আণব প্রতিসরণ 29.908;

$$\therefore 29.900 - (6 \times 4.618) = 2.200$$

$$\therefore \text{H-এর প্রতিসরণ তুল্যাক (refraction equivalent } R_p) = (2.200) \div 2 = 1.100.$$

তাহলে C-এর R_b কত হবে? হবে, $(4.618 - 2.200)$ বা 2.418.

এভাবেই বিভিন্ন পরমাণু ও বন্ধের R_b বের করা যায়। সারণি 6-1-এর একটা তালিকা দেওয়া হল।

প্রতিসরণ তুল্যাংক

সারণি 6-1.

মৌল/বন্ধ	মান	মৌল	মান	মৌল/বন্ধ	মান
H	1.100	O	2.211	N	2.499
		(CO গ্রুপে)		(2° N অ্যাক্সিগে)	
C	2.418	O	1.644	(3° অ্যাক্সিগে)	2.840
Cl	5.967	(ইথারে)			
		O		C = C	1.733
Br	8.860	(OH গ্রুপে)	1.522		
		N		C ≡ C	2.398
I	13.900	(1° অ্যাক্সিগে)	2.322	বেঞ্জিন বলয়	খুব কম

সারণি 6-2 এ উল্লিখিত 6-1 সারণিতে দেওয়া উপাত্ত ব্যবহার করে গণনালব্ধ ও পরীক্ষালব্ধ মানদ্বয়ের নৈকট্য বিবেচনা করে বোঝা যাবে যে আণব প্রতিসরণ যে যুত ধর্ম—এই ধারণা যুক্তিযুক্ত।

সারণি 6-2

যৌগ	বেঞ্জিন	সাইক্লো হেক্সেন	$\text{CH}_3(\text{COOH})$	$(\text{CH}_3)_2\text{CO}$	CHCl_3	diallyl	allye alcohol	$(\text{C}_2\text{HS})_2\text{O}$
গণনালব্ধ	26.31	27.67	12.91	16.07	21.42	28.78	17.11	22.32
পরীক্ষালব্ধ	26.15	27.71	12.93	16.15	21.40	28.77	16.97	22.48

দ্বি-বা ত্রি-বন্ধের উপস্থিতি আণব প্রতিসরণের মান বাড়িয়ে দেয়; একেস্ত বোঝা যায় যে যুতধর্মের ক্ষেত্রে এদেরও অনুদান আছে। বেঞ্জিন বলয়ের কিন্তু বিশেষ প্রভাব নেই।

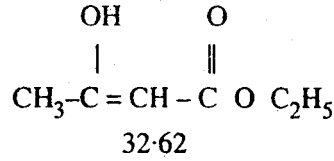
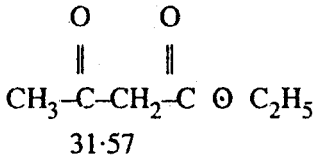
6.2.2 প্রয়োগ

কোন কোন ধরণের, বিশেষ করে টার্পিন যৌগসমূহের ক্ষেত্রে আণব প্রতিসরণ প্রয়োগ করে তাদের গঠনের উপর কিন্তু তথ্য যোগানের প্রয়াস হয়েছে। উদাহরণ স্বরূপ সমাবয়ব α - ও β -টার্পিনসমূহের উল্লেখ করা

যায়। এদের অণুতে দুটি দ্বিবন্ধ আছে। β -গঠন অপেক্ষা α -গঠনের আণব প্রতিসরণের মান এক এককের ও বেশি; এ থেকে অণুবন্ধী (conjugated) দ্বিবন্ধের উপস্থিতি টের পাওয়া যায়।

আরেকটা উদাহরণ : ফিটো-ইনোল গতিশীল সমারয়বতা (টটোমেরিজম)-এর ক্ষেত্রে : এটি বেশ কৌতূহলোদ্দীপক। প্রত্যাশিত যে টটোমার দুটির R_M বিভিন্ন হবে; কারণ ইনোল গঠনে একটি দ্বিবন্ধ আছে। কাজেই পরীক্ষালব্ধ R_M -এর মান থেকে বোঝা যাওয়া উচিত, যোগটি কী অবস্থায় আছে। D-রেখার জন্য এ্যাসিটোস্যাসিটিক এস্টারের কিটো ও ইনোল গঠনের R_M -মান

যথাক্রমে 31.57 ও 32.62

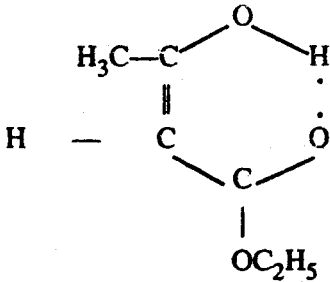


এখন, ইনোলিক গঠনে দ্বিবন্ধ দুটি অণুবন্ধী অবস্থায় আছে, তাই আশা করা যায় যে এর R_M মানের প্রায় 1.8 একরে মত বৃদ্ধি ঘটবে।

β -ইথক্সি ক্রোটোনিক অ্যাসিডের গণনা ও পরীক্ষালব্ধ মানের পার্থক্য থেকে এটা আন্দাজ করা যায়। সুতরাং ইনোল গঠনের R_M -এর মান হওয়া উচিত (32.62 + 1.8) বা 34.42 কিন্তু এ্যাসিটোস্যাসিটিক এস্টারের R_M -এর পরীক্ষালব্ধ মান 32.00।

$$\therefore \text{সাম্যাবন্ধার মিশ্রণে ইনোল গঠনের শতকরা মাত্রা} = \frac{32.00 - 31.57}{34.42 - 31.57} \times 100 = 15$$

কিন্তু অন্যভাবে পাওয়া মানের চেয়ে এটা কিছু বেশি। এর কারণ হিসাবে বলা হয়েছে যে কিটো গঠনের গণনালব্ধ মান 0.2 একক বেশি। তাছাড়া ইনোল গঠনে H-বন্ধ হেতু একটা বলয় গঠন আছে (নিচে দেখুন) - R_M -এর উপর এর প্রভাব অনিশ্চিত।

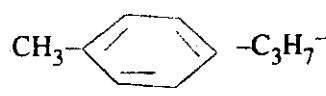
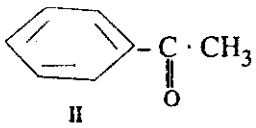
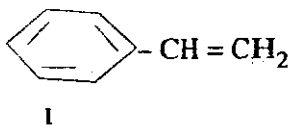


6.2.3 ব্যতিক্রান্ত ফল (anomalous results)

কোন মুক্ত শৃঙ্খল গঠন যুক্ত অণুতে অণুবন্ধী (Conjugated) দ্বিবন্ধ থাকলে, আণব প্রতিসরণের মান গণনালব্ধ মানের চেয়ে বেশি হয়। এই আচরণকে ঈক্ষণিক ব্যতিক্রম (Optical anomaly) বলা হয়েছে। এর ফলে মান

সাধারণতঃ বেড়ে যায় বলে একে ঈক্ষণিক উল্লসন (optical exaltation) ও বলা হয়ে থাকে। উদাহরণ আইসো ডাই অ্যালাইল $\text{CH}_3-\text{CH}=\text{CH}-\text{CH}=\text{CH}-\text{CH}_3$ -এর D- রেখার জন্য পরীক্ষালব্ধ আণব প্রতিসরণ R_D গণনালব্ধ মানের চেয়ে 1.76 একক বেশি, কিন্তু এর সমাবয়ব ডাই-অ্যালাইন $\text{CH}_2=\text{CH}-\text{CH}_2-\text{CH}_2-\text{CH}=\text{CH}_2$ (যাতে অণুবন্ধী দ্বি-বন্ধ নেই)-এর পরীক্ষালব্ধ মান 0.12 একক কম। যদি অণুবন্ধী দ্বি-বন্ধ বলয় গঠন করে (যেমন বেঞ্জিন/সাইক্লো আক্টাটেট্রাইন), এই ঈক্ষণিক উল্লসন অস্বীকৃত হয়। যদি এই অণুবন্ধী তন্ত্র (system) আংশিক ভাবে বলয়ের মধ্যে ও আংশিকভাবে পার্শ্বশৃঙ্খলে থাকে (যেমন স্টাইরিণ, I ও অ্যামিটোফিনোন, II) তবে আবার এই উল্লসন দেখা যাবে।

Optical anomaly-
ঈক্ষণিক ব্যতিক্রম
Optical-exaltation-
ঈক্ষণিক উল্লসন



অণুরূপে যদি বলয় কোণ ফাঁক থাকে (যেমন α -ফিলাণ্ড্রিন, III) উল্লসন থাকে। মজার ব্যাপার এই যে বহু বলয় অ্যারোমেটিক যৌগে (যেমন ন্যাপথালিন, অ্যাণথ্রাসিন ইত্যাদি) যথেষ্ট পরিমাণ উল্লসন দেখা যায়। সাইক্লোপেন্টেন, সাইক্লোবিউটেন ও এ ধরনের অন্যান্য যৌগের ক্ষেত্রে প্রাপ্ত আণব প্রতিসরণের মান গণনালব্ধ মানের চেয়ে যথাক্রমে 0.7 ও 0.5 একক বেশি।

6.2.3 মিশ্রণের আণব প্রতিসরণ

মনে করা যাক একটি মিশ্রণে M_1 ও M_2 আণবিক ওজন বিশিষ্ট দুটি পদার্থের যথাক্রমে x_1 ও x_2 মোল ভগ্নাংশ মিশ্রিত আছে। এই মিশ্রণের আণব প্রতিসরণ হবে

$$[R]_{1,2} = \frac{n_m^2 - 1}{n_m^2 + 2} \cdot \frac{x_1 M_1 + x_2 M_2}{d_m} \dots\dots\dots(1) \quad \begin{matrix} [n m = \text{মিশ্রণের প্রতিসরাঙ্ক} \\ dm = \text{মিশ্রণের ঘনত্ব}] \end{matrix}$$

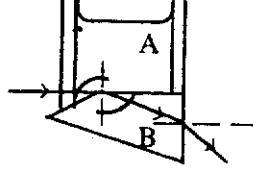
দেখা গেছে, এই মান উপাদান দুটির অণুদানের সমষ্টি।

$$[R]_{1,2} = x_1 [R_1] + x_2 [R_2] \dots\dots\dots(II) \quad R_1 \text{ ও } R_2 \text{ উপাদানদ্বয়ের আণব প্রতিসরণ।}$$

এই নিয়মে খুব সামান্য সংখ্যক ব্যত্যয়ই জানা আছে। কঠিন পদার্থের বা খুব কম পরিমাণে প্রাপ্তব্য পদার্থের আণব প্রতিসরণ এভাবে পাওয়া যেতে পারে। প্রথমে জ্ঞাত সংযুতি (composition)-ও ঘনত্বের মিশ্রণের আণব প্রতিসরণ মাপা হয়। এবার যদি একটি উপাদানের (যেমন দ্রবণের ক্ষেত্রে দ্রাবকের) আণব প্রতিসরণ জানা থাকে তবে অপরটির আণব প্রতিসরণ সমীকরণ (II) প্রয়োগ করে পাওয়া যাবে।

6.2.4 প্রতিসরাঙ্ক মাপন : পুলফ্রিশ প্রতিসরমাপক

পুলফ্রিশ প্রতিসরমাপক একটি সহজ ধরণের সহজে ব্যবহার যোগ্য যন্ত্র (চিত্র 6.1)। এটি বহুলব্যবহৃত ও, কারণ প্রতিসরাঙ্ক একটি অতিগুরুত্বপূর্ণ ভৌত ধর্ম; বিশুদ্ধতার পরিমাণ করতে এর প্রয়োগ হয়।



পরীক্ষাধীন তরল একটি চোঙাকৃতি কাচের কোষ (A)-এ নেওয়া হয়। A কোষটি আবার একটি উচ্চ (1.6) প্রতিসরাঙ্কের কাচ নির্মিত সমকোণী প্রিজম B-র সঙ্গে আটকানো থাকে। মনে করা যাক একটি একবর্ণ (monochromatic) আলোক রশ্মি (Na-D বা H-বর্ণালীর একটি রেখার) সমান্তরাল তল বরাবর প্রিজমে প্রবেশ করে, অর্থাৎ প্রায় তল র্যেবে আপতিত হয়। প্রতিসরণের নিয়মাণুযায়ী $\text{Sin}i/\text{Sin}r_1 = N/n$ (N ও n যথাক্রমে প্রিজমের উপাদান ও তরলের প্রতিসরাঙ্ক)।

$\therefore i_1 = 90^\circ$, $\text{Sin}r_1 = \frac{n}{N}$... (ii)। আলোক রশ্মির বায়ুতে নির্গমনের দিক নির্ভর করে বায়ু (প্রতিসরাঙ্ক 1.0)-র সাপেক্ষে প্রিজমের উপাদানের প্রতিসরাঙ্কের উপর।

$$\therefore \frac{\text{Sin}i}{\text{Sin}n} = N, \quad \text{বা} \quad \text{Sin}r = \frac{\text{Sin}i}{N} \dots \dots \dots (2)$$

$$\text{এখন,} \quad \therefore r + r_1 = 90^\circ, \quad \text{Sin}r = \text{Cos}r_1 = \sqrt{1 - \text{Sin}^2 r_1} \dots \dots \dots (3)$$

$$(1), (2) \text{ ও } (3) \text{ থেকে পাওয়া যায়; } n = \sqrt{N^2 - \text{Sin}^2 i}$$

পুলফ্রিশ প্রতিসরমাপক থেকে আমরা i কোণের মাপ পাই। এখন যদি প্রিজমের উপাদানের প্রতিসরাঙ্ক পাওয়া যায়, তবে তরলের প্রতিসরাঙ্ক গণনা করে বের করা যাবে। i কোণের সাপেক্ষে $\sqrt{N^2 - \text{Sin}^2 i}$ -এর মানের একটি সারণি যন্ত্রের সঙ্গেই সরবরাহ করা হয়। কাজেই ওই সারণি থেকে প্রতি i কোণের সংশ্লিষ্ট প্রতিসরাঙ্কের মান পাওয়া যাবে।

পুলফ্রিশ প্রতিসরমাপকে মত এত নির্ভূত না হলেও অ্যাবি (Abbe)-র প্রতিসর মাপকও ব্যবহৃত হয়ে থাকে।

6.2.5 প্রতিসরণরীয় বিচ্ছুরণ (Refractive dispersion)

কোন মাধ্যমের প্রতিসরাঙ্ক আলোকের তরঙ্গদৈর্ঘ্যের উপর নির্ভরশীল। প্রাচীন (classical) ও কোয়ান্টাম আলোচনা থেকে নিচের সম্পর্কটি প্রতিষ্ঠিত হয়েছে :

$$n = 1 + \frac{a}{\gamma_0^2 - \gamma^2} \quad [n = \text{প্রতিসরাঙ্ক}; \gamma = \text{ব্যবহৃত আলোকের কম্পঙ্ক}; a = \text{ধ্রুবক}; \gamma_0 = \text{স্পন্দক}$$

(oscillator)-এর স্বাভাবিক কম্পঙ্ক]

একটি নির্দিষ্ট কম্পাঙ্কের ক্ষেত্রে সমীকরণটি দাঁড়াবে;

$$n = 1 + \frac{a}{\gamma_0^2 - \gamma^2} \quad | \text{ এই ঘটনাকে বলে প্রতিসরণীয় বিচ্ছুরণ।}$$

যতক্ষণ পর্যন্ত $\gamma < \gamma_0$ থাকে অর্থাৎ তুলনামূলকভাবে দীর্ঘ তরঙ্গে ক্ষেত্রে প্রতিসরাঙ্ক তরঙ্গদৈর্ঘ্যের সঙ্গে খুব কমই পরিবর্তিত হয়। যখন $\gamma \rightarrow \gamma_0$, প্রতিসরাঙ্ক দ্রুত বৃদ্ধি পেতে শুরু করে। এই ঘটনাকে ব্যতিক্রান্ত প্রতিসরণীয় বিচ্ছুরণ বলা হয়। এটি সাধারণত : অণুর শোষণ পটি (absorbtion band) কাছাকাছি দেখা যায়। এর ফলেই প্রতিসরণের পূর্বালোচিত ব্যতিক্রমী আচরণ (যেমন ঈক্ষণিক উল্লসন) দেখা যায়।

দুটি তরঙ্গদৈর্ঘ্যের (যেমন H α ও H γ রেখা) সাপেক্ষ আপেক্ষিক প্রতিসরণের পার্থক্যকে বলে আপেক্ষিক বিচ্ছুরাঙ্ক (Specitic dispersivity); অণুরূপে আণব (moler) বিচ্ছুরাঙ্ক বলতে বুঝি $[R]_{\gamma} - [R]_{\alpha}$ ।

6.2.6 রেফ্রাক্টর (refractor, [F]) নামে আরেকটি ভৌত ধ্রুবক আছে। এটি প্যারাকর (Parachor, [P])-এর সঙ্গে নিম্নলিখিত ভাবে সম্পর্কিত :

$[F] = -[P] \log (\mu_D^{20} - 1)$, $\mu_D^{20} = 20^\circ\text{C}$ -এ D-রেখায় প্রতিসরাঙ্ক। এই ধর্মও গঠন নিরূপণে ব্যবহার করা যায়।

তবে এর খুব বেশি প্রয়োগ হয়নি।

তরলের আণব আয়তন এবং $\frac{1}{D}$ খাতে নীত পৃষ্ঠটানের গুণ ফলকে প্যারাক (P) বলে।

$$\frac{M^{1/4}}{D} = P$$

M = আণবিক গুরুত্ব D = ঘনত্ব।

6.2.7 অনুশীলনী—1

1. দেওয়া আছে : C-এর আণব প্রতিসরণ 2.591

4 - এর আণব প্রতিসরণ 1.028

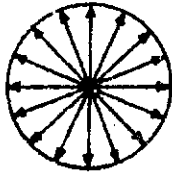
দ্বিবন্ধের প্রতিসরণ অণুদান 1.575 ষড়ভুজের প্রতিসরণ অণুদান -0.15

বেঞ্জিনের আণব প্রতিসরণের পরীক্ষালব্ধ মান = 25.95 দেখান যে বেঞ্জিনের গঠন ঠিক।

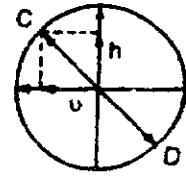
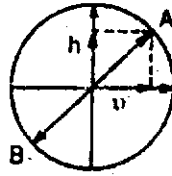
6.3 আলোক-সক্রিয়তা (Optical activity)

6.3.1 সমতল সমবর্তিত আলোক (Plane Polarised Light)

কাগজের তলের সঙ্গে উল্লম্বভাবে একগুচ্ছ (beam) আলোকরশ্মি কাগজের দিকে অগ্রসর হচ্ছে। এই রশ্মিগুচ্ছ সমস্ত সমস্ত উপাদান তরঙ্গ (wave component) আছে—আর এগুলি রশ্মিগুচ্ছের চলনের অক্ষ (axis of propagation) গামী সমস্ত তলেই স্পন্দিত হয়। চিত্র 6.2-এ ব্যাপারটা বোঝানো হয়েছে। চিত্রে বৃত্তটি উল্লম্ব রশ্মিগুচ্ছের স্পর্শতল নির্দেশ করে। কেন্দ্রটি চলন-অক্ষ নির্দেশ করে। দ্বিমুখী তিরগুলি সমস্ত সমস্ত তরঙ্গ-কম্পন (wave vibration) সূচিত করে। চিত্র (6.3)-এ যেমনটি দেখানো হয়েছে, তেমনি পরস্পর লম্ব অভিমুখে কম্পমান দুটি উপাদান তরঙ্গের লব্ধি 6.2 চিত্রে প্রদর্শিত কম্পনতল।

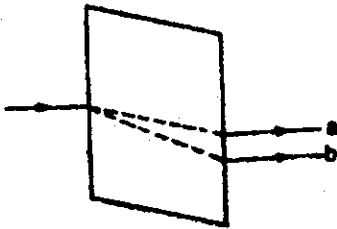


চিত্র 6.2

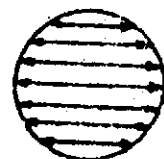
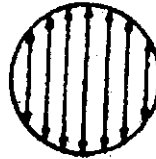


চিত্র 6.3

এখন যদি ঠিক অবস্থানে রক্ষিত আইসল্যাণ্ড স্পার (খনিজবিশেষ) বা ক্যালসাইন! (ক্যালসিয়াম কার্বোনেট খনিজ) কেলাসের মধ্য দিয়ে আলোক পাঠানো হয় তবে রশ্মিগুচ্ছ দুটি গুচ্ছ ভেঙে যাবে। এই ঘটনাকে দ্বিত্ব প্রতিসরণ (double refraction) বলে (চিত্র 6.4)। 6.5 চিত্রের নির্গত রশ্মিগুচ্ছদ্বয় a ও b-র কেবলমাত্র একটি কম্পন-তল আছে। a-রশ্মিগুচ্ছের কম্পন তল b-গুচ্ছের কম্পন-তলের লম্ব। এক কথায় বলা যায়, কেলাসটি আপতিত রশ্মিগুচ্ছকে অণুভূমিত ও উল্লম্ব উপাংশে বিস্ত্রিত করে। যে আলোকরশ্মিগুচ্ছ একটি মাত্র তলে কম্পিত হয় তাকে সমতল সমবর্তিত (plane polarised) বলে। আলোকের সমবর্তনের জন্য একটি বিশেষ যন্ত্র 1829 খ্রীষ্টাব্দে স্কটিশ পদার্থবিদ উইলিয়াম নিকল কর্তৃক উদ্ভাবিত হয়। যন্ত্রটির নাম 'নিকল প্রিজম'। নির্দিষ্ট কোণে কর্তিত দুটি আইসল্যাণ্ড স্পার ক্যানাডা কলসাম দিয়ে জোড়া থাকে।



চিত্র 6.4



চিত্র 6.5

6.3.2. আলোক সক্রিয়তার প্রকৃতি

যখন কোনও পদার্থের মধ্য সমতল সমবর্তিত আলোক চলে, তখন এর গতির দিক পরিবর্তন ঘটে। সমবর্তিত আলোকের এই তলপরিবর্তনের ঘটনাকে আলোক-সক্রিয়তা (optical activity) বলে; আর যে সমস্ত পদার্থ এভাবে সমবর্তিত আলোকের তল পরিবর্তনে সক্ষম, তাদের বলা হয় 'আলোক-সক্রিয় পদার্থ'।

দুধরণের আলোর-সক্রিয় পদার্থ আছে। (i) প্রথম ধরণের ক্ষেত্রে এই ধর্ম মাত্র কঠিন অবস্থাতেই দৃষ্ট হয়, এবং এই ধর্ম নিহিত থাকে কেলাসের তলগুলির গতির উপর। কাজেই বস্তুটির জলে তরল হলে বা দ্রাবকে দ্রবীভূত হলে এই ধর্ম বিনষ্ট হয়। কোয়ার্টজ, সোডিয়াম ক্রোরেট ইত্যাদি এই দলে পড়ে। (ii) দ্বিতীয় আর এক ধরণের পদার্থ আছে যারা কঠিন, তরল, গ্যাসীয় বা দ্রবীভূত অবস্থায় এই ধর্ম 'অক্ষুণ্ণ' থাকে। এক্ষেত্রে এই ধর্ম নির্ভর করে অণুতে পরমাণুসমূহের বিন্যাসের উপর। গলন, দ্রবীভাণ বা বাষ্পীভবনে আণবিক গঠনের পরিবর্তন হয় না বলে এক্ষেত্রে ধর্মটি সব অবস্থায়ই অক্ষুণ্ণ থাকে। বহু জৈব ও অজৈব যৌগ এই শ্রেণীতে পড়ে।

6.3.3 দক্ষিণ ও বাম-আবর্তী আলোক-সক্রিয় পদার্থ সমূহ (Dextro and Laevo Rotatory substances)

সমবর্তিত আলোকের আবর্তন ডান অথবা বাম দিকে ঘটেতে পারে। যে সমস্ত আলোক সক্রিয় পদার্থ সমবর্তিত আলোকেও তল ডান দিকে আবর্তিত করে তাদের বলা হয় দক্ষিণ (ডান)-আবর্তী [d, dextro rotatory]

অনুরূপে যে সমস্ত আলোক-সক্রিয় পদার্থ সমবর্তিত আলোকের তল বাম দিকে আবর্তিত করে তাদের বলা হয় বাম-আবর্তী [l, laevorotation]

6.3.4. আবর্তন কোণ পরিমাপন (measurement of angle of rotation)

যে যন্ত্রের সাহায্যে আবর্তন-কোণ মাপা হয় তাহল পোলারিমিটার (Polarimeter), চিত্র 6-6)।

পোলারিমিটারের প্রধান অংশ সমাক্ষভাবে (co-axially) সংস্থাপিত দুটি নিকল প্রিজম। প্রথমটিকে বলা হয় সমবর্তক (polariser), B; এর মধ্য দিয়ে একবর্ণ আলোক রশ্মি পাঠানো হয়; এটি নির্দিষ্ট অবস্থানে থাকে। দ্বিতীয় নিকল প্রিজমটিকে বলা হয় বিশ্লেষক (analyzer, D)। এটি একটি ঘূর্ণ্যমান চাকতির উপর চড়ানো। B প্রিজম থেকে নির্গত সমবর্তিত আলোক দ্বিতীয়টিকে তে এসে পড়ে। দ্বিতীয়টি প্রথমটির 90° অবস্থানে থাকলে, বিপরীত দিকের দূরবীক্ষণ (T) দিয়ে দেখলে দৃশ্যপক্ষ সম্পূর্ণ অন্ধকার থাকবে। যন্ত্রটি প্রথমে এমনভাবে রক্ষিত থাকে যে নিরীক্ষণ চক্র (eyepiece) দিয়ে দেখলে সম্পূর্ণ দৃশ্যপট (field of view) সমান উজ্জ্বল দেখা যাবে। পোলারিমিটারের এই অবস্থানকে 'শূন্য অবস্থান' (Zero position) বলা হয়। সংযুক্ত কোণে অংশাক্তিত গোলাকার চাকতি দ্বারা অবস্থানের পাঠ নেওয়া হয়।



যে তরল বা দ্রবণের আলোক-সক্রিয়তার পরিমাপ করতে হবে তা নির্দিষ্ট দৈর্ঘ্যের (10 বা 20 সেমি.) নলে (S) নিয়ে সমবর্তক ও বিশ্লেষকের মধ্য স্থলে সমাক্ষ ভাবে বসানো হয়। তরলটি সমবর্তিত রশ্মিকে ঘুরিয়ে দেতে এবং দৃশ্যপট অসমভাবে আলোকিত হবে। এবার বিশ্লেষক টিকে ঘোরাতে হবে যতক্ষণ না দৃশ্যপট আগের মত সমালোকিত হয়। নতুন অবস্থানের পাঠ স্কেল থেকে পাওয়া যাবে। দুটি পাঠের ... যে গৃহীত তরল বা দ্রবণ কর্তৃক সমবর্তিত আলোকের আবর্তন নির্দেশ করে। এভাবে আমরা কোন বস্তুর আলোক-সক্রিয়তার গুণগত ও মাত্রাগত ধারণা পেতে পারি।

6.3.5 আলোক-সক্রিয়তার পরিমাণ নিয়ন্ত্রক উপাদান সমূহ (Factors influencing the ... of optical rotation).

আবর্তন কোণ নিচের উপাদানগুলির উপর নির্ভর করে :

- (i) পদার্থের প্রকৃতি।
- (ii) আলোক যে বেধ অতিক্রম করে,
- (iii) ব্যবহৃত আলোকের তরঙ্গদৈর্ঘ্য
- (iv) দ্রবণের গাঢ়/ঘনত্ব
- (v) পরীক্ষাকালীন তাপমাত্রা
- (vi) দ্রাবকের প্রকৃতি।

6.3.6 আপেক্ষিক ও আণব আবর্তন (Specific and molar rotation)

আপেক্ষিক আবর্তন

আবর্তন α , তাপমাত্রা $t^\circ\text{C}$, ব্যবহৃত আলোকের তরঙ্গদৈর্ঘ্য λ , d ঘনত্ব এবং l আলোকের অতিক্রান্ত দূরত্ব হলে, $t^\circ\text{C}$ এ λ তরঙ্গদৈর্ঘ্যের জন্য আপেক্ষিক আবর্তন $[\alpha]_{\lambda}^t = \frac{\alpha}{l \cdot d}$

$d = 1$ গ্রা. প্রতি সি.সি. এবং $l = 1$ ডেসিমিটার হলে,

$$[\alpha]_{\lambda}^t = \alpha$$

কাজেই, সমতল সমবর্তিত আলোক এক গ্রা. প্রতি সি.সি. ঘনত্ব বিশিষ্ট আলোক সক্রিয় পদার্থের মধ্য দিয়ে এক ডেসিমিটার দৈর্ঘ্য অতিক্রম করলে যে আবর্তন কোন সৃষ্টি হয় তাকে ঐ পদার্থের ঐ আলোকের সাপেক্ষে ঐ তাপমাত্রায় আপেক্ষিক আবর্তন বলে।

সাধারণতঃ আমরা আলোকের উৎসরূপে সোডিয়াম বাষ্প বাতি ব্যবহার করি; তাই λ -র পরিবর্তে D (সোডিয়ামের D-লাইন) ব্যবহার করি, অর্থাৎ

$$[\alpha]_D^t = \frac{\alpha}{l \cdot c}$$

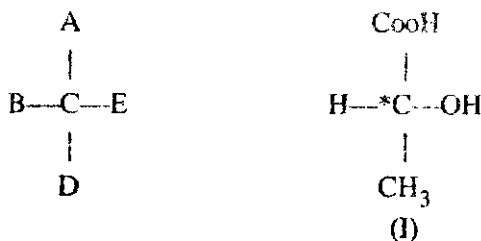
দ্রবণের ক্ষেত্রে 100 মিলি দ্রবণে C গ্রা. দ্রব্য থাকলে $[\alpha]_D^t = \frac{\alpha}{l \cdot C} \cdot C$, প্রতি মিলিলিটার পদার্থের পরিমাণ

ও 1 ডেসিমিটার হলে $[\alpha]_\lambda^t = \frac{\alpha}{l \cdot C}$. আবার, C = 1 গ্রা., l = 1 ডেসিমি. হলে, $[\alpha]_D^t = \alpha$ ।

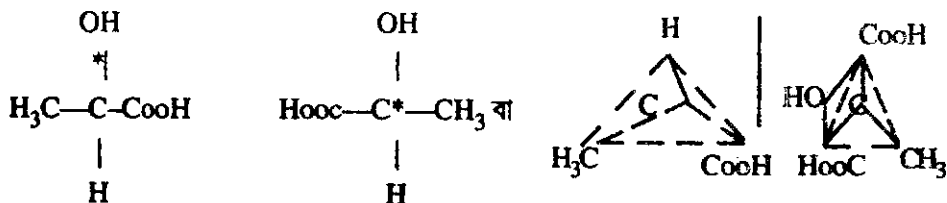
$$\text{অনুরূপে আণব আবর্তন } [\alpha_m]_\lambda^t = \frac{M}{100} [\alpha]_\lambda^t$$

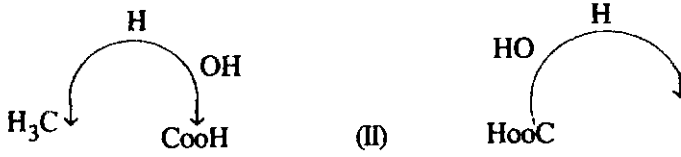
6.3.7 রাসায়নিক গঠন ও আলোক-সক্রিয়তা (chemical constitution and optical activity)

পরীক্ষায় প্রমাণিত যে আলোক-সক্রিয়তা একটি গঠনগত ধর্ম অর্থাৎ এটি নির্ভর করবে অণুর মধ্যে পরমাণুগুলির বিন্যাসের উপর। ফন্ট হফ (Van't Hoff) এবং লা বোল (Le Bel) [তখন ফন্ট হফের বাস মাত্র আঠারো বছর] স্বাধীনভাবে দেখল যে আলোক সক্রিয়তার সঙ্গে অপ্রতিসম কার্বন পরমাণুর সম্পর্ক আছে। আলোক সক্রিয় জৈব অণুর বেশির ভাগেই অন্ততঃপক্ষে একটি অপ্রতিসম কার্বন পরমাণু থাকে। সত্যি বলতে কী, কার্বন পরমাণু অপ্রতিসম হতে পারে না। যে কার্বন পরমাণুর চারটি যোজ্যতা বন্ধে চারটি বিভিন্ন মূলক বা অ্যাটিম থাকে অর্থাৎ কার্বন পরমাণুর বিন্যাসই অপ্রতিসম। অপ্রতিসম নাইট্রোজেন ও সিক্কিনন পরমাণু থাকলেও যৌগ আলোক-সক্রিয় হয়। অপ্রতিসম কার্বন পরমাণুযুক্ত আলোক সক্রিয় যৌগের সহজতম উদাহরণ যেমন কিনা ল্যাকটিক অ্যাসিড (Z)



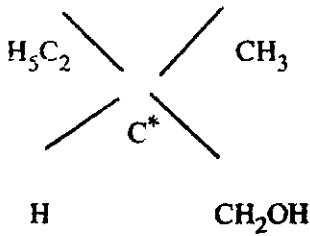
লক্ষ্য করলে দেখা যাবে যে এই যৌগের দুটি দর্পণ প্রতিবিম্ব পরস্পরের উপর সম্পূর্ণ স্থাপনীয় (Superimposable) নয় (II)



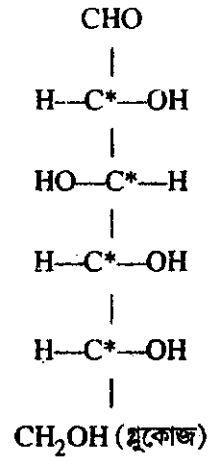


এই দুটি রূপ সমবর্তিত আলোককে দুই দিকে আবর্তিত করে। ঠিক কী শৈলী (mechanism)-তে আলোকের আবর্তন ঘটে তা এখনও পরিষ্কার নয়। যাহোক এই যে আবর্তন ঘটে— সেটেক্রে যে সমাবয়ব ডান দিকে আবর্তন ভটায় তাকে বলে ডেক্সট্রো (d-) আর যেটি বাম দিকে ঘোরায় তাহল laevo (l-)।

আলোক-সক্রিয় আরও কয়েকটি যৌগ :



2 মিথাইল বিউটাণল

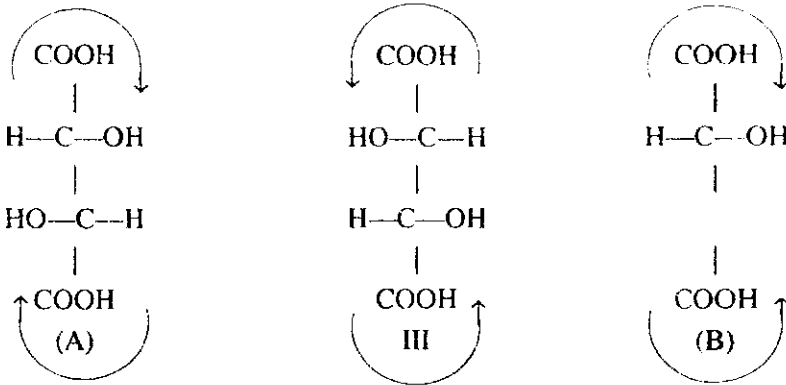


যদি একটি যৌগে n-সংখ্যক অপ্রতিসম কার্বণ পরমাণু থাকে, তবে তার ক্ষেত্রে 2ⁿ টি সমাবয়ব সম্ভব যেমন গ্লুকোজের কি (2⁴) টি সমাবয়ব সম্ভব। সেক্ষেত্রে দেখা যাবে যে আট জোড়া দর্পণ প্রতিবিম্ব থাকবে। আলোক-সক্রিয় সমাবয়ব যদি একে অপরের দর্পণ প্রতিবিম্ব না হয় তবে পদের বলে পরস্পরের তিরস্ত্রিমাত্রিক সমাবয়ব (diastereoisomer)।

তিরস্ত্রিমাত্রিক সমাবয়ব—diastereoisomer

যৌগে অপ্রতিসম কার্বণ পরমাণুর উপস্থিতি আলোক সক্রিয়তার প্রয়োজনীয় বা যথেষ্ট শর্ত নয়। অপ্রতিসম কার্বণ পরমাণু না থাকলেও যৌগের গঠন যদি বিপ্রতিসম (disymmetinc) হয়, তবুও যৌগ আলোক সক্রিয় (III)। আবার অপ্রতিসম কার্বণ পরমাণু থাকলেও যৌগ আলোক-নিষ্ক্রিয় হতে পারে। C_{ABD}—C_{ABD} ধরণের যৌগে (যেমন টারটারিক অ্যাসিড) এ ব্যাপার দেখা যায়। এতে দুটি অপ্রতিসম কার্বন পরমাণু আছে। এর

দুটি পরস্পরের দর্পণ-প্রতিবিম্ব অর্থাৎ দক্ষিণাবর্তী ও বামাবর্তী সমাময় (III A); তৃতীয়টিতে একটি প্রতিসমতার তল (Plane of symmetry) থাকে, এবং এক অর্ধ অপরাধের আবর্তনকে প্রশমিত করে বলে এই সমাবয়বটি আলোক-নিষ্ক্রিয় (I B)



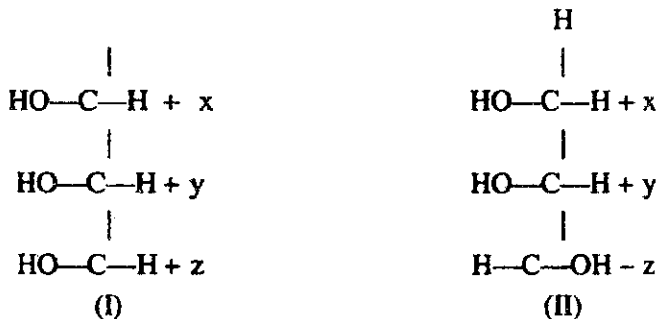
এ ক্ষেত্রে B (A) র তিরঙ্গিমাত্মিক সমাবয়ব। III (B) কে মেসোটটারিক অ্যাসিড বলা হয়।

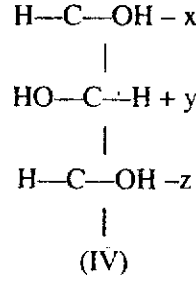
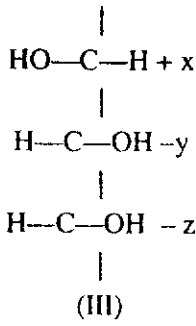
যদি একই যৌগের ডান ও বাম-আবর্তী সমাবয়বের সম-আণব মিশ্রণ থাকে তবে মিশ্রণ আলোক-নিষ্ক্রিয় হবে, কারণ একটি আলোককে যতটা ডান/বাম দিকে ঘোরাবে, অপরটি ঠিক ততটাই বাম/ডান দিকে ঘোরাবে। d - l - সমাবয়বগুলির আপেক্ষিক ও আণব আবর্তন সমান হয়, শুধু দিক বিপরীত। এরকম মিশ্রণকে প্রশমাবর্তী (racemic, dl) বলে এরকম মিশ্রণ থেকে d - ও l - সমাবয়বগুলিকে পৃথক করার ব্যবস্থা জানা আছে। এসব পদ্ধতির সমষ্টিগত নাম বিভাজন (solution)। বিপরীত পদ্ধতির নাম প্রশমাবর্তীকরণ (racemisation)।

6.3.8 আলোক-সক্রিয় উপর্যুপাতের নীতি

(Principle of optical superposition)

ফনট হয় প্রথম এই নীতি ব্যাখ্যা করেন। এটি দুয়ের বেশি অপ্রতিসম কার্বন পরমাণুযুক্ত যৌগের সমাবয়বগুলির ক্ষেত্রেও প্রযোজ্য। নীতিটি হল : একাঙ্কি অপ্রতিসম কার্বন পরমাণুযুক্ত পদার্থের আলোক আবর্তন প্রতিটি (অপ্রতিসম) কার্বন পরমাণুর অবদানের যোগফল—এই অবদান নির্দিষ্ট ও অন্যান্য পরমাণুসমূহের বিন্যাস (Configuration) নিরপেক্ষ। নিচে একটা উদাহরণ দেওয়া হল :





(x, y, z-যথাক্রমে সংশ্লিষ্ট C-পরমাণুর অবদান) এই নীতি অনুসারে II এর আপেক্ষিক আবর্তন আদর তিনটির আপেক্ষিক আবর্তনের সমষ্টি।

$$\therefore +x+y-z = (+x + y + z) + (+x - y - z) - (-x + y - z)$$

আলোক-সক্রিয় ব্যবহার করে গঠন নিশ্চিত করা যায়। কিন্তু এ দিয়ে গঠন নস্যাৎ করা যায় না

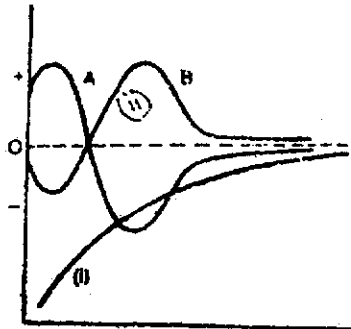
6.3.9 আলোক-সক্রিয় বিচ্ছুরণ (optical Rotelory dispersion)

1817 সালে বায়ট (Biot) দেখান যে ব্যবহৃত আলোকের তরঙ্গদৈর্ঘ্যের পরিবর্তন ঘটালে আলোক-আবর্তনের মান পরিবর্তিত হয়। আলোকের কম্পঙ্কের সঙ্গে আলোক-সক্রিয়তার পরিবর্তনকে আলোক-স্রুটি বিচ্ছুরণ বলে। কোনও অণুকর্ষক বিভিন্ন কম্পাঙ্কের আলোকের ক্ষেত্রে অণুর সমান্তরনের পার্থক্যের দরুণ এরকমটা ঘটে। পি. ড্রুড (P. Drude) নিচের সমীকরণটি প্রতিষ্ঠিত করেন—এর সাহায্যে বেশ কিছু আলোক-সক্রিয় পদার্থের আলোক-সক্রিতার তরঙ্গদৈর্ঘ্য-নির্ভরতার পরিমাণ করা যায় :

$$a = \alpha = \frac{K}{\lambda^2 - \lambda_0^2}$$

এখানে λ_0 ও K সংশ্লিষ্ট পদার্থের উপর নির্ভরশীল।

$[\alpha]$, তরঙ্গদৈর্ঘ্যের সাপেক্ষে উপস্থাপিত করলে নিচের লেখচিত্র পাওয়া যায়। দুধরণের লেখচিত্র পাওয়া যায়—চিত্রে উভয়ই প্রদর্শিত হল।



(i) প্রথম ধরণের লেখচিত্রে তরঙ্গ দৈর্ঘ্যের হ্রাসের সঙ্গে আবর্তনের (+ বা -) সম্ভবত বৃদ্ধি ঘটে।

(ii) আরেক ধরণের লেখচিত্রে দেখা যায়—যেখানে চূড়া (crest) দ্রোণী (trough) দেখা যায় লেখা A তে উচ্চতর তরঙ্গদৈর্ঘ্যে চূড়ার অবস্থিতি দেখা যায়। একে বলে ধনাত্মক কটন প্রভাব (positive Cotton effect)। লেখ B-তে অনুরূপ অঞ্চলে দ্রোণীর অবস্থান দেখা যায়; একে বলে ঋণাত্মক কটন প্রভাব সংশ্লিষ্ট যৌগের শোষণ-পটী (absorption band) দুর্বল হলে আলোক-সক্রিয় বিচ্ছুরণের পরীক্ষা অতিরেঞ্জনী (v.v) অঞ্চলে করা হয়ে থাকে। জটিল ধরণের আলোক সক্রিয় যৌগের গঠন নিরূপণে এই কৌশল ব্যবহার হয়।

অনুশীলনী—২

1. $C_5H_{12}O_6$ যৌগের সমাবয়ব গুলির গঠন আঁকুন। এদের মধ্যে কোনটি (গুটি) আলোক সক্রিয়?
2. সমবর্তিত ও অসমবর্তিত আলোক বলতে কী বোঝেন।
3. তির্যিকমাত্রিক সমাবয়ব বলতে কী বোঝেন? উদাহরণ দিন।
4. আলোক-সক্রিয় বিচ্ছুরণ কী?
5. “x” যৌগ $Na-D$ আলোককে আবর্তিত করে না—এ থেকে এই সিদ্ধান্ত করা যায় কি যে $N \times$ আলোক নিষ্ক্রিয়? যুক্তি দিন।
6. নিকল প্রিজম্ কী? এর ব্যবহার কোথায় দেখা যায়?
7. পোলারিমিটার যন্ত্রে কী মাপা যায়? যন্ত্রটির একটি পরিষ্কার রেখাচিত্র আঁকুন; এর অংশগুলি সেখান।

6.4 সারাংশ

তাহলে আসুন আমরা একবার স্মরণ করি, এই অধ্যায়ে আমরা কী শিখলাম।

● আগে জানা প্রতিসরণের স্নেল-এর নিয়মের প্রাপ্ত প্রতিসরাঙ্কের ধারণার উপর আমরা লোরেন্জ ও লোরেন্জ সূত্র ও তা থেকে আপেক্ষিক ও আণব প্রতিসরণের সংজ্ঞা পেলামঃ $R_s = \frac{n^2 - 1}{n^2 + 2} \cdot \frac{1}{d}$ এবং $R_M = R_s \times M$

● আণব প্রতিসরণ অংশত যুত ধর্ম ও অংশত গঠনমূলগ ধর্ম। পরীক্ষালব্ধ R_M এর মান থেকে সহজ পাটিগণিত ব্যবহার করে বিভিন্ন যৌগ/মূলকের আণব প্রতিসরণ, বিভিন্ন পরমাণুর পারমাণব প্রতিসরণ গণনা করা যায়। বিভিন্ন গঠন-একক যেমন দ্বিবন্ধ, ত্রিবন্ধ বলয় ইত্যাদির অণুদান নির্ণয় করা যায়।

● আণব প্রতিসরণ প্রয়োগ করে পদার্থের গঠন সম্বন্ধে ধারণা পাওয়া যায়।

● মিশ্রণের ক্ষেত্রে : $[R]_{1,2} = \frac{n_1^2 - 1}{n_1 m^2 + 2} \cdot \frac{mM_1 + n_2M_2}{d_1}$

আবার $[R]_{1,2} = x_1[R] + n_2[R_2]$

● পুলক্রিশ্ ও অ্যাবে প্রতিসরমাপক দিয়ে তরলের দ্রবণের প্রতিসরাঙ্ক পরিমাপ করা।

● প্রতিসরাঙ্ক আপতিত আলোকের তরঙ্গদৈর্ঘ্যের উপর নির্ভর করে। দুটি তরঙ্গদৈর্ঘ্যের সাপেক্ষে অপেক্ষিক প্রতিসরণের পার্থক্যকে অপেক্ষিক বিচ্ছুরণাঙ্ক বলে।

● সাধারণ আলোক রশ্মিগুচ্ছ আইসল্যান্ড স্পার কেলাসের মধ্য দিয়ে প্রেরিত হলে সমবর্তিত হয়। সমবর্তনের অর্থ কম্পন একটি বিশেষ তলে সীমাবদ্ধ থাকবে। নিকল প্রিজম এই সমবর্তনের জন্য আদর্শ যন্ত্র বিশেষ।

● যে সমস্ত পদার্থ সমবর্তিত আলোকের তল আবর্তিত করে তাদের আলোক-সক্রিয় বলে। এরূপ পদার্থ দুইকম—(i) কঠিন অবস্থায় এই ধর্ম দেখায় অর্থাৎ কেলাস তলগুলির নতির দিকের উপর সক্রিয়তা নির্ভর করে;

(ii) বিচূর্ণ বা দ্রবীভূত অবস্থায়ও এই ধর্ম অক্ষুণ্ণ থাকে অর্থাৎ অণু গঠনের জন্য এই ধর্ম দেখা যায়।

● যে সমস্ত ডান দিকে আলোক ঘোঁয়ায় তাদের বলে দক্ষিণ আবর্তী আর যারা বাম দিকে ঘোঁয়ায় তাদের বলে বাম আবর্তী।

দুইকম সমাবয়য়ের সম-আণব মিশ্রণ আবর্তণ ঘটায় না, এরকম মিশ্রণকে প্রশবর্তী মিশ্রণ বলে।

● পোলারিমিটার দিয়ে আবর্তণ মাপা হয়।

● অপেক্ষিক আবর্তণ $[\alpha]_D^t = \frac{\alpha}{l \cdot c}$, $[\alpha]_b^t = \frac{\alpha}{l \cdot C}$

$$[\alpha]_b^t = \frac{M}{100} [\alpha]_d^t$$

● জৈবক অণুর আলোক সক্রিয়তা নির্ভর করে অপ্রতিসম কঠিন পরমাণুর উপস্থিতির উপর। অবশ্য এটা প্রয়োজ্ঞটি বা আবশ্যিক শর্ত নয়। বিপ্রতিসম অণু আলোক সক্রিয় হয়। আবার অপ্রতিসম কার্বণ পরমাণু থাকলেও যদি যৌগের মধ্যে এক প্রতিসমতা থাকে তবে তা আলোক-সক্রিয় হবে না, যেমন মেসোটোরিক অ্যাসিড।

● আলোক-সক্রিয় উপর্যুপাত নীতি অণুসারে মূল যৌগের আলোক-সক্রিয়তা অপ্রতিসম কার্বণ পরমাণুর অবদানের যোগফল।

● তরঙ্গদৈর্ঘ্যের পরিবর্তনের ফলে আলোক-আবর্তনের পরিবর্তন ঘটে। একে আলোক-সক্রিয় বিচ্ছুরণ করেন।

6.5 প্রস্তুতিক প্রশ্নাবলি

1. দেওয়া আছে :

পদার্থ	প্রতিসরাঙ্ক	ঘনত্ব
(i) প্রোপানোন	1.3620	0.793
(ii) ইথানোয়িক অ্যাসিড	1.3715	1.046

সারণিভুক্ত যৌগদুটির আণব প্রতিসরণ বের করেন; যুত ধর্মের নিয়ম ব্যবহার করে প্রাপ্ত মানের সঙ্গে এই মানের তুলনা করেন।

2. দক্ষণিক উল্লসন কী? উদাহরণ সহ আলোচনা করেন।

3. কিটো ইনল চলমান সমাবয়তার ক্ষেত্রে আণব প্রতিসরণের নিয়ম ও ধারণার প্রয়োগ দেখাল। অ্যাসিটো অ্যাসিটিক এ স্টারে এরূপ সমাবয়বদ্বায় সাম্য-মিশ্রণে ইনলের শতকরা মাত্রা কীভাবে নির্ণয় করা যায়?

4. CCl_4 -এর $n_D^{293} = 1.453$, ঘনত্ব (293K-তে) 1.595 কিগ্রা. ডেসিমি. ও নলে আণব প্রতিসরণ নির্ণয় করেন। C-এর পারমাণব প্রতিসরণ 2.42 হলে Cl-এর পারমাণব প্রতিসরণ কত হবে?

5. (A) জৈব যৌগের 6.15 গ্রা. 100 মিলি কোহলে দ্রবীভূত করে, এর অংশবিশেষ এক 5 সেমি. দৈর্ঘের পোলারিমিটার নলে নেওয়া হল 5 আবর্তন দেখা গেল -1.2° . (A)-র আপেক্ষিক আবর্তন কত? দ্রবণটিকে দ্বিগুণ লঘু করে 56 সেমি নলে নিয়ে পর্যবেক্ষণ করলে আবর্তন মান কত হবে?

6. 34.2 গ্রা. লি মাত্রার একটি ইস্ফু শর্করায় দ্রবণ 20 সেমি পোলারি মিটার নলে নিয়ে পরীক্ষা করে দেখা গেল আবর্তন 4° । ইস্ফু শর্করার আপেক্ষিক আবর্তন 66° হলে দ্রবণের ইস্ফু শর্করার বিশুদ্ধতা নির্ণয় করুন।

7. আলোক-সক্রিয়তা, আলোক-সক্রিয় পদার্থ, দক্ষিণ- ও বাম আবর্তী পদার্থ—এদের উপর টীকা লিখুন।

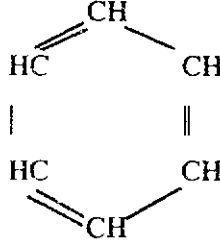
8. আলোক-সক্রিয় উপর্যুপাতের নীতিটি লিখুন এর প্রয়োগ উদাহরণ দিয়ে বোঝান।

9. আলোক-সক্রিয় বিচ্ছুরণ-এর উপর আলোচনা করুন।

6.6 উত্তরমালা

অনুশীলনী—1

1. বেঞ্জিনের কেবুলের প্রস্তাবিত গঠন



কাঙ্ছেই,

$$6 \text{ C পরমাণুর আণব প্রতিসরণ} = 6 \times 2.591 = 15.546$$

$$6 \text{ H পরমাণুর আণব প্রতিসরণ} = 6 \times 1.028 = 6.168$$

$$3 \text{ দ্বিবন্ধের প্রতিসরণ অণুদান} = 3 \times 1.575 = 4.725$$

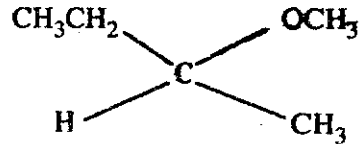
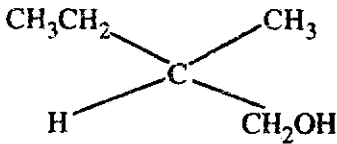
$$\text{ষড়ভুজের প্রতিসরণ অণুদান} = -0.150$$

$$\text{মোট} = 25.289$$

∴ গণনালব্ধ মান পরীক্ষালব্ধ মানের প্রায় সমান। তাই বলা, যায় যে কেবুলের গঠন ঠিক।

অনুশীলনী—2

1. নিজে চেষ্টা করুন।



—এরা আলোক সক্রিয়

2. 6-3-1 অংশ দেখুন।

3. 6-3-7 অংশ দেখুন।

4. 6-3-9 অংশ দেখুন।

5. না; অন্য একবর্ণের আলোকের সাপেক্ষে সক্রিয় হতে পারে।

6. 6:3:4 অংশ দেখুন।

7. 6:3:4 অংশ দেখুন

প্রান্তিক প্রশ্নাবলি

1. পাঠ্যংশ ও সেখানে/অণুশীলনীতে করে দেওয়া সম্পদ্য দেখে নিজে করুন উত্তর হবে যথাক্রমে : (i) 16:15, 16:07, (ii) 13:30, 12:97.

2. 6:2:3 অংশ দেখুন

3. পাঠ্যংশ দেখে উত্তর বের করুন।

$$R_M = \frac{n^2 - 1}{n^2 + 2} \cdot \frac{M}{D}$$

$$M = [12 + 4 \times 35:5] = 153:6$$

∴ গ্রাম আণবিক ওজন 153:6, ∴ কিত্রা আণবিক ওজন = 0:1536

$$R_M = \frac{(1:453)^2 - 1}{(1:453)^2 + 2} \cdot \frac{0:1536}{1:595} = 26:24 \text{ সে}^3 \text{ মি}^3$$

$$\text{দ্বিতীয় অংশ } R_4 = \frac{26:24 - 2:42}{4} = 5:955$$

$$5. [\alpha] = \frac{1:2}{2} \times 0615 = -39^\circ$$

দ্বিতীয় অংশ নিজে করুন : উত্তর হবে -6° .

6. নিজে করুন, উত্তর হবে 46:8%

7. 6:3:4 অংশ দেখুন

8. 6:3:8 অংশ দেখুন

9. 6:3:9 অংশ দেখুন।

6:7 গ্রন্থপঞ্জি

1. Textbook of physical chemistry : by. S. Glasstane : Macmillan
2. Physical chemistry : by P.C. Rakshil : Sarat Book. Distributor
3. ভৌত রসায়ন : by নিত্যানন্দ কুণ্ডু : রাজ্য পুস্তক পর্যৎ

একক 7 □ দ্বিমেরু ভ্রামক

7. গঠন
 - 7.1. প্রস্তাবনা উদ্দেশ্য
 - 7.2. দ্বিমেরু ভ্রামক
 - 7.3. আবিষ্কৃত বা বিকৃতি মেরুভবন
 - 7.4. দিকস্থিতি মেরুকরণ
 - 7.5. সম্পূর্ণ আগব মেরুকরণ
 - 7.6. মেরুভবন প্রবণতা
 - 7.7. মোসোট্টে-কুসিয়াস সমীকরণ
 - 7.8. ডিভাই সমীকরণ
 - 7.8.1 মোট মেরুকরণ ও তাপমাত্রা
 - 7.8.2 ডিভাই সমীকরণের প্রত্যয়
 - 7.9. দ্বিমেরু ভ্রামকের পরিমাপন
 - 7.9.1 একটি পদ্ধতি
 - 7.9.2 তাপমাত্রা পদ্ধতি
 - 7.9.3 প্রতিসরণ পদ্ধতি
 - 7.9.4 লঘু দ্রবণ পদ্ধতি
 - 7.9.5 আণবিক রশ্মি পদ্ধতি
 - 7.10. মেরুকরণ ও আগব ব্যাসার্ধ
 - 7.11. দ্বিমেরু ক্রমিক ও অণুর গঠন
 - 7.11.1 সমবোধী বহুর শতকার আয়নীয় মাত্রা নির্ণয়
 - 7.11.2 বহুভ্রামক ও দ্বিমেরু ভ্রামক
 - 7.11.3 সংস্পন্দন ও দ্বিমেরু ভ্রামক
 - 7.11.4 অণুর গঠন ও দ্বিমেরু ভ্রামক
 - 7.12. সারাংশ
 - 7.13. প্রান্তিক প্রশ্নাবলি
 - 7.14. উত্তরমালা
 - 7.15. অতিরিক্ত সহায়ক পুস্তকসমূহ।

7.1 প্রস্তাবনা :

দ্বি-তড়িতিক (Electrostatic) ক্ষেত্রে স্থাপন করে কোন অণুর গঠন সম্বন্ধে যথেষ্ট ধারণা পাওয়া সম্ভব। তড়িৎক্ষেত্রে কোনও অণুকে স্থাপন করলে, তড়িৎক্ষেত্রের প্রভাবে অণুর ইলেক্ট্রনীয় গঠনের পরিবর্তন ঘটে; এবং কেন্দ্রকের সাম্যাবস্থান পরিবর্তিত হয়, এবং তার ফলে ধনাত্মক ও ঋণাত্মক আধানের কেন্দ্র পৃথকীভূত হয়। ঘটনাটিকে ব্যাখ্যা কর। যার এভাবে : তড়িৎকেন্দ্র অণুতে দ্বিমেরু ভ্রামক (dipolemoment) আবিষ্ট হয়। এই আবিষ্ট দ্বিমেরু ভ্রামক (induced dipolemoment), μ_{ind} প্রযুক্ত তড়িৎক্ষেত্রের (E) সমানুপাতিক :

$$\mu_{ind} \propto E$$

$$\text{বা, } \mu_{ind} = \alpha.E$$

α (একটি ধ্রুবক)-কে অণুর মেরুপ্রবণতা (polarisability) বলা হয়। এই ধ্রুবকটি দিয়ে কোনও অণুর কত সহজে মেরুকরণ হতে পারে তার পরিমাপ সম্ভব। E যদি একক তড়িৎক্ষেত্রের শক্তি হয় তবে α হবে আবিষ্ট দ্বিমেরু ভ্রামক।

উদ্দেশ্য : এই এককটি পড়ে আপনারা জানতে পারবেন—

- দ্বিমেরু ভ্রামক কী, তার গুরুত্ব ও ব্যবহার প্রজোয্যই বা কী।
- মেরুকরণের শ্রেণীবিভাগ।
- এই বিষয়ক মোসেটি-রুসিয়াস সমীকরণ ও ডিবাই সমীকরণ।
- মেরুকরণের উপর তাপমাত্রা ও অন্য নিয়ন্ত্রকের প্রভাব।
- দ্বিমেরু ভ্রামকের পরিমাপ পদ্ধতি।
- বন্ধ-ভ্রামক ও দ্বিমেরু ভ্রামকের সম্পর্ক।

7.2 দ্বি-মেরু ভ্রামক (Dipole moment)

সমযোজী বন্ধে বন্ধ পরমাণুদ্বয়ের অপরাতিড়িৎধর্মিতার পার্থক্যের জন্য কোনও একটি মৌল ইলেকট্রন জোটকে নিজের দিকে বেশি টানে, ফলে তাদের মধ্য অল্প পরিমাণ আধান-বন্টন ঘটে। এই ধরনের বন্ধকে ধ্রুবীয় (মেরুভূত, Polar) বন্ধ বলে। যেমন ধরা যাক হাইড্রোজেন ফ্লুরাইড, HF, এখানে F-এর অপরাতিড়িৎধর্মিতা খুব বেশি বলে, এটি ইলেকট্রন জোট নিজের দিকে টেনে নেবে ফলে F হবে কিছুটা ঋণাত্মক আধানযুক্ত এবং H হবে সমপরিমাণ ধনাত্মক আধানযুক্ত। এভাবে যৌগটিকে একটা স্থায়ী দ্বিমেরু (Permanent dipole) সৃষ্ট হবে; এটি দেখানো হয় নিচের পদ্ধতিতে:



এরূপ স্থায়ী দ্বি-মেরু যুক্ত অণুর সম্বন্ধে বলা হয়ে যে, এদের ধ্রুবীয়তা (polarity) আছে বা এদের মেরুকরণ/মেরুভবন ঘটে। এই মেরুভবনের প্রবণতা মাপা যায় দ্বি-মেরু (দ্বি-ধ্রুবীয়) ভ্রামক (dipole moment) দিয়ে এটি সংজ্ঞায়িত হয় ধনাত্মক/ঋণাত্মক আধানের পরিমাণ ও মেরুদ্বয়ের দূরত্ব (বন্ধ-দৈর্ঘ্য-র গুণফল দ্বারা। যদি প্রতিটি মেরুতে আধানের পরিমাণ q এবং তাদের অন্তর্বর্তী দূরত্ব d হয় তবে, দ্বিমেরু ভ্রামক হয় : $\mu = q.d$ দ্বিমেরু ভ্রামক একটি ভেক্টর রাশি, অর্থাৎ এর মান ও দিক আছে। এই দিক সাধারণতঃ ধনাত্মক থেকে ঋণাত্মক আধানের দিকে দেখানো হয়।

একক : আধানের ক্রম 10^{-10} ই-এস্-ইউ, এবং দূরত্বে 10^{-8} , দ্বি-মেরু ভ্রামকের ক্রম হবে $10^{-10} \times 10$ বা 10^{-18} । এই 'পরিমাণ' (quantity)-কে কণা ডিভাই (Debye) একক বলা হয় এবং D প্রতীক দিয়ে চিহ্নিত করা হয়।

$$l = (q \times 4.810^{-10} \text{ ই-এস্-ইউ}) \times (1 \times 10^{-8} \text{ সেমি.}) = 4.9ql \times 10^{-18} \text{ ই-এস্-ইউ}$$

$$\text{সেমি} = 4.8qlD \text{ [আধান} = qe. \text{ la]}$$

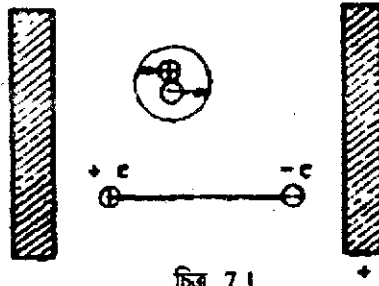
SI পদ্ধতিতে আধানের একক কুলম্ব (C) এবং দূরত্বের একক মিটার (m) হলে দ্বি-মেরু ভ্রামকের একক হবে কুলম্ব মিটার (Cm)। সেক্ষেত্রে $le = (q \times 1.62 \times 10^{-19} \text{ C}) (l \times 10^{-10} \text{ m}) = ql \times 1.602 \times 10^{-29} \text{ Cm}$

$$= 4.8qlD$$

$$\therefore 1 D = 3.338 \times 10^{-30} \text{ CM}$$

7.3 আবিষ্ট বা বিকৃতি মেরুকরণ (Induced or Distortion Polarisation)

প্রশ্ন হলো একটি অণু কিছু সংখ্যক ধনাত্মক আধানযুক্ত কেন্দ্রিক ও ঋণাত্মক আধান সম্পন্ন ইলেক্ট্রনের সমবায় গঠিত। এমন একটি অণুকে যদি একটি তড়িৎক্ষেত্রের দুটি আহিত পাতের মাঝখানে স্থাপন করা যায়। তবে ধনাত্মক আধান যুক্ত কেন্দ্রিকসমূহ ধনাত্মক পাত এবং ঋণাত্মক আধান যুক্ত ইলেক্ট্রনসমূহ ঋণাত্মক পাতের



চিত্র 7.1

দিকে আকর্ষিত হবে। ফলে অণুটিতে একটি পরিবর্তন আসবে—একপ্রান্তে থাকবে ঋণাত্মক ও অপরপ্রান্তের থাকবে ধনাত্মক আধান (চিত্র 2)। তড়িৎক্ষেত্রের প্রভাবে প্রশ্ন অণুতে ধনাত্মক ও ঋণ আধান (তড়িতিক দ্বিমেরু)

সৃষ্টি করার ঘটনাকে তাড়িতিক বিয়োজন (Electrical dissociation বা এটি ঘটে। তড়িৎক্ষেত্র সরিয়ে নিলে, ধনাত্মক ও ঋণাত্মক আধান অংশ দুটি অন্তর্হিত হয় ও অণুটি পূর্বাবস্থা ফিরে পায়। এ ধরনের মেরুকরণকে অণুর স্থায়ী দ্বিমেরু ভ্রামক নেই, তাই এদের সজ্জা-মেরুকরণ হবে না; তাপমাত্রায় পরিবর্তনে এরা অপরিবর্তিত থাকবে। কিন্তু HCl, C₆H₅NO₂ বা CH₃Cl-এর মত অণু (যাদের স্থায়ী দ্বি-মেরু ভ্রামক আছে) তাদের ক্ষেত্রে একথা চলে না। তাই তাপমাত্রা পরিবর্তনের সঙ্গে এদের মোট আণব মেরুকরণ তাপমাত্রার পরিবর্তনের ফলে পরিবর্তিত হবে। এভাবে, ধ্রুবীয় ও অধ্রুবীয় অণুর মধ্যে পার্থক্য করা সম্ভব।

এই ধরনের বিকৃতি ক্ষণস্থায়ী, কেবলমাত্র তড়িৎক্ষেত্রে প্রভাবেই এটি ঘটে, তড়িৎক্ষেত্র সরিয়ে নিলে, ধনাত্মক ও ঋণাত্মক আধান অংশ দুটি অন্তর্হিত হয় অণুটি পূর্বাবস্থা ফিরে পায়। এই ধরনের মেরুকরণকে তাই আবিষ্ট (induced) মেরুকরণ বলে এবং গঠিত দ্বি-মেরুটিকে আবিষ্ট দ্বি-মেরু (induced dipole) বলে।

আবিষ্ট মেরুকরণ দুই রকমের হয় :

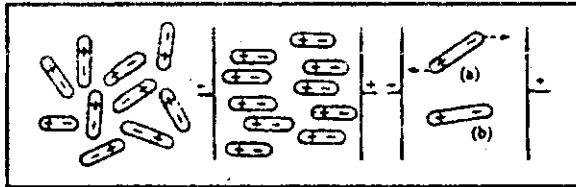
(i) তাড়িতিক মেরুকরণ (Electric Polarisation) : এতে ইলেকট্রনগুলি কেন্দ্রকের সাপেক্ষে ধারক (Capacitor)-এর ধনাত্মক পাতের দিকে দিলে আকর্ষিত হয়। একে P_e দ্বারা চিহ্নিত করা হয়।

(ii) পারমাণবিক মেরুকরণ (Atomic Polarisation) : এতে, কেন্দ্রগুলি পরস্পরের সাপেক্ষে বিকৃত হয়। এটি চিহ্নিত হয় P_a দ্বারা।

$$\therefore \text{আবিষ্ট মেরুকরণ} = P_i = P_e + P_a$$

7.4 দিকস্থিতি মেরুকরণ (Orientation Polarisation)

প্রতিটি ধ্রুবীয় অণুর ধনাত্মক ও ঋণাত্মক মেরু থাকে। সাধারণতঃ তড়িৎ-ক্ষেত্রের অনুপস্থিতিতে তাপীয় প্রভাবে (thermal effect) সকল দিক বরাবর সজ্জিত থাকে। (চিত্র 7.2)। কিন্তু তড়িৎ-ক্ষেত্র প্রযুক্ত হলে পরিষ্কার দুটি ঘটনা ঘটে দেখা যায় : (i) প্রথমঃ, ধনাত্মক ও ঋণাত্মক আধানের স্বাভাবিক বিকৃতি ঘটে, ফলে আবিষ্ট মেরুকরণ ঘটে।



চিত্র 7.2

চিত্র 7.3

চিত্র 7.4

(ii) দ্বিতীয়তঃ, ধ্রুবীয় হওয়ার দরুন সমস্ত অণুই তড়িৎক্ষেত্র দ্বারা ক্ষেত্রের দিকে সজ্জিত হয়। (চিত্র 7.3)। অণুগুলি স্থির থাকলে, তড়িৎক্ষেত্র তাদের তার দিকের সঙ্গে 180° বা ধারকপাতের সঙ্গে 90° কোণ করে তাদের সজ্জিত করবে। (চিত্র 7.2)। কিন্তু অণুগুলি সবসময় একটা গতিময়তার মধ্যে রয়েছে—একে বলা হয় তাপীয় আলোড়ন

(Thermal agitation) এই তাপীয় আলোড় উপযুক্ত কারণে অণুর নতুনতর সজ্জা (Orientation)-কে বাধা দেবে—ফলে অণুগুলি তাদের মূল অবস্থান ও ক্ষেত্রের দিকের একটা মাঝামাঝি অবস্থানে থাকবে (চিত্র (7.4)। অণুর উপর তড়িৎ-ক্ষেত্রের এই প্রভাবকে বলা হয় সজ্জা-মেরুকরণ (Orientation polarisation), P_o ।

7.5 মোট আণব মেরুকরণ (Total Molar Polarisation)

মোট আণব মেরুকরণ P_M হবে, $P_M = P_i + P_o$

[P_i = আবিষ্ট মেরুকরণ, P_o = সজ্জা মেরুকরণ]। P_i তাপমাত্রা – নিরপেক্ষ, এটি নির্ভর করে পদার্থের নির্দিষ্ট ধর্মের (দ্বি-তড়িতিক ধ্রুবক [dielectric constant, ও ঘনত্ব উপর) অনুপাতের উপর। উভয় ধর্মই সহজে পরিমাপযোগ্য।

অণুর সজ্জাকে – মেরুকরণ তাপমাত্রার উপর নির্ভর করে। O_2 , CO_2 , N_2 প্রভৃতি একরূপ স্থায়ী দ্বি-মেরুকৃত অণুর সম্বন্ধে বলা হয় যে, এদের ধ্রুবীয়তা (Polarity) আছে বা এদের মেরুকরণ/মেরুভবন ঘটে। এই মেরুভবনের প্রবণতা মাপা যায় দ্বি-মেরু (দ্বি-ধ্রুবীয়) ভ্রামক (dipole moment) দিয়ে—এটি সংজ্ঞাগত হয় ধনাত্মক/ঋণাত্মক/আধানের পরিমাণ ও মেরুদ্বয়ের দূরত্ব (বন্ধ-দৈর্ঘ্য-র গুণফল দ্বারা। যদি প্রতিটি মেরুতে আধানের পরিমাণ q এবং তাদের অন্তর্বর্তী দূরত্ব d হয় তবে, দ্বিময় ভ্রামক হয় : $\mu = q.d$ । দ্বিমেরু ভ্রামক একটি ভেক্টর রাশি, অর্থাৎ এর মান ও দিক আছে। এইদিক সাধারণতঃ ধনাত্মক থেকে ঋণাত্মক আধানের দিকে দেখানো হয়।

একক : আধানের ক্রম 10^{-10} ই-এস্-ইউ, এবং দূরত্ব 10^{-8} , দ্বি-মেরু ভ্রামকের সম হবে $10^{-10} \times 10^{-8}$ বা 10^{-18} । এই 'পরিমাণ' (quantity)-কে বলা ডিভাই (Debye) একক বলা হয়, এবং D প্রতীক দিয়ে চিহ্নিত করা হয়।

$$\mu = q \times 4.815 \cdot 10^{-10} \text{ ই-এস্-ইউ} \times (1 \times 10^{-8} \text{ সেমি}) = 4.8q \times 10^{-18} \text{ ই-এস্-ইউ সেমি।}$$

$$= 4.8 q \text{ D}$$

$$\therefore 1D = 3.338 \times 10^{-30} \text{ cm.}$$

7.6 মেরুভবন প্রবণতা (Polarisability)

তড়িৎক্ষেত্রে অবস্থানকালে অণুসমূহ দ্বিমেরুভ্রামক অর্জন করে। এই দ্বি-মেরু ভ্রামকের (μ) পরিমাণ তড়িৎ-ক্ষেত্রের শক্তি, F -এর সমানুপাতিক :

$$\mu_i = \alpha F$$

সাধারণতঃ এটি অণুর সজ্জার উপর নির্ভরশীল। তড়িৎ-ক্ষেত্র-শক্তি খুব বেশি হলে μ_i , F^2 -এর সমানুপাতিক হয় : $\mu_i = \beta F^2$; β (সমানুপাত-ধ্রুবক)-কে 'অতিমেরুভবন প্রবণতা' (hyperpolarizability) বলে। কোনও ক্ষেত্রের পক্ষে অণুকে ধ্রুবীয় করার ক্ষমতার পরিমাপ করা হয় অণুর মেরুভবনপ্রবণতার উপর। একক শক্তির

তড়িৎক্ষেত্র দ্বারা আবিষ্ট দ্বিমেরু ভ্রামকে দিয়ে 'মেরুভবন প্রবণতা'র সংজ্ঞাগত হয়।

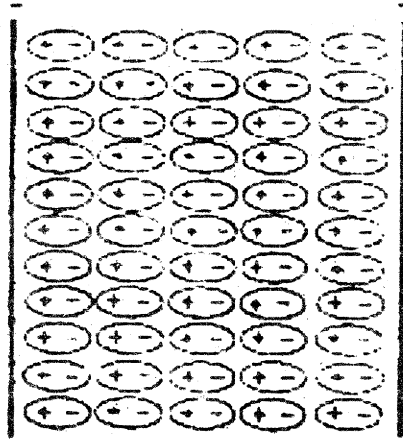
দ্বিতাড়িতিক ধ্রুবক (Dielectric constant)

এটি মাধ্যমের একটি ধর্ম। শূন্যস্থানের জন্য এইমান, $\epsilon = L$ কিন্তু অন্য মাধ্যমের ক্ষেত্রে $\epsilon > L$ এর পরিমাপ করতে গেলে প্রথমে ধারকের পাত দুটির মধ্যবর্তী স্থান শূণ্য করে ঠারকত্ব (Capacity) C_0 মেপে নেওয়া হয়। তারপরে মধ্যবর্তী স্থান সংশ্লিষ্ট মাধ্যমের দ্বারা পূণ্য করে ধারকত্ব যে মাপা হয়, তবে, $\epsilon = \frac{C}{C_0}$ ।

$10^6 - 10^6$ সেকেন্ড⁻¹ কম্পাঙ্কের পরিবর্তী তড়িৎপ্রবাহ ব্যবহার করে—এখন বিভিন্ন বৈদ্যুতিক যন্ত্র পাওয়া যায়—এদের ধারা ধারকত্ব মাপা যায়।

7.7 মোসোট্টি-ক্লসিয়াস্ (Mosotti-Clansius) সমীকরণ :

দ্বি-তাড়িতিক ধ্রুবক এবং আবিষ্ট মেরুকরণ-এর সম্পর্ক নির্ণয় করেন, মোসোট্টি (1850) এবং ক্লসিয়াস্ (1879)। এই সম্পর্ককে বলা হয় মোসোট্টি ক্লসিয়াস্ সমীকরণ।



ধরা হয় যে প্রতিটি অণু একটি ছোট্ট গোলক (চাক্ষুষ)। আরও ধরা হয় যে প্রারম্ভে গোলকাকৃতি অণুগুলির মধ্যস্থিত আধান এমনভাবে সমবন্ডিত যাকে যে তড়িৎ-ক্ষেত্র প্রয়োগের আগে অণুর স্থায়ী ভ্রামক শূণ্য হবে।

মনে করা যাক তড়িৎ-ক্ষেত্র প্রয়োগের ফলে উৎপন্ন বিকৃতি বা আবিষ্ট মেরুকরণ P_i -এর মধ্যে কোন স্থায়ী মেরু নেই।

অণুর মধ্যস্থ ইলেকট্রন ও কেন্দ্রক কিছু মাত্রায় সঞ্চরণশীল, কাজেই যখনই কোন অণু (তা ধ্রুবীয়ই হোক বা অধ্রুবীয়ই হোক), তড়িৎ-ক্ষেত্রে স্থাপিত হলেই তড়িৎকেন্দ্রদ্বয়ের কিছুটা স্থানচ্যুত ঘটে; এর ফলে উপস্থিত দ্বিমেরু ছাড়াও আরেকটা দ্বিমেরু অণুতে আবিষ্ট হবে চিত্র (7.5)। μ_i যদি এই আবিষ্ট দ্বিমেরুর তড়িৎ-ভ্রামক হয়। তবে—

$\mu_1 = \alpha_D$, F(1) F = একক অণুর উপরে প্রযুক্ত ক্ষেত্রের প্রাবল্য (intensity).

α_D (ধ্রুবক)-কে অণুর মেরুভবনপ্রবণত (Polarisability) বলে। কোনও অণুর কতটা সহজে মেরুকরণ সম্ভব তার পরিমাপ করা হয়—এই পরিমাপ আবার তড়িৎক্ষেত্রে ধনাত্মক ও ঋণাত্মক আধান নিজেদের সাপেক্ষে কত সহজে স্থানচ্যুত হতে পারে পরও পরিমাপ।

মনে করা যাক, দুটি আহিত পাত দ্বারা উৎপন্ন সম-তড়িৎক্ষেত্রের প্রাবল্য E_0 । যে ক্ষেত্রে কোন অণুবীয়া মাধ্যমে তড়িৎ-ক্ষেত্রের শক্তি কমে হয় E , কারণ অণুতে আবিষ্ট দ্বিমেরু প্রযুক্ত ক্ষেত্রে বিপরীত অভিমুখে কাজ করে। E_0/E অনুপাতকে মাধ্যমের দ্বি-তড়িতিক ধ্রুবক, ϵ । স্থির-তড়িৎ-বিদ্যা থেকে জানি,

$$E_0 = E + 4\pi I \quad \text{বা} \quad E_0 - E = 4\pi I$$

$$\text{বা, } E \left(\frac{E_0}{E} - 1 \right) = 4\pi I \quad \text{বা} \quad E(E - 1) = 4\pi I \quad (3) = [I = \text{একক আয়তনে আবিষ্ট দ্বিমেরুর তড়িৎ-ভ্রামক}]$$

$\therefore I = \mu_1^n \dots (4)$ [n = প্রতি মিলিলিটারে অণুর সংখ্যা এবং μ_1 = আবিষ্ট দ্বিমেরুর তড়িৎ-ভ্রামক]।

তড়িৎ-প্রাবল্য F কয়েকটি অংশের সমন্বয় :

- (i) পাত দুটির উপরের আধান-ক্ষেত্র E_0 ।
- (ii) পাত দুটির সঙ্গে সংযুক্ত দ্বি-তড়িতের পৃষ্ঠে আবিষ্ট আধানের দ্রুণ বল— $4\pi I$ ।
- (iii) গোলকাকৃতি গহ্বরের উপর পৃষ্ঠে আবিষ্ট আধানজনিত অংশ $\frac{4}{3}\pi I$ ।
- (iv) গহ্বরের মধ্যস্থ অণুসমূহের দ্বারা গঠিত ক্ষেত্র।

তরল ও গ্যাসের ক্ষেত্রে, অণুগুলি বাহ্যিক ক্ষেত্রের অনুপস্থিতিতেই সজ্জিত হয়ে থাকে। তাই গহ্বরের মধ্যস্থ অণুগুলি দ্বারা গঠিত ক্ষেত্র অগ্রাহ্য করা যায়। সেক্ষেত্রে, $F = E_0 + \frac{4}{3}\pi I - 4\pi I$(5)

$$(2) \text{ ও } (5) \text{ থেকে, } F = E + 4\pi I + \frac{4}{3}\pi I - 4\pi I = E + \frac{4}{3}\pi I \dots\dots\dots(6)$$

$$(3) \text{ ও } (6) \text{ থেকে, } F = E + \frac{1}{3}E(\epsilon - 1) = E + \frac{E\epsilon}{3} - \frac{E}{3}$$

$$\text{বা } F = \frac{2E}{3} + \frac{E\epsilon}{3} = \frac{E}{3}(2 + \epsilon) \dots\dots\dots(7)$$

$$(7) \text{ ও } (1) \text{ থেকে, } \mu_1 = \alpha_D \cdot \frac{E}{3} (2 + \epsilon) \dots\dots\dots(8)$$

$$(8) \text{ ও } (4) \text{ থেকে, } I = n\alpha_D \frac{E}{3} (2 + \epsilon) \dots\dots\dots(9)$$

$$(2) \text{ ও } (3) \text{ থেকে, } E(\epsilon - 1) = 4\pi n\alpha_D \frac{E}{3}(2 + \epsilon)$$

$$\text{বা } \frac{\epsilon - 1}{\epsilon + 2} = \frac{4}{3} \pi n\alpha_D \dots\dots\dots(10)$$

যদি পাত দুটির অন্তর্বর্তী মাধ্যমের ঘনত্ব δ এবং আণবিক ওজন M হয়। তবে,

$$n = \frac{NP}{M} \dots\dots\dots(ii)$$

10 ও 11 থেকে পাই:

$$\frac{\epsilon - 1}{\epsilon + 2} \frac{M}{\delta} = \frac{4}{3} \pi N\alpha_D \dots\dots\dots(13)$$

(13)নং সমীকরণকে ক্লসিয়াস মোসেস্টি সমীকরণ বলা হয়।

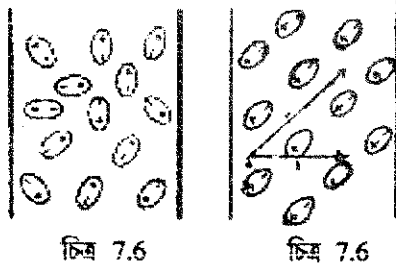
যেহেতু প্রযুক্ত ক্ষেত্র অণুর মধ্যে কেন্দ্রিক ও ইলেকট্রনের আপেক্ষিক অবস্থানের পরিবর্তন ঘটায়, তাই P_M^-

$$\text{কে আবিষ্ট বা বিকৃতি মেরুকরণ বলে অর্থাৎ } P_i = P_M = \frac{4}{3} \pi N\alpha_D \dots\dots(14)$$

সমীকরণ (14) থেকে দেখা যাচ্ছে আবিষ্ট মেরুকরণ তাপমাত্রার উপর নির্ভর করে না। পদার্থের উপর অর্থাৎ দ্বিতাত্ত্বিক গুণক, আণবিক ও ধর্ম ও ঘনত্বের উপর নির্ভরশীল।

7.8 ডিভাই (Debye) সমীকরণ : দিকস্থিতি মেরুকরণ

ডিভাই (1912) ধারকের পাতদ্বয়ের মধ্যে স্থাপিত ক্রবীয় অণুর আচরণ আলোচনা করেন। তড়িৎক্ষেত্রের অনুপস্থিতিতে, উচ্চতর তাপমাত্রায় তাপীয় গতির দরুণ অণুগুলি যদৃচ্ছ সঙ্কীর্ণ থাকে বলে কোন বিশেষ দিকে দ্বিমেরুত্ব থাকতে পারেন (চিত্র 7.6)। কিন্তু পাতদ্বয় বরাবর তড়িৎক্ষেত্র প্রয়োগ করলে অণুগুলি ক্ষেত্রের



দিক অনুযায়ী নিচ্ছেদের সঙ্কীর্ণ করে নেবে (চিত্র 7.7)। এই ব্যাপারটা থেকে ডিভাই তাপমাত্রায় পরিবর্তন সাপেক্ষে মেরুকরণের পরিবর্তন সম্বন্ধে গুরুত্বপূর্ণ সিদ্ধান্তে আসেন।

তার মতে, আণব মেরুकरण শুধুমাত্র ইলেক্ট্রন ও কেন্দ্রকের পারস্পরিক স্থান চ্যুতির দর্শন ঘটে না, অণুর নিজস্ব স্থায়ী দ্বিমেরুভ্রামক μ (ক্ষেত্রের অনুপস্থিতিতে)-র জন্যও ঘটে। এভাবেই তাপ-গুণাঙ্ক ব্যাখ্যাত হয়। এবং অণুর তড়িত-ভ্রামক সেক্ষেত্রে সমীকরণ (1) দিয়ে পাওয়া যাবে না, পাওয়া যাবে নিচের সমীকরণ দিয়ে :

$$\mu_M = \alpha F = (\alpha_D + \alpha_O)F = \alpha_D F + \alpha_O F \dots \dots \dots (14) \quad \text{বা,} \quad \mu_M = \mu_1 + m \dots \dots \dots (15)$$

[μ_1 = ক্ষেত্রের প্রয়োগে আবিষ্ট ধ্রুবীয়তা, m = দিক-স্তিতি মেরুकरणজনিত ভ্রামক,

$$\alpha = \text{মেরুভবনপ্রবণতা} = \alpha_D + \alpha_O$$

ডিবাই মনে করেন, ক্ষেত্র দ্বিমেরুকে নির্দিষ্ট দিকে রাখতে চায় আর তাপীয় আলোড়ন একে যদুচ্ছ অবস্থানে থাকতে প্ররোচিত করে—এই দুই শক্তির মধ্যে একটা সাম্যাবস্থা স্থাপিত হয়। তিনি আরও মনে করেন যে অণুগুলি হচ্ছে আধানতন্ত্র, কিন্তু তিনি ক্ষেত্র F দ্বারা অণুতে আবিষ্ট ভ্রামক অগ্রাহ্য করেন।

এখন, μ স্থায়ী আণবিক ভ্রামক এবং ক্ষেত্রে দিকের সঙ্গে আণব দ্বিমেরুর অক্ষের কোণ θ (চিত্র 7.8) হলে, অণুর স্থিতি শক্তি—

$$U = -\mu F \cos\theta \dots \dots \dots (16) \quad \text{ক্ষেত্রের দিক বরাবর স্থায়ী ভ্রামক হবে} \quad \mu \cos\theta$$

এখন বোল্জম্যান (Boltzmann) সূত্রানুসারে, dw কঠিন কোণে সংস্থাপিত দ্বি-মেরু-অক্ষ বিশিষ্ট অণুসমূহের সংখ্যা = $dN = A e^{-u/KT} dw$

[A = সমানুপাত ধ্রুবক, K = বোল্জম্যান ধ্রুবক]

$$\text{মোট অণুসংখ্যা} = \int_0^{2\pi} A e^{-U/Kt} dw = \int_0^{2\pi} A e^{\mu F \cos\theta/KT} dw \quad \therefore \text{ক্ষেত্রে দিক বরাবর অনুভূতি গড় ভ্রামক}$$

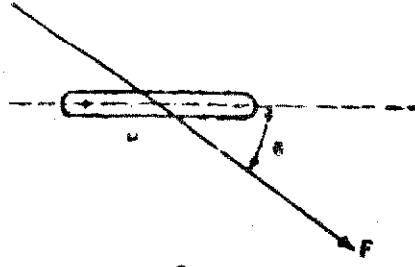
$$\text{ক্ষেত্রের দিকে মোট ভ্রামক} = \int_0^{2\pi} A e^{\mu F \cos\theta/KT} \mu \cos\theta dw$$

$$= \bar{m} = \frac{\int_0^{2\pi} A e^{\mu F \cos\theta/KT} \mu \cos\theta dw}{\int_0^{2\pi} A e^{\mu F \cos\theta/KT} dw}$$

$\mu F / KT = x$ এবং $\cos\theta = t$ বসিয়ে পাই—

$$\bar{m} = \frac{\mu \int_0^{2\pi} t e^{tx} dt}{\int_0^{2\pi} e^{tx} dt} \quad \text{বা,} \quad \bar{m} = \frac{e^x + e^{-x}}{e^x - e^{-x}} - \frac{1}{x}$$

$$= \left(\coth x - \frac{1}{x} \right) = L(x) \dots \dots \dots (17)$$



চিত্র 7.8

$L(x)$ গ্যাসীয় অণুর অশূন্যতা (para magnetism) বিষয়ক P.Langevin-এর অপেক্ষক।

সুদৃশ্য শক্তির মাত্র, x ছোট, হলে— $L(x) = \frac{1}{3}x$.

তাহলে সমীকরণ (w) দাঁড়বে, $\bar{m} = \frac{1}{3}\mu x = \frac{\mu^2}{3KT}F$(18)

সমীকরণ (14) ও (15)-র সঙ্গে তুলনা করে পাই।

$$\bar{m} = \alpha_0 F$$
.....(19)

$$18 \text{ ও } 19 \text{ থেকে, } \alpha_0 F = \frac{\mu^2}{3KT}F \text{ বা, } \alpha_0 = \frac{\mu^2}{3RT}$$
-(20)

$$\text{কিন্তু মোট মেরুকরণ } \alpha = \alpha_D + \alpha_0 + \frac{\mu^2}{3KT}$$
-(21)

দ্বি-তাত্ত্বিক ধ্রুবক $\frac{\epsilon-1}{\epsilon+2} \frac{M}{P}$ থেকে পাওয়া যায়, আণব মেরুকরণ আবিষ্টও দ্বি-স্থিতি মেরুকরণের যোগফল,

তাই! $P_M = P_I + P_0$

$$\text{কিন্তু } P_M = \frac{\epsilon-1}{\epsilon+2} \cdot \frac{M}{P}$$
.....(22)

সমীকরণ (12)-তে α_D -এর পরিবর্তে α -বসিয়ে পাই,

$$\frac{\epsilon-1}{\epsilon+2} \cdot \frac{M}{\delta} = \frac{4\pi N}{3} \alpha$$
.....(23)

$$(21) \text{ ও } (23) \text{ থেকে: } \frac{\epsilon-1}{\epsilon+2} \cdot \frac{M}{\delta} = \frac{4\pi N}{3} \left(\alpha_D + \frac{\mu^2}{3KT} \right)$$
-(24)

খুব কম চাপে গ্যাসের ক্ষেত্রে $\epsilon \rightarrow 1$ ($\therefore \epsilon + 2 = 3$)

$$\therefore \frac{\epsilon - 1}{3} \cdot \frac{M}{\delta} = \frac{4\pi N}{3} \left(\alpha_D + \frac{\mu^2}{3KT} \right) \quad (25)$$

সমীকরণ (24)-কে ডিভাই সমীকরণ বলা হয়। এ থেকে স্পষ্ট N —

$$P_M = P_i + P_0,$$

যেখানে P_i = (আবিষ্ট মেরুকরণ = $(4\pi N \alpha_D / 3)$) এবং দিক-স্থিতি মেরুকরণ $P_0 = \frac{4}{3} \pi N \cdot \frac{\mu^2}{3KT}$

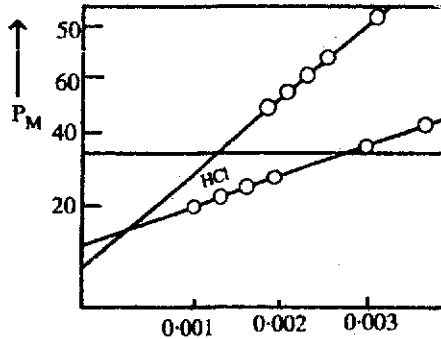
7.8.1. মোট মেরুকরণ ও তাপমাত্রা :

তাপমাত্রা বাড়ালে, অনুসমূহের তাপীয় সঞ্চালন বৃদ্ধি পায়, এবং স্থায়ী অণুর উপর দিক স্থিতি প্রভাবকে তা বাধা দেয়, ফলে দিক-স্থিতি মেরুকরণ তাপমাত্রা বৃদ্ধির জন্য কমে। এ ব্যাপারটা প্রত্যক্ষ করা যায় ডিভাই সমীকরণের নিচের রূপ থেকে :

$$P_M = \frac{4}{3} \pi N \alpha_D + \frac{4}{3} \pi N \left(\frac{\mu^2}{3KT} \right)$$

$$\text{বা, } P_M = a + \frac{b}{T} \quad (26)$$

$$\left[\alpha = \frac{4}{3} \pi N \alpha_D \quad \text{ও} \quad r = \frac{4}{3} \pi N \left(\frac{\mu^2}{3K} \right) - P_0 N \right]$$



(26) সমীকরণ অনুযায়ী P_M বনাম $\frac{1}{T}$ লেখচিত্র হবে চিত্র 7.9-এর মত। অণুবীক্ষণ পদার্থের ক্ষেত্রে μ (b) = 0

হবে, এবং লেখটি $\frac{1}{T}$ -অক্ষের সমান্তরাল হবে। তা না হলে, গতি = b (μ -এর উপর নির্ভরশীল)।

7.8.2 ডিভাই সমীকরণের প্রত্যয় :

ডিভাই সমীকরণ আগব মেরুকরণ P_{μ} ও $\frac{1}{T}$ -র মধ্যে একটা সুন্দর সরলরৈখিক সম্পর্ক দেখায়। কিন্তু ধ্রুবীয় পদার্থের দ্রবণ, কিছু ধ্রুবীয় তরল প্রভৃতির ক্ষেত্রে এটি ঘটে যায়। কিন্তু লঘু দ্রবণ ও বিশুদ্ধ ধ্রুবীয় তরলের ক্ষেত্রে ঘটে না। অনসাগের (Onsager), কির্কউড (Kirkud), ফন ব্লেক (Van Vleex) ও আরও অনেকের পদন্ত কোয়টান তন্তু দ্বারা এ চ্যুতি ব্যাখ্যা করা যায়।

7.9 দ্বিমেরু ভ্রামকের পরিমাপন

আসুন, আমরা দেখি দ্বি-মেরু ভ্রামকের পরিমাপ কী কী ভাবে করা যায়। অনেক পদ্ধতিই আছে—তার মধ্যে কয়েকটিরই আলোচনা করব আমরা।

7.9.1 এবার্ট (Ebert)-এর পদ্ধতি :

এই পদ্ধতির মূল নীতি হল : গ্যাসের মধ্যে (এবং কিছুটা তরলের মধ্যেও) অণুগুলির মুক্ত চলন বিদ্যমান। কিন্তু কঠিন পদার্থের ক্ষেত্রে অণুগুলি নির্দিষ্ট ত্রিমাত্রিক অবস্থান (ল্যাটিস)-এ প্রায় স্থির। কাঁচের তরল বা গ্যাসীয় পদার্থের অণুগুলি তড়িৎক্ষেত্রে স্থাপিত হলে বিকৃতি ও দিক-স্থিতি—উভয় প্রকার মেরুকরণের শিকার হবে। কিন্তু কঠিনের ক্ষেত্রে দিক-স্থিতি মেরুকরণ ঘটবে না। অর্থাৎ $P_0 = 0$ (তবে এটা যে সবসময় সত্যি, তা নয়)। এর অর্থ দাঁড়াল এই যে গ্যাসীয় (বা তরল) এবং কঠিন অবস্থায় মোট মেরুকরণ বিভিন্ন হবে।

$$\text{মোট মেরুকরণ : } P_{\text{gas}} = P_i + P_M$$

$$P_{\text{solid}} = P_i \quad \text{বা, } P_M = P_{\text{gas}} - P_{\text{solid}}$$

$$\text{বা, } \frac{4\pi N}{3} \left(\frac{\mu^2}{3KT} \right) = P_{\text{gas}} - P_{\text{solid}}$$

$$\therefore \mu = \sqrt{\left(\frac{9KT}{4\pi N} (P_{\text{gas}} - P_{\text{solid}}) \right)}$$

μ -ছাড়া আর সব রাশিগুলিই জানা।

7.9.2 তাপমাত্রা পদ্ধতি (Temperature method)

দ্বিতারিতিক ধ্রুবকের সরাসরি পরিমাপন থেকে মোট মেরুকরণ (P_M) জানা যায়। যদি M এবং P পৃথকভাবে মাপে নেওয়া হয়।

$$\text{এক, } P_i = a + \frac{b}{T}$$

যদি দুটি বিভিন্ন তাপমাত্রা T_1 ও T_2 -তে মোট মোরকরণ যথাক্রমে $(P_M)_1$ ও $(P_M)_2$ হয়, তবে—

$$(P_M)_1 - (P_M)_2 = b \left(\frac{1}{T_1} - \frac{1}{T_2} \right) = b \frac{T_2 - T_1}{T_1 T_2}$$

$$\therefore b = (P_M)_1 - (P_M)_2 \cdot \frac{T_1 T_2}{T_2 - T_1}$$

b -এর মান থেকে সহজেই μ -র মান বার করা যায়। কারণ—

$$b = \frac{4\pi N}{9K} \mu^2 \quad \text{বা,} \quad \mu = \sqrt{\frac{9K}{4\pi N}} b = 0.0128 \times 10^{-18} \sqrt{b} \quad (N, K \text{ ও } \pi\text{-এর প্রমান মান বসিয়ে)}$$

এই পদ্ধতির সীমাবদ্ধতা এই যে : শুদ্ধ কলের জন্য তাপমাত্রায় পাল্লা যথেষ্ট বেশি হওয়া দরকার। তাই পদ্ধতিটি কেবলমাত্র সেসব পদার্থের ক্ষেত্রেই প্রযোজ্য হবে, যার। ব্যবহৃত তাপমাত্রায় পাল্লায় বিয়োজিত হবে না। তরলের ক্ষেত্রে পাশাপাশি অণুর মধ্যে মিথস্ক্রিয়া ঘটে, তাই তরলে ক্ষেত্রে এই শর্ত রক্ষিত হয় না। বাষ্প বা গ্যাসের ক্ষেত্রে এই পদ্ধতিতে শুদ্ধ ফল পাওয়া সম্ভব।

7.9.3 প্রতিসরণ পদ্ধতি (Refraction method) :

এই পদ্ধতিতে একটি মাত্র তাপমাত্রায় প্রতি সরাকের সাপেক্ষে দ্বিতাড়িতিক ধ্রুবক মাপা হয়।

$$\text{আমরা জানি : } P_M = P_i + \frac{4\pi N}{3} \cdot \frac{\mu^2}{3KT} \quad \text{বা,} \quad \mu = \sqrt{\frac{9K}{4\pi N} \cdot (P_M - P_i) \cdot T} = 0.0128 \sqrt{(P_M - P_i) \cdot T}$$

$$\text{এখন মোট মোরকরণ } P_M = \frac{\epsilon - 1}{\epsilon + 1} \cdot \frac{M}{d}, \quad \epsilon = \text{দ্বিতাড়িতিক ধ্রুবক।}$$

Maxwell দেখালেন যে $\epsilon = n^2$ ($n = \alpha$ অতিদীর্ঘ তরঙ্গ দৈর্ঘ্যে প্রতিসরাঙ্ক)

$$\therefore P_M = \frac{n_\alpha^2 - 1}{n_\alpha^2 + 2} \cdot \frac{M}{d}$$

$$\text{কাজেই অপ্রবীণ অণুর জন্য : } P_M = \frac{n_\alpha^2 - 1}{n_\alpha^2 + 2} \cdot \frac{M}{d} = \frac{4\pi\mu\alpha}{3}$$

প্রতিসরাঙ্ক n দৃশ্যমান অবলোকে মাপা হয়। পরপর নিচের সম্পর্ক থেকে দীর্ঘঅবলোহিত অংশের প্রতিসরাঙ্ক

$$\text{পাওয়া যায় : } n = n_\alpha + \left(\frac{a}{\lambda^2} \right)$$

$a =$ ধ্রুবক n , λ -তরঙ্গ দৈর্ঘ্যে প্রতিসরাঙ্ক এবং n_{α} দীর্ঘ তরঙ্গের জন্য প্রতিসরাঙ্ক; দৃশ্যমান আলোর দুটি তরঙ্গদৈর্ঘ্যে n মেপে নিয়ে তা থেকে a পাওয়া যায়। a পাওয়া গেলে n থেকে n_{α} পাওয়া যাবে।

7.9.4. লঘু দ্রবণ পদ্ধতি (Dilute solution method) :

উপরে বর্ণিত পদ্ধতিগুলি খাটবে তখন যখন অণুগুলির পারস্পরিক মিথস্ক্রিয়া অগ্রাহ্য করা যায়। উচ্চচাপে গ্যাসে ও তরলের ক্ষেত্রেই এই শর্ত অবশ্যই সিদ্ধ হয় না।

যদি কোন ধ্রুবীয় পদার্থ অধ্রুবীয় মাধ্যমে দ্রবীভূত করা হয়, তবে দ্বিমেরু মিথস্ক্রিয়া সাধারণতঃ তুলনামূলকভাবে অনেক কম। কাজেই লঘুদ্রবণের মোট মেরুকরণ উপাদানসমূহের মেরুকরণের যোগফল। এই ধারণা নিয়ে, ডিভাই নিচের সম্পর্ক প্রতিষ্ঠা করেন :

$$P_{1,2} = \frac{\epsilon_{m-1}}{\epsilon_{m+2}} \cdot \frac{x_1 M_1 + x_2 M_2}{\rho}$$

$P_{1,2}$ = মিশ্রণের উপাদান 1, 2-এর মোট মেরুকরণ।

ϵ_m = মাধ্যমের দ্বিতাড়িতিক ধ্রুবক।

x_1, x_2 = দ্রাবক ও দ্রাব্যের মোল-ভগ্নাংশ।

M_1, M_2 = 1, 2 উপাদানের আণবিক ওজন।

ρ = দ্রবণের ঘনত্ব

$\therefore P_{1,2}$ উপাদান দ্বারা আদানের সমষ্টি,

$$\rho_{1,2} = x_1 P_1 + x_2 P_2$$

$$\text{বা, } \frac{\epsilon_{m-1}}{\epsilon_{m+2}} \cdot \frac{x_1 M_1 + x_2 M_2}{\rho} = \frac{\epsilon_{m-1}}{\epsilon_{m+2}} \cdot \frac{M_1}{\rho_1} x_1 + \frac{\rho_{m-1}}{6m_2+2} \cdot \frac{M_2}{\rho_2} x_2$$

যেখানে P_1 ও P_2 যথাক্রমে দ্রাবক ও দ্রাব্যের আণব মেরুকরণ। বিশুদ্ধ দ্রাবকের দ্বিতাড়িতিক ধ্রুবক থেকে P_1 বের করা যায়।

x_1 ও x_2 -র জ্ঞাতমানের জন্য দ্বিতাড়িতিক ধ্রুবকের মান বের করে P_2 বার করা সম্ভব। তারপর আবর্তিত প্রথায় $\frac{1}{T}$ বনাম P_2 লেখচিত্র থেকে μ বার করে নেওয়া যায়।

এই পদ্ধতিতে কম দ্বি-তারিক্ষেত্র ধ্রুবক বিশিষ্ট দ্রাবক নেওয়া হয়। মাঝে মাঝে অবশ্য প্রয়োজন হলে দ্রাবক অভিক্রিয়া দূর করার জন্য বিশেষ সংশোধনের প্রয়োজন হয়।

ভন ব্লেক (Van Vleck, 1934) সংপরিবর্তন (modification) : গাড় দ্রবণের ক্ষেত্রেও ডিভাই সমীকরণ

প্রয়োগ করা যায়। শুধু $bN\mu^2$ রাশিটি সংযোজন করতে হবে

$$P = \frac{\epsilon - 1}{\epsilon + 12} = \frac{4\pi N}{2} \left[\alpha_D + \frac{\mu_2}{3kT + D\mu^2 N} \right]$$

b ধ্রুবক। N = একক আয়তন অণুর সংখ্যা। গাঢ়ত্ব শূণ্য হলে (খুব লঘু দ্রবণে) এই সমীকরণই ডিবাই সমীকরণের সঙ্গে মিলে যায়।

7.9.5 আণবিক রশ্মি পদ্ধতি (Molecular beam method)

বিসমসত্ত্ব (non-homogeneous) তড়িৎ ক্ষেত্রে অণুর আকর্ষণের প্রত্যক্ষ পরিমাপের উপর এই পদ্ধতির নীতি প্রতিষ্ঠিত।

মধ্যদিয়ে পদার্থের বাষ্পায়িত অণুসমূহের একটি সূক্ষ্ম রশ্মি বি-সমসত্ত্ব তড়িৎ ক্ষেত্রের মধ্য দিয়ে পাঠানো হয় এবং শেষে তরল বায়ুতে শীতলীকৃত পিতলেরপাতের উপর গ্রহণ করা হয়। অণুর ঘনীভবনের ফলে তৈরি দাতা অণুবীক্ষণে দেখা যায়।

অধ্রুবীয় অণুর ক্ষেত্রে, এই দাগ পাশের দিকে সরে যায়। ধ্রুবীয় অণুর ক্ষেত্রে তা ছাড়া এই দাগের বিস্তৃতি ঘটে। নির্দিষ্ট শর্তে এই বিস্তৃতি দ্বিমেরু ভ্রামকের সমানুপাতিক। তাই এই বিস্তৃতি থেকে আমরা অজ্ঞাত বস্তুর দ্বি-মেরু ভ্রামক নির্ণয় করতে পারি।

কম উদ্বায়িত সম্পন্ন ও অধ্রুবীয় দ্রাবকে অদ্রবণীয় অনেক যৌগের দ্বি-মেরু ভ্রামক এই পদ্ধতিতে নির্ণীত হয়েছে (সারণি 7.1)।

ডিবাই এককে যৌগসমূহের দ্বিমেরু ভ্রামক

জৈব অণু	μ	অজৈব অণু	μ
$CH_4, C_2H_4, C_3H_6, C_2H_2$		$H_2, Cl_2, Br_2, I_2, N_2$	
C_6H_6 , ডাইফিনাইল, ন্যাপথ্যালিন,)	0	$CO_2, Cs_2, SnCl_2, SnI_4$	0
CCl_4, CBr_2		Hx : Cl	1.03
CH_3, Cl	1.86	Bi	0.78
CH_3, Br	1.80	I	0.38
C_2H_5OH	1.70	H_2O	1.84
C_2H_5Br	2.03	HCN	2.23
CH_3NH_2	1.24	NH_3	1.46
CH_3OH	1.74	SO_2	1.63

জৈব অণু	μ	অজৈব অণু	μ
ডাইক্রোরোবোবেঞ্জিন :		N_2O	0.17
O	2.5	CO	0.12
m	1.72	PH_3	0.55
p	0	Pcl_3	0.78
		$AsCl_3$	1.59
ক্লোরোনাইট্রোবেঞ্জিন			
O	4.64		
m	3.73		
p	2.83		

7.10 মেরুকরণ ও আণব ব্যাসার্ধ (Polarisation and Molecular Radius)

অবিষ্ট মেরুকরণ (P_1) ব্যবহার করে আণবিক ব্যাসার্ধ বের করা যায়।

আমরা জানি, $P_1 = \frac{4}{3} \pi N \alpha = 2.54 \times 10^{24} \alpha$ (অ্যাবোগ্যাড্রো সংখ্যা ও π -এর মান বসিয়ে)।

\therefore গ্যাস/বাস্পের ক্ষেত্রে প্রতিসরাঙ্ক = 1.

$$\therefore P_1 = \frac{\epsilon_{0-1}}{\epsilon_{0+2}} \cdot \frac{M}{\rho} = \frac{\epsilon - 1}{3} \cdot \frac{M}{\rho} = \frac{\epsilon - 1}{3} \times 22.4 \times 10^3 \text{ ml (STP-তে)}$$

$$\therefore 2.54 \times 10^{24} \alpha = \frac{\epsilon - 1}{3} \times 22.4 \times 10^3$$

$$\therefore \alpha = 2.94 \times 10^{-21} (\epsilon - 1).$$

এখন যদি X প্রাবল্যের ডিডিং-ক্ষেত্রে r ব্যাসার্ধের পরিবাহী গোলক স্থাপন করা হয়। তবে,

$$\mu_1 = r^3 X$$

$$\therefore \mu_1 = \alpha x, \quad \therefore \alpha = r^3 \quad \therefore r^3 = 2.94 \times 10^{-21} (\epsilon - 1).$$

তবে এই মান খুব একটা ঠিক নয়। যেমন H-এর ক্ষেত্রে এভাবে পাওয়া হল 92 pm (সাম্প্রতা-পরিমাপ থেকে পাওয়া মান 109)।

অনুশীলনী—1

1. 293K-তে,

জলের আণব মেরুকরণ = 74.2 মিলি

প্রতিসরাঙ্ক = 1.333

ঘনত্ব = 0.999 গ্রাম মিলি⁻¹

পারমাণবিক মেরুকরণ অগ্রাহ্য করে উপরের তথ্য থেকে জলের দ্বিমেরু ভ্রামক নির্ণয় করুন।

2. He পরমাণুর মেরুভবন প্রবণতা 0.4×10^{-24} মিলি হলে He পরমাণুর আণুমানিক ব্যাসার্ধ বের করুন।

7.11 দ্বিমেরু ভ্রামক ও অণুর গঠন (Dipolemoment ad)

অণুর গঠন নিরূপণের ক্ষেত্রে দ্বিমেরু ভ্রামক একটি মূল্যবান কৌশল হিসাবে পরিগণিত। এর ব্যাখ্যা প্রসঙ্গে আমরা গাঠনিক বিন্যাস (configuration) সম্বন্ধে আশ্চর্যজনকভাবে গুরুত্বপূর্ণ তথ্যও সিদ্ধান্তে পৌঁছতে পারি।

7.11.1 সমযোজী বন্ধের শতকরা আয়নীয় মাত্রা নির্ণয় :

দ্বিমেরু ভ্রাবকের মান থেকে আমরা সমযোজী বন্ধের শতকরা আয়নীয় মাত্রা নির্ণয় করতে পারি। AX

বন্ধের শতকরা আয়নীয় মাত্রা হবে $\frac{\mu_{obs}}{\mu_{calc}} \times 100\%$ ।

আসুন একটা উদাহরণ নিই। HCl অণুর বন্ধ-দৈর্ঘ্য = 127 pm = 1.27Å, এবং প্রাপ্ত দ্বিমেরু ভ্রামক (μ_s) = 1.03D।

যদি পুরোপুরি ইলেকট্রন বদলি ঘটত অর্থাৎ অণুটি H⁺ Cl⁻ হত তবে দ্বিমেরু ভ্রামক হত e.d. (e = আধান, d = দূরত্ব) = $4.8 \times 10^{-10} \times 1.27 \times 10^{-8}$ ই-এস-ইউ সেমি = 6.4 D.

∴ শতকরা আয়নীয় মাত্রা = $\frac{1.03}{6.4} \times 100 = 17\%$

এই ফল থেকে অণুর কোন প্রান্ত ধনাত্মক, কোন প্রান্ত ঋনাত্মক—তা অবশ্য বোঝা যাবে না।

অনুশীলনী—2

1. ক্লোরোবেঞ্জিনের প্রাপ্ত দ্বিমেরু ভ্রামক 1.55D; C-Cl বন্ধ দূরত্ব = 280 pm হলে C-C বন্ধের আয়নীয় মাত্রা বের করুন।

7.11.2 বন্ধ ভ্রামক ও দ্বিমেরু ভ্রামক (Bond moment and dipole moment) :

অপরাতড়িত্বমিতার পার্থক্য কাকে বলে যে কোনও ভিন্নকেন্দ্রিক (heteronuclear) সমবোজী বন্ধের দ্বিমেরুভ্রামক থাকবে, একে বলা হয় বন্ধ-ভ্রামক (bond moment)। বহু পরমাণুক (polyatomic) অণুর ক্ষেত্রে অণুর দ্বিমেরুভ্রামক উপাদান বন্ধ ভ্রামকগুলির লব্ধি। এই লব্ধি '0' (শূন্য) হতে পারে। নিচে বন্ধ ভ্রামকের অবদান থেকে মূল যৌগের দ্বিমেরু ভ্রামক গণনায় পদ্ধতি দেখানো হল।

(i) H_2O (চিত্র 7.10); পরীক্ষিত দ্বিমেরু ভ্রামক μ_E 1.85D। O—H বন্ধ ভ্রামক

$$= \mu_{OH}; \angle HOH = 104.5^\circ.$$

$$\text{এখন } \mu_E = 2\mu_{OH} \cos 52.25 \quad \text{বা, } 1.85 = 2\mu_{OH} \cdot 0.6129$$

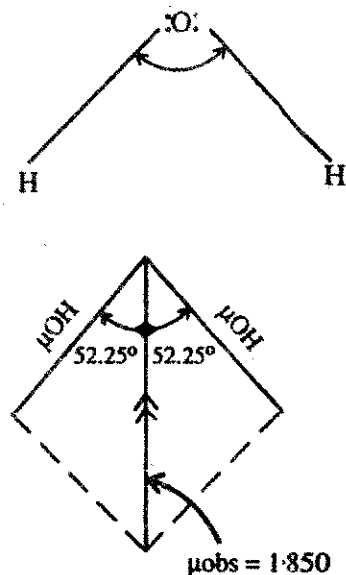
$$\therefore \mu_{OH} = 1.51D.$$

$$\text{বিকল্প পদ্ধতি : } \mu_E = \sqrt{2\mu_{OH}^2 + 2\mu_{OH}^2 \cos 104.5^\circ}$$

অনুরূপে μ_{OH} জানা থাকলে $\angle HOH$ বার করা যাবে।

সারণী 7.2-এ কতগুলি বন্ধ ভ্রামক দেখানো হল।

সারণি : 7.2



চিত্র 7.10

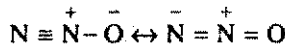
বন্ধ	ভ্রামক (D)	বন্ধ	ভ্রামক (D)
C—H	0.4	H—Br	0.8
C—O	0.9	H—I	0.4
C—F	1.4	S—H	0.8
C—Cl	1.5	F—Br	1.3
C—Br	1.4	F—Cl	0.9
C—I	1.2	Cl—Bor	0.6
C—N	0.2		
C=O	2.3		
O—H	1.6		
N—H	1.3		
H—F	1.9		
H—Cl	1.0		

অনুশীলনী—3

H₂S-এর দ্বিমেরু ভ্রামক 0.95D। বন্ধ কোণ 97° হলে S—H বন্ধ-ভ্রামক বের করুন। [ws 48.5 = 0.662]

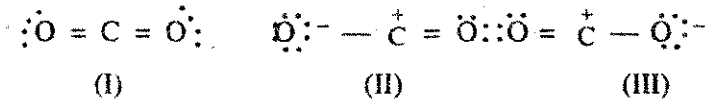
7.11.3 সংস্পন্দন (resonance) ও দ্বিমেরু ভ্রামক :

দ্বিমেরু ভ্রামকের ধারণা থেকে আমরা সংস্পন্দিত আণব গঠনতন্ত্রে সম্ভাব্য ক্যানোনিক্যাল গঠনগুলির অবদান সম্বন্ধে ধারণা করতে পারি। নাইট্রাস অক্সাইড (N₂O)-এর উদাহরণ। N₂O-র দ্বিমেরু ভ্রামক 0.17D. নিচের যে কোনও একটিই যদি একমাত্র গঠন হত তবে দ্বিমেরু ভ্রামক অনেক বেশি হত। তাহলে নিশ্চয়ই সংস্পন্দন ঘটছে।



CO₂-এর ব্যাপারটা দেখুন। এর দ্বিমেরু ভ্রামক নেই। কাজেই এর গঠন রৈখিক। O = C = O

এখন অন্যান্য ধর্ম ব্যাখ্যা করতে গিয়ে দেখা যায় যে এই অণুতে সংস্পন্দ আছে। লক্ষ্য করুন নিচের II ও III ক্যানোনিক্যাল গঠন দুটির দ্বিমেরু ভ্রামক সমান হবে, কিন্তু তাদের দিক বিপরীত। চাই যৌগটির দ্বিমেরু ভ্রামক শূন্যই হবে।



7.11.4 অণুর গঠন ও দ্বিমেরু ভ্রামক :

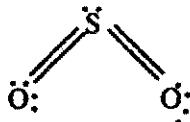
আপনারা উপরের আলোচনা থেকে দ্বিমেরু ভ্রামক ও অণুর গঠনের ধারণা পেয়ে গেছেন।

দ্বিমেরু ভ্রামক শূন্য বলে CO₂, CS₂, HgCl₂-র গঠন রৈখিক।



অন্যদিকে H₂S, H₂O কৌণিক।

আবার দেখুন CO₂ রৈখিক, কিন্তু SO₂ কৌণিক, কারণ SO₂ দ্বিমেরু ভ্রামক আছে (1.7D)। আমরা এবার কারণ হিসাবে S-এর নিঃসঙ্গ জোটকে দায়ী করতে পারি।

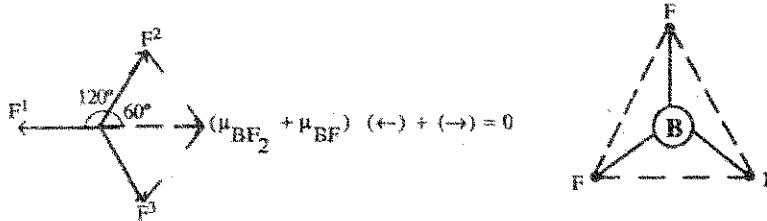


উপরের উদাহরণগুলি সবই ত্রিপরমাণুক যৌগেরা। আসুন এবার চতুঃপরমাণুক অণুর কথা বলি। বন্ধ তো BF₃-র দ্বিমেরু ভ্রামক কত হবে?

BF_3 সামতলিক। $\angle \text{FBF} = 120^\circ$ । BF_2 অংশের লব্ধিভ্রামক $= \mu_{\text{BF}_2}$

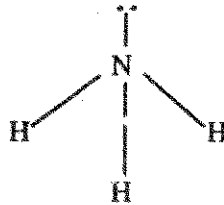
$$\sqrt{\mu_{\text{BF}}^2 + \mu_{\text{BF}}^2 + 2\mu_{\text{BF}} \cdot \mu_{\text{BF}} \cos 120^\circ} = \sqrt{2\mu_{\text{BF}}^2 + 2\mu_{\text{BF}}^2 \left(-\frac{1}{2}\right)} = \mu_{\text{BF}}$$

লব্ধি ও BF_2 বা BF_3 -র মধ্যের কোণ 60° । $\therefore \text{BF}$ বন্ধুভ্রামক ও লব্ধিভ্রামক সমান ও বিপরীত। তাই BF_3 -র দ্বিমের ভ্রামক 'শূন্য' (চিত্র 7.11)।



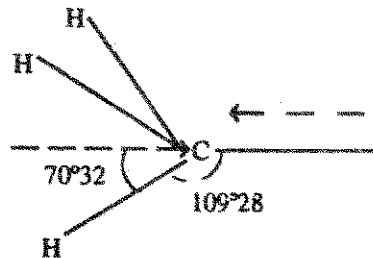
চিত্র 7.11

এরকম অণু যদি AB_2C সংকেতের হয়, তবে কিন্তু লব্ধি দ্বিমের ভ্রামক শূন্য হবে না। হবে না NH_3 -র ক্ষেত্রেও। NH_3 -র দ্বিমের ভ্রামক 1.46D। এটি ব্যাখ্যাও হয় NH_3 -র চতুষ্তলকীয় গঠন (একটি শর্তে নিঃসঙ্গ ইলেক্ট্রন জোড় আছে) দ্বারা (চিত্র 7.12)।



চিত্র 7.2

CH_4 , TiCl_4 , $\text{Ni}(\text{CO})_4$ জাতীয় পঞ্চপরিমাণুক যৌগের ক্ষেত্রে দ্বিমের ভ্রামক নেই। আসুন ব্যাখ্যা করে দেখা যাক (চিত্র 7.13)। এই অধ্বেণীয় আবরণের মূলে আছে এদের প্রতিসম চতুষ্তলকীয় গঠন—কার্বন পরিমাণ



চিত্র 7.13

থাকে কেন্দ্রস্থলে আর যোজ্যতা বন্ধগুলি পরস্পরের সঙ্গে $109^{\circ}28'$ কোণ করে থাকে। কার্বনের কেন্দ্রকই অণুটির প্রতিসমতা কেন্দ্র। দিমেরু ভ্রামকের অনুপস্থিতি থেকে বোঝা যায় যে একটি C—H বন্ধভ্রামক অপর তিনটি C—H বন্ধভ্রামকের লব্ধির সমান ও বিপরীত অর্থাৎ CH_3 গ্রুপের দিমেরু ভ্রামক C—H বন্ধ-ভ্রামকের সমান ও বিপরীত। প্রতীকের সাহায্যে এভাবে প্রকাশ করা যায় :

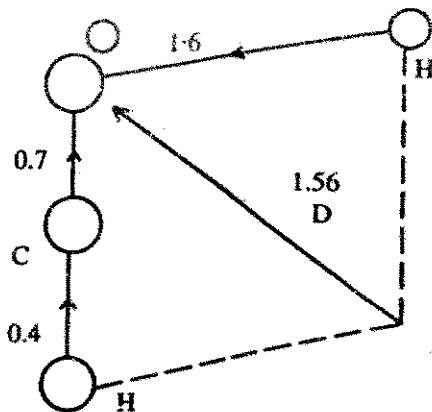
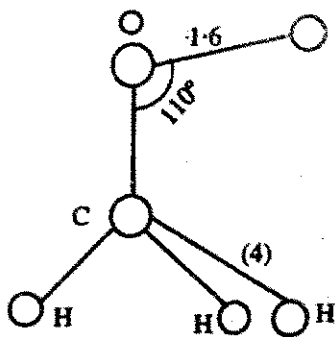
$\mu_{\text{CH}_3} = 3\mu_{\text{C-H}} \cos(180^{\circ} - 109^{\circ}28') = 3\mu_{\text{C-H}} \times \frac{1}{3} = \mu_{\text{C-H}}$ । তাহলে বোঝা যাচ্ছে $-\text{CH}_3$ -র দিমেরু ভ্রামক 0.4D। একই কারণে C_2H_5 ও অন্য মূলকের দিমেরু ভ্রামকের মান হবে 0.41D।

এ থেকে স্বাভাবিক ভাবেই সিদ্ধান্ত করা যায় যে সম্পূর্ণ হাইড্রোকার্বনের একটি H যদি $-\text{OH}$ মূলক দিয়ে প্রতিস্থাপিত হয়। তবে অ্যালকোহলের সমজাতীয় শ্রেণী পাওয়া যাবে তার সদস্যসমূহের একটি দিমেরু ভ্রামক হবে। অন্য সব সমগনীয় শ্রেণীর দিমেরুভ্রামকের ক্ষেত্রেও একথা সত্য (সারণি 7.3)।

সারণি 7.3

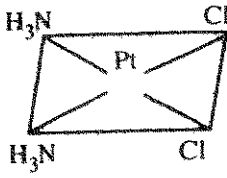
শ্রেণী মূলক	গড়দিমেরু ভ্রামক (D)
অ্যালকোহল	1.67
অ্যামিন	1.33
ক্লোরাইড	2.04
সায়ানাইড	3.57

অন্যভাবে আসুন এ ধারণার সত্যতা পরীক্ষা করা যাক। মিথাইল অ্যালকোহলকে উদাহরণরূপ নেওয়া যাক। আমরা তো দেখালাম $\mu_{\text{CH}_3} = 0.4$ । আর O—H বন্ধভ্রামক 1.6D। তাহলে চিত্র (7.11) থেকে পাওয়া যায় যে $\mu_{\text{CH}_3\text{OH}}$ -এর মান 1.56D। মানটি কোন শ্রেণীর গড় মানের প্রায় সমান।

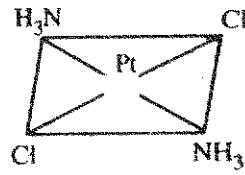


চিত্র 7.11

দিমেরুভ্রামক দিয়ে আমরা অ্যামিডিক সমাবয়ব দুটির মধ্যে পার্থক্য করতে পারি। সিস্ ও ট্রান্স-গ্লাটিনকে উদাহরণরূপ ধরতে পারি (চিত্র 7.12) ট্রান্স-গ্লাটিন (ট্রান্স ডাই অ্যামিন ডাই-ক্লোরো-গ্লাটিনাস (II)-এর দিমেরু ভ্রামক প্রায় শূন্য। কিন্তু সিস্-গ্লাটিনের দিমেরু ভ্রামক আছে।



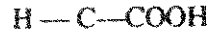
সিস্
চিত্র 7.2



ট্রান্স
চিত্র 7.13



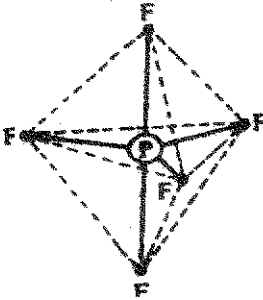
ম্যালিক অ্যাসিড



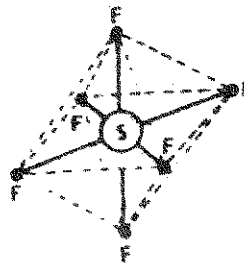
ফিউমারিক অ্যাসিড

ম্যালিক ও ফিউমারিক অ্যাসিড-এর ক্ষেত্রেও এই তথ্য প্রযোজ্য (চিত্র 7.13)।

আরও দুটি প্রতিসম নিচে দেখানো হল। এদের সবার দ্বিমেরু ভ্রামক শূন্য (চিত্র 7.14)।



ত্রিকোণ দ্বি-পিরামিড
(trigonal bipyramid)



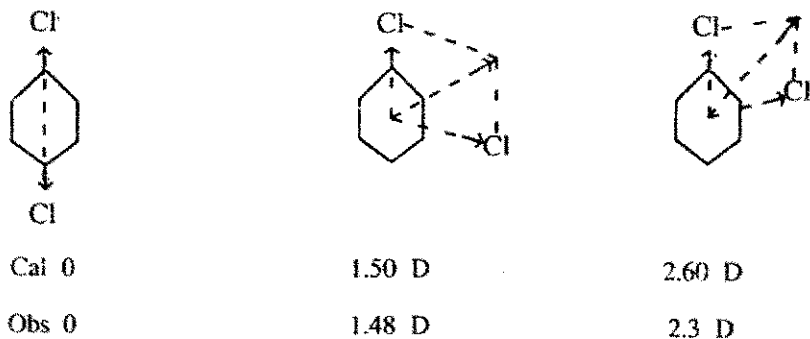
Symmetrical Octahedral

অষ্টতলকীয়
(octahedral)

দ্বি-মেরু ভ্রামক-এর মান থেকে বেঞ্জিন জাতকের 'ওরিয়েন্টেশন' জানা যায়। বেঞ্জিন নিজে প্রতিসম এবং এর দ্বিমেরু ভ্রামক শূন্য। এর একদল প্রতিস্থাপিত জাতকের দ্বিমেরু ভ্রামক নিম্নরূপ :

	CH_3	OH	NO_2	Cl	NO_2
$\mu \rightarrow 0$	0.40	1.40	3.90	1.50	3.9D

দ্বি-প্রতিস্থাপিত জাতকের ক্ষেত্রে নিচে দেখানো পদ্ধতিতে দ্বিমের ভ্রামক নির্ণয় করা যায়।



(চিত্র 7.15)

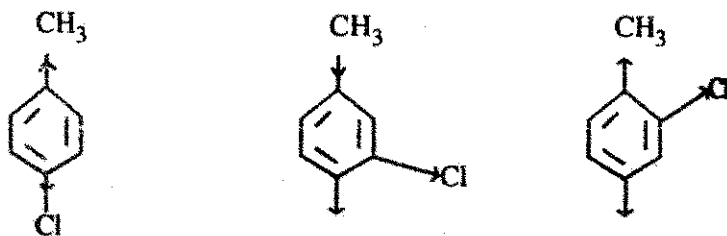
চিত্রে (7.15) দেখানো হয়েছে যে দ্বিমের ভ্রামকের ক্রম $p < m < 0$ । লক্ষ্য দ্বিমের ভ্রামক গণনা করা হয়েছে সহজ বলবিদ্যালয় নিয়মে :

$$\mu_R = \sqrt{\mu_1^2 + \mu_2^2 + 2\mu_1\mu_2 \cos \alpha}$$

$$\text{অতএব } O\text{-সমঘরের ক্ষেত্রে } \mu_R^2 = \sqrt{2(1.40)^2 + 2(1.40)^2 \cdot \frac{1}{2}} = \sqrt{3(1.40)^2} = 1.40 \times 1.73 \\ = 1.50 \times 1.732 = 2.60$$

$$\text{এক } m\text{-সমঘরের ক্ষেত্রে } \mu_R^m = 1.50 (\because \cos 120 = -\frac{1}{2})$$

ক্রোরোটিলুইনের সমঘরের ক্ষেত্রে গণনা হবে নিম্নরূপ :



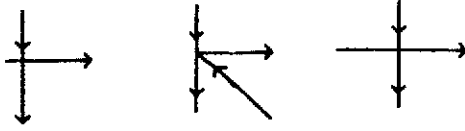
$$\mu_R^r = 0.40 + 1.50 = 1.90D$$

$$\mu_R^m = \sqrt{(0.40)^2 + (1.50)^2 + 2(0.40)(1.50) \cos 60^\circ} = \sqrt{3.01} = 1.73$$

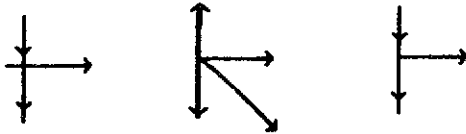
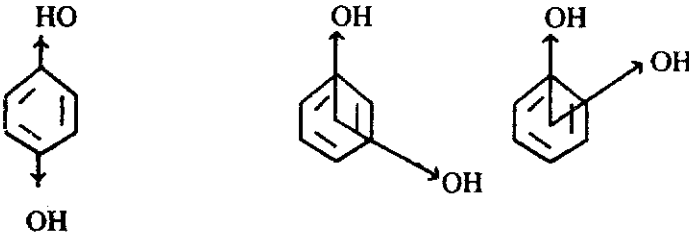
$$\mu_R^0 = \sqrt{(0.40)^2 + (1.50)^2 + 2(0.40)(1.50) \cos 128} = \sqrt{1.81} = 1.35$$

\therefore ক্রম $0 < m < p$

বিকল্প পদ্ধতি : প্রথমে 1 এবং R অভিক্রিয়ানুসারে দিমেরুর দিক ঠিক করতে হবে। তারপর অণুভূমিক ও উল্লম্ব পক্ষবরাবর ভেক্টরগুলির উপাংশ বের করে নেওয়া হয়। তারপর উপাংশগুলির বীজগাণিতিক যোগফল নিয়েই ক্রম বোঝা যাবে।



∴ ক্রম $0 - \angle m - \angle p$



∴ ক্রম $0 - \angle m - \angle p$

অনুশীলনী—4

1. ব্যাখ্যা করুন : CO_2 -র দিমেরু ভ্রামক নেই, কিন্তু SO_2 -র আছে।
2. ফেনলের দিমেরু ভ্রামক 1.40 হলে S-ট্রাই হাইড্রজি বেঞ্জিনের দিমেরু ভ্রামক কত হবে?

7.12 সারাংশ

স্থায়ী দিমেরু যুক্ত অণুকে ধ্রুবীয় অণু বলা হয়। এদের মেরুকরণ বা মেরুভবন ঘটে। যাদের ধ্রুবীয়তা নেই এমন অণুকেও তীব্র তড়িৎ ক্ষেত্রে পাঠালে কেন্দ্রিক ও ইলেকট্রনসমূহের স্থানচ্যুতির জন্য মেরুধর্ম আবিষ্ট হয়। আবার ধ্রুবীয় অণু সাধারণভাবে তাপীয় প্রভাবে সকল দিকে বরাবর সম্ভ্রিত থাকে। তড়িৎক্ষেত্র প্রয়োগ করলে অণুগুলির মেরু বিপরীত পাতে অতিমুখে সম্ভ্রিত হবে। এছাড়া ধনাত্মক ও ঋণাত্মক আধানের স্বাভাবিক বিকৃতিও ঘটবে। এভাবে দিকস্থিতি মেরুকরণ ঘটে। সবগুলি মেরুকরণের সমষ্টিকে মোট মেরুকরণ বলে। মেরুভবন-প্রবণতা প্রযুক্ত তড়িৎক্ষেত্রের প্রাধান্যের সমানুপাতিক।

মোসেস্টি-রুসিয়াম সমীকরণে পদার্থের দ্বি-তাত্ত্বিক ধ্রুবক ও আবিষ্ট মেরুকের সঙ্গত নির্ণীত হয়।

দিকৃষ্টি মেরুকের মাত্রিক ধারণা পাওয়া যায় ডিবিই সমীকরণে। তাপমাত্রা বৃদ্ধির সঙ্গে দিকৃষ্টি মেরুকের প্রবণতা কমে।

মোট মেরুকের/মেরুভবন নির্ণয় করার জন্য একাধিক পরীক্ষা আছে—একটি পদ্ধতি, তাপমাত্রা পদ্ধতি, প্রতিসরণ পদ্ধতি, আণবিক রশ্মি পদ্ধতি। মেরুকের পরিমাপ থেকে আণব ব্যাসার্ধ বার করা যায়।

দ্বিমেরু ড্রামক থেকে সমযোজী বন্ধের শতকরা আয়নীয় মাত্রা বের করা সম্ভব।

ডিয়কেন্দ্রিক সমযোজী বন্ধের দ্বিমেরুড্রামক থাকবে। একে আমরা বলি বন্ধ-ড্রামক। কোন যৌগের দ্বিমেরু ড্রামক বলতে বুঝি এই বন্ধ-ড্রামক সমূহের লব্ধি। এই লব্ধি শূন্য হতেও পারে। অণু গঠনের দিক থেকে প্রতিসম হলে দ্বিমেরু ড্রামক শূন্য হবে। BF_3 , CH_4 , PF_5 , ট্রাণ-জ্যামিতিক সমাগত—এসবের লব্ধি দ্বিমেরু ড্রামক শূন্য। দ্বিমেরু ড্রামক থেকে অণুর গঠন বিন্যাস জানা যায়। আবার বন্ধড্রামক ও গঠন বিন্যাস জানা থাকলে দ্বিমেরুড্রামক সহজ বলবিদ্যার নিয়মে জানা যায়।

7.13 প্রান্তিক প্রস্তাবনা

1. সিস্-ডাইক্লোরোইথিলিন ($M = 97$)-এর $302^\circ K =$ তাপমাত্রায় আণব মেরুকের 93-13 মিলি এবং $403K$ তাপমাত্রায় 74-35 মিলি। এর দ্বিমেরুড্রামক বের কর।

যৌগটির ঘনত্ব 1.28 গ্রাম মিলি $^{-1}$ বলে ঘনত্ব বের করুন। ধরে নিন যে পারমাণবিক মেরুকের 5%।

2. প্রমাণ তাপমাত্রা ও চাপে নাইট্রোজেনের দ্বিতাত্ত্বিক ধ্রুবক 1.00465 এবং ঘনত্ব 1.25 গ্রা লিটার $^{-1}$ । আবিষ্ট আণব মেরুকের ও মেরুভবন প্রবণতা বের করুন। ($N = 6.02 \times 10^{23}$)।

3. ব্যাখ্যা করুন :

(i) P-ডাই নাইট্রোবেঞ্জিন অক্ষীয় কিন্তু P-ডাইহাইড্রক্সিস কিনলের দ্বিধ্রুবীয় ড্রামক 1.64D.

(ii) নাইট্রোবেঞ্জিন ও মেটা ডাই নাইট্রোবিঞ্জেনের দ্বিমেরু ড্রামক অভিন্ন।

4. ওরিয়েন্টেশন নির্দেশ করুন :

কিনটি ক্লোরো নাইট্রোবেঞ্জিন—দ্বিমেরু ড্রামক 13.4, 2.5, 4.3D।

7.13 উত্তরমালা

অনুশীলনী—1

$$1. \text{ আণব প্রতিসরাঙ্ক } (R_M) = \frac{1.333^2 - 1}{1.333^2 + 2} \times \frac{1}{2} \frac{18}{0.998} = 3.7$$

এখন $P_M = P_a + P_i + P_o$

$P_a = 0$ $P_i = R_M$

$$\therefore P_M = R_M + \frac{4\pi N}{IKT} \mu^2 \quad \text{বা, } 74.2 = 3.7 + \frac{4\pi \times 6.02 \times 10^{23}}{9 \times (8.4 \times 10^{-7} / 6.02 \times 10^{23}) \times 297} \mu^2$$

$$\therefore \mu = 1.8 \times 10^{-18} \text{ ই-এস-ইউ} = 1.8 \text{ D.}$$

$$2. \quad r = (0.4 \times 10^{-24})^{\frac{1}{3}} = 0.74 \times 10^{-8} \text{ cm} = 74 \text{ pm.}$$

অনুশীলনী—২

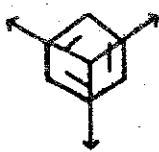
1. $280 \text{ cm} = 2.8 \times 10^{-8} \text{ সেমি.}$
- 7.11.1 অংশ দেখে নিজে করুন। উত্তর হবে: 11%।

অনুশীলনী—৩

$$1. \quad 0.95 = 2\mu_{SH} \cos 48.5 = 25H \times 0.662 \quad \therefore \mu_{SH} = 0.72D$$

অনুশীলনী—৪

1. নিজে চেষ্টা করুন।
1. শূন্য



জানা আছে: বিকৃতি/আবিষ্ক মেরুক্রমণ $P_i = P_a + P_e$

$$302\text{K-তে } P_M = P_i + \frac{B}{T_1} = 93.13$$

$$403.8\text{K-তে } P_M = P_i + \frac{B}{T_2} = 74.35$$

$$\therefore B = (93.13 - 74.35) \left(\frac{1}{302} - \frac{1}{403.8} \right)$$

$$= \frac{18 \cdot 78}{0 \cdot 00084} = 22357$$

$$\therefore \mu = 0 \cdot 0128 \sqrt{B} = 0 \cdot 0128 \sqrt{22357} = 1 \cdot 91 D.$$

$$\text{এখন, } P_e = 0 \cdot 95 P_i$$

$$\text{কিন্তু } P_i = 93 \cdot 13 - \frac{B}{T_i} = 93 \cdot 13 - \frac{22357}{302} = 16 \cdot 20$$

$$\therefore P_e = 0 \cdot 95 \times 18 \cdot 90 = 17 \cdot 96 \text{ মিলি।}$$

$$\text{আমরা জানি } \frac{n^2 - 1}{n^2 + 2} = 17 \cdot 96 \times \frac{1 \cdot 28}{97} = 0 \cdot 2366$$

$$\therefore n = 1 \cdot 385!$$

$$2. N_2 \text{ অণুবীক্ষণ, } \therefore P = P_i \text{ বা } P_i = \frac{\epsilon - 1}{\epsilon + 2} \cdot \frac{M}{P},$$

$$\rho = 1 \cdot 0048, M = 28, d = 1 \cdot 25 \text{ গ্রা/লিঃ} = 0 \cdot 00125 \text{ গ্রা. মিলি}^{-1}।$$

$$\therefore P_i = \frac{1 \cdot 00485 - 1}{1 \cdot 00485 + 2} \times \frac{28}{0 \cdot 00125} = 36 \cdot 16 \text{ মিলি/মোল।}$$

$$\text{আবার, } \rho_i = \frac{4}{3} \pi N \alpha_D$$

$$\therefore \alpha_D = \frac{3 \rho_i}{4 \pi N} = \frac{3 \times 36 \cdot 16}{4 \times 3 \cdot 14 \times 6 \cdot 02 \times 10^{23}} = 1 \cdot 435 \times 10^{-23}$$

3. (i), (ii) পাঠ্যাংশ দেখুন।

4. 0-; 4·3D; m-, 3·4D; p-, 2·5D.

7.15 অতিরিক্ত সহায়ক পুস্তকসমূহ

1. Physical Chemistry : P.C.Mukharjee (6th Edn.), Sarat Book Harc.
2. General and Inorganic Chemistry (vol. 2) R. Sarkar.
3. ভৌত রসায়ন : নিত্যানন্দ কুণ্ডু, রাজ্য পুস্তক পর্ষৎ

একক ৪ □ আণব বর্ণালী ও পদার্থের গঠন

গঠন

- 4.1 প্রস্তাবনা
 - উদ্দেশ্য
- 8.2 শোষণ বর্ণালী এবং পদার্থের আণবিক গঠন
- 8.3 ঘূর্ণন বর্ণালী ও অণুর গঠন
 - 8.3.1 ঘূর্ণন বর্ণালী
 - 8.3.2 দৃঢ় দ্বি-পরমাণুক অণুর ঘূর্ণন বর্ণালী
 - 8.3.3 বন্ধন দৈর্ঘ্য নির্ণয়
 - 8.3.4 ঘূর্ণন শক্তিস্তরের পরিবর্তনের শর্তাবলী
 - 8.3.5 বর্ণালী রেখার প্রাবল্য
 - 8.3.6 অদৃঢ় ঘূর্ণন
 - 8.3.7 অণুতরঙ্গ বর্ণালী বিশ্লেষণ ও পদার্থের আণবিক গঠন
- 8.4 অবলোহিত তরঙ্গ বর্ণালী
 - 8.4.1 কম্পাঙ্ক বর্ণালীর শর্তাবলী
 - 8.4.2 অসমঞ্জস দোলক ও বর্ণালী
 - 8.4.3 কম্পন এবং ঘূর্ণন
 - 8.4.4 কম্পন-সংখ্যা
 - 8.4.5 কম্পন বর্ণালী ও পদার্থের আণবিক গঠন
- 8.5 ইলেক্ট্রন বর্ণালী
 - 8.5.1 ইলেক্ট্রন বর্ণালী শর্তাবলী
 - 8.5.2 ইলেক্ট্রন শক্তিস্তর মাত্রা পরিবর্তন
 - 8.5.3 অণুর বিয়োজন শক্তি
 - 8.5.4 প্রতিপ্রভা এবং অণুপ্রভা
 - 8.5.5 ইলেক্ট্রনিক বর্ণালী বিশ্লেষণ এবং পদার্থের আণবিক গঠন
- 8.6 সারাংশ
- 8.7 প্রাস্তিক প্রশ্নাবলি
- 8.8 উত্তরমালা
- 8.9 অতিরিক্ত সাহায্যকারী পুস্তকসমূহ

সারণি-1

প্রয়োজনীয় ধ্রুবকের মান

ধ্রুবক	প্রতীক	মান
অ্যাভোগ্যাড্রো সংখ্যা	N_0	$6.02205 \times 10^{23} \text{ mol}^{-1}$
প্ল্যাঙ্ক ধ্রুবক	h	$6.626 \times 10^{-34} \text{ Js}$
বোলজম্যান ধ্রুবক	K	$1.38 \times 10^{-23} \text{ JK}^{-1}$
আলোর গতি	c	$2.998 \times 10^8 \text{ ms}^{-1}$
পারমাণবিক ভর একক	amu	$1.66 \times 10^{-27} \text{ kg}$.
ইলেকট্রনের ভর (স্থির)	m_e	$9.10953 \times 10^{-31} \text{ kg}$.
প্রোটনের ভর (স্থির)	m_p	$1.67265 \times 10^{-27} \text{ kg}$.
আণব গ্যাসধ্রুবক	R	$8.31441 \times \text{JK}^{-1}\text{mol}^{-1}$
রিডবার্গ ধ্রুবক	R_{∞}	$2.179914 \times 10^{-23} \text{ J}$.

সারণি-2

শক্তি এককের রূপান্তর গুণক

J	KJmol^{-1}	ev	au	cm^{-1}	Hz
1	6.022×10^{20}	6.242×10^{18}	2.2939×10^{17}	5.035×10^{22}	1.509×10^{33}
1 KJ. mol^{-1}	1	1.036×10^{-2}	3.089×10^{-4}	83.60	2.506×10^{12}
$= 1.661 \times 10^{-21}$					
1ev	96.48	1	3.675×10^{-5}	8065	2.418×10^{14}
$= 1.602 \times 10^{-19}$					
1 au	2625	27.21	1	21.95×10^3	6.58×10^{15}
$= 4.359 \times 10^{-18}$					
1 cm^{-1}	1.196×10^{-2}	1.24×10^{-4}	4.556×10^{-6}	1	2.998×10^{10}
$= 1.986 \times 10^{-23}$					
1 Hz	3.99×10^{-13}	4.136×10^{-15}	1.52×10^{-16}	3.336×10^{-11}	1
$= 6.626 \times 10^{-34}$					

8.1 প্রস্তাবনা

আলোকতরঙ্গ বা তড়িৎচুম্বকীয় তরঙ্গের সঙ্গে পদার্থের ক্রিয়ায় যে পরিমাণ শক্তি শোষিত বা বিকীরিত হয় তাকেই বর্ণালী বিজ্ঞান বলা হয়। পদার্থের অণুর ঘূর্ণনজনিত, কম্পনজনিত এবং ইলেকট্রন শক্তি স্তরজনিত বর্ণালী বিশ্লেষণের মাধ্যমে পদার্থের অণুর জাড্য ভ্রামক, বন্ধন-দৈর্ঘ্য, বন্ধনশক্তি এবং শক্তিস্তরে অণুসংখ্যা সহ পদার্থের আণবিক এবং জ্যামিতিক গঠন জানা সম্ভব। বর্ণালী বিজ্ঞান এই কারণে একবিংশ শতকের পদার্থে এবং রসায়ন বিজ্ঞানে এক বৈপ্লবিক পরিবর্তন সম্ভব করেছে। বিভিন্ন তরঙ্গ দৈর্ঘ্যের তড়িৎ-চুম্বকীয় তরঙ্গ পদার্থের অণুতে বিভিন্ন অণুতে বিভিন্ন প্রকার পরিবর্তন সাধন করে। অণু-তঙ্গ আলো অণুর ঘূর্ণনজনিত পরিবর্তন চিহ্নিত করে, অবলোহিত তরঙ্গ অণুর কম্পনজনিত পরিবর্তন চিহ্নিত করে, দৃশ্যমান এবং অতিবেগুনি আলোকরশ্মি পদার্থের অণুর ইলেকট্রন শক্তি স্তরে শোষণ বিকিরণের মাত্রা নির্ধারণ করে। সনাতন পদার্থে বিজ্ঞানের সাহায্যে পদার্থের বর্ণালী বিশ্লেষণ জানা সম্ভব ছিল না। কণায়িত গতিবিজ্ঞান এই অসম্ভবকে সম্ভব করেছে। কণায়িত গতিবিজ্ঞানের শ্রোয়েডিঞ্জারের সমীকরণের সাহায্যে ঘূর্ণনজনিত, কম্পনজনিত এবং ইলেকট্রন শক্তিস্তর জনিত শোষণ অথবা বিকিরণের যে শক্তি পার্থক্য নির্ণয় করা যায় তার সাহায্যে পদার্থের বন্ধন দৈর্ঘ্য, রঞ্জনশক্তি থেকে পদার্থের গঠন পর্যন্ত জানা সম্ভব! পদার্থের ঘূর্ণন বর্ণালী, কম্পন বর্ণালী এবং ইলেকট্রন বর্ণালী বিশ্লেষণের মাধ্যমে পদার্থের রাসায়নিক এবং জ্যামিতিক গঠনের পরচয় পাওয়া যায়।

বর্ণালী-বিজ্ঞানের পাঠের উদ্দেশ্য

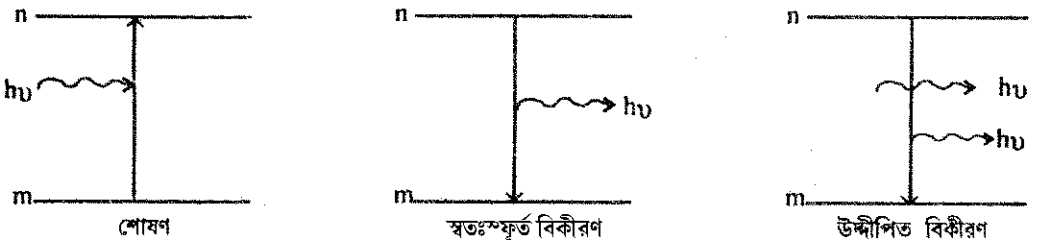
ঘূর্ণন-জনিত শক্তি পরিবর্তনের সাহায্যে অণুর জাড্যভ্রামক এবং বন্ধনদৈর্ঘ্য নির্ণয় করা যায়।

কম্পন-জনিত শক্তির পরিবর্তনের সাহায্যে অণুর বন্ধন-শক্তি নির্ণয় করা যায়। বলক্রমবকের সাহায্যে বন্ধনীয় জড়তা নির্ণয় করা সম্ভব। সর্বোচ্চ কম্পন কোয়ান্টাম সংখ্যার সাহায্যে বিয়োজন শক্তি জানা যায়।

ইলেকট্রন শক্তি স্তর পরিবর্তনের সাহায্যে অণুর গঠন, প্রতিপ্রভা, অণুপ্রভা ব্যাখ্যা করা যায়।

8.2 শোষণ বর্ণালী এবং পদার্থের আণবিক গঠন :

আমরা জানি, বিভিন্ন তরঙ্গ দৈর্ঘ্য বিশিষ্ট আলো শোষিত হলে পদার্থের অণু অথবা ইলেকট্রনের বিভিন্ন শক্তিস্তরে উৎক্রমণ বোঝায়। একে আমরা শোষণ বর্ণালী বা absorption spectroscopy বলি। আবার, বিভিন্ন তরঙ্গ দৈর্ঘ্য বিশিষ্ট আলো বিকীরিত হলে পদার্থের অণু অথবা ইলেকট্রনের শক্তিস্তরে অবনয়ন বোঝায়। একে আমরা বিকিরণ বর্ণালী বীক্ষা বা emission spectroscopy বলি।



চিত্র 8.1

বিভিন্ন তরঙ্গ দৈর্ঘ্যের আলো বিভিন্ন আণবিক প্রক্রিয়া সংগঠিত করে। যেমন, অণুতরঙ্গ দৈর্ঘ্যের আলো অণুর ঘূর্ণনজনিত শক্তিস্তর সম্পর্কে অবহিত করে আবার অবলোহিত তরঙ্গের আলো কম্পনজনিত শক্তিস্তর এবং দৃশ্যমান ও অতিবেগুনি তরঙ্গের আলো ইলেকট্রনের স্তর পরিবর্তন চিহ্নিত করে। নিচের সারণিতে তরঙ্গ দৈর্ঘ্য এবং শক্তিস্তর পরিবর্তনের প্রক্রিয়া উল্লেখ করা হল :

সারণি-3

তড়িৎ চুম্বকীয় তরঙ্গের অঞ্চল এবং তদ্ব্যজিত আণবিক প্রক্রিয়া

তরঙ্গ	কম্পাঙ্ক Hz	তরঙ্গ দৈর্ঘ্য Cm	তরঙ্গ সংখ্যা cm ⁻¹	শক্তি J molka ⁻¹	আণবিক প্রক্রিয়া
অণুতরঙ্গ (microwave)	10 ⁹ -10 ¹¹	3 × 10 ¹ - 3 × 10 ⁻¹	0.33 × 10 ⁻¹ - 0.33 × 10 ¹	6.6 × 10 ⁻²⁵ 6.6 × 10 ⁻²³	বহু আণবিক অণুর ঘূর্ণন
দূর অবলোহিত (far infrared)	10 ¹¹ -10 ¹³	3 × 10 ⁻¹ - 0.33 × 10 ⁻³	0.33 × 10 ¹ - 6.6 × 10 ⁻³	6.6 × 10 ⁻²³ - 6.6 × 10 ⁻²¹	ক্ষুদ্র অণুর ঘূর্ণন
অবলোহিত (infrared)	10 ¹³ -10 ¹⁵	3 × 10 ⁻³ - 3 × 10 ⁻⁵	0.33 × 10 ³ - 0.33 × 10 ⁵	6.6 × 10 ⁻²¹ - 6.6 × 10 ⁻²³	অণুর কম্পন
দৃশ্য এবং অতিবেগুনি	10 ¹⁵ -10 ¹⁷	3 × 10 ⁻⁵ - 3 × 10 ⁻⁷	0.33 × 10 ⁵ - 0.33 × 10 ⁷	6.6 × 10 ⁻²³ - 6.6 × 10 ⁻²⁵	ইলেকট্রন স্বর পরিবর্তন

(Visible and UV)

তড়িৎচুম্বকীয় তরঙ্গের বর্ণালী বৈশিষ্ট্য সারণিটি থেকে কিছুটা বোঝা যাচ্ছে। অণুতরঙ্গ দৈর্ঘ্যের আলো, দূর অবলোহিত তরঙ্গ দৈর্ঘ্যের আলো অণুর ঘূর্ণনজনিত শক্তিস্তরে উৎক্রমণ বা অবনয়ন বোঝায়; অবলোহিত তরঙ্গ দৈর্ঘ্য জনিত আলো অণুর কম্পনজনিত শক্তিস্তরে উৎক্রমণ বা অবনয়ন বোঝায়; দৃশ্য বা অতি-বেগুনি আলো ইলেকট্রন শক্তিস্তরে উৎক্রমণ বা অবনয়ন বোঝায়। বিকীরণের কম্পাঙ্ক নিম্নলিখিত সমীকরণ দ্বারা প্রকাশ করা যায় :

$$E_2 - E_1 = \Delta E = h\nu \dots 8.2.1$$

E_2 এবং E_1 হল যথাক্রমে উচ্চ শক্তিস্তর এবং নিম্নশক্তিস্তর, ν হল আলোক তরঙ্গের কম্পাঙ্ক; h হল প্ল্যাঙ্কের ধ্রুবক।

10¹⁰Hz বিশিষ্ট অণুতরঙ্গের তরঙ্গ দৈর্ঘ্য, তরঙ্গ সংখ্যা এবং গণনা :

শক্তি নির্ণয় :

$$\text{কম্পাঙ্ক, } \nu = 10^{10} \text{ Sec}^{-1}$$

$$\text{তরঙ্গ দৈর্ঘ্য, } \lambda = \frac{c}{\nu} = \frac{3 \times 10^{10}}{10^{10}} = 3 \text{ cm}$$

$$\text{তরঙ্গ সংখ্যা, } \gamma = \frac{\nu}{c} = \frac{10^{10}}{3 \times 10^{10}} \text{ cm}^{-1}$$

$$u = 0.33 \text{ cm}^{-1} = 33 \text{ m}^{-1}$$

শক্তিস্তরের পার্থক্য বোঝাতে বর্ণালী বিজ্ঞানে তরঙ্গ-সংখ্যা ব্যবহার করা হয়।

$$\begin{aligned} \Delta E &= h \bar{c} \gamma \\ &= (6.626 \times 10^{-34} \text{ JS}) (x 10^8 \text{ ms}^{-1}) (0.33 \times 10^2 \text{ m}^{-1}) \\ &= 6.6 \times 10^{-24} \text{ J.} \end{aligned}$$

শক্তির পরিবর্তনের মান ঘূর্ণনজনিত শক্তির পরিবর্তনের মানের সঙ্গে তুলনীয়। অতএব, এই পরিমাণ শক্তির আলোকতরঙ্গ পাঠালে পদার্থের অণুর ঘূর্ণনজনিত শক্তির পরিবর্তন ঘটবে।

অনুশীলনী—1

1. $10 \mu\text{m}$ তরঙ্গ দৈর্ঘ্যের আলোর কম্পাঙ্ক Hz-এ এবং তরঙ্গসংখ্যা Cm^{-1} -এ নির্ণয় করুন। উৎক্রমণের শক্তি পরিবর্তন নির্ণয় করুন। এই তথ্য থেকে কী ধরনের শক্তিস্তরের পরিবর্তন পাওয়া যাবে?

পদার্থের অণুর শক্তিস্তর পরিবর্তনের সঙ্গে আলোক তরঙ্গের কম্পাঙ্ক সমতুল হলে অথবা বেশি হলে পরিবর্তন সাধিত হবে না হলে নয়। কম্পাঙ্কের সমীকরণটি লেখা যার :

$$\nu = \Delta t/h \quad \dots\dots \quad 8.2.2$$

বর্ণালী শক্তি দিয়ে প্রকাশ করা হয় :

$$\nu = \Delta t/hc \quad \dots\dots \quad 8.2.3$$

c হল আলোর গতিবেগ।

অবলোহিত তরঙ্গ বিশিষ্ট আলোর বিকিরণে পদার্থের অণুর কম্পনজনিত শক্তিস্তরের পরিবর্তন লক্ষ্য করা যায়, তেমনই কম শক্তি সম্পন্ন ঘূর্ণনজনিত শক্তিস্তরেরও পরিবর্তন হয়। এই কারণে অবলোহিত বিকিরণ কম্পন-ঘূর্ণনজনিত শক্তি পরিবর্তন সাধন করে।

আবার, দৃশ্য ও অতিবেগুনি আলোর তরঙ্গশক্তি ইলেকট্রন শক্তি স্তরে পরিবর্তন সাধন করার সঙ্গে সঙ্গে পদার্থের অণুর কম্পনজনিত ও ঘূর্ণনজনিত শক্তির পরিবর্তনও সাধন করে।

অনুশীলনী—2

একটি 700 nm তরঙ্গ দৈর্ঘ্যের আলোর বর্ণালী শক্তি তরঙ্গ সংখ্যা কত? এই তরঙ্গ দৈর্ঘ্যের আলো কি পরিবর্তন সাধন করে?

8.3 ঘূর্ণন বর্ণালী ও অণুর ঘূর্ণন :

অণু-তরঙ্গ আলোর সাহায্যে পদার্থের অণুর ঘূর্ণন প্রক্রিয়া এবং ঘূর্ণন শক্তি পার্থক্য সম্পর্কে জানা যায়। ত্রিমাত্রিক আণবিক গঠনের ঘূর্ণন প্রক্রিয়ার জটিলতার কথা ভেবে আমরা তিনটি অক্ষে পদার্থের অণুর জ্যাডা ভ্রামকের কথা আলোচনা করব। তিনটি অক্ষে তিনটি প্রধান জ্যাডা ভ্রামক বর্তমান। এই তিনটি জ্যাডা ভ্রামকের মান পদার্থের ঘটন অনুযায়ী নির্ধারিত হবে।

জ্যাডা ভ্রামকের মান অনুযায়ী। অণুগুলিকে আমরা মোট চারটি ভাগে ভাগ করতে পারে।

(ক) রৈখিক অণু—এই অণুগুলিতে পরমাণুসমূহ একই সরলরেখায় আছে। যেমন



HCl



S-C-O

8.2

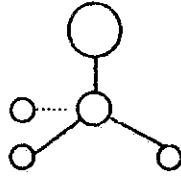
উপরের অণুদুটি HCl এবং OCS, ত্রুণীয় তাই অণুতরঙ্গ আলোক সক্রিয়। নিচে তিনটি অক্ষের জ্যাডাভ্রামক আলোচনা করা হয়েছে।

(1) বন্ধনী অক্ষ বরাবর (about the bond axis)—রৈখিক অণুগুলির ক্ষেত্রে বন্ধনী-অক্ষ বরাবর জ্যাডাভ্রামক শূন্য অথবা শূন্যের কাছাকাছি। $I = 0$.

(2) প্রান্ত-প্রতি প্রান্ত ঘূর্ণন (end-over-and rotatim)—কাগজের ডলে প্রান্ত-প্রতি প্রান্ত এবং কাগজের লম্বতলে প্রান্ত-প্রতিপ্রান্ত ঘূর্ণনের জ্যাডাভ্রামক সমান। $I_B = I_C$ ।

অন্তএব রৈখিক অণুর ক্ষেত্রে $I_B = I_C$, $I_A = 0$ ।

প্রতিসম অণু—মিথাইল ক্লোরাইড একটি প্রতিসম অণু।



○ H-পরমাণু

○ C-পরমাণু

○ Cl-পরমাণু

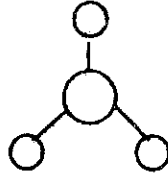
চিত্র 8.3

C-Cl বন্ধনী অক্ষ বরাবর জ্যায় ভ্রামক শূণ্য হবে না। $I_A \neq 0$

কাগজের তলে এবং কাগজের লম্ব তলে প্রান্ত-প্রতি প্রান্ত ঘূর্ণনের জ্যায় ভ্রামক সমান হবে।

$$I_B = I_C \neq I_A \neq I_A \neq 0$$

যে সমস্ত অণুর ক্ষেত্রে $I_B = I_C > I_A$ তাদের প্রোলেট (Prolate) প্রতিসম অণু বলে। যেমন, CH₃Cl অণু।
আবার, যে সমস্ত অণুর ক্ষেত্রে $I_B = I_C \neq I_A$ তাদের ওবলেট (oblate) প্রতিসম অণু বলে। যেমন, BCl₃ অণু।

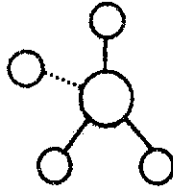


○ B-পরমাণু

○ Cl-পরমাণু

চিত্র 8.4

গোলক অণু—এই সমস্ত অণুর ক্ষেত্রে $I_A = I_B = I_C$ উদাহরণস্বরূপ, CH₄ অণু।

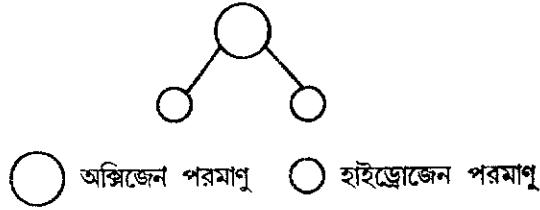


○ C-পরমাণু

○ H-পরমাণু

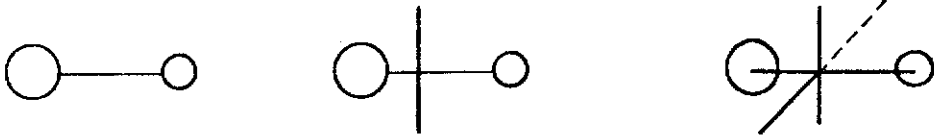
চিত্র 8.5

অপ্রতিসম অণু—যে সমস্ত অণুর কোন প্রতিসাম্য কেন্দ্র নেই সেই সব অণুর ক্ষেত্রে $I_A \neq I_B \neq I_C$ । উদাহরণস্বরূপ,



চিত্র 8.6

এই সমস্ত অণু তিনটি প্রধান অক্ষেই অণু-তরঙ্গ আলোক সক্রিয়।



বন্ধনী অক্ষ বরাবর ঘূর্ণন

8.7

প্রান্ত-প্রতিপ্রান্ত ঘূর্ণন (কাগজ-তলে)

8.8

প্রান্ত প্রতিপ্রান্ত ঘূর্ণন (কাগজের \perp তলে)

8.9



8.3.1 ঘূর্ণন বর্ণালী :

অন্যান্য শক্তির মতই ঘূর্ণন শক্তিরও কতকগুলি নির্দিষ্ট মান আছে, এই শক্তির যে কোন মান হতে পারে না। দুটি ঘূর্ণনশক্তির স্তরের মধ্যে শক্তির তফাৎ, $\Delta E = hu$, যেখানে u কম্পাঙ্কের স্তরঙ্গ পদার্থের অণু বিকিরণ করে। ঘূর্ণন শক্তি স্তর একই রকমভাবে তরঙ্গের বিশেষ মানের উপর নির্ভর করে। অণুর ঘূর্ণন শক্তি শ্রোয়েডিসারের সমীকরণের সাহায্যে গণনা করা সম্ভব।

আমরা এখানে কেবল দৃঢ় দ্বি-আণবিক অণুর ঘূর্ণন শক্তির আলোচনা করব।

8.3.2 দৃঢ় দ্বি-পারমাণুক অণুর ঘূর্ণন বর্ণালী :

দৃঢ় দ্বি-আণবিক অণুর ঘূর্ণনজনিত সক্তি শ্রোয়েডিসারের সমীকরণের সাহায্যে নির্ণয় করা সম্ভব। দৃঢ় ঘূর্ণায়মান

বস্তুর শক্তি,
$$E = \frac{\lambda^2}{2I} J(J+1) \quad \dots 8.3.1$$

$$\lambda = \frac{h}{2I}, \quad h = \text{প্ল্যাঙ্কের ধ্রুবক,}$$

$I =$ জ্যাড্যামক

$$J = \text{ঘূর্ণক কোয়ান্টাম সংখ্যা} \quad E = \frac{h^2}{8\lambda^2 I} J(J+1) \quad \dots 8.3.2$$

শক্তি তরঙ্গ সংখ্যায় প্রকাশ করলে,
$$v = \frac{h}{8\lambda^2 IC} J(J+1) \quad \dots 8.3.3$$

$$\frac{h}{8\lambda^2 IC} = \text{ফ্রিক।}$$

এই ফ্রিকটি, $\frac{h}{8\lambda^2 IC}$ কে ঘূর্ণন ফ্রিক বা B বলা হয়।

$$v = BJ (J + 1) \quad \dots 8.3.4$$

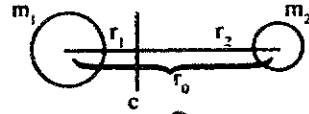
কোন পদার্থের ঘূর্ণনজনিত বর্ণালীর মাধ্যমে ঘূর্ণনরেখার মধ্যে দূরত্ব জানা থাকলে অর্থাৎ B জানা থাকলে পদার্থের জ্যাড্যামক এবং এই জ্যাড্যামকের মান থেকে পদার্থের অণুর বন্ধন দৈর্ঘ্য নির্ণয় করা যায়।

দ্বি-আণবিক পদার্থের ক্ষেত্রে, জ্যাড্যামক

$$I = \mu r^2 \quad \dots 8.3.5$$

μ হল অণুর সমানীত ভর (reduced man), r_0 হল দুটি পরমাণুর মধ্যে সাম্য-দূরত্ব।

অণুর সমানীত ভর গণনা করা যায় যদি আমরা নিচের চিত্রটির দিকে তাকাই। (চিত্র 8.10) দুটি দ্বি-আণবিক অণুর বন্ধনী দৈর্ঘ্য বা সাম্য দূরত্ব, r_0 । m_1 এবং m_2 হল এই দুটি পরমাণুর ভর। c হল ভরকেন্দ্র।



চিত্র 8.10

অহলে, $m_1 r_1 = m_2 r_2$.

অণুটির মোট জ্যাড্যামক,

$$I = m_1 r_1^2 + m_2 r_2^2$$

$$I = m_2 r_2 r_1 + m_1 r_1 r_2$$

$$I = r_1 r_2 (m_1 + m_2)$$

আবার, $m_1 r_1 = m_2 r_2 = m_2 (r_0 - r_1)$

$$r_1 = \frac{m_2}{m_1 + m_2} r_0$$

অনুরূপভাবে, $r_2 = \frac{m_1}{m_1 + m_2} r_0$

অথবা, $I = \mu r_0^2$ 8.3.6

যেখানে μ সমানীত ভর এবং $\mu = \frac{m_1 m_2}{m_1 + m_2}$ 8.3.7

পদার্থের অণুর জাত্য-ভ্রামক জানা থাকলে বন্ধন দৈর্ঘ্য গণনা করা সম্ভব।

শক্তির পরিবর্তন, $\Delta E = \frac{h^2}{8\lambda^2 I} J(J+1)$

বা, $hc\bar{\nu} = \frac{h^2}{8\lambda^2 IC} J(J+1)$

বা, $\bar{\nu} = \frac{h^2}{8\lambda^2 IC} J(J+1)$ 8.3.8

আবার, $\nu = BJ(J+1)$ 8.3.9 $B = \frac{h}{8\lambda^2 IC}$ 8.3.10

ঘূর্ণন বর্ণালী থেকে ঘূর্ণন ধ্রুবক পাওয়া গেলে সহজেই জাত্য-ভ্রামক নির্ণয় করা সম্ভব।

$I = \frac{h}{8\lambda^2 BC}$ 8.3.11

আবার, $\mu r_0^2 = \frac{h}{8\lambda^2 BC}$

অর্থাৎ, $r_0 = \sqrt{\frac{h}{8\lambda^2 \mu C}}$ 8.3.12

উপরের সমীকরণটি থেকে সহজেই r_0 বা বন্ধনী দৈর্ঘ্য পাওয়া যায়।

যদি ঘূর্ণন স্তর পরিবর্তিত হয় $J \rightarrow J'$ ।

তাহলে ঘূর্ণন শক্তিস্তরের পার্থক্য গণনা করলে,

$\Delta v = BJ'(J'+1) - BJ(J+1)$ 8.3.13

এখানে উল্লেখ করা প্রয়োজন যে, কোন স্তর থেকে কোন স্তরে উন্নীত হবে বা অবনত হবে তা নির্বাচন সূত্র বা Selection rules দ্বারা নির্ধারিত হয়। ঘূর্ণন শক্তি স্তরের পরিবর্তনে Selection rule হল $\Delta J = \pm 1$ ।

$\Delta v = B[(J'^2 - J^2) + (J' - J)]$

$$= B(J' - J) + [J' + J + 1]$$

$$= 2B(J + 1) \text{ cm}^{-1} \quad \Delta J = J' - J = +1 \dots \dots \quad 8.3.14$$

অতএব, $J = 0$ থেকে $J = 1$ উৎক্রমণে,

$$\Delta v = 2B \quad \dots \dots \quad 8.3.15$$

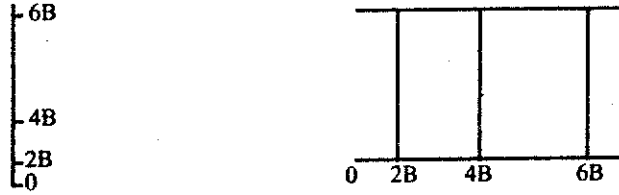
$J = 1$ থেকে $J = 2$ উৎক্রমণে,

$$\Delta v = 4B \quad \dots \dots \quad 8.3.16$$

$J = 2$ থেকে $J = 3$ উৎক্রমণে

$$\Delta v = 6B \quad \dots \dots \quad 8.3.17$$

দৃঢ় দ্বি-আণবিক বন্ধনীর ক্ষেত্রে বর্ণালী রেখ হবে নিম্নরূপ :



চিত্র 8.11

8.3.3 (2) বন্ধনী-দৈর্ঘ্য নির্ণয়

অণুতরঙ্গ আলোর পদার্থের অণুর ঘূর্ণন-জনিত শক্তি থেকে বন্ধনী-দৈর্ঘ্য নির্ণয় করা সম্ভব। নিচের উদাহরণের সাহায্যে বন্ধনী দৈর্ঘ্য কী করে নির্ণয় করা যায় তা দেখানো হয়েছে।

ঘূর্ণন বর্ণালীর সাহায্যে CO-এর প্রথম বর্ণালী রেখা হ'ল 3.84235 cm^{-1} । CO-এর বন্ধনী দৈর্ঘ্য নিম্নলিখিত উপায়ে নির্ণয় করা যায়।

CO-এর প্রথম বর্ণালী রেখা 3.84235 cm^{-1} অর্থাৎ, ঘূর্ণন বর্ণালীর উৎক্রমণ $J = 0$ থেকে $J = 1$ ।

$J = 0$ $J = 1$ উৎক্রমণে তরঙ্গসংখ্যা অনুযায়ী শক্তির পরিবর্তন :

$$\Delta v = 2B = 3.84235 \text{ cm}^{-1}$$

$$B = 1.92175 \text{ cm}^{-1} = 192.175 \text{ m}^{-1}$$

জাড্য-ভ্রামক : $I_{CO} = \frac{h}{8\lambda^2 BC}$

$$I_{CO} = \frac{6.627 \times 10^{-34}}{8 \times (3.14)^2 \times 192.175 \times 3 \times 10^8} \text{ Kgm}^2$$

$$I_{CO} = 1.4573 \times 10^{-46} \text{ Kgm}^2$$

$$I_{CO} = 14.573 \times 10^{-47} \text{ Kgm}^2$$

$$I_{CO} = \mu r_0^2$$

$$r_0 = \sqrt{I_{CO} / \mu}$$

$$\mu = \frac{m_c m_o}{m_c + m_o}$$

$$m_c = 12.0 \quad m_o = 16.0; \quad \text{a.m.u} = 1.67343 \times 10^{-27} \text{ Kg}$$

$$\mu = \frac{12 \times 16}{12 + 16} \times 1.67343 \times 10^{-27} \text{ kg}$$

$$\mu = 11.475 \times 10^{-27} \text{ kg.}$$

$$r_0 = \sqrt{I_{CO} / \mu}$$

$$r_0 = \sqrt{\frac{14.573 \times 10^{-47}}{11.475 \times 10^{-27}}} \text{ m}$$

$$r_0 = 1.127 \times 10^{-10} \text{ m}$$

$$r_0 = 0.1127 \text{ nm} = 112.7 \text{ pm}$$

অর্থাৎ, ঘূর্ণন বর্ণালীর তথ্য থেকে CO অণুর বন্ধনী-দৈর্ঘ্য হবে 112.7

অনুশীলনী—3

1. $^1\text{H}^{35}\text{Cl}$ -এর অণু-তরঙ্গ ঘূর্ণন বর্ণালী রেখার ব্যবধান $6.35 \times 10^{11} \text{ Hz}$ । ঘূর্ণন-ক্রম B-এর মান তরঙ্গ সংখ্যায় এবং মেগা হার্ডসে প্রকাশ করুন।

2. $^{39}\text{K}^{129}\text{I}$ -এর অণু-তরঙ্গ ঘূর্ণন বর্ণালী রেখার ব্যবধান 3634 MHz । $^{39}\text{K}^{129}\text{I}$ -এর অণুর বন্ধনী দৈর্ঘ্য নির্ণয় করুন।

8.3.4 ঘূর্ণন শক্তিস্তরের পরিবর্তনের শর্তাবলী :

ঘূর্ণন শক্তি স্তরের পরিবর্তনের শর্তাবলী হ'ল :

(i) অণু স্থায়ী দ্বি-মেরু ভ্রামক হ'তে হবে; এবং

(ii) উৎক্রমণের নির্বাচন সূত্র : ঘূর্ণন কোয়ান্টাম সংখ্যার পার্থক্য $\Delta J = \pm 1$ হতে হবে।

$\Delta J = +1$ মানে শোষণ বর্ণালী আর $\Delta J = -1$ হ'ল বিকিরণ বর্ণালী।

শোষণ বর্ণালীর শক্তি পরিবর্তন :

$$\Delta E = E_{J+1} - E_J$$

$$\Delta E = \frac{h^2}{8\lambda^2 I} (J+1)(J+2) - \frac{h^2}{8\lambda^2 I} J(J+1) \quad \dots 8.3.18$$

$$\Delta E = \frac{h^2}{8\lambda^2 I} (J+1) \quad \dots 8.3.19$$

$$\Delta E = \frac{\lambda^2}{I} (J+1) \quad J = 0, 1, 2 \quad \dots 8.3.20$$

শক্তির এই পরিবর্তনকে Joule-এ প্রকাশ করা হয়।

সাধারণ বর্ণালী শক্তিস্তর তরঙ্গ সংখ্যার প্রকাশ করা হয়। কম্পাঙ্ক γ বিশিষ্ট আলোকতরঙ্গের শক্তি $\Delta E = h\gamma$

কম্পাঙ্ক তরঙ্গ সংখ্যায় প্রকাশ করলে, $\gamma = \frac{Y}{c}$

অতঃপর, $\Delta E = hc\gamma$

8.3.18 সমীকরণ থেকে পাই,

$$hc\gamma = \frac{h^2}{8\lambda^2 I c} (J+1)(J+2) - \frac{h^2}{8\lambda^2 I} J(J+1)$$

$$\gamma = \frac{h}{8\lambda^2 I c} (J+1)(J+2) - \frac{h}{8\lambda^2 I c} J(J+1)$$

$$\frac{h}{8\lambda^2 I c} = B \text{ অথবা ঘূর্ণন ধ্রুবক বলা হয়।}$$

$$\gamma = B(J+1)(J+2) - BJ(J+1)$$

$$\gamma = 2B(J+1) \quad \dots 8.3.22$$

শক্তিকে তরঙ্গসংখ্যায় সাধারণ Cm^{-1} -এ প্রকাশ করা হয়। বর্ণালী বিজ্ঞানে শক্তিস্তরের পার্থক্য আমরা তরঙ্গ সংখ্যায় প্রকাশ করি।

যে সমস্ত অণু দ্বি-মেরু ভ্রামক নয় তাদের অণু-তরঙ্গ আলোয় ঘূর্ণন বর্ণালী পাওয়া যাবে না। যেমন, দ্বি-পারমাণবিক অণু— H_2 , N_2 , O_2 প্রভৃতি। আবার, অণু-তরঙ্গ আলোয় ঘূর্ণন বর্ণালী পাওয়া যাবে না রৈখিক মধ্য প্রতিসম অণুর যেমন, CO_2 , NO_2 , প্রভৃতি। কিন্তু, কৌণিক অণুর ক্ষেত্রে অণু-তরঙ্গ বর্ণালী পাওয়া যাবে যেমন, H_2 , SO_2 প্রভৃতি।

8.3.5 বর্ণালী রেখার প্রাবল্য :

বর্ণালী রেখার আপেক্ষিক প্রাবল্য বিভিন্ন ঘূর্ণন স্তরের অণু-সংখ্যার উপর নির্ভর করে। বিভিন্ন ঘূর্ণন স্তরের অণুসংখ্যার অনুপাত বোলৎজম্যান সূত্রানুযায়ী :

$$\frac{n_j}{n_0} = e^{-E_j/n} \quad \dots \quad 8.3.23$$

n_j এবং n_0 হল j ঘূর্ণন স্তর এবং $J=0$ ঘূর্ণন স্তরে অণু-সংখ্যা, E_j হল j ঘূর্ণন স্তরে অণু-সংখ্যা, E_j হল j ঘূর্ণন স্তরের শক্তি।

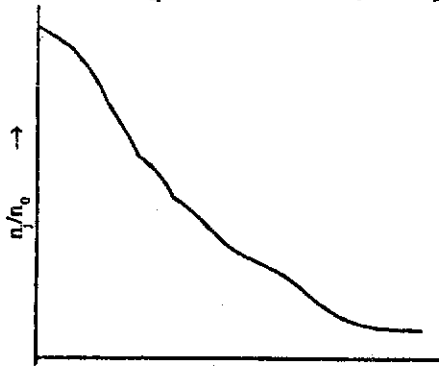
$$E_j = \frac{h^2}{8\lambda^2 I} J(J+1)$$

$$E_j = Bhc J(J+1) \quad \dots \quad 8.3.24$$

যেখানে, ঘূর্ণন-ধ্রুবক, $B = \frac{h}{8\lambda^2 I C}$

$$\text{তাহলে, } \frac{n_j}{n_0} = e^{-BhcJ(J+1)/RT} \quad \dots \quad 8.3.25$$

উপরের সমীকরণ 8.25 থেকে দেখা যাচ্ছে যে ঘূর্ণন স্তর J যত বাড়বে অণুসংখ্যা প্রাবল্য তত কমবে।



চিত্র 8.12

আবার উষ্ণতা যত বাড়বে সর্বনিম্ন ঘূর্ণন স্তরের, $J=0$, অণু-সংখ্যা সর্বোচ্চ ঘূর্ণন স্তরের, J , অণু-সংখ্যার সমান হবে। অর্থাৎ, সর্বনিম্ন স্তর থেকে অণু সর্বোচ্চ স্তরে উন্নীত হবে।

অণু-সংখ্যা প্রাবল্য বনাম ঘূর্ণন স্তরের লেখচিত্র (চিত্র 8.12) থেকে দেখা যাচ্ছে যে, অণু-সংখ্যা প্রাবল্য ঘূর্ণন স্তরের সঙ্গে ঘাতাক্বে (exponentially) কমছে।

অণুসংখ্যা প্রাবল্য শক্তি স্তরের পরও বা degeneracy) নিম্নলিখিত উপায়ে নির্ণয় করা যায় :

$$\text{একটি ঘূর্ণকের ঘূর্ণন শক্তি } E = \frac{1}{2} I \omega^2$$

যদি ω কৌণিক গতিবেগ হয় আর I জাডা-ভ্রামণ হয়।

$$\text{অর্থাৎ, } 2EI = I^2 \omega^2$$

$$I\omega = \sqrt{2EI}$$

$$\text{কৌণিক ভরবেগ, } \bar{P} = I\omega = \sqrt{2EI} \quad \dots \quad 8.3.26$$

$$\text{বা, } \bar{P} = \sqrt{2 \frac{h}{8\lambda^2 I} I J(J+1)}$$

$$\bar{P} = \frac{h}{2\lambda} \sqrt{J(J+1)}$$

$$\bar{P} = \sqrt{J(J+1)} \quad h\text{এককে} \quad \dots \quad 3.27$$

তাহলে প্রতি শক্তিস্তরের পরত বা degeneracy হল $(2J+1)$ । অর্থাৎ, $J=1$ হলে তিনটি পরত, $J=2$ হলে পাঁচটি পরত, প্রভৃতি।

$$\text{অণুসংখ্যা প্রাবল্য, } \frac{n_j}{n_0} = (2J+1) e^{-E_j/RT} \quad \dots \quad 8.3.28$$

$$\frac{n_j}{n_0} = (2J+1) e^{BhcJ(J+1)/RT} \quad \dots \quad 8.5.29$$

উপরের সমীকরণ (8.29) থেকে আমরা অণুসংখ্যা প্রাবল্য বনাম ঘূর্ণন স্তরের লেখচিত্র আঁকলে পাই :



চিত্র 8.13

লেখচিত্রে ঘূর্ণনস্তর বৃদ্ধির সঙ্গে অণুসংখ্যা প্রাবল্য বৃদ্ধি পাবে কারণ $(n_j/n_0) (2J+1)$ -এর সমানুপাতিক।

আবার, (n_j/n_0) ঘাতকের সঙ্গে সমানুপাতিক বলে পরবর্তীকালে অণুসংখ্যা প্রাবল্য কমবে।

কোন ঘূর্ণনস্তরে অণুসংখ্যা সর্বোচ্চ হবে তা 8.8.8.29-এ সমীকরণটি থেকে নির্ণয় করা যায়।

$$\text{অণুসংখ্যা, } \frac{n_j}{n_0} = P = (2J+1)e^{-BhcJ(J+1)/RT}$$

$$\frac{\partial P}{\partial J} = 2e^{-BhcJ(J+1)/RT} - (2J+1)^2 \frac{Bhc}{RT} e^{-BhcJ(J+1)/RT}$$

$$\text{সর্বোচ্চ সংখ্যার শর্তানুযায়ী, } \frac{\partial P}{\partial J} = 0$$

$$(2J+1)^2 \frac{Bhc}{RT} = 2$$

$$2J+1 = \sqrt{\frac{2RT}{Bhc}}$$

$$\text{সর্বোচ্চ, ঘূর্ণনস্তর, } J = \sqrt{\frac{2RT}{Bhc}} - \frac{1}{2} \quad \dots \quad 8.3.30$$

6.3.6. অদৃঢ় ঘূর্ণক :

আদর্শ অবস্থায় ঘূর্ণকের বন্ধন দৃঢ় ধরে নেওয়া হয়। সাধারণত অণুর বন্ধন অদৃঢ় এবং ঘূর্ণকে অণু-বন্ধনে বিকৃতিও দেখা যায়। অতএব, বর্ণালী বিশ্লেষণে অদৃঢ় বন্ধনের জন্য শক্তিস্তরের ব্যবধানের মান পরিবর্তিত হয়। স্রোয়েজিস্কারের সমীকরণ সমাধান করলে ঘূর্ণন শক্তিস্তরের মান পাওয়া যায় :

$$E_j = \frac{h^2}{8\lambda^2 I} J(J+1) - \frac{h^4}{32\lambda^4 I^2 r^2 k} J^2(J+1)^2$$

$$hc\nu_j = \frac{h^2}{8\pi^2 I} J(J+1) - \frac{h^4}{32\pi^4 I^2 r^2 R} J^2(J+1)^2 \quad \dots \quad 8.3.31$$

$$\bar{\nu}_j = \frac{h}{8\pi^2 IC} J(J+1) - \frac{h^3}{32\pi^4 I^2 r^2 R} J^2(J+1)^2 \text{ cm}^{-2}$$

$$B = \frac{h}{8\pi^2 IC} \quad ; \quad D = \frac{h^3}{32\pi^4 I^2 r^2 RC}$$

$$\nu_j = BJ(J+1) - DJ^2(J+1)^2 \text{ cm}^{-1} \quad \dots \quad 8.3.32$$

অর্থাৎ, শক্তিস্তরের ব্যবধান :

$$\Delta v_j = 2B(J + 1) - 4D(J + 1)^3 \quad \dots \quad 8.3.33$$

$J = 0 \rightarrow J = 1$ উৎক্রমণে,

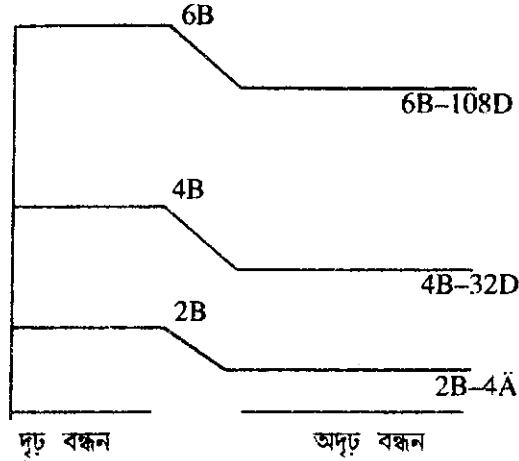
$$\Delta v_j = 2B - 4D \quad \dots \quad 8.3.34$$

$J = 1 \rightarrow J = 2$ উৎক্রমণে,

$$\Delta v_j = 4B - 32D \quad \dots \quad 8.3.35$$

$J = 2 \rightarrow J = 3$ উৎক্রমণে,

$$\Delta v_j = 6B - 108D \quad \dots \quad 8.3.36$$



চিত্র 8.14

8.3.7 অণু তরঙ্গ বর্ণালী বিশ্লেষণ ও পদার্থের আণবিক গঠন :

অণু-তরঙ্গ বর্ণালী বিশ্লেষণের দ্বারা পদার্থের আণবিক গঠনের যে দিকগুলি জানা যায় সেগুলি হ'ল :

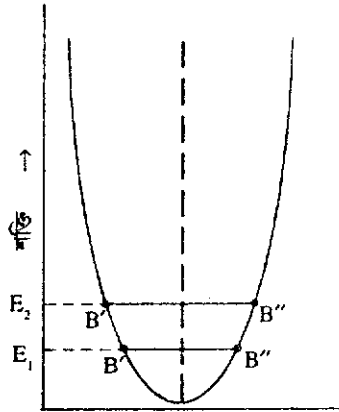
- (i) পদার্থে সমস্থানিকের উপস্থিতি;
- (ii) সমাবয়বের উপস্থিতি;
- (iii) পদার্থের মিশ্রণ বিশ্লেষণ; এবং
- (iv) পদার্থের অণুর বন্ধনী দৈর্ঘ্য।

অনুশীলনী—3

1. $H^{35}Cl$ -অণুর বর্ণালী রেখার ব্যবধান 6.35×10^{11} Hz। $H^{35}Cl$ অণুর বন্ধনী দৈর্ঘ্য গণনা করুন।
2. $J = 10$ ঘূর্ণনস্তরে $^{23}Na^{35}Cl$ অণু প্রতি সেকেন্ডে কতবার ঘুরবে? $^{23}Na^{35}Cl$ অণুর ঘূর্ণন ধ্রুবক 6500 MHz ।

8.4 অবলোহিত তরঙ্গ বর্ণালি

আমরা দুট বন্ধনীর ঘূর্ণন বর্ণালী আলোচনা করার সময় অণুর বন্ধনীর নমনীয়তা আলোচনা করিনি। অণু বন্ধনী বাস্তবে নমনীয় এবং বন্ধনীর সাম্য অবস্থানের সাপেক্ষে কম্পমান। যখন দুটি পরমাণু যুক্ত হয় তাদের মধ্যে যেমন আকর্ষণজনিত শক্তি থাকে, তেমন বিকর্ষণ শক্তিও থাকে। ইলেকট্রন-নিউক্লিয়াস আকর্ষণজনিত শক্তি এবং ইলেকট্রন-ইলেকট্রন ও নিউক্লিয়াস-নিউক্লিয়াস আকর্ষণজনিত শক্তি এবং ইলেকট্রন-ইলেকট্রন ও নিউক্লিয়াস-



আন্তঃ নিউক্লিও দূরত্ব
চিত্র 8.15

নিউক্লিয়াস বিকর্ষণজনিত শক্তি সম্পর্কে আমরা অবহিত। আকর্ষণজনিত ও বিকর্ষণজনিত শক্তির সাম্য বজায় রেখে এবং সর্বনিম্ন শক্তি অবস্থানে দুটি পরমাণুর মধ্যে যে সাম্য দূরত্ব প্রতিষ্ঠিত হয় তাকে বন্ধনী দূরত্ব বলা হয়। এই বন্ধনী গঠনের অনেক মধ্যবর্তী অবস্থানে আছে। যেখানে বন্ধনীর সঙ্কোচন ও সম্প্রসারণ হয়। এর ফলে অণুর কম্পন সৃষ্টি হয়। অণুর কম্পাঙ্ক যদি আলোক তরঙ্গের কম্পাঙ্কের সঙ্গে সমান অথবা কম হয়, তাহলে অণু কম্পাঙ্ক বর্ণালী প্রদর্শন করবে।

অণু বন্ধনী সঙ্কোচন বেশি হলে বিকর্ষণজনিত শক্তি বেশি হবে, প্রসারণ বেশি হলে আকর্ষণজনিত শক্তি বেশি হবে। শক্তি বলাস আন্তঃনিউক্লিও দূরত্বের লেখচিত্র অধিবৃত্তাকার হবে, যদি আমরা ধরে নিই অণুর কম্পন

সরলদোলক গতিসম্পন্ন। সরল দোলকের কম্পন শক্তির লেখচিত্র থেকে দেখা যাচ্ছে কম্পনশক্তি বৃদ্ধি পেলে বিস্তার বৃদ্ধি পায়, কিন্তু কম্পাঙ্ক-অপরিবর্তিত থাকে। অণু-বন্ধনী স্প্রিং-এর ন্যায় কাজ করে বলে হকের সূত্র Hooke's Law) মেনে চলে।

অণুবন্ধনী পূর্বাবস্থায় ফিরিয়ে আনার শক্তি,

$$F = -K(r - r_e)$$

r এবং r_e হল আন্তঃনিউক্লীয় দূরত্ব এবং সাম্য দূরত্ব। R হল বল-ধ্রুবক। সরল দোলকেরগতি সম্পন্ন বস্তুর শক্তি;

$$E = \frac{1}{2} K (r - r_e)^2$$

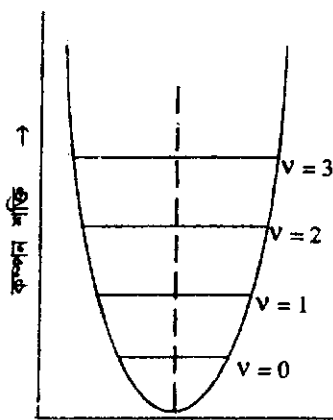
স্থিতিস্থাপক বন্ধনীর কম্পাঙ্ক অণুর ভরের উপর নির্ভরশীল।

$$\omega_{osc} = \frac{1}{2\lambda} \sqrt{\frac{K}{\mu}} \quad \dots 8.4.1$$

তরঙ্গ-সংখ্যায় প্রকাশ করলে $\omega_{osc} = \frac{1}{2\lambda C} \sqrt{\frac{K}{\mu}} \quad \dots 8.4.2$

অন্যান্য শক্তির মতই কম্পন শক্তি ও কোয়ান্টাকৃত। কম্পন শক্তির মাত্রা,

$$E_v = \left(v + \frac{1}{2} \right) \frac{1}{2} h\omega_{osc} \text{ Joules} \quad \dots 8.4.3$$



চিত্র 8.16

v হল কম্পন কোয়ান্টাম সংখ্যা। কম্পনশক্তি কখনও শূন্য হবে না, শূন্যক শক্তিতে (Zero point energy)

$$E_0 = \frac{1}{2} h\omega_{osc} \quad \text{Joules} \quad \dots 8.4.4$$

কম্পন শক্তিকে বর্ণালী শক্তিতে পরিণত করলে,

$$E_v = \frac{Ev}{hc} = \left(v + \frac{1}{2}\right) \frac{w}{c} \text{osc} = \left(v + \frac{1}{2}\right) \omega_{osc} \text{cm}^{-1} \quad \dots 8.4.5$$

$$E_0 = \frac{1}{2} \omega_{osc} \text{cm}^{-1} \quad \dots 8.4.6$$

শূন্যতম শক্তির মান $\frac{1}{2} \omega_{osc}$ অতএব, অণু কখনও স্থির থাকবে না, সবসময়েই অণুর কম্পন বর্তমান থাকবে।

8.4.1 কম্পাঙ্ক বর্ণালীর শর্তাবলি :

কম্পাঙ্ক বর্ণালীর শর্তাবলী হল :

- (i) কম্পনে অণুর দ্বি-মেরু ড্রামক পরিবর্তিত হতে হবে;
- (ii) কম্পন শক্তিস্তরের উৎক্রমণ বা অধক্রমণে নির্বাচন সূত্র $\Delta v = \pm 1$ হবে।

তরঙ্গ সংখ্যার কম্পাঙ্ক বর্ণালীর শক্তির পরিবর্তন নিম্নরূপ :

$$\text{শোষণ বর্ণালী : } E_{v+1} - E_v = \left(v + 1 + \frac{1}{2}\right) \omega_{osc} - \left(v + \frac{1}{2}\right) \omega_{osc}$$

$$E_v \rightarrow v + 1 = \omega_{osc} \text{cm}^{-1}$$

$$\text{বিকিরণ বর্ণালী : } E_{v+1} \rightarrow v = \omega_{osc} \text{cm}^{-1}$$

8.4.2 অসমঞ্জস দোলক ও বর্ণালী (anharmonic oscillator & spectra)

বাস্তবে অণুগুলি সরল দোরক নয়। কম্পন শক্তির একটি বিশেষ স্তরের পর অণুবন্ধনীর বিয়োজন হয়, যা সরল দোলক হলে হত না। অণুগুলির বন্ধনীর সঙ্কোচন বা প্রসারণে কম্পাঙ্ক ও স্থির থাকে না। অণুর বন্ধনী প্রসারিত হয়ে এমন একটি পর্যায় পৌঁছায় যখন বন্ধন ছিন্ন হয়ে যায়। তরঙ্গ সংখ্যায় শক্তি গণনা করলে পাওয়া যায় :

$$E_v = \left(v + \frac{1}{2}\right) \omega_e - \left(v + \frac{1}{2}\right)^2 \omega_e x_e \text{cm}^{-1} \quad \dots 8.4.7$$

$$(v = 0, 1, 2, \dots)$$

x_e হল anharmonicity বা অসমঞ্জস দোলন ধ্রুবক।

বন্ধনী প্রসারণ যত বাড়বে x_c -র মান তত কমবে। অর্থাৎ, কম্পাঙ্ক শক্তির উপরের দিকে ঘূর্ণন স্তরের ব্যবধান কমবে। তরঙ্গ সংখ্যায় সাম্য-কম্পাঙ্ক, ω_{osc} , এবং দোলন কম্পাঙ্ক ω_c সমান হবে যদি $v = -\frac{1}{2}$ হয়।

$$E_v = \left\{ 1 - \left(v + \frac{1}{2} \right) x_c \right\} \omega_c \left(v + \frac{1}{2} \right)$$

$v = 0$ কম্পাঙ্ক স্তরে, অসমঞ্জস দোলকের শূণ্যাক শক্তি, $E_0 = \frac{1}{2} \omega_c \left(1 - \frac{1}{2} x_c \right)$ 8.4.8

আবার, $E_v = \left(v + \frac{1}{2} \right) \omega_{osc}$

সরল দোলকের শূণ্যাক শক্তি, $E_0 = \frac{1}{2} \omega_{osc}$

$$\omega_{osc} = \omega_c \left\{ 1 - \left(v + \frac{1}{2} \right) x_c \right\} \quad \dots \quad 8.4.40$$

$v = -\frac{1}{2}$ হলে $\omega_{osc} = \omega_c$ অর্থাৎ ω_c , অর্থাৎ ω_c কে

আমরা আদর্শ-সাম্য কম্পাঙ্ক বলি। যদিও কম্পন কোয়ান্টাম সংখ্যা কখনও $(-\frac{1}{2})$ হতে পারে না।

শূণ্যাক শক্তিতে তরঙ্গসংখ্যা, $\omega_{osc} = \omega_c \left(1 - \frac{1}{2} x_c \right) C m^{-1}$

$$\epsilon_0 = \frac{1}{2} \omega_c \left(1 - \frac{1}{2} x_c \right) C m^{-1}$$

অসমঞ্জস দোলকের ক্ষেত্রে কম্পন স্তরের নির্বাচন সূত্র, $\Delta v = \pm 1, \pm 2, \pm 3, \dots$ সাধারণত, ঘূর্ণন কোয়ান্টাম সংখ্যার অন্তর $\Delta v = \pm 1, \pm 2$, এবং ± 3 -এর মধ্যে থাকলেও $v=0 \rightarrow 1$, $v=0 \rightarrow 2$ এবং $v=0 \rightarrow 3$ এর মধ্যে হয়। অর্থাৎ, $v=1 \rightarrow 3$, $v=2 \rightarrow 4$ ইত্যাদি উৎক্রমণ খুবই কম হবে। কারণ $v = 1, 2, \dots$ স্তরে অনুসংখ্যা কম থাকবে।

প্রথম ক্ষেত্র, $v=0 \rightarrow 1$ হলে

$$\Delta E = \epsilon_{v=1} - \epsilon_{v=0}$$

$$\Delta E = \left(1 + \frac{1}{2} \right) \omega_c - \left(1 + \frac{1}{2} \right)^2 \omega_c x_c - \frac{1}{2} \omega_c + \frac{1}{4} \omega_c x_c$$

$$\Delta E = \omega_c (1 - 2x_c) \cdot \text{Cm}^{-1} \quad \dots \quad 8.4.10$$

দ্বিতীয় ক্ষেত্রে, $v=0 \rightarrow 2$ হলে

$$\Delta E = E_{v=2} - E_{v=0}$$

$$\Delta E = \left(2 + \frac{1}{2}\right) \omega_c - \left(2 + \frac{1}{2}\right)^2 \omega_c x_c - \frac{1}{2} \omega_c + \frac{1}{4} \omega_c x_c$$

$$\Delta E = 2\omega_c - 6\omega_c x_c$$

$$\Delta E = (1 - 3x_c) \text{Cm}^{-1} \quad \dots \quad 8.4.11$$

$v=0 \rightarrow 3$ হলে

$$\Delta E = \left(3 + \frac{1}{2}\right) \omega_c - \left(3 + \frac{1}{2}\right)^2 \omega_c x_c - \frac{1}{2} \omega_c + \frac{1}{4} \omega_c x_c$$

$$= 3\omega_c - 12\omega_c x_c$$

$$= 3\omega_c (1 - 4x_c) \text{cm}^{-1}$$

$v=0$ স্তরে অণুসংখ্যা সর্বোচ্চ। অতএব, $v=0 \rightarrow 1$ স্তরের উৎক্রমণে অণু প্রাবল্য সবচেয়ে বেশি। $v=0 \rightarrow 1$ স্তরের উৎক্রমণকে মৌল কম্পন বা fundamental vibration বলে।

$v=0 \rightarrow 2$ এবং $v=0 \rightarrow 3$ স্তরের উৎক্রমণে প্রাবল্য অনেক কম। এই দুই স্তরের উৎক্রমণ ক্ষীণ হয়। এই স্তরের উৎক্রমণকে গৌণ কম্পন বা overtone বলে। $v=0 \rightarrow 2$ কম্পক স্তরের উৎক্রমণকে প্রথম গৌণ কম্পন বা First overtone বলে। দ্বিতীয় গৌণ কম্পন প্রথম গৌণকম্পনের চেয়ে আরও ক্ষীণ হবে।

HCl অণুর কম্পন বর্ণালী বিশ্লেষণ করলে 2886cm^{-1} তরঙ্গ সংখ্যায় তীব্র শোষণ, 5668cm^{-1} তরঙ্গসংখ্যায় দুর্বল শোষণ এবং 8347cm^{-1} তরঙ্গসংখ্যায় দুর্বলতর শোষণ বর্ণালি দেখা যায়।

$$\text{তাহলে } v=0 \rightarrow 1 \quad \Delta E = \omega_c (1 - 2x_c) = 2886\text{cm}^{-1}$$

$$v=0 \rightarrow 2 \quad \Delta E = 2\omega_c (1 - 3x_c) = 5668\text{cm}^{-1}$$

$$v=0 \rightarrow 3 \quad \Delta E = 3\omega_c (1 - 4x_c) = 8347\text{cm}^{-1}$$

সমীকরণ 8.41, 8.42 এবং 8.43 থেকে পাওয়া যায়

$$\omega_c = 2990 \text{Cm}^{-1}$$

$$x_c = 0.0174$$

HCl অণুর বল - ধ্রুবক বা force constant-এর মান

$$R = 4\pi^2 \omega_c^2 C^2 \mu$$

$$R = 4 \times (3.14)^2 \times (2990 \times 10^2)^2 \times (3 \times 10^8)^2 \times 1.62 \times 10^{27} \text{ Nm}^{-1}$$

$$R = 514 \text{ Nm}^{-1}$$

অণুসংখ্যার প্রাবল্য : বোলৎজম্যান বণ্টন সূত্র অনুযায়ী

$$\text{অণুসংখ্যার প্রাবল্য : } \frac{n_v}{n_0} = e^{-cv/RT} \quad \dots \quad 8.4.13$$

$$\frac{n_v}{n_0} = e^{-hc\omega_{osc}/RT} \quad \dots \quad 8.4.14$$

HCl অণুর তরঙ্গসংখ্যায় কম্পাঙ্ক 2990 Cm^{-1} । $v = 0 \rightarrow 1$ উৎক্রমণে 27° উষ্ণতায় $v = 1$ ঘূর্ণন স্তরের

$$\text{অণুসংখ্যা, } \frac{n_1}{n_0} = e^{-\frac{6.627 \times 10^{-34} \times 3 \times 10^8 \times 2990 \times 10^2}{1.38 \times 10^{-23} \times 300}}$$

$$\frac{n_1}{n_0} = e^{-14.3585} = 5 \times 10^{-6}$$

$v = 1$ ঘূর্ণন স্তরের অণুসংখ্যা প্রাবল্য 5×10^{-6} । অর্থাৎ, 27°C উষ্ণতায় প্রায় সমস্ত অণুই $v = 0$ ঘূর্ণন স্তরে থাকবে।

উষ্ণতা বাড়লে অণুসংখ্যা $v = 1$ স্তরে বাড়বে। যেমন 900K উষ্ণতায় অণুসংখ্যা প্রাবল্য হবে 8×10^{-2} । উষ্ণতা 23 গুণ বাড়লে অণুসংখ্যা প্রাবল্য বাড়বে 1600 গুণ।

একটি উদাহরণ দিলে ব্যাপারটা পরিষ্কার হবে। মনে করুন রাখা হচ্ছে :

ICI অণুর 127°C উষ্ণতায় $v = 1$ স্তরে অণুসংখ্যা প্রাবল্য কত হবে যদি কম্পন স্তর ব্যবধান 384Cm^{-1} হয়?

এর উত্তর আমরা নিচের পদ্ধতিতে বার করতে পারি।

$$\frac{n_v}{n_0} = e^{-hc\omega_{osc}/RT}$$

$$\frac{n_{v=1}}{n_{v=0}} = e^{-\frac{6.627 \times 10^{-34} \times 3 \times 10^8 \times 384 \times 10^2}{1.38 \times 10^{-23} \times 400}}$$

$$\frac{n_{v=1}}{n_{v=0}} = 0.2508$$

127°C উষ্ণতায় শতকরা 25.03টি অণু $v = 1$ স্তরে থাকবে।

অধিক উষ্ণতায় $v = 1$ স্তর থেকে $v = 2$ স্তরে উৎক্রমণ হবে। তাই বর্ণালী রেখা ক্ষীণ হবে।

$$\Delta E = \left(2 + \frac{1}{2}\right) \hbar \omega_c - \left(2 + \frac{1}{2}\right)^2 \hbar \omega_c x_c - \left(1 + \frac{1}{2}\right) \hbar \omega_c + \left(1 + \frac{1}{2}\right)^2 \hbar \omega_c x_c$$

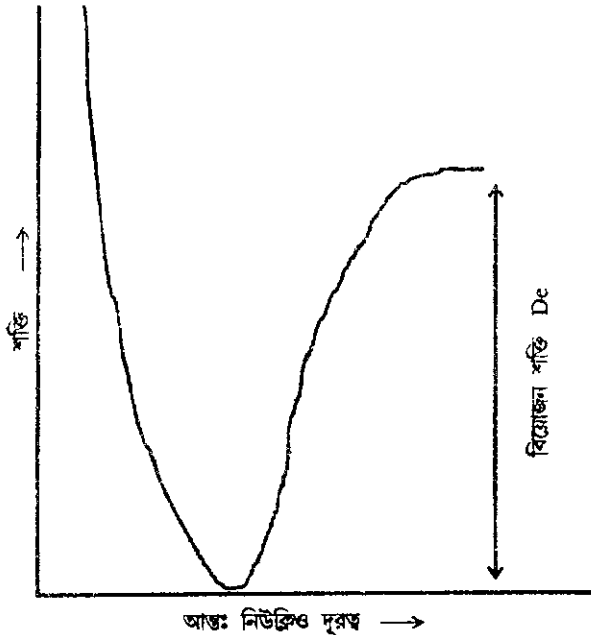
$$\Delta E = \hbar \omega_c - (14 x_c) \quad \dots \quad 8.4.15$$

এই কম্পাঙ্ক শোষণ বর্ণালীকে উত্তপ্ত ব্যান্ড বা hot band বলে। যেহেতু $v = 1$ স্তর থেকে উৎক্রমণ সাধারণত অধিক উষ্ণতায় হয়ে থাকে; সেইজন্য এই বর্ণালীকে উত্তপ্ত ব্যান্ড বা hot band বলে।

অসমঞ্জস দোলনের শক্তি বনাম আন্তঃ-নিউক্লিও দূরত্বের লেখচিত্র নিচে দেখানো হল।

8.4.3 কম্পন এবং ঘূর্ণন :

কম্পনজনিত শক্তি ঘূর্ণন জনিত শক্তির প্রায় 500 – 3000 গুণ। অতএব, কম্পন বর্ণালীর সঙ্গে ঘূর্ণন বর্ণালীও যুক্ত থাকে। অবলোহিত বর্ণালী থেকে বিশুদ্ধ কম্পাঙ্ক বর্ণালী পাওয়া যায় একথা ঠিক নয়। এই বর্ণালীর সঙ্গে



চিত্র 8.17

ঘূর্ণন বর্ণালীও যুক্ত থাকে। অদৃঢ় বন্ধনী অণুর উপর 300 cm^{-1} থেকে 33000 cm^{-1} তরঙ্গ সংখ্যা বিশিষ্ট আলোর প্রভাবে কম্পন বর্ণালী ও ঘূর্ণন বর্ণালী দুইই পাওয়া যায়।

অবলোহিত আলোক তরঙ্গ শক্তির মান (তরঙ্গ সংখ্যায়)

$$\epsilon = BJ(J+1) - DJ^2(J+1)^2 + \left(v + \frac{1}{2}\right)\omega_c - \left(v + \frac{1}{2}\right)^2 \omega_c x_c \quad \dots 8.4.16$$

তাহলে শক্তির পার্থক্য :

$$\Delta\epsilon = 2B(J+1) - 4D(J+1)^3 + \omega_c - 2(v+1)\omega_c x_c \quad \dots$$

যখন, $\Delta v = \pm 1$ একে $\Delta J = \pm 1$.

$$\Delta\epsilon = 2B(J+1) - 4D(J+1)^3 + 2\omega_c \{1 - 2(2v+1)x_c\} \quad \dots 8.4.17$$

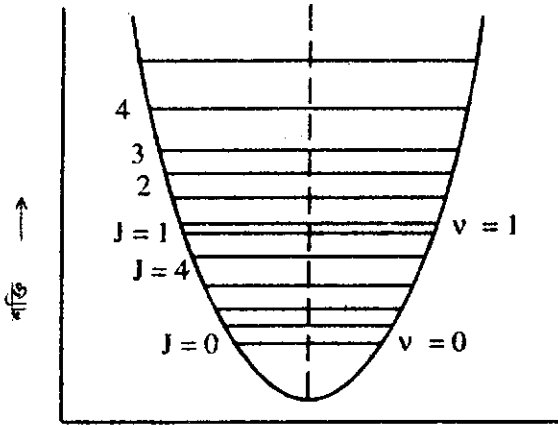
আবার, $\Delta\epsilon = 2B(J+1) - 4D(J+1)^3 + 2\omega_c - 2(2v+3)\omega_c x_c$

যখন, $\Delta v = \pm 2$ একে $\Delta J = \pm 1$

$$\Delta\epsilon = 2B(J+1) - 4D(J+1)^3 + 2\omega_c \{1 - (2v+3)x_c\} \quad \dots 8.4.18$$

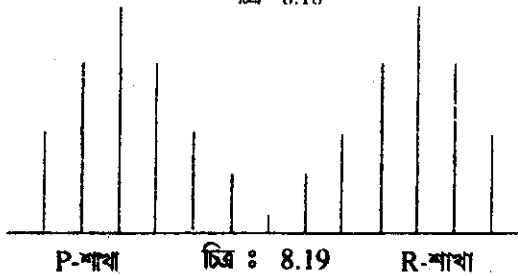
$v=0$ থেকে $v=1$ কম্পনস্তরের এই উৎক্রমণের অনেক ঘূর্ণন স্তর থাকে। নিচের লেখচিত্রের সাহায্যে বিষয়টি পরিষ্কার করার চেষ্টা করা হয়েছে।

$\Delta J = -1$ হলে বর্ণালী রেখাকে P-শাখা এবং $\Delta J = \pm 1$ হলে বর্ণালী রেখাকে R-শাখা বলা হয়।

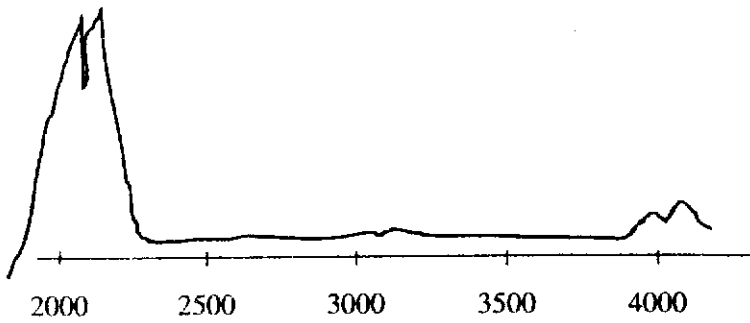


আন্তঃ নিউক্লিও দূরত্ব \rightarrow

চিত্র 8.18



চিত্র : 8.19



চিত্র : 8.20

চিত্রে CO-এর শোষণ বর্ণালী দেখানো হয়েছে। মুখ্য বর্ণালী রেখা 2160cm^{-2} (fundamental) গৌণ বর্ণালী রেখা 4260cm^{-1} (first overtone)।

8.4.4 কম্পন সংখ্যা :

সরল অণুর ক্ষেত্রে খুব সহজেই আমরা কম্পন সংখ্যা নির্ণয় করতে পারি। AB_2 ধরণের তিনটি পরমাণু বিশিষ্ট অণুর ক্ষেত্রে দু'ধরনের অণু দেখা যায়—রৈখিক অণু (linear molecule) এবং কৌণিক অণু (non-linear molecule)।

রৈখিক অণুর কম্পন সংখ্যা $= 3N - 5$

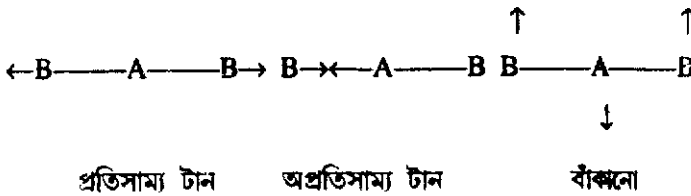
কৌণিক অণুর কম্পন সংখ্যা হবে $= 3N - 6$ ।

যদি AB_2 অণুরৈখিক হয় AB_2 -অণুর ক্ষেত্রে কম্পন সংখ্যা হবে $= (3 \times 3 - 5)$ বা 4।

যদি AB_2 অণু কৌণিক হয় AB_2 অণুর কম্পন সংখ্যা হবে $(3 \times 3 - 6)$ বা 3।

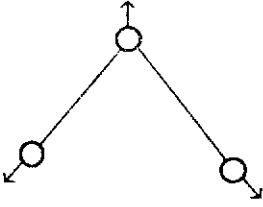
AB_2 -রৈখিক অণু :

রৈখিক AB_2 -অণুর কম্পন সংখ্যা নিচের চিত্রের সাহায্যে বোঝানো হল :

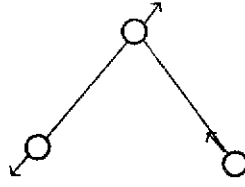


চিত্র : 8.21

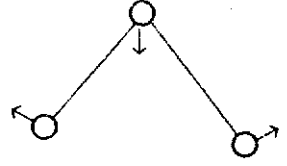
কৌণিক AB_2 অণু :



প্রতিসম টান



অপ্রতিসম টান



বাঁকানো টান

চিত্র : 8.21

রৈখিক অণুর ক্ষেত্রে প্রতিসম টানে দ্বি-মেরু ভ্রামক পরিবর্তিত হয় না, অতএব প্রতিসম টানে অণু অবলোহিত আলোক তরঙ্গ সক্রিয় নয়।

অপ্রতিসম এবং বাঁকানো টানে দ্বি-মেরু ভ্রামক পরিবর্তিত হয়। অতএব, এই দুটি টানে অণু অবলোহিত আলোক তরঙ্গ সক্রিয়, যদিও অণুটি কেন্দ্র প্রতিসম হওয়ায় স্থায়ী দ্বি-মেরু ভ্রামক শূণ্য।

কৌণিক AB_2 অণুর তিনটি কম্পনেই দ্বি-মেরু ভ্রামক পরিবর্তিত হয়। অতএব, তিনটি কম্পনেই অবলোহিত আলোক তরঙ্গ সক্রিয়।

অবলোহিত আলোক তরঙ্গ সক্রিয় হওয়ার শর্ত :

(i) অণুর দ্বি-মেরু ভ্রামক কম্পন জনিত কারণে পরিবর্তিত হবে;

(ii) কম্পন স্তরের পরিবর্তন নির্বাচনসূত্র অনুযায়ী হবে— $\Delta v = \pm 1$ । সূমঞ্জস দোলনের জন্য; $\Delta v = \pm 1$, $\Delta v = \pm 2$, ... অসমঞ্জস দোলনের জন্য।

8.4.5. কম্পন বর্ণালী ও পদার্থের আণবিক গঠন :

কম্পন বর্ণালীর সাহায্যে পদার্থের আণবিক গঠন সম্পর্কে নিম্নলিখিত বিষয়গুলি জানা যায় :

(i) পদার্থের আণবিক গঠনের জ্যামিতি রৈখিক না কৌণিক, সমতলিক না ত্রি-মাত্রিক;

(ii) গ্রুপ কম্পাঙ্কের সাহায্যে অণুর গ্রুপ নির্ধারণ করা যায়। প্রত্যেকটি গ্রুপের একটি বিশেষ কম্পাঙ্ক আছে— সেই কম্পাঙ্কের দ্বারা বলা যায় অণুটিতে কোন্ গ্রুপ বর্তমান।

সারণি-৪

গ্রুপ	কম্পাঙ্ক (আসন্ন মাণ)	
	Cm^{-1}	
-OH	3600	
-NH ₂	3400	
=CH	3300	
>C=O	1750 – 1600	
>C=S	1100	
⇒C-F	⇒C-F	1050
⇒C-Cl	⇒C-Cl	725
⇒C-Br	⇒C-Br	650
⇒C-I	⇒C-I	550

যে গ্রুপ যত ধ্রুবীয় সেই গ্রুপের কম্পাঙ্ক তত বেশি। $>C=O$, চেয়ে $>C=S$ এর কম্পাঙ্ক কম। কম্পাঙ্কের ক্রম অনুযায়ী সাজালে $\Rightarrow C-F > \Rightarrow C-Cl > \Rightarrow C-Br > \Rightarrow C-I$

যদিও কম্পাঙ্ক বর্ণালীর দ্বারা আণবিক গঠনের সমস্ত দিক জানা যায় না, তাহলেও আণবিক গঠনে কোন গ্রুফ আছে, কোন বন্ধনী শক্তিশালী কোন, বন্ধনী দুর্বল বলা যায়।

৪.5 ইলেকট্রন বর্ণালী

অতিবেগুনী থেকে দৃশ্যমান আলোকতরঙ্গ পদার্থের অণুর ইলেকট্রন শক্তি স্তরে পরিবর্তন করে। আলোকতরঙ্গ শোষিত হলে শোষণ বর্ণালী বলে এবং আলোকতরঙ্গ বিকীরিত হলে বিকীরণ বর্ণালী বলে। অতিবেগুনী থেকে দৃশ্যমান আলোকতরঙ্গের শোষণ বা বিকীরণ বর্ণালীর সাহায্যে অণুর ইলেকট্রন শক্তিস্তরের পরিবর্তনের সঙ্গে সঙ্গে ঘূর্ণন স্তর এবং কম্পন স্তরেরও পরিবর্তন হয়। অতিবেগুনী থেকে দৃশ্যমান আলোকতরঙ্গ দৈর্ঘ্য 10^{-4}Cm থেকে 10^{-7}Cm বিস্তৃত। এই আলোকশক্তি তরঙ্গসংখ্যা কম্পনজনিত পরিবর্তন সাধনের জন্য আলোকতরঙ্গের 100 গুণ, আবার ঘূর্ণনজনিত পরিবর্তন সাধনের জন্য আলোক শক্তির 1000 গুণ। অতএব, ইলেকট্রন শক্তিস্তরের পরিবর্তনের সঙ্গে ঘূর্ণন স্তর ও কম্পনস্তরের পরিবর্তন সাধিত হয়। বর্ণ-ওপেনহাইমারের আসন্নতা অনুযায়ী ইলেকট্রনের শক্তিস্তরে উৎক্রমণ বা অবনমন ঘূর্ণন বা কম্পনজনিত শক্তিস্তর নিরপেক্ষভাবে ঘটে। ইলেকট্রনের গতি নিউক্লিয়াস সাপেক্ষে এত বেশি যে বর্ণ-ও ওপেনহাইমার আসন্নতা অনুযায়ী নিউক্লিয়াসকে স্থির ধরে গণনা করা হয়। আবার, নিউক্লিয়াসের জন্য ঘূর্ণন এবং কম্পন শক্তিস্তরের পার্থক্যকেও আলাদা করে দেখানো হয়। তাহলে, বর্ণ-ওপেনহাইমার আসন্নতা অনুযায়ী দৃশ্যমান ও অতিবেগুনী আলোকতরঙ্গের ফলে পদার্থের অণুর ইলেকট্রন শক্তিস্তরের পরিবর্তনের মান ইলেকট্রন শক্তিস্তর ঘূর্ণন শক্তিস্তর এবং কম্পন শক্তিস্তর পার্থক্যের

যোগফল হিসেবে দেখানো যায়। অর্থাৎ, এই আসন্নতা অনুযায়ী ধরে নেওয়া হচ্ছে যে, প্রত্যেকটি উৎক্রমণ বা অবনমন প্রক্রিয়া পৃথকভাবে সংগঠিত হয়। তাহলে শক্তিস্তরের পরিবর্তন জুল এককে,

$$\Delta E_{\text{tot}} = \Delta E_{\text{el}} + \Delta E_{\text{rot}} + \Delta E_{\text{vib},j} \quad \dots \quad 8.5.1$$

শক্তিস্তর তরঙ্গসংখ্যায় প্রকাশ করলে,

$$\Delta E_{\text{tot}} = \Delta E_{\text{el}} + \Delta E_{\text{rot}} + \Delta E_{\text{vib},j} \text{ Cm}^{-1} \quad \dots \quad 8.5.2$$

ইলেকট্রনিক শক্তিস্তরের পরিবর্তন Cm^{-1} এ কম্পনজনিত শক্তিস্তর পরিবর্তনের প্রায় 10^3 দূর্ণ। আবার, ঘূর্ণন শক্তিস্তর পরিবর্তনের প্রায় 10^6 গুণ।

অদৃঢ় এবং অসমঞ্জস দোলন বিশিষ্ট পদার্থের অণুর ইলেকট্রন শক্তিস্তরের পরিবর্তন Cm^{-1} এককে :

$$\Delta E_{\text{tot}} = \Delta E_{\text{el}} + 2B(J+1) - 4D(J+1)^2 + \omega_c + (1-2x_c)$$

$$\text{যখন } \Delta J = \pm 1 \text{ এবং } \Delta v = \pm 1.$$

8.5.1 ইলেকট্রন বর্ণালীর শর্তাবলী :

ইলেকট্রন বর্ণালীর বৈশিষ্ট্য হল—

(i) ইলেকট্রন শক্তিস্তর পরিবর্তনের জন্য পদার্থের অণুর দ্বিমেরু ভ্রামক এবং কম্পনজনিত কারণে অণুর আবিষ্ট দ্বিমেরু ভ্রামক না থাকলেও হবে।

(ii) ইলেকট্রন শক্তিস্তরের পরিবর্তনের জন্য ঘূর্ণন বা কম্পন শক্তি স্তরের পরিবর্তনের নির্বাচন সূত্র $\Delta J = \pm 1, \pm 2, \pm 3 \dots$ এবং $\Delta v = \pm 1, \pm 2, \pm 3 \dots$ হতে পারে।

ইলেকট্রন শক্তিস্তরের এই বৈশিষ্ট্যের জন্য যে কোন অণুর ইলেকট্রন শক্তিস্তরের পরিবর্তন সম্ভব। পদার্থের অণু প্রতিসন্ন হলেও ইলেকট্রন বর্ণালী পাওয়া যায়। যেমন, O_2 , N_2 অণুসহ সমস্ত পদার্থের অণুর ইলেকট্রন বর্ণালী পাওয়া যায়। যে সমস্ত পদার্থের অণুর ঘূর্ণনজনিত অথবা কম্পনজনিত পরিবর্তন বর্ণালী পাওয়া সম্ভব নয়, সমস্ত অণুর ইলেকট্রন শক্তিস্তর জনিত পরিবর্তনের বর্ণালী পাওয়া সম্ভব।

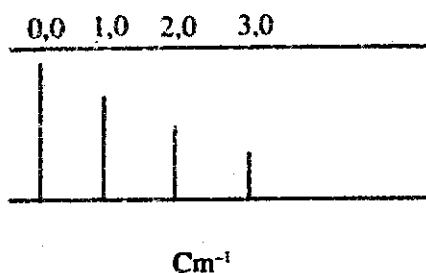
8.5.2 ইলেকট্রন শক্তিস্তর জনিত পরিবর্তন :

বর্ণ-ওপেনহাইমারের আসন্নতা অনুযায়ী ইলেকট্রন শক্তিস্তরজনিত পরিবর্তন, কম্পনজনিত এবং ঘূর্ণনজনিত পরিবর্তন নিরপেক্ষ। অন্যান্য শক্তিস্তরের পরিবর্তন সাপেক্ষে ঘূর্ণন শক্তিস্তরের পরিবর্তনকে নগণ্য ধরে নেওয়া হয়। কেবলমাত্র, ইলেকট্রন শক্তিস্তরের এবং কম্পনজনিত শক্তিস্তরের পরিবর্তন হয় ধরে নিলে মোট শক্তির পরিবর্তন Cm^{-1} -এ

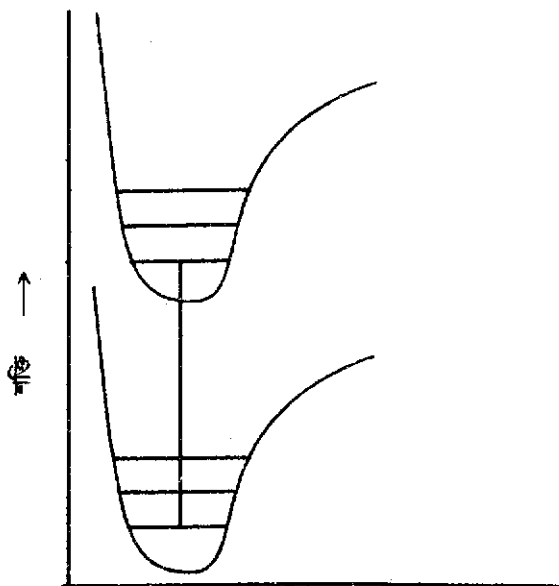
$$\Delta E_{\text{tot}} = \Delta E_{\text{el}} + \Delta E_{\text{vib}} \quad \dots \quad 8.5.4$$

$$\Delta E_{\text{tot}} = \Delta E_{\text{el}} + (v' - v) - \omega_2 - \{(v' + v + 1)(v' - v)\} \omega_c x_c \quad \dots \quad 8.5.5$$

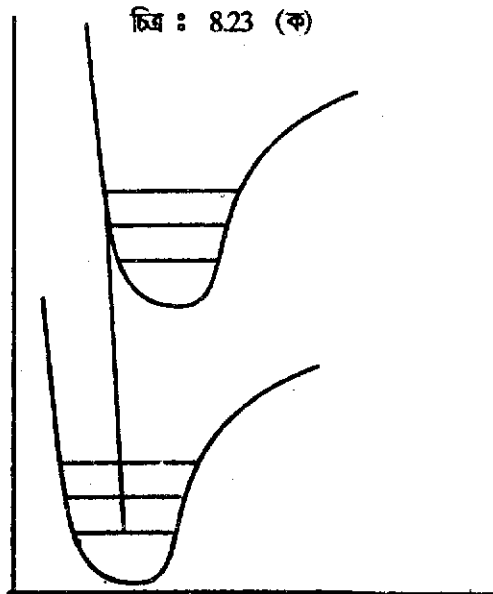
ফ্র্যাঙ্ক-কন্ডনের নীতি অনুযায়ী নিউক্লিয়াস সাপেক্ষে ইলেকট্রনের গতি এত দ্রুত যে নিউক্লিয়াসকে স্থির ধরা হয়। তাহলে আলোকতরঙ্গের ক্রিয়ায় ইলেকট্রন শক্তি স্তর পরিবর্তনে নিচের লেখচিত্র পাওয়া যাবে :



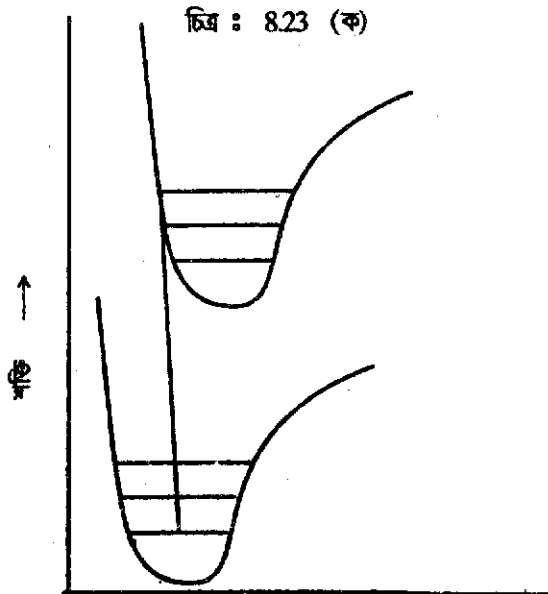
চিত্র : 8.23 (খ)



r_0

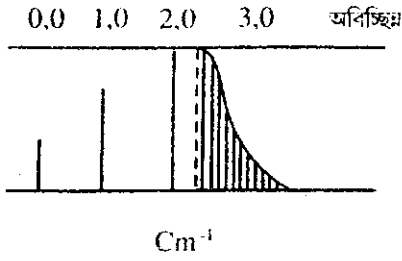


চিত্র : 8.24 (খ)

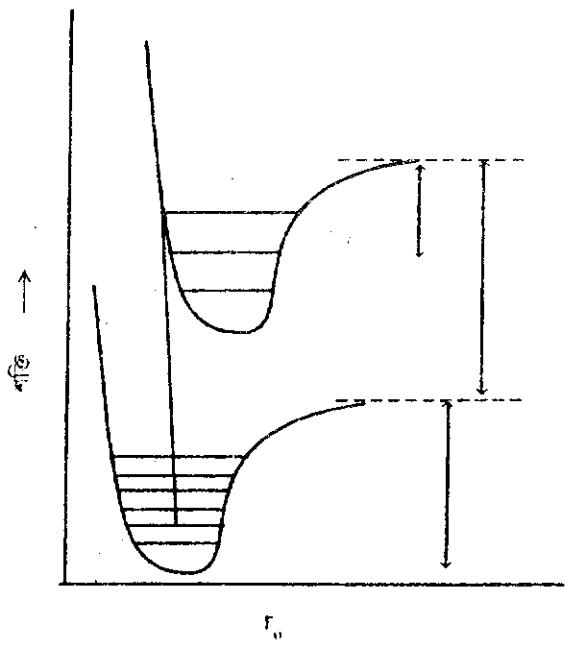


r_0

চিত্র : 8.24 (ক)



চিত্র : 8.25 (খ)



চিত্র : 8.25 (ক)

উপরের তিনটি চিত্র থেকে এটা স্পষ্ট যে, $\Delta v = \pm 1, \pm 2, \pm 3, \dots$ হতে পারে।

ফ্রাঙ্ক-কণ্ডনের নীতি অনুযায়ী, ইলেকট্রনিক শক্তিস্তরের পরিবর্তন উল্লম্বভাবে হবে। ইলেকট্রনিক শক্তি স্তরের পরিবর্তনের সঙ্গে কম্পনজনিত শক্তিস্তরের পরিবর্তন যুক্ত থাকে বলে এই উৎক্রমণকে 'ভাইব্রনিক' (vibronic) উৎক্রমণ বলা হয়।

চিত্র 8.23 (খ)

চিত্র 8.24 (খ)

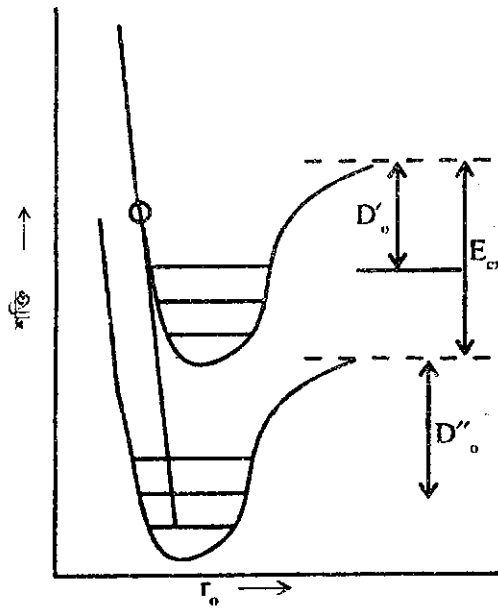
চিত্র 8.25 (খ)

দেখা যায় যে, উচ্চশক্তিস্তরের আন্তঃ-নিউক্লিও দূরত্ব পৃথক হলে 'ভাইব্রনিক' উৎক্রমণের প্রাবল্য পৃথক হয়। যদি আন্তঃ নিউক্লীয় দূরত্ব মোটামুটি স্থির থাকে তাহলে ভাইব্রনিক উৎক্রমণের প্রাবল্য বেশি হবে ০,০ পরিবর্তনে। চিত্র : 8.23 (খ) দ্রষ্টব্য। (1,0) থেকে (2,0) উৎক্রমণে প্রাবল্য ক্ষীণ থেকে ক্ষীণতর হবে।

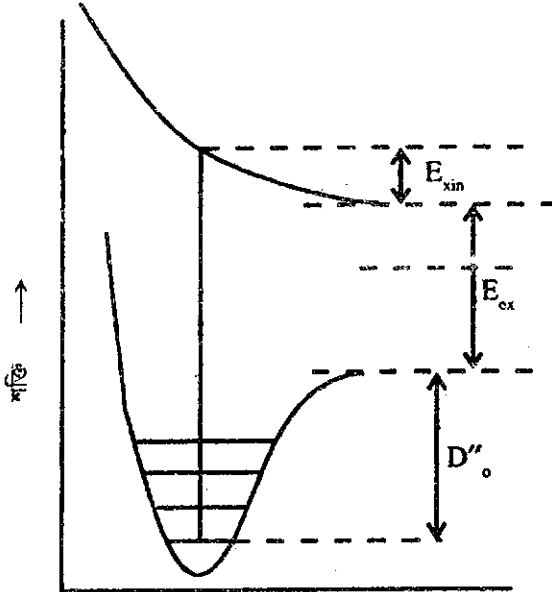
যে সমস্ত উচ্চশক্তিস্তরে আন্তঃনিউক্লীয় দূরত্ব অল্প বেশি সেই সব ভাইব্রনিক উৎক্রমণে (2,0) রেখার প্রাবল্য বেশি। চিত্র 8.24 (খ) দ্রষ্টব্য। আবার, আন্তঃ নিউক্লীয় দূরত্ব বেশি হলে প্রথমদিকে বিচ্ছিন্ন পাওয়া যায়। 8.25 (খ) দ্রষ্টব্য।

8.5.3 অণুর বিয়োজন শক্তি :

ইলেকট্রনের উৎক্রমণে যখন শক্তিস্তরের পরিবর্তন এমন হয় যে অণুর বন্ধনীয় ঘটে তখন ইলেকট্রন বর্ণালীর নিরবিচ্ছিন্নতা লক্ষ্য করা যায়। এই বর্ণালীকে বিয়োজন বর্ণালী বলে। ইলেকট্রন বর্ণালীর সাহায্যে অণুর বিয়োজন শক্তি নির্ণয় করা যায়। মোর্স স্থিতিশক্তি লেখচিত্রের সাহায্যে আমরা বিয়োজন শক্তির পরিমাপ করতে পারি।



চিত্র : 8.26 (ক)



চিত্র : 8.26 (খ)

চিত্র : 8.26 থেকে দেখা যায় যে, ইলেকট্রন শক্তিস্তরের উৎক্রমণ যদি কোয়ান্টিকৃত কম্পন স্তরের বিয়োজন শক্তিস্তরে হয় তাহলে অণু-বন্ধনীর বিয়োজন ঘটে। নিম্ন বিয়োজন শক্তি স্তর থেকে উচ্চ বিয়োজন শক্তি স্তরের ব্যবধান, E_x , নিম্ন ইলেকট্রন শক্তি স্তরের বিয়োজন শক্তি, D''_0 এবং উচ্চ ইলেকট্রন শক্তিস্তরের বিয়োজন শক্তি, D'_0 ।

আবার, চিত্র 8.26 (খ) থেকে দেখা যায় যে,

ইলেকট্রন শক্তিস্তরের উৎক্রমণ যদি নিরবচ্ছিন্ন শক্তি স্তরের হয় তাহলে নিরবচ্ছিন্ন বর্ণালী পাওয়া যায়। ইলেকট্রনিক বর্ণালীর সাহায্যে বিয়োজন শক্তি নির্ণয় করা যায়। ইলেকট্রনিক শক্তি স্তরের ব্যবধান

$$\Delta E = \epsilon_{v+1} - \epsilon_v$$

$$\Delta E = \left\{ \left(v + 1 + \frac{1}{2} \right) \omega_e - \left(v + \frac{1}{2} \right) \omega_e \right\} - \left\{ \left(v + 1 + \frac{1}{2} \right)^2 \omega_e x_e - \left(v + \frac{1}{2} \right)^2 \omega_e x_e \right\}$$

$$\Delta E = \omega_e \{ 1 - 2(v+1)x_e \} \quad \dots \quad 8.5.6$$

কম্পন স্তরের যত বৃদ্ধি হয় ততই কম্পনস্তরের ব্যবধান কমতে থাকে। বিয়োজন শক্তিতে কম্পনস্তর নিরবচ্ছিন্ন বর্ণালী প্রদর্শন করে। এই শক্তিস্তরের ব্যবধান ধরে নেওয়া যেতে পারে, $\Delta E = 0$

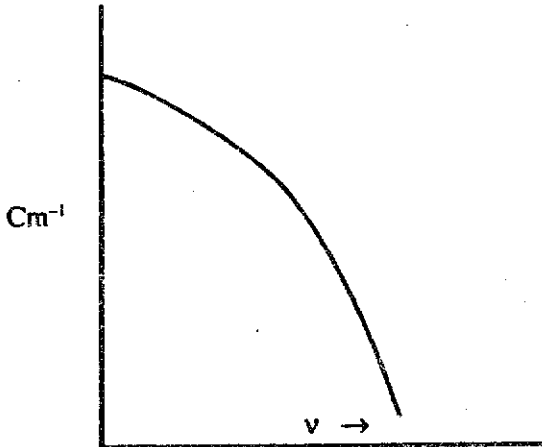
$$\text{তাহলে, } v_{\max} = \frac{1}{2x_e} - 1 \quad \dots \quad 8.5.7$$

অসমঞ্জস দোলন ধ্রুবকের (anharmonicity Constant) মাপ 10^{-2} এর কাছাকাছি। v_{\max} -এর মাপ তাহলে 50-এর কাছাকাছি।

অনুশীলনী—5

1. HI-এর সাম্য-কম্পাঙ্ক, $\omega_e = 2309.5 \text{ Cm}^{-1}$ এবং $x_e = 0.0172$ । HI-এর সর্বোচ্চ ঘূর্ণন-কোয়ান্টাম সংখ্যা এবং বিয়োজন শক্তি কত? তাপ রসায়ন থেকে বিয়োজন শক্তির মান 299 KJ mol^{-1} । বর্ণালী বিশ্লেষণ থেকে প্রাপ্ত বিয়োজন শক্তির মানের সঙ্গে পার্থক্য থাকলে, কেন হয়?

8.5.1 : সমীকরণ থেকে বলা যায় যে, ঘূর্ণনসংখ্যার মাপ যত বাড়বে কম্পন শক্তিস্তরের ব্যবধান তত কমবে। কম্পনশক্তির ব্যবধান বনাম ঘূর্ণনসংখ্যার লেখচিত্র নিচে দেখানো হল :



চিত্র : 8.27

এই লেখচিত্রের সাহায্যে বন্ধনী-বিয়োজন শক্তি নির্ণয় করা সম্ভব।

বর্ণালী বিশ্লেষণ সূক্ষ্ম হলে ঘূর্ণন স্তর পাওয়া যাবে। দৃঢ় ঘূর্ণক ধরে নিলে, ইলেকট্রন শক্তি স্তরের পরিবর্তনে মোট শক্তির পরিবর্তন

$$\Delta E = \Delta E_{cl} + \Delta E_{vib.} + \Delta E_{rot.} \text{ Cm}^{-1}$$

$$\Delta E = \Delta E_{cl} + (v'' - v') \omega_e [1 - (v'' + v' + 1) x_2] + B'J'(J' + 1) - B''J''(J'' + 1) \dots 8.5.8$$

যদি কম্পন শক্তিস্তরের ঘূর্ণনস্তরের B-এর মান প্রায় কাছাকাছি হলেও ইলেকট্রন শক্তিস্তরে B-এর মান পৃথক হবে। তাহলে,

P-শাখা : যেখানে, $\Delta J = -1, J'' = J' + 1$

$$\Delta E = \Delta E_{cl} + (v'' - v') \omega_e [1 - (v'' + v' + 1) x_2] - (B' + B'')(J' + 1) + (B' + B'') + (J' + 1)^2 \text{ Cm}^{-1} \dots 8.5.9$$

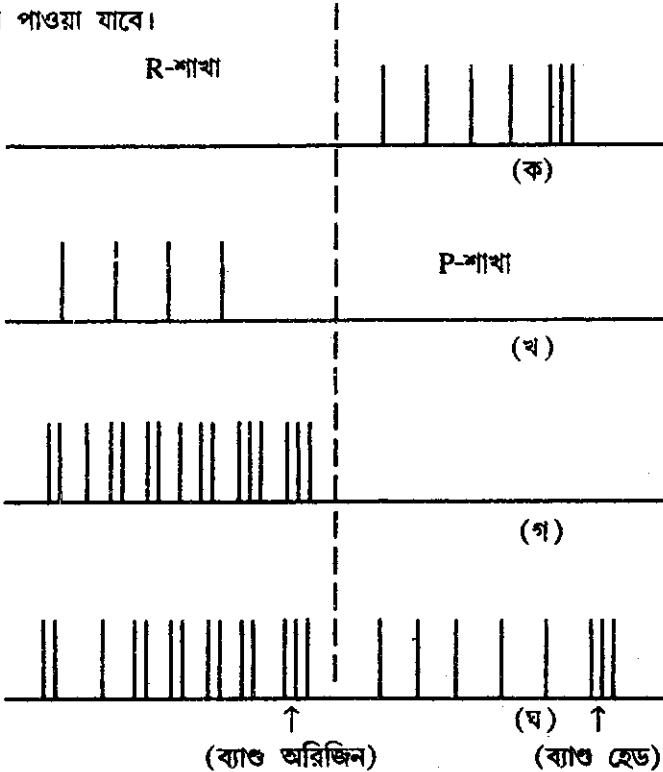
যেখানে, $J' = 0, 1, 2, \dots 8.5.10$

এই দুটি শক্তির ব্যবধান একত্রে লেখা যায়,

$$\Delta E = \Delta E_{cl} + (v'' - v') \omega_e [1 - (v'' + v' + 1) x_2] (B' + B'')(J' + 1)^2 \text{ Cm}^{-1} \dots 8.5.11$$

যেখানে $m = \pm 1, \pm 2, \dots 8.5.11$

m ধনাত্মক হলে $\Delta J = \pm 1$, অতএব, R-শাখার বর্ণালী পাওয়া যাবে। m ঋণাত্মক হলে $\Delta J = -1$, অতএব P-শাখার বর্ণালী পাওয়া যাবে।



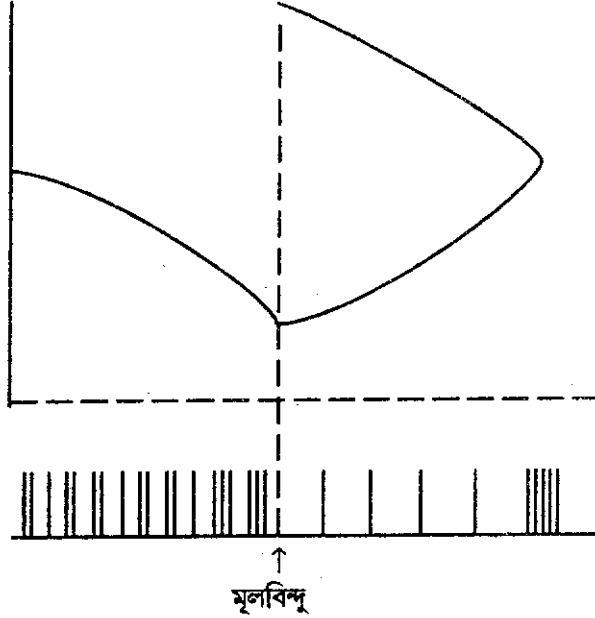
চিত্র : 8.28

Q-শাখার জন্য $\Delta J = 0$, $J' = J''$

$$\Delta E = \Delta E_{el} + (v'' - v') \omega_c [1 - (v'' + v' + 1)x_c] + (B' - B'')J'^2 + (B' - B'')J''Cm^{-1} \dots 8.5.12$$

চিত্র 8.28 (ক)-এ R শাখা চিত্র 8.28 (খ)-এ Q শাখা এবং চিত্র 8.28 (গ)-এ Q শাখা এবং চিত্র 8.28 (ঘ)-এ মিলিত চিত্র আঁকা হয়েছে।

নিচে ফোর্টাটের চিত্র আঁকা হয়েছে।



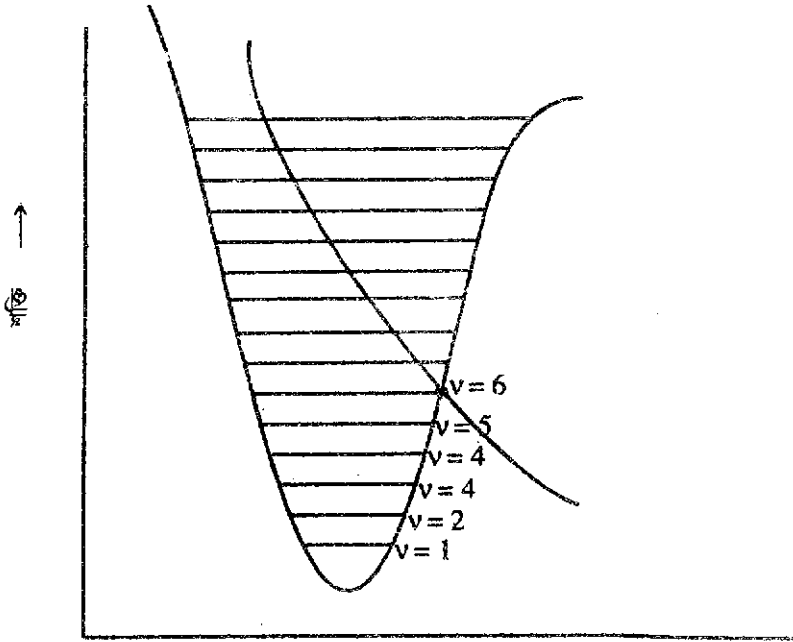
চিত্র : 8.29

ইলেকট্রন শক্তিস্তরে পরিবর্তনের সময় অনেক ক্ষেত্রে বিয়োজন শক্তির চেয়ে কম শক্তি শোষণ করে অণুর বিয়োজন ঘটে তখন এই বর্ণালীকে প্রাক-বিয়োজন বর্ণালী বলে। এই বর্ণালীর বৈশিষ্ট্য হল এই যে বিয়োজনের আগে এবং পরে সূক্ষ্ম ঘূর্ণন বর্ণালী রেখা পাওয়া যায়।



চিত্র : 8.30

নিচের চিত্রে শোষণ পরবর্তী বিয়োজন বর্ণালী দিয়ে প্রাক বিয়োজন বর্ণালীর বৈশিষ্ট্য ব্যাখ্যা করা যায়।



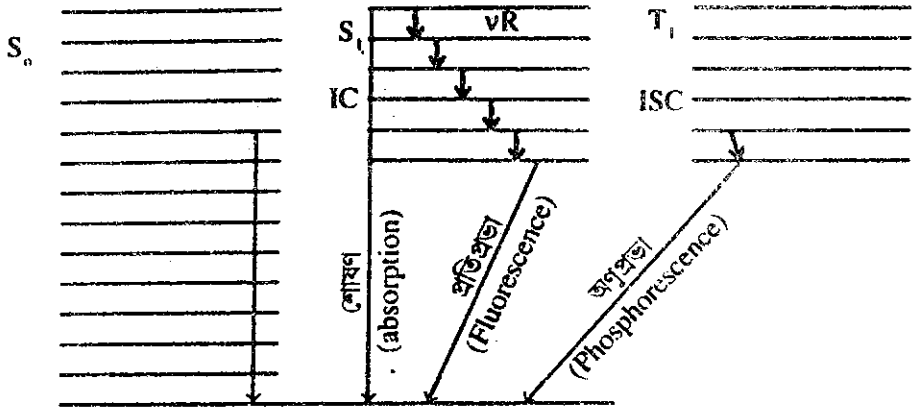
আন্তঃনিউক্লিও দূরত্ব

চিত্র : 8.31

চিত্রে একটি স্থায়ী অবস্থার সোর্স রেখচিত্রের সঙ্গে একটি অস্থায়ী অবস্থার স্পেকট্রামে বিয়োজন ঘটে। এই স্তরের উপরে বা নিচে কোয়ান্টীকৃত কম্পনস্তরের সঙ্গে ঘূর্ণনস্তরের বর্ণালী পাওয়া যায়।

8.5.4 প্রতিপ্রভা (Fluorescence) এবং অনুপ্রভা (Phosphorescence)

অতিবেগুনি বা দৃশ্যমান আলোকতরঙ্গ শোষণ করে পদার্থের অণু এক ইলেকট্রনশক্তি স্তর থেকে আরেক ইলেকট্রন শক্তি স্তরে উন্নীত হলে বিকিরণের সময় বিভিন্ন প্রক্রিয়ার মাধ্যমে সর্বনিম্ন শক্তিস্তরে উপনীত হয়। পদার্থের অণু উচ্চশক্তি স্তর থেকে নিম্নশক্তি স্তরে উপনীত হতে যে সমস্ত প্রক্রিয়ার মধ্য দিয়ে যায় সেই সমস্ত প্রক্রিয়ায় প্রতিপ্রভা বা অনুপ্রভা লক্ষ্য করা যায়। নিচে চিত্রের সাহায্যে বিকিরণ প্রক্রিয়া বোঝানো হয়েছে। এই চিত্রটিকে জ্যাব্লনস্কি চিত্র বা Jablonsky diagram বলা হয়।



চিত্র : 8.32 জ্যাবলনস্কি চিত্র

S_0 = একক রেখা বিশিষ্ট সর্বনিম্ন অবস্থা (Singlet ground state)।

S_1 = একক রেখা বিশিষ্ট উদ্দীপিত অবস্থা (Singlet excited state)।

T_1 = ত্রিযুগ্ম রেখা বিশিষ্ট উদ্দীপিত অবস্থা।

v.r. = vibrational relaxation বা কম্পনজনিত শৈথিল্য।

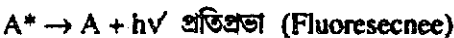
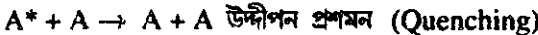
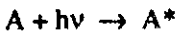
I.C. = Internal conversion বা অভ্যন্তরীণ বিনিময়।

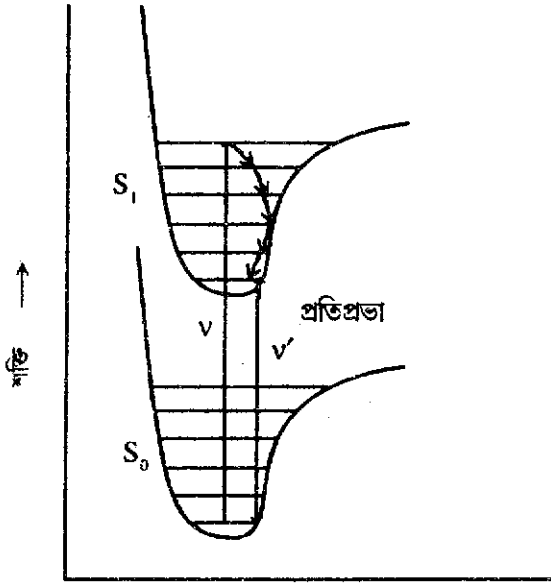
I.S.C. = Inter System Crossing বা আন্তঃ তন্ত্র অতিক্রমণ।

জ্যাবলনস্কি চিত্রে শোষণ থেকে বিকিরণ প্রক্রিয়ার রূপরেখা দেখানো হয়েছে। অতিবেগুনি অথবা দৃশ্যমান আলোকতরঙ্গ শোষণ করে পদার্থের অণু একক রেখা বিশিষ্ট সর্বনিম্ন অবস্থা (S_0) থেকে একক রেখা বিশিষ্ট উদ্দীপিত অবস্থার (S_1) উৎক্রান্ত হয়। উদ্দীপিত অবস্থা থেকে সর্বনিম্ন অবস্থায় ফিরে আসার জন্য অণু নানারকম প্রক্রিয়া অবলম্বন করে। এই প্রক্রিয়াগুলি বিকিরণহীন অধক্রমণ অবস্থা বিকিরণ যুক্ত অধক্রমণ।

8.5.4. প্রতিপ্রভা (Fluorescence)

ফোটন রূপার শক্তি শোষণ করে পদার্থের অণু সর্বনিম্ন শক্তিস্তর (S_0) থেকে উদ্দীপিত হয়ে একক-রেখা বিশিষ্ট উদ্দীপিতস্তরে (S_1) উৎক্রান্ত হয়। উদ্দীপিত অণু অন্যান্য অণুর সঙ্গে সংঘর্ষের ফলে শিথিল হয় এবং সর্বনিম্ন শক্তিস্তরে নেমে আসে। একরেখা বিশিষ্ট উদ্দীপিত অবস্থা থেকে শোষণ কম্পাঙ্কের চেয়ে কম কম্পাঙ্ক-বিশিষ্ট বিকিরণকে প্রতিপ্রভা বলা হয়। অর্থাৎ, A অণুর উৎক্রমণের প্রক্রিয়ার ধাপগুলি :

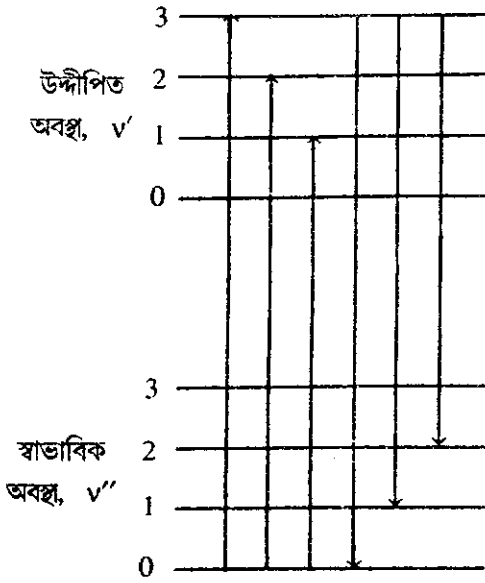




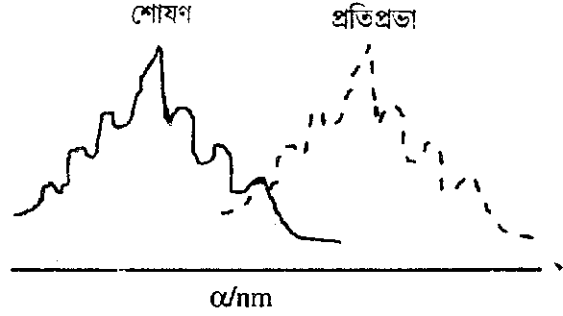
আন্তঃ নিউক্লিও দূরত্ব

চিত্র : 8.33

একরের বিশিষ্ট সর্বনিম্ন শক্তিস্তর S_0 থেকে v কম্পাঙ্ক বিশিষ্ট আলোককণার দ্বারা উদ্দীপিত হয়ে একরের বিশিষ্ট উদ্দীপক স্তরে উন্নীত হয় এবং উদ্দীপনা প্রশমণ করে v' কম্পাঙ্ক বিশিষ্ট আলোককণা বিকিরণ করে এবং সর্বনিম্ন শক্তিস্তরে অবস্থান করে। v' কম্পাঙ্ক বিশিষ্ট আলো দৃশ্যমান। যেমন, সবুজ ক্রোরোফিলের অ্যাসিটোন দ্রবণে লাল রঙের প্রতিপ্রভা লক্ষ্য করা যায়। প্রতিপ্রভার বৈশিষ্ট্য হল ইলেকট্রনের স্পিনজোড়ের ঘূর্ণন সর্বনিম্ন শক্তিস্তরে এবং উদ্দীপিত শক্তিস্তরে বিপরীতমুখী। অর্থাৎ, উৎক্রমণটিতে স্পিনজোড়ের ঘূর্ণন পরিবর্তিত হয় না। $S_0 \rightarrow S_1$ উৎক্রমণটি সংগত (allowed transition)। $S_1 \rightarrow S_0$ অধক্রমণে স্পিন জোড়ের ঘূর্ণন পরিবর্তিত হয় না। যে সমস্ত অধক্রমণ বিকিরণ প্রক্রিয়ায় স্পিন ঘূর্ণনের কোন পরিবর্তন হয় না সেই সমস্ত প্রক্রিয়াকে প্রতিপ্রভা বা fluorescence বলা হয়। $S_1 \rightarrow S_0$ অধক্রমণে স্পিন ঘূর্ণনের কোন পরিবর্তন হয় না, সেই কারণে সেই বিকিরণ প্রতিপ্রভা বলে। এই পরিবর্তনে ইলেকট্রন স্পিন বহুলতা (Spin multiplicity) অপরিবর্তিত থাকে। প্রতিপ্রভায় একক রেখ বিশিষ্ট উদ্দীপিত অবস্থা থেকে একক রেখ বিশিষ্ট স্বাভাবিক অবস্থায় অবতরণ হয় বলে এই প্রক্রিয়ায় সময় কম লাগে। আলোকতরঙ্গ শোষণের ফলে অণুগুলি উদ্দীপিত হয়। উদ্দীপিত অণু অন্যান্য অণুর সঙ্গে সংঘর্ষের ফলে স্থানান্তরিত হয় এবং ক্রমশ শৈথিল্যের দরুণ অণু উদ্দীপিত অবস্থার সর্বনিম্ন কম্পনস্তরে অবতরণ করে এবং প্রতিপ্রভার মাধ্যমে স্বাভাবিক অবস্থায় ফিরে আসে।



চিত্র : 8.34



চিত্র : 8.35

ইলেকট্রনের স্বাভাবিক অবস্থা এবং উদ্দীপিত অবস্থার কম্পাঙ্ক যদি সমান হয় তাহলে প্রতিপ্রভা বর্ণালী শোষণ বর্ণালীর প্রতিবিম্বের আকার ধারণ করে (চিত্র 8.35 (4) দ্রষ্টব্য)। প্রতিপ্রভার মাত্রা দ্রাবকের প্রকৃতির উপর এবং আয়নের উপস্থিতির উপর, বিশেষত অ্যানায়নের উপর নির্ভর করে। থায়াসায়ানেট, আয়োডাইড, ব্রোমাইড এবং ক্লোরাইড আয়নের যথেষ্ট উদ্দীপনা প্রশমনের ক্ষমতা আছে। সাস্ত্র দ্রাবকের প্রতিপ্রভা ক্ষমতা বেশি কারণ এই ধরনের দ্রাবকে প্রশমন কম হয়। ফ্লুরেসিনের সোডিয়াম লবণের জলীয় দ্রবণে প্রতিপ্রভা না দেখা গেলেও জিলেটিন, সূক্রোশ বা সাকসিনিক অ্যাসিডের দ্রবণে তা দেখা যায়।

8.5.4.2 অণুপ্রভা (Phosphorescence) :

উদ্দীপিত ত্রিরেখ অবস্থা অনেকক্ষেত্রেই উদ্দীপিত একরেখ অবস্থার চেয়ে শক্তির দিক থেকে কম বলে এবং কাছাকাছি থাকার ফলে আন্তঃতন্ত্র অতিক্রমণ (inter system crossing) সম্ভব। উদ্দীপিত একরেখ অবস্থা থেকে উদ্দীপিত ত্রি-রেখ অবস্থায় অতিক্রমণে স্পিন ঘূর্ণন পরিবর্তিত হয়। উদ্দীপিত ত্রি-রেখ অবস্থা T_1 থেকে স্বাভাবিক এক-রেখ অবস্থায়, S_0 অবতরণকে অণুপ্রভা বা Phosphorescence বলে। অণুপ্রভাব স্পিন ঘূর্ণনের পরিবর্তন হয়। উদ্দীপিত এক-রেখ অবস্থা থেকে আন্তঃতন্ত্র অতিক্রমণের দ্বারা ত্রিরেখ উদ্দীপিত অবস্থায় অবতরণ করে। এই ত্রিরেখ উদ্দীপিত অবস্থা, T_1 থেকে একরেখ স্বাভাবিক অবস্থায়, S_0 , অবতরণকে অণুপ্রভা বলে। অণুপ্রভায় প্রায় 10^3 গুণ বেশি সময় লাগে। আন্তঃতন্ত্র অতিক্রমণে স্পিনবহুলতা পরিবর্তিত হয়। এই পরিবর্তন যদিও স্পিন নিবিদ্ধ তা হলেও উদ্দীপিত অবস্থায় একরেখ ত্রি-রেখ তন্ত্রে সমাপতিত অংশে অতিক্রমণ করে। পরবর্তীকালে

অণু উদ্দীপিত অবস্থা থেকে স্বাভাবিক অবস্থায় ফিরে আসে। অণুপ্রভার বিকিরণ কস্পাঙ্ক, v' , প্রতিপ্রভার বিকিরণ কস্পাঙ্কের, v , চেয়ে কম। অণুপ্রভার বিকিরণে স্পিন ঘূর্ণনের শূণ্য নয় অর্থাৎ, $\Delta S \neq 0$ । অণুপ্রভা স্পিন ঘূর্ণন পরিবর্তনের নির্বাচন সূত্র, $\Delta S = 0$ মেনে চলে না। যদি উদ্দীপিত ত্রি-রেখ বিশিষ্ট শক্তির মাপ কম হয় তাহলে অণুপ্রভা 10^{-3} S থেকে 1S পর্যন্ত স্থায়ী হয়। অণু সংঘর্ষ কম হলে অণুপ্রভার বেশিক্ষণ স্থায়ী হয়, কারণ সংঘর্ষের ফলে অণুগুলি নিষ্ক্রিয় হয়ে পড়ে। অতএব, নিম্ন উষ্ণতায় এবং কঠিন মাধ্যমে অণুপ্রভা বিশেষভাবে লক্ষ্য করা যায়। সাধারণ উষ্ণতায় বোরিক অ্যাসিডে ফ্লুরোসিন নীল (570 nm) এবং হলুদ (480 nm) অণুপ্রভা দেখা যায়। নীল আলোকে α -অণুপ্রভা কমে যায়। 0°C উষ্ণতার কার্যত α অণুপ্রভা দেখা যায় না। হলুদ আলোকে আমরা β -অণুপ্রভা বলি। উষ্ণতা যতই কমানো যাক না β -অণুপ্রভা একই রকম থাকে। অর্থাৎ, β -অণুপ্রভা উষ্ণতার উপর নির্ভরশীল নয়।

8.5.43 রাসায়নিক সংদীপ্তি :

সাধারণ উষ্ণতায় রাসায়নিক বিক্রিয়ার ফলে উৎপন্ন পদার্থের অণুর উদ্দীপিত অবস্থা থেকে অধঃক্রমণের ফলে যে আলো বিকিরিত হয় তাকে রাসায়নিক সংদীপ্তি বা Chemi heminesunce বলে। এই আলো যেহেতু উষ্ণতায় ফলে সৃষ্টি হয় না সেই জন্য একে 'শীতল আলো' বলে। রাসায়নিক সংদীপ্তির বিক্রিয়াকে আলোক রাসায়নিক বিক্রিয়ার বিপরীত বলা যায়।

হাইড্রোজেন পারক্সাইডের দ্বারা লুমিনলের ক্ষারীয় দ্রবণের জারণে যে উজ্জ্বল সবুজ আলো দেখা যায় তা রাসায়নিক সংদীপ্তির একটি উদাহরণ। লুসিফেরেস উৎসেচকের দ্বারা লুসিফেরিনের জারণে জোনাকি পোকায় আলো জৈব-রাসায়নিক সংদীপ্তির একটি কৌতূহলোদ্দীপক দৃষ্টান্ত। আবার জলাভূমিত পচনশীল জৈব পদার্থের জারণে যে আলো দেখা যায় তাও রাসায়নিক সংদীপ্তিরই উদাহরণ স্বরূপ।

8.5.5 ইলেকট্রনিক বর্ণালী বিশ্লেষণ এবং পদার্থের আণবিক গঠন :

ইলেকট্রন বর্ণালী থেকে অণুর গঠন, আকৃতি এবং ইলেকট্রন বন্টন জানা যায়। দৃশ্যমান এবং অতিবেগুনি আলোক তরঙ্গে ইলেকট্রন বর্ণালী পাওয়া যায়। ইলেকট্রন বর্ণালীকে তিনটি ভাগে ভাগ করা যায়—(১) 400 - 700 nm আলোকতরঙ্গের দৃশ্যমান অঞ্চল, (২) 200-400 nm আলোকতরঙ্গের অতিবেগুনি অঞ্চল, (৩) 200 nm-এর নিচের আলোকতরঙ্গ।

Lambert-Bur এর সূত্র অনুযায়ী আপতিত আলোকের যে অংশ দ্রবণের মধ্য দিয়ে নির্গত হয়ে আসে তার মাপ,

$$I/I_0 = e^{-Ecl}$$

$$\text{অথবা, } \log I_0/I = Ecl$$

c দ্রবণের আণব গাঢ়ত্ব, l, দৈর্ঘ্য এবং E, আণব শোষণাঙ্ক। তীব্র থেকে দুর্বল শোষণের ক্ষেত্রে আণব গাঢ়ত্বের মাপ 5×10^4 থেকে 1 হয়।

দ্বি-বন্ধনী যুক্ত যৌগের ক্ষেত্রে ইলেকট্রন বর্ণালীর বৈশিষ্ট্য লক্ষণীয়। দ্বিবন্ধনীতে $\pi-\pi^*$ এবং $n-\lambda^*$ উৎক্রমণ লক্ষ্য করা যায়। যে সমস্ত অণুতে $-C=C-$ বর্তমান সেই সমস্ত অণুতে $\pi-\pi^*$ উৎক্রমণ লক্ষ্য করা যায়। যে সমস্ত অণুতে $-C=O$ বা $-C\equiv N$ জাতীয় পরমাণু থাকে তাদের নিঃসঙ্গ ইলেকট্রন জোড়ের $n-\lambda^*$ উৎক্রমণ লক্ষ্য করা যায়।

সংযুক্ত দ্বি-বন্ধনী যুক্ত অণুর ক্ষেত্রে দৃশ্যমান আলোকতরঙ্গ বিকিরিত হয়। p-বেঞ্জোকইননের $n\rightarrow\pi^*$ শোষণ বর্ণালীর তরঙ্গদৈর্ঘ্য 425 nm-অর্থাৎ, নীল আলোকতরঙ্গের।

পদার্থটি যে আলোকতরঙ্গ বিকিরণ তা থেকে পদার্থটির বন্ধনীর গঠন সম্পর্কে জানা যায়।

নিচের তালিকায় দ্বিবন্ধনী এবং ত্রিবন্ধনীযুক্ত পদার্থের $\pi-\pi^*$ এবং $n\rightarrow\pi^*$ উৎক্রমণের আলোক তরঙ্গ দৈর্ঘ্য দেওয়া হল :

	$\pi-\pi^*$	$n\rightarrow\pi^*$
	nm	Nm
$>C=C<$	170	—
$-C\equiv C-$	170	—
$>C=O$	166	280
$-C=C-C=O$	240	320
$O=\text{C}_6\text{H}_6=O$	245	435

সংযুক্ত দ্বি-বন্ধনী অণুর প্রতিস্থাপিত পরমাণু বা গ্রুপের জন্য নির্দিষ্ট তরঙ্গ দৈর্ঘ্য পদার্থটির সর্বোচ্চ তরঙ্গ দৈর্ঘ্যের সঙ্গে যোগ করলে মোট সর্বোচ্চ তরঙ্গ দৈর্ঘ্য পাওয়া যায়। 1, 4 বিটাভাইনে যদি ফ্লোরিন এবং মেথক্সি গ্রুপ প্রতিস্থাপিত হয় তাহলে বিকিরিত আলোর মোট তরঙ্গ দৈর্ঘ্য $(217 + 5 + 6)$ বা 228 nm হবে। পরীক্ষালব্ধ ফলের সঙ্গে এই মাণ প্রায় কাছাকাছি। পদার্থের মূল আণবিক গঠনের সঙ্গে প্রতিস্থাপিত গ্রুপগুলি এই সূত্রের সাহায্যে সহজেই সনাক্ত করা সম্ভব।

ইলেকট্রনিক বর্ণালীর বৈশিষ্ট্য হল একই পরমাণু বিশিষ্ট অণুর ক্ষেত্রে এই বর্ণালী প্রযোজ্য। যেমন H_2 , O_2 , N_2 -অণুর ক্ষেত্রেও এই বর্ণালী বিশ্লেষণ সম্ভব।

2 $^1H^{35}Cl$ অণুর অণু-তরঙ্গ বিকিরণ জনিত কম্পাঙ্ক $6.35 \times 10^{11} Hz$ । এক গ্রাম অণু $^1H^{35}Cl$ -এর ঘূর্ণন শক্তির পরিবর্তন কত হবে।

8.6 সারাংশ :

● আলোক তরঙ্গ বিকিরণে ঘূর্ণনজনিত এবং ইলেকট্রন শক্তি স্তর জনিত পরিবর্তন দেখা যায়। বিভিন্ন আণবিক প্রক্রিয়ার জন্য ভিন্ন ভিন্ন আলোক তরঙ্গ প্রয়োজন।

- আলোক তরঙ্গ কম্পাঙ্কের মান শক্তির পরিবর্তন নির্ধারণ করে। অর্থাৎ

$$E = h\nu$$

$$\text{অথবা, } \nu = \Delta E/h.$$

- বর্ণালী বিজ্ঞানে শক্তির মান পরিবর্তনকে তরঙ্গ সংখ্যায় প্রকাশ করা হয়।

$$\text{তরঙ্গ সংখ্যা, } \bar{\nu} = \frac{\nu}{c} = \Delta E/hc.$$

- ঘূর্ণন বর্ণালী বিশ্লেষণ থেকে পদার্থের অণুর জাড্য ভ্রামক এবং বন্ধনী দৈর্ঘ্য নির্ণয় করা যায়।

$$\text{ঘূর্ণন-ধ্রুবক, } B = \frac{h}{8\pi^2IC} \quad A \text{ বন্ধনী দৈর্ঘ্য, } r_0 = \sqrt{I/\mu}$$

- অণুসংখ্যার প্রাবল্য থেকে ঘূর্ণন স্তরে অণু সংখ্যা নির্ণয় করা যায় $\frac{n_i}{n_0} = e^{-Bhc(\tau+1)/R\tau}$

- অণু-তরঙ্গ সক্রিয় হতে হ'লে পদার্থের অণু স্থায়ী দ্বি-মেরু ভ্রামক হতে হবে। অর্থাৎ, পদার্থের অণু ধ্রুবীয় হতে হবে।

- উৎক্রমণের নির্বাচন সূত্র-ঘূর্ণন কোয়ান্টাম সংখ্যার ব্যবধান $\Delta J = \pm 1$ হতে হবে।

$$\Delta J = +1 \text{ হ'লে শোষণ বর্ণালী হবে,}$$

$$\Delta J = -1 \text{ হ'লে বিকিরণ বর্ণালীয় হবে।}$$

- শোষণ বর্ণালীর শক্তি পরিবর্তন : $\Delta E = E_{j+1} - E_j$

$$\Delta E = \frac{h^2}{I}(J+1)$$

শক্তির পরিবর্তন তরঙ্গ সংখ্যায়, $\Delta \bar{\nu} = 2B(\tau = 1)$

- ঘূর্ণন স্তরের পরত বা degeneracy-র জন্য অণুসংখ্যা প্রাবল্য

$$\frac{n_i}{n_0} = (2J+1)e^{-8hcJ(J+1)/RT}$$

- সর্বোচ্চ ঘূর্ণন স্তর, $J = \sqrt{2RT/Bhc} - \frac{1}{2}$

- অদৃঢ় বন্ধনী যুক্ত অণুর শক্তি, $E_j = BhcJ(J+1) - Dhc\tau^2(\tau+1)^2$

$$B = \frac{h}{8\pi^2IC}; \quad D = \frac{h^3}{32\pi^4I^2r^2RC}$$

শক্তির ব্যবধান তরঙ্গ-সংখ্যায়, $\Delta \bar{\nu} = 2B(J+1) - 40(J+1)^3$.

- অণুতরঙ্গ বর্ণালী বিশ্লেষণের সাহায্যে পদার্থের অণুর সম্পর্কে যে সমস্ত ধারণা করা যায় তা হ'ল :

(i) অণুর বন্ধনী-দৈর্ঘ্য নির্ণয়;

(ii) পদার্থের মধ্যে সমস্থানিকের উপস্থিতি;

(iii) পদার্থের অণুবিন্যাসী সমাবায়ের উপস্থিতি;

(iv) পদার্থের মিশ্রণ বিশ্লেষণ।

● অণুর বন্ধনী সম্প্রসারণ ও সঙ্কোচন সরল দোলকের গতির ন্যায় আচরণ করে।

● তরঙ্গ সংখ্যায় কম্পাঙ্কের মান,

$$\omega_{osc} = \frac{1}{2\pi c} \sqrt{\frac{R}{\mu}}$$

কম্পন স্তরের শক্তির মান, $\Sigma_0 = \omega_{osc} hc \left(v + \frac{1}{2} \right)$

● বিভিন্ন ঘূর্ণনস্তরে অণুসংখ্যার প্রবলা,

$$\frac{n_\theta}{n_0} = e^{-\left(v + \frac{1}{2}\right) \omega_{osc} hc / RT}$$

● বাস্তবে অণুগুলি সূক্ষ্মগোলে দোলক নয়, এদের অসমগোলে দোলনের জন্য কম্পন স্তরের শক্তির মান,

$$\Sigma_\nu = \left(v + \frac{1}{2} \right) \omega_e - \left(v + \frac{1}{2} \right)^2 \omega_e x_e$$

● সূক্ষ্মগোলে দোলনে কম্পন স্তরের শক্তি পার্থক্য সর্বদা সমান, $\Delta\Sigma_\nu = \omega_{osc}$

অসমগোলে দোলনে কম্পন স্তরের শক্তি-পার্থক্য

$$\Delta\Sigma_\nu = \omega_e (1 - 2x_e) \dots \dots \dots (1)$$

$$\Delta\Sigma_\nu = 2\omega_e (1 - 3x_e) \dots \dots \dots (2)$$

$$\Delta\Sigma_\nu = 3\omega_e (1 - 4x_e) \dots \dots \dots (3)$$

(1) নং সমীকরণকে মৌল ব্যান্ড বা fundamental band বলে;

(2) এবং (3) নং সমীকরণকে অপ্রধান বা গৌণ ব্যান্ড বলে (overtone)।

● উষ্ণতার বৃদ্ধির সঙ্গে কম্পন শক্তির উপরের স্তরের অনুসংখ্যা বৃদ্ধি পায়। উষ্ণতা তিনগুণ বৃদ্ধি পেলে অণুসংখ্যা উপরের স্তরে প্রায় 100 গুণ হবে।

● কম্পন জনিত শক্তি স্তরের সঙ্গে ঘূর্ণনজনিত শক্তি স্তর থাকে। কম্পনজনিত শক্তি স্তরের তরঙ্গ সংখ্যা 1000 cm^{-1} -এর কাছাকাছি কিন্তু, ঘূর্ণনজনিত শক্তি স্তরের তরঙ্গ সংখ্যা 10 cm^{-1} । যেহেতু, কম্পনজনিত শক্তি স্তরের সঙ্গে ঘূর্ণনজনিত শক্তি স্তর থাকে, মোট শক্তির মান তরঙ্গ সংখ্যায়,

$$\Sigma_\nu = BJ(J+1) - \Delta J^2(J+1)^2 + \left(v + \frac{1}{2} \right) \omega_e - \left(v + \frac{1}{2} \right)^2 \omega_e x_e$$

শক্তির পরিবর্তন, $\Delta\Sigma_\nu = 2B(J+1) - 3D(J+1)^3 + \omega_e(1 - 2x_e)$

$\Delta J = \pm 1$, $\Delta v = \pm 1$ হলে।

● $\Delta J = -1$ হলে বর্ণালী রেখাকে p-শাখা আর $\Delta J = +1$ হলে বর্ণালী রেখাকে R-শাখা বলে।

● অণুর কম্পনজনিত স্বতন্ত্র সংখ্যা থেকে কোন্ কোন্ কম্পনের জন্য অণু অবলোহিত আলোক তরঙ্গ সক্রিয় তা জানা যায়। যেমন, অণু অপ্রতিসম টানে অবলোহিত আলোক তরঙ্গ সক্রিয়। কিন্তু, অণু প্রতিসম টানে অবলোহিত আলোক তরঙ্গ সক্রিয় নয়।

● কম্পন বর্ণালী থেকে পদার্থের আণবিক গঠনের পরিচয় পাওয়া যায়—যেমন, কোন গ্রুপ আছে বলা যায়, অণুর জ্যামিতি-সমতালিক না ত্রিমাত্রিক, রৈখিক না কৌণিক সে সম্পর্কে জানা যায়।

● ঘূর্ণন বা কম্পনজনিত বর্ণালীর মত ইলেকট্রন বর্ণালীর পদার্থকে দ্বি-মেরু ভ্রামক বা আবিষ্ট দ্বি-মেরু ভ্রামক না হলেও চলবে।

ঘূর্ণন বা কম্পনজনিত শক্তি স্তরের নির্বাচন সূত্র

$\Delta l = \pm 1, \pm 2, \pm 3, \dots$ এবং $\Delta u = \pm 1, \pm 2, \pm 3, \dots$ হলেও চলবে।

প্রতিসম অণু বা একই পরমাণুবিশিষ্ট অণুর ক্ষেত্রেও ইলেকট্রন বর্ণালী প্রযোজ্য।

● ইলেকট্রন বর্ণালী ফ্রাঙ্ক কম্পনের নীতি মেনে চলে।

● ইলেকট্রন বর্ণালীতে শক্তির সর্ব-নিম্নস্তর থেকে। পরবর্তী স্তরে উৎক্রমণে শোষণ বর্ণালী বা বিকিরণ বর্ণালী দেখা যায়। ঘূর্ণন শক্তি স্তর জনিত পরিবর্তন নগন্য ধরলে, মোট শক্তি স্তরে পরিবর্তন,

$$\Delta \Sigma_{\text{tot}} = \Delta \Sigma_{\text{el}} + \Delta \Sigma_{\text{vib}}$$

$$\Delta \Sigma_{\text{tot}} = \Delta \Sigma_{\text{el}} + (v^1 - v) \omega_e - \{(v^1 - v)(v^1 + v + 1)\} \omega_e x_e$$

$$\Delta \Sigma_{\text{tot}} = \Delta \Sigma_{\text{el}} + (v^1 - v) \omega_e - [1 - (v^1 + v + 1)x_e]$$

● ইলেকট্রন বর্ণালীর সাহায্যে বিয়োজন শক্তি নির্ণয় করা যায়। উৎক্রমণে সর্বোচ্চ কম্পন শক্তি স্তর নির্ণয়

করা সম্ভব— $v_{\text{max}} = \frac{1}{2x_e} - 1$

● ঘূর্ণন শক্তি স্তরের পরিবর্তনকে গন্য করলে, মোট শক্তি স্তরের পরিবর্তন;

$$\Delta \Sigma = \Delta \Sigma_{\text{el}} + (v^1 + v^1)[1 - (v^1 + v^1 + 1)] \omega_e x_e + B^1 J^1 (J^1 + 1) - B^1 J^1 (J^1 + 1)$$

● ইলেকট্রন বর্ণালীতে প্রতিপ্রভা, অনুপ্রভা এবং রাসায়নিক সংদীপ্তি লক্ষ্য করা যায়।

প্রতিপ্রভায় কোনো আন্তঃস্তর অতিক্রমণ হয় না, অনুপ্রভায় আন্তঃস্তর অতিক্রমণ হয়।

প্রতিপ্রভাব চেয়ে অনুপ্রভায় প্রায় 1000 গুণ বেশি সময় লাগে।

● ইলেকট্রন বর্ণালী বিশ্লেষণের দ্বারা পদার্থের আণবিক গঠন এবং পদার্থের অণুর গ্রুপগত বৈশিষ্ট্য জানা যায়।

8.7 প্রান্তিক প্রশ্নাবলি

1. একটি আলোক তরঙ্গের দৈর্ঘ্য $3\mu\text{m}$. তরঙ্গসংখ্যা এবং শক্তি কত হবে? এই তরঙ্গ সংখ্যার শক্তি কোন্ ধরনের আণবিক প্রক্রিয়া সম্পন্ন করে?
2. 10^8 Hz কম্পাঙ্ক বিশিষ্ট আলোক তরঙ্গ ঘূর্ণনজনিত শক্তি স্তর পরিবর্তনে সক্ষম হবে কি?
3. 10^{20} Hz কম্পাঙ্ক বিশিষ্ট আলোক তরঙ্গ পদার্থের আণবিক গঠনে কী ধরনের পরিবর্তন সম্পন্ন করবে?
4. C-H বন্ধন বিয়োজন শক্তি 435 KJmol^{-1} , কোন্ আলোক তরঙ্গ C-H বন্ধনী বিয়োজনে সক্ষম?
5. লাল আলোর তরঙ্গের 9700 nm শক্তি ক্যালরিতে কত?

8.8.8.(II) : প্রশ্নমালা :

6.1. কোনটি সত্য, কোনটি মিথ্যা বলুন :

- (i) দ্বি-মেরু ভ্রামক শূন্য হ'লে অণু ঘূর্ণন স্তরে কোন পরিবর্তন সাধন করতে পারে না;
- (ii) CO_2 - অণু অণু-তরঙ্গ আলোক সক্রিয় নয়, কিন্তু N_2O -অণু অণু-তরঙ্গ আলোক সক্রিয়;
- (iii) H_2 , N_2 , O_2 -অণু অণু-তরঙ্গ আলোক সক্রিয়;
- (iv) H_2O , SO_2 অণু অণু-তরঙ্গ আলোক সক্রিয়;
- (v) CH_4 , CH_3Cl অণু-তরঙ্গ আলোক সক্রিয়;
- (vi) সমস্থানিকের সাহায্যে বন্ধনী দৈর্ঘ্য নির্ণয় করা সহজ;
- (vii) অণু-তরঙ্গ বিকিরণের তরঙ্গ দৈর্ঘ্য 0.03 cm ;
- (viii) 0.03 cm তরঙ্গ দৈর্ঘ্যের আলোকের ঘূর্ণন শক্তির $6.6 \times 10^{-22} \text{ Soule molal}^{-1}$;
- (ix) বৃহদাণুর ক্ষেত্রে ঘূর্ণনস্তরের ব্যবধান বেশি, ক্ষুদ্রাণুর ক্ষেত্রে কম;
- (x) ক্ষুদ্রাণুর ক্ষেত্রে অণু-তরঙ্গ বিকিরণ বর্ণালী বিশেষভাবে প্রযোজ্য।

7. নিম্নলিখিত অণুগুলি প্রতিসম, গোলক না অপ্রতিসম



উপরের অণুগুলির মধ্যে কোনটি অণু-তরঙ্গ বিকিরণ সক্রিয়, কোনটি নয়।

8. প্রতি ফোটনে 1 eV শক্তি সম্পন্ন আলোক তরঙ্গের কম্পাঙ্ক, তরঙ্গ দৈর্ঘ্য এবং তরঙ্গ সংখ্যা কত? এটি কোন্ ধরনের আলোক তরঙ্গ এবং কোন্ আণবিক প্রক্রিয়ার বর্ণালী পাওয়া যায়?

9. একটি দ্বি-আণবিক অণুর $J = 2$ থেকে $J = 3$ ঘূর্ণন স্তরের উৎক্রমণ হয় $\lambda = 2 \text{ cm}$ তরঙ্গ দৈর্ঘ্যে, $J = 6$ থেকে $J = 7$ ঘূর্ণন স্তরে উৎক্রমণ হতে গেলে λ র মান কত হবে?

10. $^{39}\text{K}^{37}\text{Cl}$ অণুর $J = 2 \rightarrow 3$ ঘূর্ণন স্তরের কম্পাঙ্ক 22410 MHz । $J = 0 \rightarrow 1$ উৎক্রমণের কম্পাঙ্ক নির্ণয় করুন।

11. H^{127}I অণুর আন্তঃ নিউক্লিও সাম্য দূরত্ব হ'ল 160.4 pm ; তরঙ্গ সংখ্যায় এবং মেগাহার্টজে ঘূর্ণন ধ্রুবকের (B) মান কত হবে?

12. $\text{H}^{12}\text{C}^{14}\text{N}$ -এর জ্যাক্স ভ্রামকের মান $1.89 \times 10^{-46} \text{ kg.m}^2$ । দৃঢ় ঘূর্ণক দরে নিলে অণুতরঙ্গ বর্ণালী কি ধরনের হবে?

13. H^{35}Cl -অণুর $J = 2 \rightarrow 3$ ঘূর্ণন স্তর উৎক্রমণের তরঙ্গ সংখ্যা 63.56 Cm^{-1} । অণুটির জ্যাক্স ভ্রামক এবং বন্ধনী দৈর্ঘ্য কত?

14. H^{35}Cl -অণুর ঘূর্ণন ধ্রুবক 10.59 Cm^{-1} হলে H^{37}Cl -এক $^2\text{D}^{35}\text{Cl}$ অণুর ঘূর্ণন ধ্রুবক কত হবে?

15. $^{12}\text{C}^{16}\text{O}$ -অণুর প্রথম বর্ণালী রেখাটির তরঙ্গ সংখ্যা 3.8 Cm^{-1} । $J = 1$ ঘূর্ণন স্তরে 27°C উষ্ণতায় অণুসংখ্যা কত হবে? কোন্ ঘূর্ণন স্তরে ঐ উষ্ণতায় সর্বোচ্চ অণুসংখ্যা হবে?

16. নিচের কোন্ কোন্ অণুগুলি অবলোহিত আলোক তরঙ্গ সক্রিয় :

H_2O , CO_2 , COS , N_2O , NO ,

H_2S , SO_2 , HF , H_2 , O_2 .

17. H^{35}Cl অণুর কম্পনজনিত বর্ণালী থেকে নিম্নলিখিত তথ্য পাওয়া যায় :

তীব্র রেখা : 2886 Cm^{-1}

দুর্বল রেখা : 5668 Cm^{-1}

ক্ষীণ রেখা : 8347 Cm^{-1} ব্যাখ্যা করুন।

18. $^{14}\text{N}^{16}\text{O}$ অণুর কম্পনজনিত বর্ণালীর মৌল এবং প্রথম গৌণ রেখা যথাক্রমে 1876.06 Cm^{-1} এবং 3724.00 Cm^{-1} । সাম্য কম্পাঙ্ক, অসমঞ্জসতা, বল ধ্রুবক এবং শূন্যস্থান শক্তি গণনা করুন।

19. নিচের অণুগুলির বিভিন্ন ধরনের স্বাতন্ত্র্য সংখ্যা কত হবে?

HCl , CO_2 , H_2O , NH_3 এবং CH_4

20. নিচের জোড়গুলির মধ্যে কোনটির কম্পাঙ্ক বেশি :

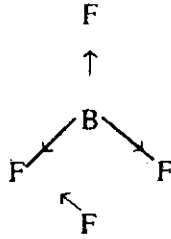
(i) $\text{C} = \text{C}$; $\text{C} \equiv \text{C}$

(ii) $\text{C} - \text{H}$; $\text{C} - \text{D}$

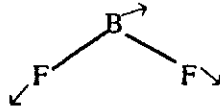
(iii) C - H: CH₂ (বঁাকানো)

21. BF₃ অণুর কোন্ ধরনের কম্পন অবলোহিত তরঙ্গ সক্রিয় হবে—

(i)



(ii)

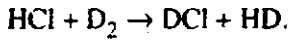


22. জৈব যৌগে C - H-বন্ধনী কম্পনজনিত টানের কম্পাঙ্ক 2900 Cm⁻¹ হ'লে বলপ্রবক কত হবে? C-D বন্ধনীর কম্পনজনিত টানের কম্পাঙ্ক কত হবে?

23. ⁷⁹Br⁷⁹Br অণুর বল-প্রবক 240 Nm⁻¹। ⁷⁹Br₂ -র মৌল কম্পাঙ্ক এবং শূন্যাক্ষ শক্তি কত হবে?

24. I₂ -অণুর সাম্য কম্পাঙ্ক 215 Cm⁻¹ এবং অসমঞ্জস দোলন প্রবক 0.003; $\nu = 0 \rightarrow 1$ । মৌল কম্পাঙ্ক সাপেক্ষে 300k উষ্ণতায় $\nu = 1 \rightarrow 2$ উত্তপ্ত ব্যান্ডের তীব্রতা কত?

25. $\nu = 0$ স্তরে HCl, DCl, D₂ এবং HD-এর তরঙ্গ সংখ্যায় কম্পাঙ্ক যথাক্রমে 2885 Cm⁻¹, 1990 Cm⁻¹, একে 3627 Cm⁻¹। নিম্নলিখিত বিক্রিয়ার শক্তি KJmol⁻¹ -এ গণনা করুন;



এবং শক্তি শোষিত হ'ল না বিকিরিত হ'ল।

26. দেখা যে, H₂, HD এবং D₂-র বলপ্রবক এবং আন্তঃনিউক্লিও দূরত্ব বর্ণ-ওপেনহাইমারের আসন্নতা অনুযায়ী সমান। এই অণুগুলির মৌল কম্পাঙ্ক কি প্রমাণ?

27. H³⁵Cl -অণুর মৌল কম্পাঙ্ক তরঙ্গ সংখ্যায় 2990 Cm⁻¹। D³⁵Cl-অণুর মৌল কম্পাঙ্ক কত?

28. H₂, HD এবং D₂ অণুর বল-প্রবক এবং সাম্য নিউক্লিও দূরত্ব সমান — ব্যাখ্যা করুন।

29. উপরি উক্ত অণুগুলির মৌল কম্পাঙ্ক কি সমান হবে উত্তরে স্বপক্ষে যুক্তি দিন।

30. উপরি-উক্ত অণুগুলির ঘূর্ণন প্রবকও কি সমান হবে—উত্তরের স্বপক্ষে যুক্তি দিন।

31. H³⁵Cl অণুর মৌল কম্পাঙ্ক 2990 Cm⁻¹, D³⁵Cl-অণুর মৌল কম্পাঙ্ক নির্ণয় করুন।

32. H₂ এবং D₂ অণুর নিম্নলিখিত মানগুলি সমান না পৃথক : D_e; এবং I_e। কারণ সহকারে ব্যাখ্যা করুন।

33. H₂ এবং D₂ অণুর বন্ধ কম্পন স্তর কি একই হবে—কারণ সহকারে ব্যাখ্যা করুন।
34. একটি পলিইন যৌগের রঙের তীব্রতা বাড়াতে হ'লে শৃংখলটির দৈর্ঘ্য কমানবেন না বাড়ানবেন? এর ফলে বিকিরিত আলোক তরঙ্গ লালের দিকে নীলের দিকে যাবে?
35. জলীয় দ্রবণে অনেক ক্ষেত্রেই প্রতিপ্রভা দেখা যায় না—ব্যাখ্যা করুন।
36. প্রতিপ্রভা বিকিরণ তরঙ্গ দৈর্ঘ্য শোষণ তরঙ্গ দৈর্ঘ্যের চেয়ে কম হবে—ব্যাখ্যা করুন।
37. অণুপ্রভা বিকিরণে প্রতিপ্রভা বিকিরণের চেয়ে বেশি সময় লাগে —ব্যাখ্যা করুন।
38. অণুপ্রভা বিকিরণ অপেক্ষাকৃত কম উষ্ণতায় ভাল হয়—ব্যাখ্যা করুন।
39. জ্যাবলনস্কি চিত্রটি আঁকুন এবং প্রতিটি প্রক্রিয়া করুন।
40. অ্যালডিহাইড এবং কিটোনের $-C=O$ গ্রুপের 270-295 nm-এ দুর্বল শোষণ বর্ণালী দেখা যায়, আবার, 180-195 nm তরঙ্গ দৈর্ঘ্যে তীব্র বর্ণালী পাওয়া যায় কেন?
41. প্রতিপ্রভা বিকিরণের সাহায্যে পদার্থের বর্ণালী বিশ্লেষণে সহজে করা যায় কেন?
42. প্রতিপ্রভা বিকিরণের তীব্রতা বনাম তরঙ্গ সংখ্যা চিহ্ন আঁকুন এবং ব্যাখ্যা করুন।

8.8 উত্তরমালা

অনুশীলনী—1

1. $3 \times 10^{13} \text{H}_3$; 10^3Cm^{-1} ; $19.9 \times 10^{-21} \text{J}$; অণুর কম্পনজনিত শক্তিস্তর পরিবর্তন।

অনুশীলনী—2

1. তরঙ্গদৈর্ঘ্য, $\lambda = 700 \text{ nm} = 700 \times 10^{-9} \text{m}$.

$$= 700 \times 10^{-7} \text{Cm}$$

$$= 7 \times 10^{-5} \text{Cm}.$$

$$\text{বর্ণালী শক্তি, } \bar{\nu} = \frac{\nu}{c} = \frac{2}{\lambda}$$

$$\bar{\nu} = \frac{1}{7 \times 10^{-5}} \text{Cm}^{-1}$$

$$\bar{\nu} = 1.43 \times 10^4 \text{Cm}^{-1}.$$

এই তরঙ্গ দৈর্ঘ্যের আলোর শক্তি.

$$\Delta E = hc\bar{\nu} = (6.627 \times 10^{-34} \text{ JS}) \times (3 \times 10^8 \text{ ms}^{-1}) \times (1.43 \times 10^6 \text{ m}^{-1})$$

$$\Delta E = 2.84 \times 10^{-19} \text{ J}$$

ইলেকট্রন শক্তি স্তরের পরিবর্তন সাধন করবে।

$$2. \text{ এক গ্রাম অণু } {}^1\text{H}^{35}\text{Cl-এর ঘূর্ণন-শক্তি} = \Delta E = N h \nu$$

$$= 6.023 \times 10^{23} \times 10^{-34} \times 6.35 \times 10^4 \text{ J} = 253.456 \text{ J.}$$

অনুশীলনী—3

$$1. B = 3.175 \times 10^5 \text{ MHz; } 10.585 \text{ Cm}^{-1}$$

$$2. r_0 = 304 \text{ pm.}$$

অনুশীলনী—4

$$1. \Delta \nu = 6.35 \times 10^{11} \text{ Hz}$$

$$\Delta \bar{\nu} = \frac{\Delta \nu}{C} = \frac{6.35 \times 10^{11}}{3 \times 10^8} \text{ m}^{-1}$$

$$\Delta \bar{\nu} = 2.1167 \times 10^3 \text{ m}^{-1}$$

আবার, বর্ণালী রেখার ব্যবধান

$$2B = 2.1167 \times 10^3 \text{ m}^{-1}$$

$$B = 1.05835 = 1058.35 \text{ m}^{-1}.$$

$$\text{জড় ভ্রামক, } I = \frac{h}{8\pi^2 BC}$$

$$I = \frac{6.627 \times 10^{-34}}{8 \times (3.14)^2 \times 1058.35 \times 3 \times 10^8} \text{ kgm}^2$$

$$I = 2.646 \times 10^{-47} \text{ kg-m}^2$$

H^{35}Cl - অণুর বন্ধনী-দৈর্ঘ্য,

$$r_0 = \sqrt{I/\mu}$$

$$\mu = \frac{m_{\text{H}} m_{\text{Cl}}}{M_{\text{H}} + m_{\text{Cl}}}$$

$$= \frac{1 \times 35}{36} \times 1.67343 \times 10^{-27} \text{ kg.}$$

$$= 1.627 \times 10^{-27} \text{ kg.}$$

$$\text{অতএব, } r_0 = \sqrt{2 \cdot 646 \times 10^{-47} / 1.627 \times 10^{-27}} \text{ m}$$

$$= 1.28 \times 10^{-10} \text{ m}$$

$$= 128 \text{ pm.}$$

$$2 \text{ ঘূর্ণন শক্তি, } E = \frac{1}{2} I \omega^2$$

$$\omega = \sqrt{\frac{2E}{I}}$$

$$\text{স্ব. } \omega = \sqrt{2BhJ(J+1) \frac{h}{8\pi^2 B}}$$

$$\omega = 4\pi B \sqrt{J(J+1)}$$

$$\omega = 4 \times 3.14 \times 6500 \times 10^6 \times \sqrt{10 \times 11} \text{ S}^{-1}$$

$$\omega = 4 \times 3.14 \times 65 \times \sqrt{110} \times 10^8 \text{ S}^{-1}$$

$$\omega = 8.562 \times 10^{11} \text{ S}^{-1}$$

অনুশীলনী—5

1. সর্বোচ্চ ঘূর্ণন-সংখ্যা,

$$\theta_{\max} = \frac{1}{2x_c} - 1$$

$$= \frac{1}{2 \times 0.0172} - 1$$

$$= \frac{1}{0.0344} - 1$$

$$= 28.07 \cong 28.$$

বিয়োজন শক্তি,

$$\Sigma_v = \Sigma_v = \left(v + \frac{1}{2} \right) \hbar \omega_e - \left(v + \frac{1}{2} \right)^2 \hbar \omega_e x_e$$

$$\Sigma_v = 28.5 \times 2309.5 - (28.5)^2 \times 2309.5 \times 0.0172 \text{ Cm}^{-1}$$

$$\Sigma_v = 33555.42 \text{ Cm}^{-1}$$

$$\Sigma_v = 33555.42 \times 3 \times 10^{10} \times 6.023 \times 10^{23} \times 6.627 \times 10^{-34} \times 10^{-3} \text{ kJmol}^{-1}$$

$$\Sigma_v = 401.8 \text{ KJ mol}^{-1}$$

তাপ রসায়ন থেকে HI-এর বিয়োজন শক্তি 299 kJ mol^{-1} ।

অবলোহিত তরঙ্গ বর্ণালী থেকে প্রাপ্ত বিয়োজন শক্তির সঙ্গে তাপ রসায়ন থেকে প্রাপ্ত শক্তির ব্যবধানের কারণ—(১) কম্পন বর্ণালী থেকে কেবলমাত্র মৌল এবং প্রথম ও দ্বিতীয় গৌণ রেখা পাওয়া যায় এবং (২) সর্বোচ্চ

ঘূর্ণনসংখ্যায় $\Sigma_v = \left(v + \frac{1}{2} \right) \hbar \omega_e - \left(v + \frac{1}{2} \right)^2 \hbar \omega_e x_e$ সমীকরণটি প্রযোজ্য নয়।

প্রান্তিক প্রশ্নাবলি

- $\bar{\nu} = 3.3 \times 10^5 \text{ m}^{-1}$; $\Delta E = 6.56 \times 1.0^{-20} \text{ Jmoleac}^{-1}$; জনিত শক্তির পরিবর্তন হবে।
- $\bar{\nu} = 0.33 \text{ m}^{-1}$; ঘূর্ণনজনিত শক্তি স্তরের পরিবর্তনে সক্ষম নয়। এই তরঙ্গ শক্তি নিউক্লিও সৌম্বক অনুনাদ বা ইলেকট্রন স্পিন অনুনাদ শক্তি স্তরে পরিবর্তন সম্পন্ন করে।
- $\bar{\nu} = 3.3 \times 10^{11} \text{ m}^{-1}$ । এই তরঙ্গ সংখ্যা বিশিষ্ট আলোক শক্তি নিউক্লিও কণার পুন বিন্যাস সম্পন্ন করে।
- 276 nm তরঙ্গদৈর্ঘ্যের আলো অথবা তার চেয়ে কম তরঙ্গদৈর্ঘ্যের আলো।
- $\Delta E = 4.09 \text{ k Cal mol}^{-1}$
- (i) সত্য
(ii) সত্য
(iii) মিথ্যা
(iv) সত্য
(v) সত্য
(vi) সত্য
(vii) মিথ্যা
(viii) সত্য

(ix) মিথা

(x) মিথা

7. SF₆ – প্রতিসম গোলক

IF₅ – অপ্রতিসম

H₂S – অপ্রতিসম

PF₃ – গোলক

CO₂ – প্রতিসম

BF₃ – অপ্রতিসম

HCl – অপ্রতিসম

H₂O – অপ্রতিসম

NH₃ – গোলক

CHCl₃ – গোলক

8. সূত্র : $\text{lev শক্তি} \equiv 1.602177 \times 10^{-19} \tau \text{ molecule}^{-1}$

$$\gamma = 2.419 \times 10^{14} \text{ Hz}$$

$$l = 1.24 \times 10^{-6} \text{ m}$$

$$\bar{\nu} = 8.06 \times 10^5 \text{ m}^{-1}$$

অবলোহিত তরঙ্গের আলো। অণুর কম্পনজনিত বর্ণালী।

9. $l = 0.857 \text{ Cm.}$

10. $\gamma = 74.7 \times 10^9 \text{ Hz} = 74700 \text{ MHz.}$

11. $\bar{\nu} = 10.536 \text{ m}^{-1}$

$$\gamma = 3160.8 \text{ MHz.}$$

12. $\gamma = 8.88 \times 10^{10} \text{ S}^{-1}$

সম-অস্তর বিশিষ্ট রেখা পাওয়া যাবে।

13. $I = 26.074 \times 10^{-47} \text{ kg m}^2. \quad r_o = 406 \text{ pm}$

$$14. \text{ সূত্র : } B_{\text{H}^{35}\text{Cl}} = \frac{h}{8\pi^2 I_{\text{H}^{35}\text{Cl}} C}, \quad B_{\text{H}^{37}\text{Cl}} = \frac{h}{8\pi^2 I_{\text{H}^{37}\text{Cl}} C}$$

$$B_{D^{35}Cl} = \frac{h}{8\pi^2 I_{D^{35}Cl} C}$$

$$\frac{B_{H^{37}Cl}}{B_{H^{35}Cl}} = \frac{I_{H^{35}Cl}}{I_{H^{37}Cl}} = \frac{\mu_{H^{35}Cl}}{\mu_{H^{37}Cl}} = \frac{35 \cdot 38}{36 \cdot 37}$$

$$= 0.9985.$$

$$B_{H^{37}Cl} = 0.9985 \times B_{H^{35}Cl}$$

$$= 0.9985 \times 10.59 \text{ Cm}^{-1}$$

$$= 10.574 \text{ Cm}^{-1}$$

$$\frac{B_{D^{35}Cl}}{B_{H^{35}Cl}} = \frac{I_{D^{35}Cl}}{I_{H^{35}Cl}} = \frac{\mu_{D^{35}Cl}}{\mu_{H^{35}Cl}}$$

$$= \frac{70}{37} \times \frac{36}{35} = 1.9459$$

$$B_{D^{35}Cl} = 1.9459 \times 10.59 \text{ Cm}^{-1}$$

$$= 20.607 \text{ Cm}^{-1}.$$

$$15. \frac{n_1}{n_0} = e^{-BhcJ(J+1)/RT}$$

$$\frac{n_1}{n_0} = e^{-190 \times 6.627 \times 10^{-34} \times 3 \times 10^8 \times 2 / 1.38 \times 10^{-23} \times 300.}$$

$$\frac{n_1}{n_0} = e^{-0.1825} = 98.27$$

27°C উষ্ণতায় J = 1 ঘূর্ণন স্তরে অনুসংখ্যা 98.2%.

সর্বোচ্চ অনুসংখ্যা বিশিষ্ট ঘূর্ণন স্তর

$$J = \sqrt{\frac{2RT}{Bhc}} - \frac{1}{2}$$

$$J = \left(\frac{2 \times 1.38 \times 10^{-23} \times 300}{190 \times 6.627 \times 10^{-34} \times 3 \times 10^8} \right)^{1/2} - \frac{1}{2}$$

$$J = 14.$$

উত্তরমালা

16. H₂O — সক্রিয়

CO₂ — নিষ্ক্রিয়

COS — সক্রিয়

N₂O — সক্রিয়

NO — সক্রিয়

H₂S — সক্রিয়

SO₂ — সক্রিয়

HF — সক্রিয়

H₂ — নিষ্ক্রিয়

O₂ — নিষ্ক্রিয়।

17. 2886 Cm⁻¹ — মৌল কম্পন

5668 Cm⁻¹ — প্রথম গৌণ কম্পন

8347 Cm⁻¹ — দ্বিতীয় গৌণ কম্পন,

18. $\omega_e = 1904 \text{ Cm}^{-1}$

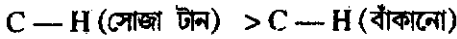
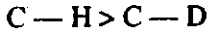
$$x_e = 0.00735$$

$$R = 1563.2 \text{ Nm}^{-1}$$

$$\Sigma_0 = 1.89 \times 10^{-20} \text{ } \tau \text{ molecub}^{-1}$$

19.	অণু	মোট	গতিজনিত	ঘূর্ণনজনিত	কম্পনজনিত
	HCl	6	3	2	1
	CO ₂	9	3	2	4
	H ₂ O	9	3	3	3
	NH ₃	12	3	3	6
	CH ₂	15	3	3	9

20. $C \equiv C > C = C$



21. (ii)

22. $R = 448 \cdot 3 \text{ Nm}^{-1}$

$\omega_e = 3010 \cdot 2 \text{ Cm}^{-1}$

23. $\omega_e = 319 \cdot 85 \text{ Cm}^{-1}$

$\Sigma_0 = 3 \cdot 17946 \times 10^{-21} \text{ J molecub}^{-1}$.

24. $v = 1$ স্তর উৎক্রমণের উত্তপ্ত ব্যান্ডের

অণুসংখ্যা $= e^{-\omega_e hc(1-4=0)/RT}$

$= 0 \cdot 36$.

25. $\Delta \Sigma_{v=0} = \left(\Sigma_{\text{HCl}} + \Sigma_{\text{D}_2, v=0} \right) - \left(\Sigma_{\text{DCI}} + \Sigma_{\text{HD}, v=0} \right)$

$= (35 \cdot 17 - 33 \cdot 62) \text{ kJ}$.

$= 1 \cdot 55 \text{ kJ}$.

$= 1 \cdot 55 \text{ kJ}$ পরিমাণ শক্তি নির্গত হবে।

26. বর্ণ-ওপেনহাইমারের আসন্নতা অনুযায়ী আন্তঃনিউক্লিও দূরত্ব অপরিবর্তিত থাকবে; অতএব, H₂, HD এবং D₂-র বল-ধ্রুবক অপরিবর্তিত থাকবে।

27. $\frac{\omega_{\text{DCI}}}{\omega_{\text{HCl}}} = \sqrt{\frac{\mu_{\text{HCl}}}{\mu_{\text{DCI}}}} = 0 \cdot 72$

$$\Sigma_{\text{O}_{\text{DCI}}} = 3990 \times 0.72 \text{ Cm}^{-1}$$

$$\Sigma_{\text{DCI}} = 2152.80 \text{ Cm}^{-1}$$

28. বর্ণ ওপেনহাইমারের আসন্নতা অনুযায়ী নিউক্লিও গতিকে ইলেকট্রন গতির তুলনায় নগন্য বলে উপেক্ষা করা হয়। এই কারণে, H_2 এবং HD-র নিউক্লিও পোটেনশিয়াল এনার্জী লেখচিত্র একই থাকে। ফলে, সাম্য নিউক্লিও দূরত্ব এবং বল-ধ্রুবক অপরিবর্তিত থাকে।

29. মৌল কম্পাঙ্ক (fundamental vibration frequency) অণুর সমানীত ভরের বর্গের সঙ্গে ব্যস্তানুপাতিক হওয়ায় H_2 এবং HD-এর মৌল কম্পাঙ্কের মান পৃথক হবে। $\omega = \frac{1}{2\pi c} \sqrt{K/\mu}$.

30. অণুর ঘূর্ণন ধ্রুবক সমানীত ভরের সঙ্গে সমানুপাতিক। অতএব, H_2 এবং HD-র ঘূর্ণন ধ্রুবক পৃথক হবে।

$$31. \frac{\omega_1}{\omega_2} \sqrt{\frac{\mu_2}{\mu_1}}$$

$$\omega_1 = 2114.5 \text{ Cm}^{-1}$$

32. H_2 এবং D_2 -র বিযোজন শক্তির, D_e মান সমান হবে, কারণ, দুটি ক্ষেত্রেই আন্তঃ নিউক্লিওস্থিতি শক্তির রেখ চিত্র এক।

H_2 এবং D_2 -র জাড্য ভ্রামক পৃথক হবে। কারণ, জাড্য ভ্রামক সমানীত ভরের সঙ্গে সমানুপাতিক।

33. H_2 এবং D_1 -র কম্পন স্তর একই হবে। কারণ, দুটি অণুর ক্ষেত্রে আন্তঃ নিউক্লিও দূরত্ব এক থাকবে (বর্ণ-ওপেনহাইমারের আসন্নতা অনুযায়ী)

34. দৈর্ঘ্য বাড়াতে হবে।

নীলের দিকে যাবে।

35. জলীয় দ্রবণে কিছুটা কম্পন প্রশমিত হয়। প্রতিপ্রভা বিকিরণ অনেক ক্ষেত্রে পাওয়া যায় না।

36. যেহেতু আলোক তরঙ্গ শোষণের পর কম্পন অনেকটা প্রশমিত হয়ে ইলেকট্রন নিম্নশক্তিস্তরে আসে, সেই কারণে বিকিরণ তরঙ্গ দৈর্ঘ্য শোষণ তরঙ্গ দৈর্ঘ্যের চেয়ে কম হবে।

37. অণুপ্রভা বিকিরণে আন্তঃস্তর অতিক্রমণ হয় বলে এই বিকিরণে প্রতিপ্রভা বিকিরণের চেয়ে বেশি সময় লাগে।

38. অপেক্ষাকৃত কম উষ্ণতায় কম্পন শক্তি প্রশমনে সহায়ক। এই কারণে অণুপ্রভা বিকিরণ সুবিধাজনক।

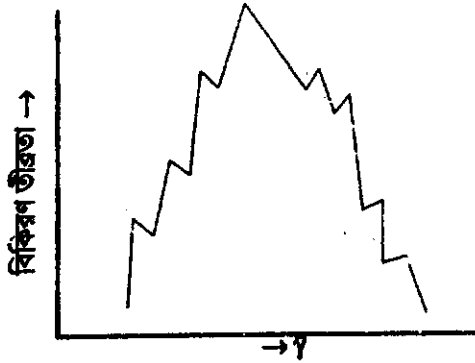
39. মূল পার্থ্য দেওয়া আছে।

40. 270 – 295 nm-এর দুর্বল শোষণ বর্ণালী $n \rightarrow \pi^*$

180 – 195 nm-এর তীব্র শোষণ বর্ণালী $\pi \rightarrow \pi^*$.

41. প্রতিপ্রভায় অতি বেগুনি থেকে দৃশ্যমান আলোক তরঙ্গ বিকিরিত হয় বলে বর্ণালী বিশ্লেষণ সহজে করা যায়।

42.



89. অতিরিক্ত সাহায্যকারী পুস্তক সমূহ

(১) Fundamentals of molecular spectroscopy

—C. N. Banwell - Tata Megraw Hill Publishing company Limited.

(২) Quantum chemistry – Donald A. McQuamrie

—Viva Books Private limited.

একক 9 □ রামন বর্ণালী ও পদার্থের গঠন

গঠন

9. 1. প্রস্তাবনা ও উদ্দেশ্য
- 9.2 রামন বর্ণালী ও কোয়ান্টাম তত্ত্ব
- 9.3 রামন বর্ণালীর শর্তাবলী
- 9.4 বিশুদ্ধ রামন বর্ণালী : স্টোকস্ এবং অ্যান্টি স্টোকস লাইন। P এক R শাখা
- 9.5 কম্পনজনিত রামন বর্ণালী—ধ্রুবীয়তা পরিবর্তন এবং অণুর গঠন প্রকৃতি
- 9.5.1 প্রতিসম লাট্জের ন্যায় অণুর ক্ষেত্র
- 9.5.2 অপ্রতিসম অণুর ক্ষেত্র
- 9.5.3 কম্পনজনিত রামন বর্ণালী
- 9.6 পারস্পরিক অপবর্তনের সূত্র
- 9.7 কম্পনজনিত রামন বর্ণালী এবং মৌল ও গৌণ কম্পন
- 7.8 রামন বর্ণালীর থেকে পদার্থের গঠন
- 9.9 রামন বর্ণালীর বৈশিষ্ট্য
- 9.10 সারাংশ
- 9.11 প্রান্তিক প্রশ্নাবলি
- 9.12 উত্তরমালা
- 9.13 অতিরিক্ত সাহায্যকারী পুস্তকসমূহ

9.1 প্রস্তাবনা :

ভূমিকা : শোষণ বর্ণালীর সঙ্গে রমন বর্ণালীর প্রার্থক্য হল শেষোক্ত প্রক্রিয়ায় বিক্ষেপনের মাধ্যমে বর্ণালী পাওয়া যায়। বিক্ষেপনের ফলে সমস্ত অণুর ক্ষেত্রেই রমন বর্ণালী লক্ষ্য করা যায়। শোষণ বর্ণালীর ঘূর্ণন বা কম্পনজনিত বর্ণালীর আবশ্যিক শর্ত ছিল অণুগুলি স্থায়ী জাড্যভ্রামক হতে হবে। অণুর ঘূর্ণন বা কম্পনজনিত কারণে বিক্ষিপ্ত বিকিরণের চেয়ে কম বা বেশি পরিমাণ বিকিরণ হয়। বিক্ষিপ্ত বিকিরণের কম্পাঙ্কের চেয়ে কম কম্পাঙ্কের বিক্ষেপন হলে তাকে অ্যান্টি-স্টোকস্ বিকিরণ বলে। আর বেশি বিকিরণ হলে স্টোকস্ বিকিরণ বলে। সমান কম্পাঙ্কের বিকিরণ হলে তবে র্যালি বিক্ষেপন বলে (Rayleigh Scathing)। রামন বর্ণালীর সাহায্যে অণু-পরমাণুর গঠন বৈশিষ্ট্য জানা যায়। যে সমস্ত অণুর গঠন-প্রকৃতি অবলোহিত বর্ণালীর দ্বারা জানা যায় না, সেই সমস্ত অণুর গঠন রামন বর্ণালীর সাহায্যে নির্ণয় করা সম্ভব। রামন বর্ণালীর ব্যাপক প্রয়োগের জন্য এই বর্ণালীর আবিষ্কার্তা সি. ভি. রামন পদার্থবিদ্যার নোবেল পুরস্কার পান, 1933 সালে।

উদ্দেশ্য :

এই এককটি পাঠ করে আপনারা জানতে ও বুঝতে পারবেন।

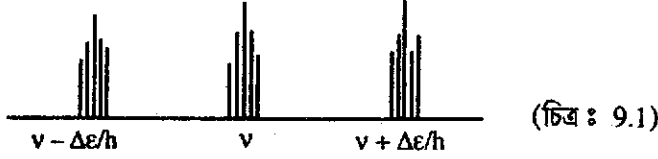
- রামন বর্ণালী কী ও কেন?
- রামন বর্ণালী ও কোয়াণ্টাম তত্ত্ব।
- রামন বর্ণালীর শর্তাবলী ও বিভিন্ন ধরনের রামন বর্ণালী।
- রামন বর্ণালীর বৈশিষ্ট্য ও তা থেকে পদার্থের গঠন সম্বন্ধে কী ধারণা পাওয়া যায়।

9.2 রামন বর্ণালী ও কোয়াণ্টাম তত্ত্ব

যখন কোন স্বচ্ছ পদার্থের মধ্য দিয়ে একগুচ্ছ আলো পাঠানো হয়, তখন স্বল্প পরিমাণ আলোর বিক্ষেপন ঘটে। এই বিক্ষেপনের ফলে আপতিত বিকিরনের সমান কম্পাঙ্কের আলো বিকিরিত হলে র্যালি বিক্ষেপন বলে। আবার, এই বিক্ষেপনের ফলে আপতিত বিকিরণের কম্পাঙ্কের চেয়ে কম বা বেশি কম্পাঙ্কের আলো বিক্ষেপন করলে রামন বিক্ষেপন বলে।

রামন বিক্ষেপন সহজেই কোয়াণ্টাম তত্ত্বের সাহায্যে ব্যাখ্যা করা যায়। ধরা যাক, ν কম্পাঙ্কের আলোর ফোটন কণার পদার্থের অণুর সঙ্গে সংঘর্ষ হলে যদি একই কম্পাঙ্কের আলো বিক্ষেপন করে তাহলে তাকে র্যালি বিক্ষেপন বলে। আবার, ফোটন কণা পদার্থের সঙ্গে সংঘর্ষে স্লিপ্ত হয়ে কিছু পরিমাণ শক্তি বিনষ্ট হতে পারে, অথবা শক্তি বৃদ্ধি হতে পারে। অস্থিতিস্থাপক সংঘর্ষের ফলে শক্তি হ্রাস অথবা বৃদ্ধি পায়। শক্তি হ্রাস পেলে বিক্ষেপন কে স্টোকস্ বিকিরণ (Stoke's radiation) বলে। আর, শক্তি বৃদ্ধি পেলে বিক্ষেপনকে অ্যান্টি-স্টোকস্ বিকিরণ বলে (anti-stoke's radiation)।

ν যদি ফোটন কণার কম্পাঙ্ক হয়, তাহলে র‍্যালে বিক্ষেপনে বিকিরিত শক্তি $h\nu$ । যদি ফোটন কণার সঙ্গে পদার্থের অণুর অস্থিতিস্থাপক সংঘর্ষের ফলে শক্তি হ্রাস বা বৃদ্ধি পায় তাহলে, $h\nu - \Delta\varepsilon$ হ'ল স্টোকস বিকিরণ, $h\nu + \Delta\varepsilon$ হ'ল এন্টি স্টোকস বিকিরণ।



অতএব, রামন বিক্ষেপনের ফলে বিকিরণ কম্পাঙ্ক। $\nu' = \nu \pm \Delta\varepsilon / h$

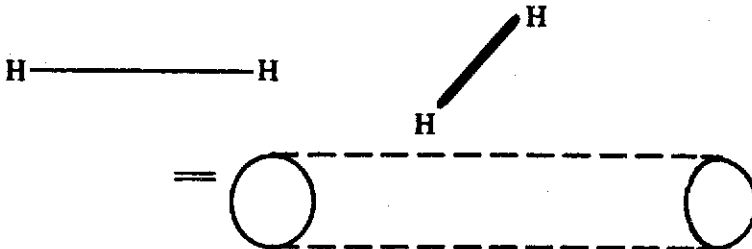
9.3 রামন বর্ণালীর শর্তাবলী :

পদার্থের অণু রামন বর্ণালী সক্রিয় হবে কিনা তা নির্ভর করবে নিম্নলিখিত শর্তের উপর :

(১) পদার্থের ঘূর্ণন অথবা কম্পনে দ্রুতগতির পরিবর্তন হতে হবে। এই পরিবর্তন পরিমাণে বা দিকনির্দেশে হতে পারে।

(২) ঘূর্ণন কোয়ান্টাম সংখ্যার এবং কম্পন কোয়ান্টাম সংখ্যার পরিবর্তন নির্বাচন সূত্র অনুযায়ী ± 1 না হলেও চলবে। রামন বর্ণালীর নির্বাচন সূত্র $\Delta J = \pm 1, \pm 2, \dots$ এবং $\Delta v = \pm 1, \pm 2, \dots$ হলেও অণু রামন সক্রিয় হবে।

ঘূর্ণন এবং কম্পন বর্ণালীতে পদার্থের অণুর দ্বি-মেরু ভ্রামক থাকতে হবে। কিন্তু, রামন সক্রিয় হতে গেলে পদার্থের অণুর দ্রুতকশীল-এর পরিবর্তন আবশ্যিক। এই কারণে প্রায় সমস্ত অণুই রামন সক্রিয়। যেমন হাইড্রোজেন অণু অণু-তরঙ্গ এবং অবলোহিত তরঙ্গ সক্রিয় নয়। কিন্তু, হাইড্রোজেন অণু রামন সক্রিয়। হাইড্রোজেন অণুর দ্রুতগতি উপবৃত্তের আয়তন দ্বারা ব্যাখ্যা করা যায়।



(চিত্র : 9.2)

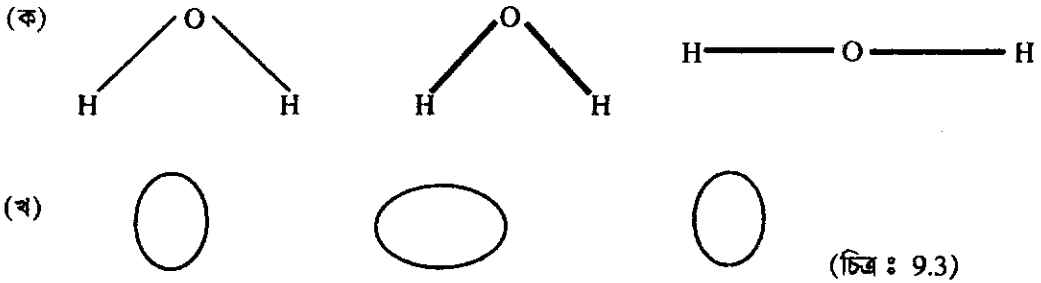
চিত্র থেকে এটা স্পষ্ট যে অক্ষ পরিবর্তিত হওয়ায় হাইড্রোজেন অণুর ধ্রুবীয়তা পরিবর্তিত হয়েছে। এই পরিবর্তন উপবৃত্তের আয়তনে পরিবর্তন সাধন করে।

যে কোন অণু স্থির তড়িতে ধ্রুবীয় হয়। এই আবিষ্ট ধ্রুবীয়তা দ্বিমেরু ভ্রামকের সঙ্গে যে সমীকরণ দ্বারা সম্পর্কিত তা হ'ল।

$$\mu = \alpha I$$

একক আন্তঃ নিউক্লীয় দূরত্বে দ্বি-মেরু ভ্রামক অণুর ধ্রুবীয়তার সমান। পদার্থের অণুর ইলেকট্রন যে উপবৃত্তের সৃষ্টি করে সেই উপবৃত্ত বা বৃত্তের আয়তন ধ্রুবীয়তার বর্গমূলের সঙ্গে ব্যাস্তানুপাতিক। $v \propto \frac{1}{\sqrt{\alpha}}$

আন্তঃ নিউক্লীয় দূরত্ব যত কম হয়, ধ্রুবীয়তা তত কমে এবং উপবৃত্তের আয়তন তত বৃদ্ধি পায়। তিনটি অক্ষে জলের অণুর ধ্রুবংশীল উপবৃত্ত নিচে চিত্রের সাহায্যে দেখানো হয়েছে—



এই চিত্র থেকে তিনটি অক্ষেই জলের অণুর ধ্রুবীয়তা বোঝা যায়।

9.4 বিশুদ্ধ রামন বর্ণালী স্টোক্স এবং অ্যান্টি স্টোক্স লাইন P এবং R শাখা

রৈখিক অণুর ক্ষেত্রে : আগেই আপনারা দেখেছেন যে, পদার্থের অণুর ঘূর্ণন শক্তিস্তর,

$$\epsilon_j = BJ(J+1) - DJ_2(J+2)^2 \text{ cm}^{-1}$$

বিশুদ্ধ রামন ঘূর্ণন বর্ণালীতে কেন্দ্রাতিগ বিকৃত ধ্রুবক (centrifugal distortion constant)-কে উপেক্ষা করা যায়, তাহলে :

$$\epsilon_j = BJ(J+1) \text{ cm}^{-1}.$$

এই উৎক্রমণের নির্বাচনী সূত্র : $\Delta J = 0, \pm 2, 1.$

অর্থাৎ, $\Delta \epsilon_j = B(J+2)(J+3) - BJ(J+1)$

$$\Delta \epsilon_j = B(4J+6) \text{ cm}^{-1} \dots \dots \dots 9.1$$

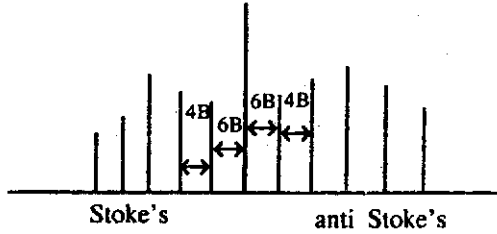
যেখানে $J = 0, 1, 2, \dots$

যখন $J = 0 \rightarrow 2, \Delta E_j = 6B \text{ cm}^{-1} \dots\dots\dots 9.2$

$J = 1 \rightarrow 3, \Delta E_j = 10B \text{ cm}^{-1} \dots\dots\dots 9.3$

$J = 2 \rightarrow 4, \Delta E_j = 14B \text{ cm}^{-1} \dots\dots\dots 9.4$

যদি ফোটন কণার সংঘর্ষের ফলে ঘূর্ণন শক্তি বৃদ্ধি পায় তাহলে নিম্নতরঙ্গ সংখ্যায় S-শাখার রেখা পাওয়া যায়। এদের স্টোকস রেখা (Stoke's line) বলে। আবার, যদি ফোটন কণার সংঘর্ষের ফলে ঘূর্ণন শক্তি হ্রাস পায় তাহলে উচ্চ তরঙ্গ সংখ্যার রেখা মূল রেখার ডানদিকে S-শাখার রেখা পাওয়া যায়। এদের অ্যান্টি-স্টোকস রেখা (anti-stokes line) বলে।



চিত্র : S শাখা 9.4

9.5 কম্পনজনিত রামন বর্ণালী—ধ্রুবীয়তার পরিবর্তন এবং অণুর গঠন প্রকৃতি :

9.5.1 প্রতিসম লাট্রুর ন্যায় অণুর ক্ষেত্রে :

মূল অক্ষের চতুর্দিকে ঘূর্ণনের ফলে ধ্রুবণশীলতা অপরিবর্তিত থাকে, কিন্তু প্রান্ত-প্রতিপ্রান্ত (end-one-end) ঘূর্ণনে ধ্রুবণশীলতা পরিবর্তিত হয়।

R-শাখার রেখা পাওয়া যায় $\Delta J = \pm 1$ উৎক্রমণে বা অধক্রমণে : $\Delta E_R = 2B(J+1) \dots\dots\dots 9.5$

S-শাখার রেখা পাওয়া যায় $\Delta S = \pm 2$ উৎক্রমণে বা অধক্রমণে : $\Delta E_S = 2B(2J+3)$

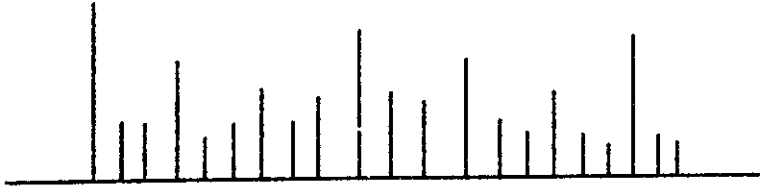
রামন বর্ণালীতে দু'ধরনের রেখা পাওয়া যায় :

R-শাখায়, $\bar{\nu}_R = \bar{\nu}_{ex} + \Delta E_R \dots\dots\dots 9.6$

$\bar{\nu}_R = \bar{\nu}_{ex} \pm 2B(J+1) \dots\dots\dots 9.7$

S-শাখায় : $v_S = v_{ex} \pm \Delta E_S \dots\dots\dots 9.8$

$v_S = v_{ex} \pm 2B(25 + 3) \dots\dots\dots 9.8$



চিত্র : 9.5

R-এক S-শাখা

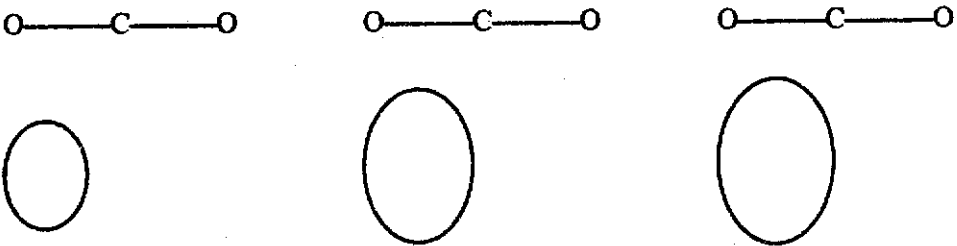
9.5.2 অপ্রতিসম অণুর ক্ষেত্রে :

অপ্রতিসম অণুর সমস্ত ঘূর্ণনের ক্ষেত্রেই অণু ধ্রুবনশীল। অতএব, মূল অক্ষে, প্রান্ত-প্রতিপ্রান্ত ঘূর্ণনে অণুর ধ্রুবনশীলতার পরিবর্তন দেখা যায়।

9.5.2 কম্পনজনিত রামন বর্ণালী :

বেশির ভাগ কম্পনে রামন সক্রিয়তা বেশিরভাগ অণুর মধ্যেই দেখা যায়। যে সমস্ত পদার্থের অণু কম্পন রামন সক্রিয়তা প্রদর্শন করে, সেই সমস্ত রৈখিক অণু অবলোহিত তরঙ্গ কম্পনে সক্রিয়তা থাকবে না। ধরা যাক, কার্বন ডাই-অক্সাইড অণুর কম্পন নিম্নরূপ।

প্রতিসম টান কম্পন v_1 .

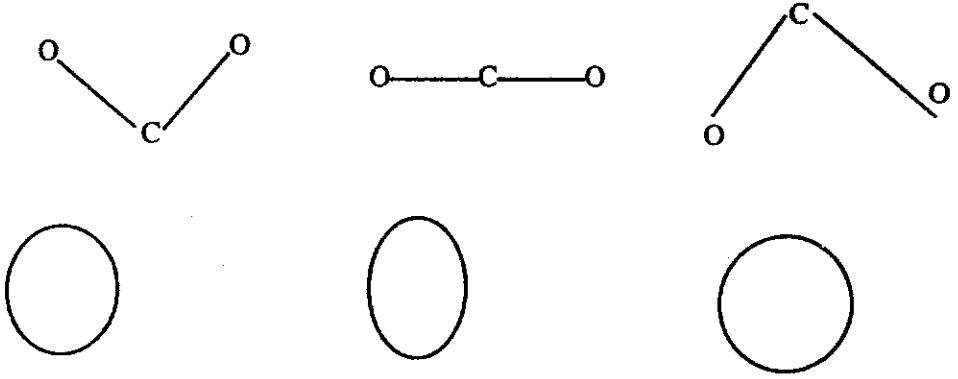


চিত্র : 9.6

প্রতিসম টান কম্পনে পদার্থের অণুর ধ্রুবনশীলতার ক্রমবর্ধমান।

বাকানো অণু : নিচে চিত্রের সাহায্যে বাকানো অণু (Bending mode) দেখানো হয়েছে—

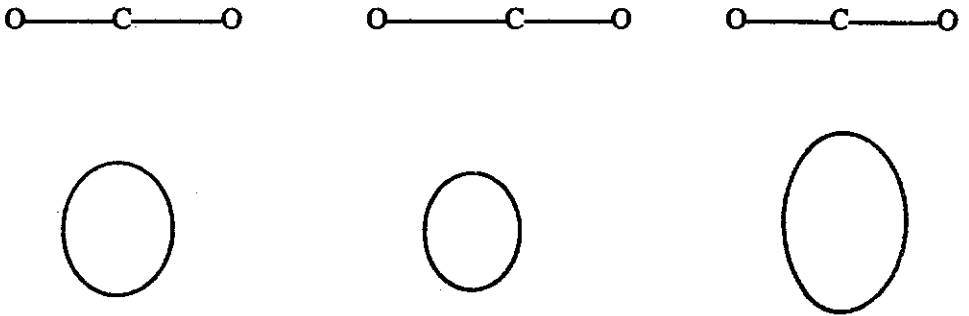
বাঁকানো অণু, v_2



চিত্র : 9.7

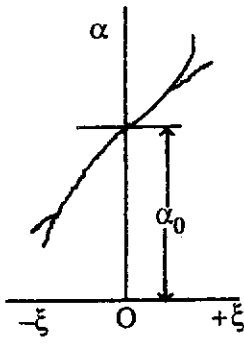
অপ্রতিসম টান, v_3

চিত্রের সাহায্যে অপ্রতিসম টান (assymetric stretching) দেখানো হয়েছে—

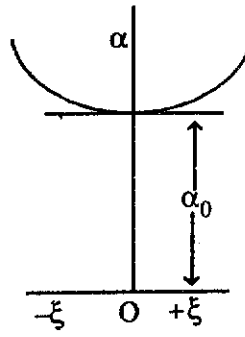


চিত্র : 9.8

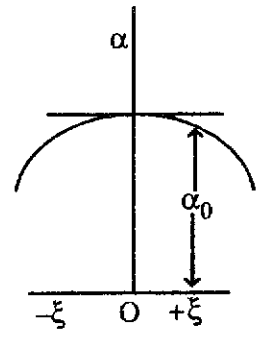
চিত্র 9.6 থেকে দেখা যাচ্ছে প্রতিসম টানে ধ্রুবনশীল উপবৃত্তের আয়তন ক্রমবর্ধমান। আবার, বাঁকা অণুর ক্ষেত্রে (চিত্র 9.7 দ্রষ্টব্য) ধ্রুবনশীল উপবৃত্তের আয়তন সর্বনিম্ন অবস্থানের মধ্য দিয়ে গেছে। অপ্রতিসমটান অণুর ক্ষেত্রে ধ্রুবনশীল উপবৃত্তের আয়তন সর্বোচ্চমাত্রা অর্জন করেছে। অতএব, v_2 এবং v_3 কম্পাঙ্ক বিশিষ্ট অণুর ধ্রুবনশীলতার পরিবর্তন শূন্য হবে, যেহেতু এই দুটি ক্ষেত্রে ধ্রুবীয়তা সর্বনিম্ন এবং সর্বোচ্চ মাত্রা অর্জন করে।



চিত্র : 9.9



চিত্র : 9.10



চিত্র : 9.11

v_1 -কম্পাঙ্ক বিশিষ্ট প্রতিসম টান কম্পনে $(d\alpha/d\xi) \neq 0$ ।

অতএব, এই বিশেষ কম্পনে কার্বন ডাই-অক্সাইড অণু রামন সক্রিয় হবে।

v_2 এবং v_3 কম্পাঙ্ক বিশিষ্ট বাঁকা অণুর এবং অপ্রতিসম টান কম্পনের ক্ষেত্রে ধ্রুবতা সর্বনিম্ন এবং সর্বোচ্চ মাত্রা অর্জন করে। যার ফলে, $d\alpha/d\xi = 0$ । অর্থাৎ, ধ্রুবীয়তা সর্বোচ্চ এবং সর্বনিম্ন মাত্রায় অপরিবর্তিত থাকে। বাঁকা অণুর কম্পনে এবং অপ্রতিসম টান কম্পনে পদার্থের অণু রামন সক্রিয় থাকে না।

9.6 পারস্পরিক অপবর্জনের সূত্র (Rule of mutual exclusion) :

পারস্পরিক অপবর্জনের সূত্র অনুযায়ী যে সমস্ত পদার্থের অণুর প্রতিসম কেন্দ্রে বর্তমান তাদের যে কম্পন রামন সক্রিয়, সেই সমস্ত কম্পন অবলোহিত তরঙ্গ সক্রিয়, সেই সমস্ত কম্পন রামন সক্রিয় নয়। আবার যে কম্পন অবলোহিত তরঙ্গ সক্রিয় সেই সমস্ত কম্পন রামন সক্রিয় নয়। যদি অণুর কোন প্রতিসম কেন্দ্রে না থাকে তা হলে কতকগুলি কম্পন একই সাথে রামন এবং অবলোহিত তরঙ্গ সক্রিয় হতে পারে।

সারণি-1

কার্বন ডাই-অক্সাইডের বিভিন্ন কম্পনে রামন এবং অবলোহিত তরঙ্গ সক্রিয়তা

	কম্পাঙ্ক	রামন সক্রিয়	অবলোহিত তরঙ্গ সক্রিয়
প্রতিসমটান	v_1	হ্যাঁ	না
বাঁকাটান	v_2	না	হ্যাঁ
অপ্রতিসম টান	v_3	না	হ্যাঁ

নাইট্রাস অক্সাইডের অণুর কোন প্রতিসম কেন্দ্র নেই। এই অণু একইসাথে রমন এবং অবলোহিত তরঙ্গ সক্রিয়।

সারণি-2

নাইট্রাস অক্সাইডের বিভিন্ন কম্পনে রমন এবং অবলোহিত তরঙ্গ সক্রিয়তা

	কম্পাঙ্ক	রমন সক্রিয়	অবলোহিত তরঙ্গ সক্রিয়
প্রতিসমটান	ν_1	হ্যাঁ	হ্যাঁ
রাঁকটান	ν_2	হ্যাঁ	হ্যাঁ
অপ্রতিসম টান	ν_3	হ্যাঁ	হ্যাঁ

পারস্পরিক অপবর্জনের সূত্র অনুযায়ী কোন পদার্থের অণুর প্রতিসম কেন্দ্র আছে কিনা তা জানা যায়। এই সূত্র অনুযায়ী, CO_2 অণুর প্রতিসম কেন্দ্র আছে, কিন্তু N_2O অণুর প্রতিসম কেন্দ্র নেই। অর্থাৎ, CO_2 -র গঠন $\text{O}=\text{C}=\text{O}$ । কিন্তু N_2O -র গঠন $\text{O}=\text{N}=\text{N}$ ।

9.7 কম্পনজনিত রামন বর্ণালী এবং মৌল 3 গৌণ কম্পন :

$$\text{কম্পনজনিত রামন বর্ণালীর শক্তি, } \epsilon = \omega_e \left(\nu + \frac{1}{2} \right) - \omega_e x_e \left(\nu + \frac{1}{2} \right)^2 \text{ cm}^{-1}$$

যেখানে, ω_e # হল সাম্য কম্পাঙ্ক, ν হল কম্পাঙ্ক কোয়ান্টাম সংখ্যা এবং x_e হ'ল অসমাপ্তস্য ধ্রুবক। উৎক্রমণের নির্বাচনী সূত্র, $\Delta \nu = 0, \pm 1, \pm 2, \dots$

$$\nu = 0 \rightarrow \nu = 1, \Delta \epsilon = \omega_e (1 - 2x_e) \text{ cm}^{-1} \dots \dots \dots 9.9$$

$$\nu = 0 \rightarrow \nu = 2, \Delta \epsilon = 2\omega_e (1 - 3x_e) \text{ cm}^{-1} \dots \dots \dots 9.10$$

$$\nu = 0 \rightarrow \nu = 2, \Delta \epsilon = 2\omega_e (1 - 4x_e) \text{ cm}^{-1} \dots \dots \dots 9.11$$

$\nu = 0$ থেকে $\nu = 1$ উৎক্রমণকে মৌল ব্যান্ড (fundamental band) বলে। মৌলব্যান্ডের শক্তি তরঙ্গসংখ্যার, $\omega_e (1 - 2x_e) \text{ cm}^{-1}$ ।

$\nu = 0$ থেকে $\nu = 2$ উৎক্রমণকে প্রথম ওভারটোন (First overtone) বলে। প্রথম ওভারটোনের শক্তি তরঙ্গ সংখ্যার, $2\omega_e (1 - 3x_e) \text{ cm}^{-1}$ ।

আবার, $\theta = 1$ থেকে $\nu = 2$ উৎক্রমণকে উত্তপ্ত ব্যাণ্ড বা hot band বলা হয়। উত্তপ্ত ব্যাণ্ডের শক্তি তরঙ্গ সংখ্যার, $\omega_e (1 - 4x_e) \text{ cm}^{-1}$ ।

কম্পনজনিত রামন বর্ণালীর কম্পাঙ্ক তরঙ্গ সংখ্যার প্রকাশ করলে পাওয়া যায় :

$$\nu_{\text{fundamental}} = \nu_{\text{ex}} \pm \Delta \epsilon_{\text{fundamental}} \dots \dots \dots 9.12$$

স্টোকস লাইনের কম্পাঙ্ক তরঙ্গসংখ্যা— $v_{\text{fundamental}} = v_{\text{ex}} - \Delta\varepsilon_{\text{fundamental}} \dots \dots 9.13$

স্টোকস লাইনের তীব্র ব্যাণ্ডগুলি মৌল ব্যাণ্ডের বাঁ দিকে পাওয়া যায়।

অ্যান্টি স্টোকস লাইনের কম্পাঙ্ক তরঙ্গসংখ্যা— $v_{\text{fund}} = v_{\text{ex}} + \Delta\varepsilon_{\text{fund}} \dots \dots 9.14$

অ্যান্টি-স্টোকস লাইনের ব্যাণ্ডগুলি অপেক্ষাকৃত দুর্বল।

কোন পদার্থের অণুর কম্পনজনিত রমন বর্ণালীতে নিম্ন কম্পাঙ্কে কতকগুলি তীব্র রেখা পাওয়া যায়; অথচ উচ্চ কম্পাঙ্কে কতকগুলি দুর্বল রেখা পাওয়া যায়।

9.8 রামন বর্ণালী থেকে পদার্থের গঠন নির্ণয় :

এ পর্যন্ত রামন বর্ণালী সম্পর্কে যে আলোচনা করা হয়েছে, তাতে দেখা গেছে যে ঘূর্ণন এবং কম্পনজনিত রামন বর্ণালীর সাহায্যে প্রায় সমস্ত পদার্থের অণুর বর্ণালী বৈশিষ্ট্য লক্ষ্য করা যায়। দ্বি-পারমাণবিক অণুর মত প্রতিসম অণুর ক্ষেত্রেও রামন বর্ণালীর বৈশিষ্ট্য লক্ষ্য করা যায়।

আমরা পদার্থের অণুর গঠন নির্ণয়ের আলোচনা AB_2 -অণুর মধ্যেই সীমাবদ্ধ রাখব। AB_2 -অণুর ক্ষেত্রে রৈখিক অণু দু'ধরনের হ'তে পারে—

(১) অণুর প্রতিসম কেন্দ্র বর্তমান, $B-A-B$;

(২) অণুটি অপ্রতিসম, $A-B-B$

(১) অণুর প্রতিসম কেন্দ্র বর্তমান থাকলে, প্রতিসম টান কম্পনে রমন সক্রিয় অবলোহিত আলোক সক্রিয়। যদি অণুটি প্রতিমক টান কম্পনে রামন সক্রিয় হয় এবং অপ্রতিসম টান ও বাঁকা টানে অবলোহিত আলোকে সক্রিয় ও রামন নিষ্ক্রিয় হয়, তাহ'লে অণুটির গঠন প্রকৃতি হবে রৈখিক প্রতিসম কেন্দ্র বিশিষ্ট। যেমন, কার্বন ডাই-অক্সাইডের অণু রৈখিক প্রতিসম কেন্দ্র-বিশিষ্ট। অতএব, কার্বন ডাই-অক্সাইডের গঠন বৈশিষ্ট্য হল :



নাইট্রাস অক্সাইডের সবকটি কম্পন বৈশিষ্ট্যই রমন সক্রিয় এবং অবলোহিত আলোক তরঙ্গ সক্রিয়। প্রতিসম কেন্দ্র থাকলে এরকম হত না। অতএব, নাইট্রাস অক্সাইডের গঠন :



রৈখিক ত্রি-পারমাণবিক অণুর $(3N-5)$ বা 4টি মৌল কম্পন বর্তমান। এর মধ্যে দুটি degenerati বা সমশক্তি সম্পন্ন পরত বিশিষ্ট। অতএব, তিনটি মৌল কম্পন বিশিষ্ট অণু।

যে সমস্ত অণু রামন সক্রিয় অবলোহিত আলোক সক্রিয়, সেই সমস্ত অণুর অপ্রতিসম না হ'লে কৌণিক হবে। SO_2 -র অণু যে সমস্ত তরঙ্গ সংখ্যায় তীব্র ব্যাণ্ড তৈরি করে সেগুলি নিচের সারণিতে দেওয়া হল :

সারণি-3

SO₂ অণুর অবলোহিত আলোক ব্যাণ্ড এবং রমন ব্যাণ্ড

তরঙ্গ সংখ্যা cm ⁻¹	অবলোহিত আলোক	রমন
519	II ব্যাণ্ড	ধ্রুবীয়
1151	II ব্যাণ্ড	ধ্রুবীয়
1361	I ব্যাণ্ড	অধ্রুবীয়

অপ্রতিসম অণুর ক্ষেত্রে তিনটি মৌল কম্পনে অবলোহিত আলোক এবং রামন বর্ণালীতে তীব্র ব্যাণ্ড প্রদর্শন করে। তালিকা থেকে বোঝা যায়, PR ব্যাণ্ড যথেষ্ট তীব্র।

সারণি-4

N₂O-র অবলোহিত এবং রামন বর্ণালী

v (cm ⁻¹)	অবলোহিত	রমন
589	তীব্র : PQR চিত্র	-
1285	তীব্র : PR চিত্র	অতি তীব্র; ধ্রুবীয়
1224	তীব্র : PR চিত্র	তীব্র; অধ্রুবীয়

9.9 রামন বর্ণালীর বৈশিষ্ট্য :

রামন বর্ণালীতে পদার্থটি কঠিন, তরল বা গ্যাসীয় হতে পারে। রামন বর্ণালীতে যে কোন কম্পাঙ্কের আলো ব্যবহার করা যায়, কিন্তু শোষণ বর্ণালীতে দুটি ইলেকট্রন শক্তি স্তরের ব্যবধান অনুযায়ী আলো লাগবে। রামন বর্ণালীর রেখা দুর্বল। কারণ, বিক্ষেপন বিকিরণের শতকরা 1 ভাগের রামন বর্ণালী লক্ষ্য করা যায়। যেহেতু, রামন-রেখা দুর্বল সেইজন্য আপতিত বিকিরণ তীব্র হওয়া প্রয়োজন। এই কারণে লেসার রশ্মি ব্যবহার করা হয়।

কার্বন ডাই-অক্সাইড অণুর প্রতিসম টান কম্পন রামন সক্রিয়, কিন্তু প্রতিসম টান কম্পন অবলোহিত আলোক তরঙ্গ সক্রিয় নয়।

রৈখিক অণুসমূহ বিষমদৈশিক ধ্রুবণশীলতার (anisotropic polarisability) জন্য রামন সক্রিয়। এই সমস্ত অণু-তরঙ্গ আলোকে সক্রিয় নয়। রামন বর্ণালীর সাহায্যে এই সমস্ত অণুর বর্ণালী বিশ্লেষণ সম্ভব। অসম-নিউক্লীস

(heteronucluer) এবং সক্রিয়। কিন্তু গোলকাকার অণুসমূহ যেমন, CH₄, SF₆ প্রভৃতি রামন সক্রিয় নয়। এর ফলে, অসংখ্য অণুর বর্ণালী বিশ্লেষণ করে তাদের গঠন প্রকৃতি, বন্ধন-দৈর্ঘ্য, গ্রুপ সমূহ নির্ণয় করা সম্ভব।

ঘূর্ণনজনিত রামন নির্বাচনী সূত্র : $\Delta J = 0, \pm 2$

$\Delta J = 0$, র্যালি বিক্ষেপন (Rayleigh scattering)

$\Delta J = \pm 2$, রামন বিক্ষেপন (Raman scattering)

$\Delta J = \pm 2$, উৎক্রমণে শক্তির পরিবর্তন :

$$\Delta \epsilon = \bar{\nu} - 2B(2J + 3) \text{ cm}^{-1} \dots\dots\dots 9.15$$

J = 0 থেকে J = 2 উৎক্রমণে।

$$\Delta \epsilon = \bar{\nu} - 6B \text{ cm}^{-1} \dots\dots\dots 9.16$$

J = 1 থেকে J = B উৎক্রমণে,

$$\Delta \epsilon = \bar{\nu} - 10B \text{ cm}^{-1} \dots\dots\dots 9.17$$

এই বিকরণসমূহে রেখাস্তর $4B \text{ cm}^{-1}$ । B-এর মান জ্যাড্যামকের মান নির্ণয় করা যায়। জ্যাড্যামকের মান থেকে বন্ধনী-দৈর্ঘ্য গণনা করা যায়।

উপরে বর্ণিত সমীকরণসমূহের (8-39 (1), 8-39 (2) এবং 8-39 (3)) বিকরণকে স্টোকস্ বিকরণ (Stoke's)।

$\Delta J = -2$ উৎক্রমণে শক্তির পরিবর্তন cm^{-1} -এ, $\Delta \epsilon = \nu + 2B(2J - 1)$

J = 2, 3, 4,.....এক J = 2

সর্বনিম্নস্তর কারণ, J = 2 থেকে J = 0-তে অধক্রমণ হবে।

যখন, J = 2, $\Delta \epsilon = \nu + 6B \text{ cm}^{-1} \dots\dots\dots 9.18$

J = 3, $\Delta \epsilon = \nu + 10B \text{ cm}^{-1} \dots\dots\dots 9.19$

J = 4 $\Delta \epsilon = \nu + 14B \text{ cm}^{-1} \dots\dots\dots 9.20$

এই বিকরণকে অ্যান্টি-স্টোকস্ বিকরণ (anti-Stoke's radiation) বলে।

অবলোহিত বর্ণালীর মতই গ্যাসের ক্ষেত্রে রামন বর্ণালী লক্ষ্য করা যায়। কিন্তু তরল বা কঠিনের ক্ষেত্রে রামন বর্ণালীতে ঘূর্ণন বর্ণালী পাওয়া যায় না।

100 cm^{-1} তরঙ্গ সংখ্যার নিচে অবলোহিত বর্ণালী পাওয়া যায় না। কিন্তু 10 cm^{-1} থেকে 100 cm^{-1} তরঙ্গসংখ্যায় রামন বর্ণালী পাওয়া যায় বলে এই বর্ণালী ব্যাপকভাবে প্রচলিত।

জলীয় দ্রবণে ক্ষীণ রামন বর্ণালী ($300-300 \text{ cm}^{-1}$) কিন্তু তীব্র অবলোহিত বর্ণালী পাওয়া যায় বলে জলীয় দ্রবণে রামন বর্ণালী দেখা হয়। 170 cm^{-1} -এ মার্কেরী (I) নাইট্রেটের তীব্র শোষণ বর্ণালী পাওয়া যায়। এই তীব্র শোষণ হয় Hg—Hg কম্পনের জন্য। এর থেকে Hg(1) যে H_2^{2+} হিসেবে থাকে তা বোঝা যায়।

প্রাই (বায়োলজিক্যাল) অণুর গঠন নির্ণয়ের ক্ষেত্রে আনুনাডিক রামন বর্ণালী (Resonance Raman spection) কার্যকরী ভূমিকা পালন করে।

অনুশীলনী—1

$^{35}\text{Cl}_2$ -র ঘূর্ণন রামন বর্ণালীর স্টোকস রেখার মধ্যে পার্থক্য 0.9752 am^{-1} । অণুটির বন্ধনী দৈর্ঘ্য গণনা করুন।

$$m \text{ } ^{35}\text{Cl} = 34.9688\mu$$

9.10 সারাংশ :

- এ পর্যন্ত রামন বর্ণালী বিক্ষেপণের ফলে সৃষ্টি হয়। আপতিত আলোর তরঙ্গ দৈর্ঘ্য দুটি—শক্তিস্তরের অন্তর হতে হবে এমন কোন বাধ্যবাধকতা নেই। বিক্ষেপনে তরঙ্গ দৈর্ঘ্য কম হলে অর্থাৎ তরঙ্গ সংখ্যায় বেশি হলে স্টোকস বিকিরণ; আর, তরঙ্গদৈর্ঘ্য বেশি হলে, অর্থাৎ তরঙ্গ সংখ্যায় কম হলে অ্যান্টি-স্টোকস বিকিরণ বলে।

$$\Delta E = \nu \pm \Delta E/h \text{ cm}^{-1}$$

- রামন বর্ণালীর বিক্ষেপন যদি আপতিত আলোক তরঙ্গ দৈর্ঘ্যের সমান হয়, অর্থাৎ এই বিক্ষেপনকে র্যালি বিক্ষেপন (Rayleigh scattering) বলে।

- রামন বর্ণালীর শর্তাবলী হ'ল—

পদার্থের ঘূর্ণন অথবা কম্পনজনিত প্রবণশীলতা।

নির্বাচন সূত্র : ঘূর্ণনে; $\Delta J = 0, \pm 2$.

নির্বাচন সূত্র : কম্পনে; $\Delta v = 1, \pm 2$,

- গোলক (spherical top) অণু ব্যতীত সমস্ত অণুই রামন সক্রিয়।

H_2 অণু যা অণুতরঙ্গ সক্রিয় নয় তা রামন সক্রিয়। CH_4 অণু গোলক অণু বলে। রামন সক্রিয় নয়, অথচ CH_3Cl রামন সক্রিয়।

- কম্পনজনিত রামন বর্ণালীর তরঙ্গসংখ্যা cm^{-1} -এ প্রকাশ করলে, মৌল কম্পাঙ্ক এক প্রথম ওভারটোন যথাক্রমে :

মৌল : $\Delta\epsilon = \omega_e - \omega_e (1 - 2x_e)$

প্রথম ওভারটোন : $\Delta\epsilon = \omega_e - 2\omega_e (1 - 3x_e)$

- পদার্থের অণু প্রতিসম টান কম্পনে রামন সক্রিয়; কিন্তু, অবলোহিত আলোক সক্রিয় নয়। অপ্রতিসম টান কম্পনে এবং বাঁকা অণুর টান কম্পনে রামন সক্রিয় হবে না; কিন্তু, পদার্থের অণু অপ্রতিসম হলে অবলোহিত তরঙ্গ সক্রিয়।

এই নীতিকে পারস্পরিক অপবর্জনের নীতি বলা হয়।

- রামন বর্ণালীর সাহায্যে পদার্থের গঠন, অণুর বন্ধন-দৈর্ঘ্য নির্ণয়, অণু প্রতিসম না অপ্রতিসম ইত্যাদি নির্ধারণ করা যায়।
- রামন বর্ণালীর বৈশিষ্ট্যের মধ্যে বিশেষভাবে উল্লেখযোগ্য হ'ল :

প্রতিসম অণু বিশেষ কম্পনে রামন সক্রিয়। যেমন, কার্বন ডাই-অক্সাইডের প্রতিসম টান কম্পন। অণু-তরঙ্গ বা অবলোহিত তরঙ্গ সক্রিয় নয়, কিন্তু রামক সক্রিয়। এরকম অনেক পদার্থের অণুই রামন সক্রিয় যারা অণু-তরঙ্গ বা অবলোহিত আলোক তরঙ্গ সক্রিয় নয়। যেমন, H_2 , CO_2 , CH_3Cl ইত্যাদি অণু রামন সক্রিয়।

গোলক অণু (spherical top) রাম সক্রিয় নয়। যেমন, CH_4 , CCl_4 , SF_6 ।

- অবলোহিত বর্ণালীর শক্তি তরঙ্গ সংখ্যায় 100 cm^{-1} । অথচ, রামন বর্ণালীর শক্তি তরঙ্গসংখ্যায় 10 cm^{-1} থেকে 100 cm^{-1} । রামন বর্ণালীতে কম তরঙ্গ সংখ্যার আলো ব্যবহার করা যায়।

রামন বর্ণালী থেকে অণুর গঠন সহজেই নির্ণয় করা যায়। আণুনাদিক রামন বর্ণালীর সাহায্যে বায়োলজিকাল অণুর গঠন নির্ণয় করা যায়।

9.11 প্রান্তিক প্রশ্নাবলি :

1. ঘূর্ণনজনিত রামন বর্ণালীতে স্টোকস বিকিরণ তীব্র কিন্তু অ্যান্টি স্টোকস বিকিরণ ক্ষীণ কেন?
2. একটি AB_2 অণুর :

কম্পন	রামন	অবলোহিত তরঙ্গ
প্রতিসম টান	সক্রিয়	নিষ্ক্রিয়
বাঁকানো টান	—	সক্রিয়
অপ্রতিসম টান	—	সক্রিয়

AB_2 অণুর গঠন প্রকৃতি কি রকম হবে?

3. পারস্পরিক অপবর্তনের সূত্র কী? কিভাবে এই সূত্রের সাহায্যে অণুর গঠন প্রকৃতি নির্ণয় করা যায়।
4. নিম্নলিখিত অণুগুলির মধ্যে কোনগুলি রামন সক্রিয় এবং কেন? H_2 , CO_2 , CH_4 , CH_3Cl .
5. নিম্নলিখিত অণুসমূহের মধ্যে কোনগুলি রামন সক্রিয় নয় এবং কেন? N_2O , CCl_4 , SF_6 , H_2O .
6. একটি অণুর রামন বর্ণালীর তরঙ্গ সংখ্যা 50 cm^{-1} হলে, বিকিরিত শক্তি মান হবে?
7. গ্যাসীয় পদার্থে ঘূর্ণনজনিত রামন বর্ণালী পর্যবেক্ষণ করা যায়, কিন্তু তরল বা কঠিনে এই বর্ণালী পর্যবেক্ষণ করা যায় না—কেন?
8. পর্যায়ক্রমে দুটি স্টোকস রেখা এবং দুটি অ্যান্টি স্টোকস রেখার ঘূর্ণনজনিত রামন বর্ণালীর শক্তির মধ্যে পার্থক্য কত? এই পার্থক্যের গুরুত্ব কী?
9. N_2O এবং NO_2 অণুর অবলোহিত তরঙ্গ বর্ণালী এবং রামন বর্ণালী কি একই রকম হবে, না পৃথক হবে—উত্তরের স্বপক্ষে যুক্তি দিন।
10. SO_2 অণুর সবকটি কম্পনই অবলোহিত তরঙ্গ সক্রিয় এবং রামন সক্রিয়। অণুটির গঠন প্রকৃতি বিশ্লেষণ করুন।
11. H_2 অণুর বিশুদ্ধ ঘূর্ণন বর্ণালী কোন্ ধরনের বর্ণালীর সাহায্যে পর্যবেক্ষণ করা যাবে এবং কেন? যদি H_2 অণুর বন্ধনী দৈর্ঘ্য 0.07417 mm হয় তা হলে এই বর্ণালীর দুটি রেখার অন্তর কত হবে?
12. AB_2 -অণুর তিনটি কম্পনের মধ্যে কোনটি অবলোহিত তরঙ্গ সক্রিয় বা রামন সক্রিয় যখন অণুটি (ক) কৌণিক, (খ) রৈখিক?
13. $^{19}F_2$ অণুর ঘূর্ণন রামন বর্ণালীর স্টোকস রেখার মধ্যে অন্তর 3.5312 cm^{-1} । অণুটির বন্ধনী-দৈর্ঘ্য গণনা করুন। $m^{19}F = 18.9985\mu$.

অনুশীলনী—1

আমরা জানি, রামন বর্ণালীর স্টোকস রেখার মধ্যে পার্থক্য $4B \text{ cm}^{-1}$ ।

$$4B = 0.9752 \text{ cm}^{-1}$$

$$B = 0.2438 \text{ cm}^{-1} = 24.38 \text{ m}^{-1}$$

আমরা জানি, $B = \frac{h}{8\pi^2 I_c}$

$$I = \frac{h}{8\pi^2 Bc} = \frac{6.626 \times 10^{-34}}{8 \times (3.14)^2 \times 24.38 \times 3 \times 10^8} \text{ Kg-m}^2$$

$$I = 1.1485 \times 10^{-45} \text{ Kg-m}^2$$

$$I = 114.85 \times 10^{-47} \text{ Kg-m}^2$$

আবার, $I = \mu r_0^2$; অতএব, $\mu r_0^2 = 114.85 \times 10^{-47}$

$$r_0^2 = \frac{114.85 \times 10^{-47}}{29.26 \times 10^{-27}} = 3.95 \times 10^{-20} \text{ cm.}$$

$$r_0 = 198.9 \text{ cm.}$$

9.11 উত্তরমালা :

1. স্টোকস্ বিকিরনে আপতিত কম্পাঙ্কের চেয়ে কম কম্পাঙ্কের আলোক তরঙ্গ বিক্ষেপন হয় বলে। অ্যান্টি স্টোকস্ বিকিরণে আপত কম্পাঙ্কের চেয়ে বেশি কম্পাঙ্কের আলোক তরঙ্গ বিক্ষেপন হয় বলে।
2. AB_2 অণু প্রতিসম কেন্দ্রিক অণু হবে।
 AB_2 -র গঠন B—A—B।
3. সূত্র : প্রতিসমকেন্দ্রিক অণুর ক্ষেত্রে যে কম্পনটি রামন সক্রিয় হবে, সেই কম্পনটি অবলোহিত তরঙ্গ সক্রিয় হবে না।

এই সূত্রের সাহায্যে অণুটি প্রতিসমকেন্দ্রিক কি না বলা যায়।

4. গোলক অণু CH_4 ব্যতীত সব কটি অণুই রামন সক্রিয়। অর্থাৎ, H_2 , CO_2 এবং CH_3Cl অণু রামন সক্রিয়। H_2 , CO_2 এবং CH_3Cl অসমদৈশিক ধ্রুবনশীল। CH_4 অণু সমদৈশিক এবং ধ্রুবনশীল নয়।
5. SF_6 অণু রামন সক্রিয় নয়। অণুটি সমদৈশিক এবং ধ্রুবনশীল নয়।
6. $v = 50 \text{ cm}^{-1} = 500 \text{ m}^{-1}$

$$\Delta E = hvc$$

$$\Delta E = 6.627 \times 10^{-34} \times 5000 \times 3 \times 10^8 \text{ Joule.}$$

$$\Delta E = 9.9405 \times 10^{-22} \text{ Joule.}$$

7. তরল বা কঠিনে আন্তঃ আণবিক আকর্ষণজনিত শক্তি গ্যাসের তুলনায় এত বেশি যে গ্যাসে ঘূর্ণনজনিত রামন বর্ণালী পাওয়া গেলে তরল বা কঠিনে পাওয়া যাবে না।
8. পর্যায়ক্রমে দুটি স্টোকস্ ও দুটি অ্যান্টি স্টোকস্ রেখার ঘূর্ণনজনিত রামন বর্ণালীর পার্থক্য $4B$ ।

এই পার্থক্যের সাহায্যে বন্ধনীই নির্ণয় করা যাবে। $B = \frac{h}{8\pi^2IC}$ এবং $r_0 = \sqrt{I/\mu} = \sqrt{h/8\pi^2Bc\mu}$

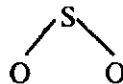
9. N_2O এবং NO_2 অনুদ্বয়ের অবলোহিত তরঙ্গ এবং রামন বর্ণালী একই রকম হবে না।

N_2O অবলোহিত আলোক তরঙ্গ এবং রামন সক্রিয় হবে।

NO_2 প্রতিসম কেন্দ্রিক অণু বলে প্রতিসম টান কম্পন রামন সক্রিয় এবং অবলোহিত তরঙ্গ নিষ্ক্রিয় হবে।

10. যেহেতু SO_2 অণুর সবকটি কম্পনই—প্রতিসম টান, বাঁকা, অপ্রতিসম টান—অবলোহিত তরঙ্গ সক্রিয়

এবং রামন সক্রিয়, অণুটি কৌণিক হবে।



11. H_2 -অণুর বিশুদ্ধ ঘূর্ণন রামন বর্ণালীর সাহায্যে পর্যবেক্ষণ করা যাবে।

H_2 -অণুর বন্ধনী অক্ষে তড়িৎক্ষেত্রে ইলেকট্রন বেশি প্রবণশীল হবে।

রামন বর্ণালীর দুটি স্টোকস রেখার অন্তর হ'ল $4B$ ।

$$\text{আবার, } B = \frac{h}{8\pi^2 IC}$$

$$B = \frac{h}{8\pi^2 \mu r^2 \theta C}$$

$$B = \frac{6.627 \times 10^{-34}}{8 \times (3.14)^2 \times 1.66 \frac{1}{2} \times 10^{-27} \times (74.17 \times 10^{-12})^2 \times 3 \times 10^8}$$

$$B = 0.0614 \times 10^5 \text{ m.}$$

$$B = 61.4 \text{ cm}^{-1}$$

$$4B = 245.6 \text{ cm}^{-1}$$

উত্তর : দুটি স্টোকস রেখার মধ্যে তফাৎ 245.6 cm^{-1} ।

12. AB_2 অণুর তিনটি কম্পনই যদি অবলোহিত তরঙ্গ এবং রামন সক্রিয় হয় তা হ'লে অণুটি কৌণিক হবে। AB_2 অণুর কেবলমাত্র প্রতিসমটান কম্পন যদি রামন সক্রিয় হয় এবং অবলোহিত তরঙ্গ নিষ্ক্রিয় হয় তা হ'লে AB_2 অণু রৈখিক হবে।

13. ঘূর্ণন রামন বর্ণালীর দুটি স্টোকস রেখার মধ্যে অন্তর $4B$ ।

অতএব, $4B = 3.5312 \text{ cm}^{-1}$

$$r_0 = \sqrt{h/8\pi^2 \mu CB}$$

$$r_0 = 141.8 \text{ pm.}$$

9.13 অতিরিক্ত সাহায্যকারী পুস্তকসমূহ :

- (১) ফাণ্ডামেন্টালস্ অফ মলিকিউলার স্পেকট্রোস্কোপি—সি, এন, ব্যানওয়েল-থার্ডএডিশন টাটা ম্যাকগ্রহিল পাবলিশিং কোং লিঃ
- (২) ইনট্রোডাকশন টু মলিকিউলার স্পেকট্রোস্কোপি—জি, এম, ব্যারো—ম্যাকগ্রহিল বুক কোং।
- (৩) কোয়ান্টাম কেমিস্ট্রি—ডোনাল্ড ম্যাকুইরে-ভিভা বুকস প্রাঃ লিঃ।
- (৪) ফিজিক্যাল কেমিস্ট্রি—(থার্ড এডিশন) গিলবার্ট ডবল্যু ক্যাস্টেলান।
—নারোসা পাবলিশিং হাউস।
- (৫) ফিজিক্যাল কেমিস্ট্রি—এ মলিকিউলার অ্যাপ্রোচ— ডোনাল্ড ম্যাকুইরে এবং জন সাইসন,
—ভিভা বুকস প্রাঃ লিঃ।
- (৬) ফিজিক্যাল কেমিস্ট্রি—পি. ডবল্যু. এটকিনস্ সিকসস এডিশন—অক্সফোর্ড ইউনিভার্সিটি প্রেস।
- (৭) ফিজিক্যাল কেমিস্ট্রি—ইরা এন, লেভিন-ফোর্থ এডিশন—টাটা ম্যাকগ্রহিল পাবলিশিং কোম্পানি লিঃ—
নিউ দিল্লি।
- (৮) রামনের আবিষ্কার—জগন্নাথ গুপ্ত-বিশ্ববিদ্যা সংগ্রহ।

একক 10. □ কেন্দ্রকীয় রসায়ন

□ গঠন

- 0.1 প্রস্তাবনা ও উদ্দেশ্য
- 10.2 কেন্দ্রকের আকার ও ঘনত্ব
 - 10.2.1 কেন্দ্রকের আকার
 - 10.2.2 কেন্দ্রকের ঘনত্ব
- 10.3 কেন্দ্রকের প্রাথমিক কণাসমূহ
- 10.4 পারমাণবিক সংখ্যা : Z ও N-এর মানের উপর নির্ভর করে কেন্দ্রকের শ্রেণীবিভাগ।
- 10.5 কেন্দ্রকীয় সুস্থিতি
 - 10.5.1 কেন্দ্রকণের সংখ্যার যুগ্ম-অযুগ্ম প্রকৃতি
 - 10.5.2 নিউট্রন প্রোটন অণুপাত এবং বিভিন্ন ধরনের বিভাজন
- 10.6 কেন্দ্রকীয় বল
 - 10.6.1 সংকুলন ভগ্নাংশ
 - 10.6.2 কেন্দ্রকীয় বন্ধন শক্তি
 - 10.6.3 মেসন-তত্ত্ব
 - 10.6.4 যাদু-সংজ্ঞা
- 10.7 কেন্দ্রক-কাঠামো সমূহ
 - 10.7.1 প্রোটন-ইলেকট্রন কাঠামো
 - 10.7.2 কক্ষ-কাঠামো
 - 10.7.3 তরল-ফোঁটা কাঠামো
 - 10.7.4 সমবিত কাঠামো
- 10.8 কৃত্রিম তেজস্ক্রিয়তা
- 10.9 কেন্দ্রকীয় উপকৃতি

- 10.9.1 যৌগিক কেন্দ্রক বিষয়ক বর তত্ত্ব
- 10.10 কেন্দ্রকীয় বিক্রিয়াসমূহের শ্রেণীবিভাগ
 - 10.10.1 প্রক্ষিপ্ত কণা অধিকার বিক্রিয়া
 - 10.10.2 প্রক্ষিপ্ত কণা অধিকার-কণা নিৰ্গমণ বিক্রিয়া
 - 10.10.3 স্প্যালেশন বিক্রিয়া
 - 10.10.4 কেন্দ্রকীয় বিভাজন
 - 10.10.5 কেন্দ্রকীয় সংযোজন
- 10.11 ট্রেসার কৌশল
 - 10.11.1 তেজস্ক্রিয় ট্ৰেন্সমিউটেগ্ৰাফি
 - 10.11.2 সমঘৰ লঘুকরণ বিশ্লেষণ
 - 10.11.3 নিউট্রন উজ্জীবন বিশ্লেষণ
 - 10.11.4 নিউট্রন শোষণমিতি
 - 10.11.5 তেজস্ক্রিয়মিতিক অণুমাণন
- 10.12 ইউৰেনিয়ামোওৰ মৌলসমূহ
- 10.13 সারাংশ
- 10.14 প্ৰান্তিক প্ৰশ্নাবলি
- 10.15 উত্তৰ মালা
- 10.16 অতিরিক্ত সাহায্যকারী পুস্তক সমূহ

10.1 প্রস্তাবনা

আপনারা তো জানেনই যে মৌলের পরমাণুর পরিষ্কার দুটি অংশ থাকে (i) কেন্দ্রস্থ একটি ক্ষুদ্র অংশ, যাকে বলা হয় কেন্দ্রক বা কেন্দ্রীণ (nucleus); এর ব্যাসার্ধ কয়েক ফার্মি এবং (ii) অপেক্ষাকৃত বেশি বিস্তৃত

$$1 \text{ ফার্মি} = 1 \text{ ফেমটোমিটার} \\ = 10^{-15} \text{ মি.}$$

কেন্দ্রককে বেষ্টিতকারী বহিরাংশের গোলক, এর ব্যাসার্ধ 10^{-10} মি. ক্রমের।

এই কেন্দ্রকের গঠন, এর উপাদান, স্থায়িত্ব, কেন্দ্রকীয় বিক্রিয়া সমূহ, কেন্দ্রকীয় শক্তি (যা সাধারণভাবে 'পারমাণবিক শক্তি' নামে অভিহিত হয়) উৎপাদন ইত্যাদি তত্ত্ব ও তথ্য রসায়ণ শাস্ত্রের যে অংশে আলোচিত ও ব্যাখ্যার হয় তাকে কেন্দ্রকীয় রসায়ন (Nuclear Chemistry) আখ্যা দেওয়া হয়। পদার্থবিদ্যার অনুরূপ অংশের নাম কেন্দ্রকীয় পদার্থবিদ্যা (Nuclear Physics)। কেন্দ্রকীয় রসায়ণ বিদ্যা ও কেন্দ্রকীয় পদার্থবিদ্যা প্রায় অভিন্ন।

অবশ্য এই বিদ্যার অংশবিশেষ (যেমন প্রাকৃতিক কেন্দ্রকীয় বিক্রিয়া অর্থাৎ তেজস্ক্রিয়তা) আপনারা পরে (ECHO2 পর্যায়) আলাদা করে বিশদভাবে জানবেন বলে বর্তমান অংশে আমরা তার আলোচনা করব না; তবে উক্ত অধ্যায়টিও নিশ্চিতভাবেই কেন্দ্রকীয় রসায়ণের অন্তর্গত।

উদ্দেশ্য :

বর্তমান অংশটি পড়ে আপনারা

- কেন্দ্রকের আকর্ষণ, গঠন, ধর্ম, স্থিতিরতা সম্বন্ধে জানতে পারবেন।
- পারমাণবিক সংস্থা (Z) ও নিউট্রনের সংস্থা N-এর উপর ভিত্তি করে কেন্দ্রকক (nuclide)-এর শ্রেণীবিভাগ (সমঘর, সমভর ইত্যাদি) জানতে পারবেন।
- কেন্দ্রকের স্থিতিরতা ও এই বিষয়ক বিভিন্ন তত্ত্ব জানতে পারবেন।
- আবিষ্টি (কৃত্রিম) তেজস্ক্রিয়তা সম্বন্ধে অবহিত হবেন।
- বিভিন্ন ধরণের কেন্দ্রকীয় বিক্রিয়া সম্বন্ধে জানবেন।
- পারমাণবিক শক্তি ও পারমাণবিক বোমার তত্ত্ব জানবেন।
- আলোক-সক্রিয় উপর্যুগাত ও আলোক-সক্রিয় বিচ্ছুরণ সম্বন্ধে ধারণা পাবেন।
- পত্রের শক্তি ও হাইড্রোজেন বোমার তত্ত্ব জানবেন।
- সন্ধানী (tracer) ও তার সাহায্যে সূক্ষ্ম বিশ্লেষণ (Trace analysis) প্রযুক্তি সম্বন্ধে অবহিত হতে পারবেন।
- কেন্দ্রকীয় দূষণ সম্বন্ধে জানতে পারবেন।

বর্হিকক্ষ রহিত পরমাণুর কেন্দ্রকাংশকে কেন্দ্রকক (nuclide) বলা হয়; একে ${}^A_Z X$ বা ${}^A_Z X$ চিহ্ন দ্বারা সূচিত করা হয়; Z = প্রোটনসংখ্যা, X = Z সংখ্যক প্রোটন বিশিষ্ট রাসায়নিক মৌলের প্রতীক A = ভরসংখ্যা এবং N = A - Z = নিউট্রনের সংখ্যা।

10.2 কেন্দ্রকের আকার ও ঘনত্ব (Size and density of nucleus)

10.2.1 কেন্দ্রকের আকার

α -কণা বিচ্ছুরণ পরীক্ষা থেকে প্রাপ্ত তথ্য কেন্দ্রকের ব্যাখ্যা অনুমানের রাস্তা দেখায়।

ধরা যাক M_α ভর ও v গতিবেগের একটি α -কণা $+Ze$ অংশবিশিষ্ট কেন্দ্রকের দিকে অগ্রসর হবে। α -কণার আধান (জানা আছে) $+2e$ । ঠিক যে দূরত্বে (d_0) গিয়ে α -কণা উল্টো পথ ধরে তাই উভয়ের মুখোমুখি (head-on) সংঘর্ষের ক্ষেত্রে নিকক্ষতম বিন্দুতে অবস্থান। এই বিন্দুতে α -কণার গতি-শক্তি বিকর্ষণ-জাত স্থিতিশক্তির সমান হয়।

$$\text{বিকর্ষণ-বল} = \frac{2eZe}{4\pi\epsilon_0 d_0^2} = \frac{Ze^2}{2\pi\epsilon_0 d_0^2} \quad [\epsilon_0 = \text{শূন্য মাধ্যমের দ্বি-তড়িতিক (dielectric) ধ্রুবক}]$$

$$\therefore \text{সংশ্লিষ্ট স্থিতিশক্তি} = \frac{Ze^2}{2\pi\epsilon_0 d_0}$$

$$\text{নিকটতম অগ্রসর বিন্দুতে, } \frac{Ze^2}{2\pi\epsilon_0 d_0} = \frac{1}{2} M_\alpha v^2 \text{ বা, } d_0 = \frac{Ze^2}{\pi\epsilon_0 M_\alpha v^2}$$

প্রাকৃতিক তেজস্ক্রিয় উৎস হেথকে প্রাপ্ত α -কণার গতিবেগ $\sim 1.3 - 1.9 \times 10^{-1}$ মি সে $^{-1}$ । এথেকে প্রাপ্ত d_0 -এর মান অ্যানুমেনিয়ামের ক্ষেত্রে $\sim 5 \times 10^{-15}$ মি = 5 fm (fm = ফর্মি = ফেমটোমিটার)।

এই d_0 -ই কেন্দ্রকের আনুমানিক ব্যাসটি।

দ্রুত (fast) নিউট্রনের বিচ্ছুরণ থেকে কেন্দ্রীয় ব্যাসার্ধের (R) উপর আরও নির্ভর যোগ্য তথ্য পাওয়া যায়। একটি জুল (empirical) সমীকরণ পাওয়া গেছে; $R = R_0 A^{1/3}$ [$R_0 = \text{ধ্রুবক} = 1.4 \text{ fm}$].

10.2.2 কেন্দ্রকের ঘনত্ব

তাহলে আপনারা কী জায়লেন? জানলেন, $R \propto A^{1/3}$ —তাইতো?

তাহলে কেন্দ্রকে গোলকাকার ধরে নিলে, আয়রণ V হয় $\frac{4}{3}\pi R^3$ [$A = \text{ভর সংখ্যা}$]। অর্থাৎ $V \propto A$ ।
ভর $M \propto A$ । কাজেই ঘনত্ব D ধ্রুবক। অর্থাৎ সব নিউক্লিয়াসের ঘনত্বই প্রায় সমান।

আপনার তো জেনেছেনই যে পরমাণুর ভরের প্রায় সমস্তটাই কেন্দ্রকে ঘনীভূত আর কেন্দ্রক আকারে খুবই দৃঢ়, তাই কেন্দ্রীয় ঘনত্ব খুবই বেশি—মোটামুটিভাবে বলা যায় 10^{17} কিগ্র. মি $^{-3}$ ।

অনুশীলনী—1

বাসাধ 5 ফার্মি এবং পারমাণবিক গুরুত্ব 27 হলে অ্যানুমিনিয়াম কেন্দ্রকের ঘনত্ব বের করুন।

10.3 কেন্দ্রকের প্রাথমিক কণাসমূহ (Elementary Particles of nucleus)

পরমাণুর মৌল (fundamental) কণা তিনটি—ইলেকট্রন, প্রোটন, নিউট্রন—এ আপনারা জানেন। রাদারফোর্ড তার পরমাণুর গঠনে কেন্দ্রকের উপাদান বলেছিলেন প্রোটন ও ইলেকট্রন। কিন্তু এছারা কেন্দ্রকের অনেক ধর্মই ব্যাখ্যাও হয় না বলে পরে নিউট্রন-এর অস্তিত্ব সম্বন্ধে গ্রাণ্ডধারণা দেন তিনি। 1932 খ্রীষ্টাব্দে স্যাডউইক Chedwick নিউট্রন আবিষ্কার করেন $[{}^9_4\text{Be} + {}^4_2\text{He} \rightarrow {}^{12}_6\text{C} + {}^1_0\text{n}]$ । তখন প্রোটন ও নিউট্রন কেন্দ্রকের মৌল উপাদান কণা বলে স্বীকৃত হয়। এদের একত্রে কেন্দ্রকণ (nucleus) বলা হয়। সারণি M-1-এ পদার্থের মৌল কণা তিনটির ধর্মের তুলনামূলক ধারণা দেওয়া হল।

কেন্দ্রকণ = nucleon

সারণি 10-1

কণা	ইলেক্ট্রন	প্রোটন	নিউট্রন
প্রতীক	$e, {}^0_{-1}e, \beta^-$	$p, {}^1_1\text{H}$	$n, {}^1_0\text{n}$
অবস্থিতি	গোলকের বহিস্তদের	কেন্দ্রকে	কেন্দ্রকে
আধান/e	-1	+1	0
ভর/u*	0.00055	1.007277	1.008665
স্থিরাবস্থা ভরশক্তি/Mev	0.511	938.259	939.552
ঘূর্ণন (spin)/ \hbar	$\frac{1}{2}$	$\frac{1}{2}$	$\frac{1}{2}$
গড় আয়ুষ্কাল/সে	সুস্থির	সুস্থির	932
বিভাজনে উদ্ভূত কণা	**	-	$p + e + \gamma$

প্রতিকণা (antiparticle) পজিট্রন (e^+) অ্যান্টিপ্রোটন \bar{p} অ্যান্টিনিউট্রন \bar{n}

* u = পারমাণবিক ভর একক, একে 'ডাল্টন' ও বলা হয়

** প্রতি কণা ও সংশ্লিষ্টকণার মধ্যে পার্থক্য নিহিত কেবল আধান ও ঘূর্ণনের দিকে।

সারণি থেকে আপনারা দেখতে পাচ্ছেন যে কেন্দ্রকে কেন্দ্রকণ থেকে গৌণ ইলেক্ট্রন উৎপন্ন হয়। সে কারণেই কেন্দ্রকে ইলেক্ট্রন না থাকলেও তেজস্ক্রিয় বিভাজনে ইলেকট্রন (B রশ্মি) নির্গত হয়।

এই তিনটি কণাকে একত্রে অবপারমাণবিক (Subatomic) কণা বলা হয়। পরবর্তী পর্যায়ে (1932-এর পরে) আরও অবপারমাণবিক কণা সংকল্পিত (predicted) ও পরে আবিষ্কৃত ও হতে থাকল। এদের মধ্যে আছে পজিট্রন, মিউঅন, নিউট্রিনো ও আরও কিছু। চল্লিশের দশকের শেষশেষি এদের সংখ্যা 4 থেকে 12 + এ উঠে যায়। মধ্য ষাটে সংখ্যা একশ ছাড়িয়ে যাবার অবস্থা হয়। এদের ভর শূন্যের কাছাকাছি থেকে ইলেক্ট্রনীয় ভর এবং ইলেক্ট্রনীয় ভরের কয়েকশ পূর্ণ পর্যন্ত বিস্তৃত থাকে; আধানের দিক থেকে তারা আধানবিহীন, ধনাত্মক বা ঋণাত্মক আধানযুক্ত হতে পারে। তাদের ঘূর্ণন একক কৌণিক ভরবেগের শূন্য, অর্ধ ও পূর্ণ সংখ্যক গুণ হতে পারে। এদের মধ্যে মাত্র কয়টি। (প্রতিকণা নিয়ে, সারণি 10-2 দেখুন) সুস্থির।

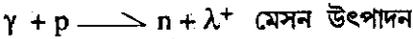
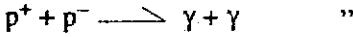
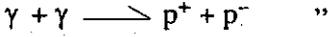
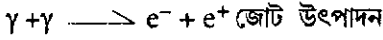
সারণি 10-2

কণা/প্রতিকণা	প্রতীক	ভর		আধান/e	ঘর্ষণ/h	পরিসংস্থান
		$m_e = 1$	$m_e = 0.511$ Mev			
ফোটন	γ	0	0	0	1	B
ইলেক্ট্রনীয় নিউট্রিনো	$\nu_e \bar{\nu}_e$	0	0	0	$\frac{1}{2}$	F
মিউঅনীয় নিউট্রিনো	$\nu_\mu \bar{\nu}_\mu$	0	0	0	$\frac{1}{2}$	F
		$m_e = 1$	$m_e = 0.511$ Mev			
টায়ুঅনীয় নিউট্রিনো	$\nu_\tau \bar{\nu}_\tau$	0	0	0	$\frac{1}{2}$	F
ইলেকট্রন	e^-	1	0.511	-1	$\frac{1}{2}$	F
পজিট্রন	e^+	1	0.511	+1	$\frac{1}{2}$	F
প্রোটন	p^+	1836	938.2	+1	$\frac{1}{2}$	F
অ্যান্টি প্রোটন	p^-	1836	938.2	-1	$\frac{1}{2}$	F

[B ≡ বোসন। যে সব কণা বোম-আইনস্টাইন পরিসংখ্যাক মেনে চলে। এদের পূর্ণসংখ্যাক ঘূর্ণন (0, 1, 2, ...) থাকে। পাউলি অপবর্জন নীতি এদের ক্ষেত্রে খাটে না, অর্থাৎ নির্দিষ্ট কোয়ান্টাম স্তরে কণায় সংখ্যার সীমাবদ্ধতা নেই। π^+ , π^- , π^0 যেমন, ডায়ট্রন, α -কণা এবং যুদ্ধ A বিশিষ্ট কণারা এই শ্রেণীর।

F ≡ ফার্মিয়ন। এরা ফার্মি-ডিরাক পরিসংখ্যাক মেনে চলে; ঘূর্ণন $+\frac{1}{2}$, $-\frac{1}{2}$; এরা পাউলির অপবর্জন নীতি মেনে চলে।]

বেশির ভাগ অবপারমাণবিক কণাই অসুস্থিত এবং তাদের গড় আয়ুষ্কাল 10^{-16} — 10^3 সেকেন্ড। (সাধারণতঃ গড় আয়ুষ্কাল 10^{-22} সেকেন্ডের বেশি হলেই তাকে সত্যিকারের কণা বলা হয়, নতুবা তারা সংস্পন্দন বা উত্তেজিত আবস্থা)। এই অসুস্থির কণারা অত্যুচ্চ শক্তির (Supethighenergy) কণা সমূহের সংঘর্ষের ফলে জাত হয়। কোন কোন ক্ষেত্রে কণার বিদায় প্রাপ্তিও ঘটে। যেমনঃ



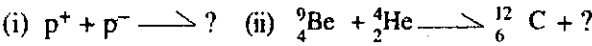
বর্তমানে পদার্থবিদ্যা আর প্রোটন ও নিউট্রনকে মৌল কণা মনে করেন না। তাদের মতে এরা একাধিক আয়ন অংশের সমষ্টি। আধুনিক কেন্দ্রকীয় রসায়নে পদার্থের অবিভাজ্য মৌলিকতম উপাদান কণার নাম 'কোয়ার্ক' (quark)। কোয়ার্ক কণারা আবার কেন্দ্রকণার 'প্লুঅণ' (gluon) ক্ষেত্রে জমট বাঁধা অবস্থায় থাকে।

অনুশীলনী—২

1. ডালটন কীসের একক। এর মান কত?

2. প্রতিকণা বলতে কী বোঝেন?

3. শূন্যস্থান পূর্ণ করুনঃ



4. (a) 3(iii) প্রক্রিয়াটির ঐতিহাসিক গুরুত্ব কী? এর সঙ্গে কোন বিজ্ঞানীয় নাম জড়িত?

(b) $\gamma + \gamma \longrightarrow e^- + e^+$ প্রক্রিয়াটি কীভাবে সম্ভব হয়?

10.4 পারমাণবিক সংখ্যা : Z ও N-এর মানের উপর নির্ভর করে কৌলিককের শ্রেণীবিভাগ

আপনারা জানেন, মোজলের মৌলের \times রশ্মি বর্ণালী সংক্রান্ত গবেষণায় (1913-4) পারমাণবিক সংখ্যার গুরুত্ব প্রতিষ্ঠিত হল। মোজলে প্রথমে পর্যায় সারণিতে মৌলের ক্রমিক সংখ্যাকে পারমাণবিক সংখ্যা ধরে দেখলেন যে পারমাণবিক সংখ্যা পারমাণবিক ভরের চেয়ে বেশি মৌলিক ধর্ম। ফন্ দে ব্রোক (A. von den Broek)-এর ধারণা অনুসরণ করে মোজলে বললেন যে পারমাণবিক সংখ্যা ও কেন্দ্রকীয় আধান অভিন্ন। মৌলের পরিচায়ক ধর্ম এই পারমাণবিক সংখ্যা একই মৌলের একাধিক পারমাণবিক সংখ্যা হতে পারে না। কিন্তু মৌলের কেন্দ্রে

বিভিন্ন সংখ্যক নিউট্রন থাকতে পারে, আর সে কারণেই একই মৌলের বিভিন্ন ভর সংখ্যা ($Z + N = A$) বিশিষ্ট কেন্দ্রিকক থাকতে পারে।

Z ও N এর মানের উপর নির্ভর করে কেন্দ্রিককগুলিকে নিচে বর্ণিত উপায়ে শ্রেণীবদ্ধ করতে পারা যায় :

(ক) সমঘর বা একস্থানিক বা সমস্থানিক (Isotope) : অভিন্ন পারমাণবিক সংখ্যা (অভিন্ন Z) বিশিষ্ট, কিন্তু কেন্দ্রকে বিভিন্ন সংখ্যক নিউট্রনের উপস্থিতি হেতু বিভিন্ন ভরসংখ্যাবিশিষ্ট কেন্দ্রিককগুলিকে পরস্পরের সমঘর বা একস্থানিক বা সমস্থানিক বলে। এরকম নামের কারণ এই কেন্দ্রিককগুলির পর্যায় সারণিতে একই স্থানে অবস্থিত হবে [ISO = অভিন্ন, topes = স্থান] উদাহরণ : হাইড্রোজেনের ($Z = 1$) তিন সমঘরে আছে $^1_1\text{H}_0$ (প্রোটিয়াম বা হাল্কা হাইড্রোজেন), ^2_1H ব ^2_1D (ডয়টেরিয়াম বা ভারী হাইড্রোজেন) এবং $^3_1\text{H}_2$ বা ^3_1T (তেজস্ক্রিয় হাইড্রোজেন বা ট্রিশিয়াম); সোডিয়াম ($Z = 11$)-এর সমঘরগুলি $^{22}_{11}\text{Na}_{11}$, $^{23}_{11}\text{Na}_{12}$, $^{24}_{11}\text{Na}_{13}$; ইউরেনিয়াম ($Z = 92$)-এর সমঘরগুলি $^{233}_{92}\text{U}_{141}$, $^{234}_{92}\text{U}_{142}$, $^{235}_{92}\text{U}_{143}$, $^{238}_{92}\text{U}_{146}$ ।

কোনও মৌলের সুস্থির ও অসুস্থির উভয় ধরণের সমঘর থাকতে পারে। অতেজস্ক্রিয় উৎসের ক্ষেত্রে মৌলের বিভিন্ন সমঘরের প্রাচুর্যের অণুপাত (abundance ratio) উৎস-নিরপেক্ষ। উদাহরণ স্বরূপ বলা যায়, যেখান থেকেই যেভাবেই হোকনা কেন ^{16}O , ^{17}O , ^{18}O -এর প্রাচুর্যের অণুপাত 2494 : 1 : 51।

মৌলের রাসায়নিক ধর্ম Z-এর উপর নির্ভরশীল বলে, সমঘরগুলির রাসায়নিক ধর্ম প্রায় অভিন্ন। কাজেই এদের পৃথকীকরণ খুবই কঠিন, বিশেষে ভৌত বা তাপগতি সম্বন্ধীয় পদ্ধতি ব্যবহার করে আংশিক অণুপাতবৃদ্ধি ঘটানো যায়।

(খ) সমভর (Isobar); অভিন্ন ভরসংখ্যা কিন্তু ভিন্ন পারমাণবিক সংখ্যা বিশিষ্ট (পর্যায় ছকে) পাশাপাশি অবস্থিত রাসায়নিক মৌলের কেন্দ্রিককে সমভর বলে। এদের নিউট্রন সংখ্যাও বিভিন্ন।

উদাহরণ: $^3_1\text{H}_2$, $^3_2\text{He}_1$; $^{14}_6\text{C}_8$, $^{14}_7\text{N}_7$; $^{24}_{11}\text{N}_{13}$, $^{24}_{12}\text{Mg}_{13}$; $^{64}_{27}\text{Co}_{37}$, $^{64}_{28}\text{Ni}_{36}$ ।

(গ) দর্পণ কেন্দ্রক (mirror nuclei); Z ও N এর মানের পার্থক্য 1-এর; Z ও N এর মান দু'টি একটিতে অন্যের বিপরীত—এমন সমভরদের দর্পণ কেন্দ্রক বলে।

যেমন $^3_1\text{H}_2$, $^3_2\text{He}_1$; $^{13}_6\text{C}_7$, $^{13}_7\text{N}_6$; $^{39}_{19}\text{K}_{20}$, $^{39}_{20}\text{Ca}_{19}$; $^{23}_{11}\text{Na}_{12}$, $^{23}_{12}\text{Mg}_{11}$ ।

সমকোণ (isotone) : সমান N এবং সেহেতু বিভিন্ন Z ও A বিশিষ্ট কেন্দ্রিক সমূহকে পরস্পরের সমকোণ বলে।

উদাহরণ : $^3_1\text{H}_2$, $^4_2\text{He}_2$; $^{14}_6\text{C}_8$, $^{16}_8\text{O}_8$; $^{18}_8\text{O}_{10}$, $^{20}_{10}\text{Ne}_{10}$; $^{23}_{11}\text{Na}_{12}$, $^{24}_{12}\text{Mg}_{12}$ ।

(ঘ) সমসমঘরভেদ (Isodiopher) সমান সমঘর সংখ্যা (isotopic numler) বিশিষ্ট কেন্দ্রিকদের পরস্পরের সমসমঘরভেদ বলে।

সমঘরসংজ্ঞা বা সমঘরার্থিক (isotopic excen) বলতে বোঝায় $N - Z$ বা $A - 2Z$ ।

উদাহরণ : $^{235}_{92}\text{U}_{143}$, $^{231}_{90}\text{Th}_{141}$ ($143 - 92 = 51 = 141 - 90$)

$${}_{19}^{39}\text{K}_{20}, {}_9^{19}\text{F}_{10} \quad (20 - 19 = 1 = 10 - 9)$$

$${}_{29}^{65}\text{Cu}_{36}, {}_{24}^{55}\text{Cr}_{31}$$

(ঙ) কেন্দ্রকীয় সমাবয়ব : অভিন্ন ভরসংখ্যা ও অভিন্ন পারমাণবিক সংখ্যা কিন্তু ভিন্ন তেজস্ক্রিয় ধর্ম বিশিষ্ট কেন্দ্রকগুলিকে কেন্দ্রকীয় সমাবয়ব বলে।

মনে করা হয় এই ধরনের কেন্দ্রকগুলিতে কেন্দ্রকসংখ্যা অভিন্ন অর্থাৎ সমসংখ্যক প্রোটন ও সমসংখ্যক নিউট্রন থাকলেও কেন্দ্রকগুলির শক্তি স্তর বিভিন্ন। $(2n + 2)$ অর্থাৎ তেজস্ক্রিয় সারির U_{x_1} (অর্থাৎ

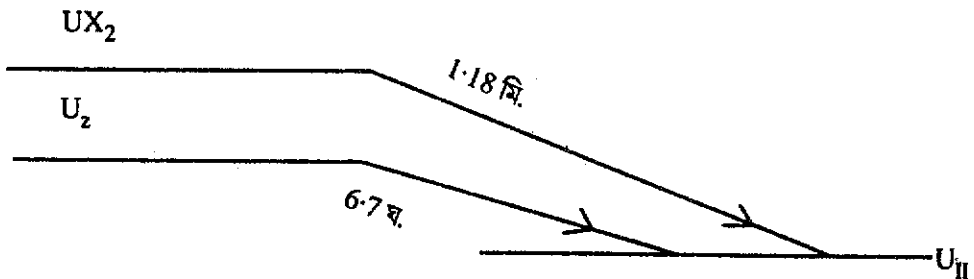
$${}_{90}^{234}\text{Th} \text{ দুভাবে বিভাজিত হয়; } \begin{matrix} {}_{90}^{234}\text{Th} & \text{B} \\ (\text{U}_{x_1}) & 24 \cdot 1 \end{matrix} \quad \begin{matrix} {}_{91}^{234}\text{Pa} & \text{B}^- \\ (\text{U}_{x_2}) & 1 \cdot 18 \end{matrix} \quad \begin{matrix} {}_{92}^{234}\text{U} \\ (\text{U}) \end{matrix}$$

0.35% U_{x_1} অন্যধরণের তেজস্ক্রিয়া দেখায়। যেমন :

$$\begin{matrix} \text{U}_{x_1} & \text{B}^- \\ & 24 \cdot 1 \end{matrix} \quad \begin{matrix} \text{B}^- \\ \text{U}_z & 67 \end{matrix} \quad \text{U}_{\text{II}}$$

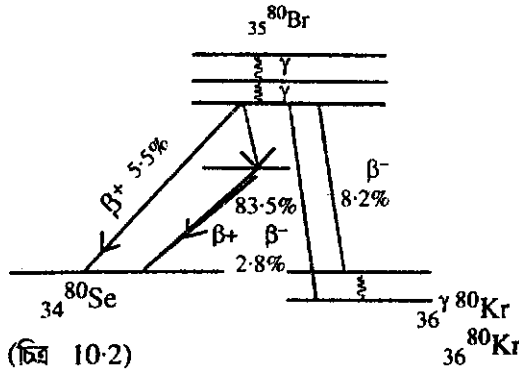
এখানে U_{x_2} ও U_z উভয়েই ${}_{91}^{234}\text{Pa}$, কিন্তু এদের অর্ধায়ু কাল ভিন্ন। এটি কেন্দ্রকীয় সমাবয়বতার একটি উদাহরণ। এদের শক্তিস্তর ভিন্ন। এই ভিন্নতা আসে কেন্দ্রকগুলির স্তরবিন্যাসের ভিন্নতা থেকে।

সাধারণতঃ উচ্চতর শক্তিস্তরে গঠিত কেন্দ্রকগুলি 10^{-13} সেকেন্ডেরও কম সময়ের মধ্যে γ ফোটন নিঃসরণ করে নিম্নতর আন্তরবর্তী শক্তি স্তরে আসে। কিন্তু কোন কোন ক্ষেত্রে উত্তেজিত অবস্থার অর্ধায়ু উচ্চ মানের কম হয়ে 10^{-9} সেকেন্ড থেকে কয়েক মাস পর্যন্ত হয়ে যায়। এই স্তরকে বলা হয় 'অস্থিতকর' (metastable) অবস্থা। (যদি দুটি স্তরের কৌণিক বেগের পার্থক্য বেশি হয় তবে ... এদের মধ্যে অন্তর্বর্তন (transition) নিষিদ্ধ হয়ে পড়ে। এ ক্ষেত্রে উচ্চতর স্তরের দীর্ঘতর আয়ুষ্কাল হয়। এমতাবস্থার উচ্চতর স্তরে দীর্ঘায়ু কেন্দ্রক গঠিত হয়, এবং দীর্ঘতর সময় পরে নিম্নতর স্তরে উপনীত হয়। যদি কেন্দ্রকটি β -নিঃসারী হয়। তবে পরবর্তী পর্যায়ে ভূমিস্তরে β -নিঃসরণ করে আরেকটি কেন্দ্রক উৎপন্ন করবে। এভাবেই একই সমঘরের বিভিন্ন অর্ধায়ুকাল থাকতে পারে। চিত্র 10-1)



চিত্র 10-1

কৃত্রিম তেজস্ক্রিয় সমঘরের কেন্দ্রে এই ঘটনা দেখা যায়। $^{80}_{35}\text{Br}$ এমন একটি উদাহরণ (চিত্র 10-2)



অনুশীলনী—3

1. সমঘর ও সমভরের মধ্যে একটি তুলনা-সারণি তৈরি করেন।

2. প্রাকৃতিক বোরণে 10-01 ও 11-01 পারমাণবিক ওজন বিশিষ্ট দুইটি সমঘর আছে। বোরণের পারমাণবিক ওজন 10-81 হলে প্রতিটি সমঘরের শতকরা পরিমাণ বের করুন।

3. ঠিক উত্তর করুন।

(a) অভিন্ন নয়, কিছু কেন্দ্রকণের সংখ্যা অভিন্ন, এমন কেন্দ্রকদের বলে : (A) সমঘর (B) সমভর (C) সমকণ (D) সমাবয়ব।

(b) সমকণিক ত্রয়ী হল : (A) $^{14}_6\text{C}$, $^{15}_7\text{N}$, $^{17}_9\text{F}$; (B) $^{12}_6\text{C}$, $^{14}_7\text{N}$, $^{19}_9\text{F}$ (C) $^{14}_6\text{C}$, $^{14}_7\text{N}$, $^{17}_9\text{F}$; (D) $^{14}_6\text{C}$, $^{14}_7\text{N}$, $^{19}_9\text{F}$

4. নিচের কোন কোনটি সমঘর? (A) $20p + 17n$ (B) $18p + 22n$ (c) $20p + 20n$ (D) $20p + 15n$.

5. শূন্যস্থান পূর্ণ করুন : (i) নির্দিষ্ট শক্তি সমন্বিত আলোক রশ্মিকে — বলে। (ii) নির্দিষ্ট ভর ও আধান সংখ্যা বিশিষ্ট কেন্দ্রকে — বলে।

10-5 কেন্দ্রকীয় সুস্থিতি (Nuclear stability)

কেন্দ্রকক সমূহকে আমরা দুভাগে ভাগ করতে পারি তাদের সুস্থিতির উপর ভিত্তি করে। স্বভাবতঃই এই বিভাগ দুটি—(i) সুস্থিত ও (ii) অসুস্থিত বা তেজস্ক্রিয়।

যেসব কেন্দ্রকক $\sim 10^{21}$ বছর পর্যন্ত অবিকৃত থাকে অর্থাৎ তাদের উপাদান নিউট্রন ও প্রোটন এর সংস্থার

কোনই পরিবর্তন হয় না তাদের স্থায়ী (bemanent) বা স্থিতি (stable) বলে। অবশ্য বর্তমানের উন্নততর বীক্ষণ ও নিরূপণ যন্ত্রের আবিষ্কারের ফলে এই সীমা আরও বাড়াবার প্রয়োজন হয়ে পড়েছে। যেমন এককাল ^{130}Te কে আমরা স্থায়ী বলে জানতাম। কিন্তু এখন দেখা যাচ্ছে এটি তেজস্ক্রিয়—যদিও তেজস্ক্রিয়তা খুবই কম, এর অধায়ুকাল 10^{21} বছর। স্থিতি কেন্দ্রিকের কেন্দ্রক -10 ক্রমই-ভি বা তার বেশি শক্তির কণা বা রশ্মি দ্বারা আঘাতের মাধ্যমে বা কেন্দ্রকণ অধিগ্রহণ (capture)-এর মাধ্যমে পরিবর্তিত হতে পারে। প্রকৃতিতে প্রাপ্ত 274 টি কেন্দ্রিকক স্থিতি বলে মানা হয়। কেমন ^1H , ^2H , ^{16}O , ^{17}O , ^{18}O , ^{19}F , ^{23}Ne , ^{27}Al , ^{31}P , ^{35}Cl , ^{37}Cl , ^{63}Cu , ^{65}Cu ইত্যাদি। প্রশ্ন আপনাদের মনে জাগতেই পারে এই স্থিতির জন্য দায়ী কী? কেন কিছু কেন্দ্রিকক স্থিতি এবং অন্যেরা অস্থিতি।

বহুসংখ্যক স্থিতি ও অস্থিতি কেন্দ্রিকক পর্যালোচনা করে এই স্থিতি—অস্থিতির যেসব কারণ খুঁজে পাওয়া গেছে সেগুলিই এখন আমরা আলোচনা করব।

10.5.1 কেন্দ্রকণের সংখ্যার যুগ্ম-অযুগ্ম প্রকৃতি (Even-odd nature of the number of nucleons)

সারণি 10-3 লক্ষ্য করুন :

সারণি 10-3

Z	N	A (= Z + N)	স্থিতি কেন্দ্রিককের সংখ্যা	উদাহরণ
যুগ্ম	যুগ্ম	যুগ্ম	165	^2_2He , ^8_8O , $^{12}_{12}\text{Mg}$, $^{208}_{82}\text{Pb}$
অযুগ্ম	অযুগ্ম	অযুগ্ম	55	$^8_{17}\text{O}$, $^{12}_{25}\text{Mg}$, $^{26}_{57}\text{Fe}$
অযুগ্ম	যুগ্ম	অযুগ্ম	50	^3_7Li , $^9_{19}\text{F}$, $^{29}_{63}\text{Cu}$
অযুগ্ম	অযুগ্ম	যুগ্ম	5	^1_1H , ^3_6Li , $^5_{10}\text{B}$, $^7_{14}\text{N}$, $^{73}_{180}\text{Ta}^*$

* এর একটি অস্থিতকাল সময় $(t_{1/2} = 8.1 \text{ ঘ.})$ আছে।

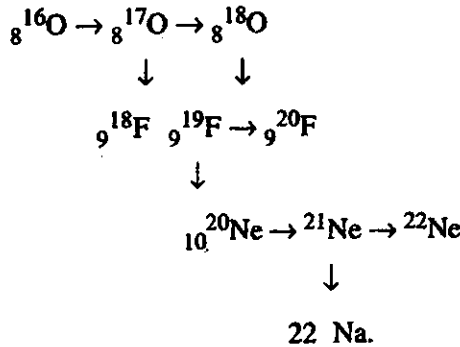
এই সারণিটি বিশ্লেষণ করলে যে সব সিদ্ধান্তে করা যায় সেগুলি হল (i) Z ও N উভয়ই যুগ্ম হলে সর্বোচ্চ সংখ্যক স্থিতি কেন্দ্রিকক সম্ভব। স্থিতির মূলে n-n ও p-p জোঁট গঠনের ভূমিকার গুরুত্ব এতে ধরা পড়ে। (তুলনীয় ইলেক্ট্রন জোঁট গঠনের মাধ্যমে স্থিতি অণু গঠন)। পৃথিবী পৃষ্ঠে ও দেখবেন 85% ই যুগ্ম-Z, যুগ্ম-N কেন্দ্রিকক বিশিষ্ট মৌল দিয়ে গঠিত (সারণি 10-4)

সারণি 10-4

মৌল	8^{16}O	14^{28}Si	26^{56}Fe	20^{40}Ca	12^{24}Mg	
শতকরা মাত্রা (ওজন)	48		26	5	3.5	2
মোট	85%					

প্রায় 13% গঠিত হয়েছে অযুগ্ম Z যুগ্ম N (যেমন 13^{27}Al , 11^{23}Na , 19^{39}K) মৌল দিয়ে।

(ii) Z বা N অযুগ্ম-এরকম সুস্থিত কৌশ্লিককের সংখ্যা উভয়ই যুগ্ম, এমন ক্ষেত্রের এক-তৃতীয়াংশ। আবার অযুগ্ম -Z এমন ক্ষেত্রের সংখ্যা অযুগ্ম -N, এমন ক্ষেত্রে প্রায় সমান। অর্থাৎ p ও n-এর আবরণ প্রায় একইরকম। অন্য ভাবে বলা বলা যায় কেন্দ্রকণের আচরণ আধান-নিরপেক্ষ। প্রোটন কিন্তু নিউট্রনের সঙ্গে জোট বাঁধে না। জোট বাঁধা ঘটে n+n, p+p, n+n; এই ক্রমে। অক্সিজেন থেকে ক্রোরিন—এই হালকা মৌলগুলির ক্ষেত্রে সুস্থিত কৌশ্লিকক গড়ে ওঠে এভাবে; প্রথমে একবারে একটি করে দুটি n যুক্ত হয়; তারপর একটি করে দুটি p যুক্ত হয় ও তারপর আবার n-এর পালা। তাই যুগ্ম Z হলে A, A+1, A+2- এই তিনটি সমঘর হতে পারে, কিন্তু অযুগ্ম Z হলে একটিই সমঘর হবে। দেখুন, কেমন অনুভূমিক দিকে n যোগ হয়ে।



সমঘর তৈরি হচ্ছে, আর কিছুই উল্লখ দিকে p যোগ হয়ে নতুন মৌল তৈরি হচ্ছে। n+n, p+p, n+n.... এই নিয়মের ব্যাখ্যা ঘটলে তেজস্ক্রিয় কৌশ্লিকক গঠিত হয় (উপরের ক্রমে → ক্ষেত্রে গুলিতে)।

10.5.2 নিউট্রন-প্রোটন অনুপাত এবং বিভিন্ন ধরনের বিভাজন (neutron to proton ratio and different modes of decay)

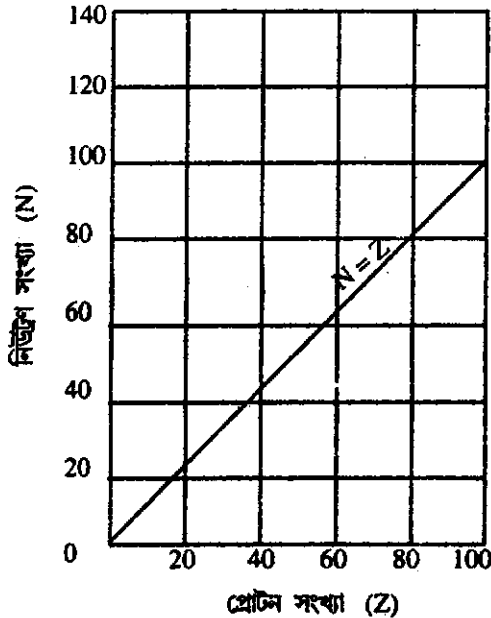
1^1H দ্বারা সব কৌশ্লিককে n ও p উভয়ই আছে। সুস্থিত কৌশ্লিককের ক্ষেত্রে N/Z অনুপাত ≥ 1 । ${}_{20}^{40}\text{Ca}_{20}$ পর্যন্ত হালকা কৌশ্লিককের ক্ষেত্রে এই অনুপাত = 1, এবং ভারী কেন্দ্রকের ক্ষেত্রে এই অনুপাত > 1 (সারণি 10-5 দেখুন)। চিত্র 10-3 [সেগ্রী (Sgre¹) র ভাস্কিকা]-এ Z-এর সাপেক্ষে সুস্থিত কৌশ্লিককের ক্ষেত্রে N ক্রমে Z পরিবর্তন দেখানো হয়েছে।

সারণি 10-5

A_X	${}^2_1\text{H}$	${}^{20}_{10}\text{Ne}$	${}^{40}_{20}\text{Ca}$	${}^{64}_{30}\text{Zn}$	${}^{90}_{40}\text{Zr}$	${}^{120}_{50}\text{Sn}$	${}^{150}_{60}\text{Nd}$	${}^{202}_{80}\text{Hg}$
Z	1	10	20	30	40	50	60	80
N	1	10	20	64	50	70	90	122
N/Z	1.00	1.00	1.00	1.13	1.25	1.40	1.50	1.53

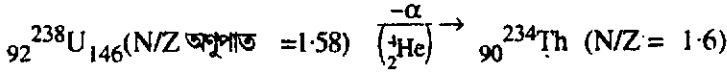
বহু সংখ্যক মৌলেরই একাধিক সুস্থিত সমঘর আছে, তাই লেখচিত্রটি পটির আকার নিয়ে, Z বাড়ার সঙ্গে পটিটি চওড়া হয়েছে। সব কটি সুস্থিত কেন্দ্রিকক এই পটির মধ্যে পড়ে, আর বাইরে পড়লে তারা তেজস্ক্রিয় হবেই। পটির উপরে পড়লে সুস্থিতির জন্য প্রয়োজনীয় সংখ্যাকের বেশি n-এর উপস্থিতির দ্যোতনা হয়; সেক্ষেত্রে $n \rightarrow p$ পরিবর্তন ঘটে এবং β^- তেজস্ক্রিয়তা ঘটে এবং উৎপন্ন কেন্দ্রিকক সুস্থিতি অঞ্চলে ঢোকে। পটির নিচে থাকা কেন্দ্রিককের ক্ষেত্রে উল্লেখ্যেটো ঘটে; তখন n-এর ঘাটাই বোঝায় এবং β^+ নিঃসরণ বা ইলেক্ট্রন অধিগ্রহণ জনিত (electron capture, EC) তেজস্ক্রিয় ঘটে—ফলে $p \rightarrow n$ পরিবর্ত ঘটে কয়েকটা উদাহরণ নিম্ন : সোডিয়ামের পারমাণবিক সংখ্যা 11, একমাত্র সুস্থিত কেন্দ্রিকক ${}^{23}_{11}\text{Na}_{12}$ । একটি প্রোটন, নিউট্রন কর্তৃক প্রতিস্থাপিত হলে কেন্দ্রিকক দাঁড়াচ্ছে ${}^{23}_{10}\text{Ne}_{13}$ এটি তেজস্ক্রিয় (β^- 38 সে.)। অনুরূপে

নিউট্রন যদি একটি প্রোটন দিয়ে প্রতিস্থাপিত হয় তবে হবে ${}^{23}_{12}\text{Mg}_{11}$ —এটিও তেজস্ক্রিয় (β^+ , 12 সে.)। আবার Z অপরিবর্তিত রেখে n বিতাড়িত বা যুক্ত করলে পাওয়া যাবে যথাক্রমে ${}^{23}_{11}\text{No}_{11}$ (β^+ তেজস্ক্রিয়, 2.6 বছর) ও ${}^{24}_{11}\text{Na}_{13}$ (β^- সক্রিয়, 15 ঘ.)।



কাজেই দেখা যাচ্ছে একটি আদর্শ (optimum) N/Z অণুপাত কেন্দ্রিকীয় সুস্থিতির একটি গুরুত্বপূর্ণ সর্ত।

ভারী কেন্দ্রকের ক্ষেত্রে। সুস্থিতির জন্য প্রয়োজনীয় সংখ্যকের কম প্রোটন থাকলে সাধারণত α -কণা নিঃসৃত হয় অর্থাৎ একই সাথে $2p$ ও $2n$ বেরিয়ে যায়।



অবশ্য এই Th সমঘরও তেজস্ক্রিয়তে সক্রিয়)।

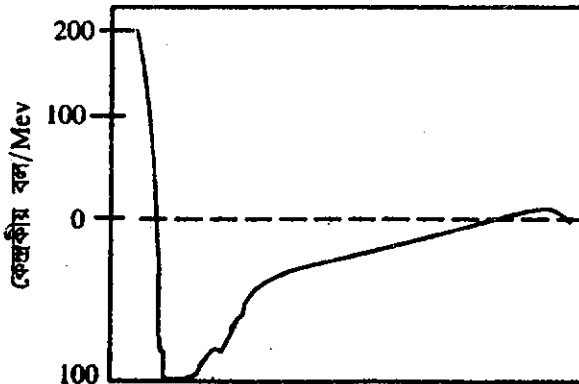
অনুশীলনী—4

1. কোটি অসুস্থিত? (A) ${}_{6}^{10}\text{B}$, (B) ${}_{4}^{10}\text{Be}$, (c) ${}_{7}^{14}\text{N}$, (d) ${}_{8}^{16}\text{O}$

2. ${}_{15}^{30}\text{P} \rightarrow ?$

10-6 কেন্দ্রিকীয় বল (Nuclear force)

কেন্দ্রিকীয় আকর্ষণ বল দ্বারা কেন্দ্রকগুলি কেন্দ্রকে বন্ধ থাকে। এই বল অত্যন্ত তীব্র এবং দূরত্বের সামান্যতম পরিবর্তনেই প্রভাবিত হয়। 8×10^{-16} মি. দূরত্বে এই বল তীব্রতম। এর চেয়ে কম দূরত্বে এটি দূরত্বের সঙ্গে দ্রুত কমতে থাকে। এবং 5×10^{-16} মি. দূরত্বে বিকর্ষণ বলে রূপান্তরিত হয়। দূরত্ব বাড়লেও আকর্ষণ বল কমতে থাকে (তবে কম দ্রুততায়) এবং 4×10^{-15} মিটারের কাছাকাছি দূরত্বে এই বল প্রায় শূন্য। (চিত্র 10-5)। তাহলে দাঁড়াচ্ছে যে কেন্দ্রিকীয় বল খুব ছোট্ট একটা পরিসরের (0.5–4fm) মধ্যে কার্যকরী হয়। পরীক্ষা থেকে দেখা গেছে যখন উচ্চ গতি সম্পন্ন প্রোটন অন্য একটি প্রোটন বা হাইড্রোজেনের কেন্দ্রকের দিকে প্রক্ষিপ্ত হয়, তখন এই প্রক্ষিপ্ত কণা লক্ষ্য থেকে 10^{-15} মি. দূরত্বে এলে এদের বিকর্ষণ বল অতিক্রান্ত হয়।



কেন্দ্রকগুলির আন্তরী দূরত্ব 10^{-15} মি. (চিত্র 10-4)

এই বলের পরিমাপ কিন্তু খুবই বেশি। যেমন দুটি প্রোটিনের মদো কেন্দ্রকীয় বল তাদের মধ্যকার বিকর্ষণ বল (যা প্রায় 6 ঘন বার) এর প্রায় 40 গুণ। দূরত্ব বাড়ার সঙ্গে কেন্দ্রকীয় বলের হ্রাস এবং কেন্দ্রকণের সংখ্যা বৃদ্ধি হলে বিকর্ষণ বলের অব ধারণীয় বৃদ্ধি ভারী কেন্দ্রককের অনুস্থিততা ব্যাখ্যা করে। সুস্থিত কেন্দ্রকের ক্ষেত্রে আকর্ষণ বল বিকর্ষণ বলের চেয়ে নিশ্চিতভাবেই বেশি, নতুবা স্বতস্ফূর্ত বিভাজন ঘটবে।

এই কেন্দ্রকীয় বল ও কেন্দ্রকীয় সুস্থতা কীভাবে ব্যাখ্যাত হতে পারে সে তত্ত্ব পরের অংশে দেওয়া হল।

10.6.1 সংকুলন-ভগ্নাংশ (Packing fraction)

কেন্দ্রককের ভর (পারমাণবিক ভর এককে)-এর নিকটতম পূর্ণ সংখ্যাকে ঐ কেন্দ্রককের ভর সংখ্যা (mass number) বলে। প্রকৃত সমঘরীয় ভর (M) এবং ভর সংখ্যার (A) পার্থক্যকে বলে সংশ্লিষ্ট কেন্দ্রককের ভরত্রুটি (mass defect) বলে।

$$\text{অর্থঃ } \Delta M = M - A \text{। M}$$

অ্যাস্টন সংকুলন-ভগ্নাংশ অভিধা-বিশিষ্ট একটি রাশি প্রবর্তন করেন। এর সংখ্যা নিম্নরূপঃ

$$\text{সংকুলন ভগ্নাংশ } f = \frac{\text{সমঘরীয় ভর (M) — ভর সংখ্যা (A)}}{\text{ভরসংখ্যা (A)}} \times 10^4$$

$$\frac{\text{ভরত্রুটি (M)}}{\text{ভর সংখ্যা (A)}} \times 10^4$$

10^4 উৎপাদকটি ব্যবহার করা হয়েছে লেখচিত্র আঁকার মত সুবিধাজনক রাশি পেতে। আবার $f = \frac{M}{A} -$

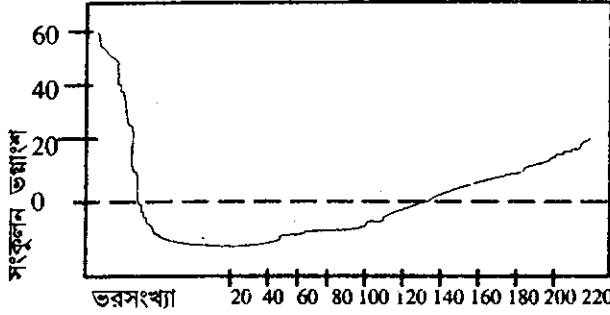
$$\text{। বা, } M = A(1y)$$

সংকুলন ভগ্নাংশের কোন তাত্ত্বিক গুরুত্ব নেই, কিন্তু এ থেকে আমরা কেন্দ্রকের সুস্থিতির ধারণা পাই। ঋণাত্মক সংকুলন ভগ্নাংশ হলে বোঝায় যে M ঋণাত্মক। এর অর্থ এই যে কেন্দ্রক গঠন কালে কিছু ভরের হ্রাস ঘটেছে এবং সেই ভর শক্তিতে রূপান্তরিত হয়েছে। কেন্দ্রকটিকে ভাঙতে হলে সমপরিমাণ শক্তি সরবরাহ করতে হবে। সংস্থলন ভগ্নাংশ যত ধনাত্মক হবে, কেন্দ্রক ততই সুস্থিত হবে। অন্যদিকে ধনাত্মক সংকুলন ভগ্নাংশ যত ঋণাত্মক হবে, কেন্দ্রক ততই সুস্থিত হবে। অন্য দিকে ধনাত্মক সংকুলন ভগ্নাংশের অর্থ অসুস্থিত কেন্দ্রক। চিত্র 10.5 -এ বিভিন্ন সুস্থিত কেন্দ্রককের ক্ষেত্রে সংকুলন ভগ্নাংশ ও ভর সংখ্যার লেখচিত্র দেখানো হয়েছে। দেখা যাচ্ছে।

(ক) সংকুলন ভগ্নাংশগুলি সম্ভবতঃ রেখার উপর পড়ে।

(খ) 50—60 ভরসংখ্যার সীমায় f এর মাল আ—অর্থঃ সর্বোচ্চ সুস্থিত।

(গ) এই অধম মানের পরে আবার f বাড়তে থাকে এবং অবশেষ F এর সমধনাত্মক হয়। ভারী মৌলের তেজস্ক্রিয়তার সঙ্গে এই ঘটনা সম্মতিপূর্ণ।



গণনা : ${}_{28}^{58}\text{Ni}$ -এর সংকুলন ভগ্নাংশ

$$f = \frac{M - A}{A} = \frac{57.942 - 58}{58} \times 10^4 = -10.$$

কিন্তু দেখা যায় যে ${}_{5}^{10}\text{B}$ (পারমাণবিক গুরুত্ব 10.0161) এর ক্ষেত্রে

$$f = \frac{10.0161 - 10}{10} = +16.1$$

এই কেন্দ্রকের তো সুস্থিত হওয়ার কথা নয়। কিন্তু বাস্তবে তো এটি অত্যন্ত সুস্থিত। যদি আমরা কেন্দ্রকণের

প্রকৃত ভর নিই তাহলে $f = \frac{10.0161 - 10 \times 1.008}{10} \times 10^4 = -63.9.$

অর্থাৎ এটি সুস্থিত।

এভাবে আমরা He, C, O-এর ক্ষেত্রেও প্রকৃত সংকুলন ভগ্নাংশ বের করতে পারি। আর দেখতে পারি যে কেন্দ্রকগুলি সুস্থিত।

অনুশীলনী—5

1. ${}_{2}^4\text{He}$ -এর সংকুলন ভগ্নাংশ বের করুন। প্রাপ্ত মান থেকে এর কেন্দ্রক সম্বন্ধ কী ধারণা পাওয়া যায়? এ ধারণা কি প্রকৃত তথ্যের সঙ্গে মেলে? অসঙ্গতি ব্যাখ্যা করুন। He-এর সমঘরীয় ভর = 4.002603.

10.6.2 কেন্দ্রকীয় বন্ধন শক্তি

আপনারা আগের অংশে দেখলেন যে 'প্রকৃত ভর-ত্রুটি' সংজ্ঞায়িত হওয়া উচিত কেন্দ্রকের পুরো প্রকৃত ভর এবং সমঘরের প্রকৃত ভর (Isotopic mass)-এর পার্থক্য। 160-এর সাপেক্ষে পারমাণবিক ভরের ভৌত স্কেলে, নিউট্রনের ভর (m_n) 1.008989 এবং প্রোটনের ভর (m_p) 1.00757 পারমাণবিক ভর একক (এ-এম্-ইউ) (1 এ-এম্-ইউ = $1/6.02 \times 10^{23} = 1.661 \times 10^{-24}$ গ্রাম. = 1 ডালটন)।

$$\therefore Z^A M_{A-Z} \text{ পরমাণুর ভর-ক্রটি} = [Z(m_p + m_e) + (A-Z)m_n] - M(A,Z) = \Delta M$$

Z = পারমাণবিক সংখ্যা, A = ভর সংখ্যা, $M(A,Z)$ = সমঘরীয় ভর,

m_e = ইলেকট্রনের ভর = 0.000575 এ-এম্-ইউ।

$$\therefore \Delta M = Z \cdot m_H + (A - Z)m_N - M(A,Z) \text{ [} m_H \text{ = হাইড্রোজেন পরমাণুর ভর]}$$

যখন কেন্দ্রকণরা পরস্পরের খুব কাছে ($\sim 1\text{fm}$) আছে তখন তাদের মধ্যে তীব্র এক আকর্ষণ বল সৃষ্টি হয়, এবং একটি পরমাণু কেন্দ্রক গঠিত হয়। এই পদ্ধতিতে শক্তির উদ্ভব ঘটে, এই শক্তির নাম কেন্দ্রকীয় বন্ধন শক্তি। এটি সেই পরিমাণ শক্তি যা প্রয়োগ করে কেন্দ্রককে কেন্দ্রকণে ভেঙে ফেলে। এই শক্তি আসে কোথা থেকে? ভরক্রটির হিসাবে যে টুকু ভরের হ্রাস ঘটে তা-ই, আইনস্টাইনের ভর-শক্তি-তুল্যতা সূত্র ($E = \Delta m C^2$, C = আলোর গতিবেগ = 2.998×10^8 মি. সে⁻¹) অণুসারে শক্তিতে রূপান্তরিত হয়।

$$\therefore \text{কেন্দ্রকীয় বন্ধন-শক্তি} = [Zm_H + (A - Z)m_N - M(A,Z)] \times 931 \text{ Mev}$$

($\therefore 1$ এ-এম্-ইউ = 931 মিলিয়ন ইলেকট্রন ভোল্ট)

এবং প্রতি কেন্দ্রকণে কেন্দ্রকীয় বন্ধন-শক্তি

$$= f_B = \frac{931}{A} [Zm_H + (A - Z)m_N - M(A,Z) \text{ Mev}]$$

কেন্দ্রকণ

f_B কে বলা হয় বন্ধন ভগ্নাংশ।

আসুন, আমরা একটা গণনা দেখে নিই।

${}^4_2\text{He}_2$ -এর কেন্দ্রকীয় বন্ধন-শক্তি।

$$\Delta M = 2m_p + 2m_n -$$

$$M(A=2, Z=2)$$

$$= 2 \times 1.008145 + 2 \times 1.008986$$

$$- 4.803874 = 0.030388$$

$$\text{এ-এম্ ইউ} = 0.030388 \times 931$$

$$= 28.29 \text{ Mev.}$$

$$\therefore (F_B)_{\text{He}} = \frac{2829}{4} = 7.07 \text{ Mev/কেন্দ্রকণ}$$

ভর-সংখ্যা বনাম বন্ধন-ভগ্নাংশের, লেখচিত্র 10.5 চিত্রে দেখানো হল।

$$1 \text{ এ-এম্ ইউ} = 1.661 \times 10^{-24} \text{ গ্রা।}$$

$$= 1.661 \times 10^{-24} \times (2.998 \times 10^{10})^2 \text{ আর্গ}$$

$$= 1.4979 \times 10^{-3} \text{ আর্গ}$$

$$\text{এদিকে, } 1 \text{ ইভি} = 1.602 \times 10^{-19} \text{ কুলম্ব} \times 1 \text{ ভোল্ট}$$

$$= 1.602 \times 10^{-19} \text{ জুল}$$

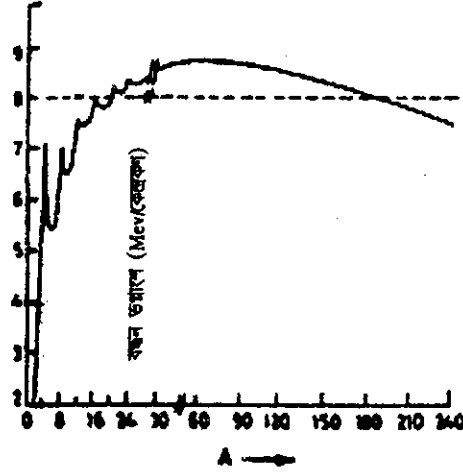
$$= 1.602 \times 10^{-12} \text{ আর্গ}$$

$$\therefore 1 \text{ এ-এম্-ইউ}$$

$$= \frac{1.4929 \times 10^{-3}}{1.602 \times 10^{-12}} = 9.31 \times 10^8 \text{ ইভি}$$

$$= 931 \text{ Mev}$$

চিত্রে দেখা যাচ্ছে ভরসংখ্যা বৃদ্ধির সঙ্গে f_B 8.7 Mev/কেন্দ্রকণ (Fe, Ne ও ... মৌলের ভর-সংখ্যা নাগাদ সর্বোচ্চ মানে পৌঁছে, এবং তার পরে তা কমে কমে 7.5-এ (235)-র ক্ষেত্রে) নেমে আসে। কাজেই দেখা যাচ্ছে কম ও বেশি ভরসংখ্যা-বিশিষ্ট মৌলের f_B -র মান ছোট। অর্থাৎ এরা কম সুস্থিত। ভরসংখ্যা 25 থেকে 180 পর্যন্ত কেন্দ্রকসমূহের স্থল লেখচিত্রের মাঝামাঝি—যেখানে f_B -র মান ~ 8.5 এবং তারা হালকা ও ভারী মৌলসমূহের চেয়ে বেশি সুস্থিত। কেন্দ্রকীয় বিভাজন (fission) ও সংযোজন (fusion) বিক্রিয়ায় উদ্ভূত কেন্দ্রকের f_B বিক্রিয়ক কেন্দ্রকের চেয়ে বেশি। তাই এসব বিক্রিয়ার প্রভূত শক্তি নির্গত হয়। এই শক্তিকে পারমাণবিক শক্তি বা কেন্দ্রকীয় শক্তি বলা হয়।



চিত্র 10.6

অনুশীলনী—6

1. সংকুলন ভগ্নাংশ চেয়ে কেন্দ্রকীয় বন্ধন শক্তির তাত্ত্বিক তাৎপর্য বেশি কেন?
2. ${}_{26}^{56}\text{Fe}$ -এর ভর 55.9375 এ-এম-ইউ; প্রোটন ও নিউট্রনের ভর যথাক্রমে 1.00732 এবং 1.00866 এ-এম-ইউ; হলে Mev ও জুলে fc-এর কেন্দ্রকণ প্রতি বন্ধন-শক্তি বের করুন।
3. ${}^{12}\text{C}$ ও ${}^{13}\text{C}$ এর কেন্দ্রকণ প্রতি বন্ধন-শক্তি যথাক্রমে 7.68 ও 7.47 Mev/ C^{13} -থেকে একটা নিউট্রন বের করে দিতে কী পরিমাণ শক্তি লাগবে?

10.6.3 মেসন তত্ত্ব (meson theory)

দুটি প্রোটনের মধ্যে বিকর্ষণের মত কেন্দ্রকীয় আকর্ষণ বল স্থিরতাত্ত্বিক বল নয়, কারণ এক্ষেত্রে বিপরীত আধান যুক্ত কণা মিথস্ক্রিয়া ঘটায় না। তাছাড়া এই বল খুব সামান্য দূরত্বে ক্রিয়াশীল। প্রকৃতপক্ষে কেন্দ্রকীয় আকর্ষণ বল আধান-নিরপেক্ষ—কারণ আমরা দেখেছি এক্ষেত্রে P - P.

$n - n$ এক $n - p$ বন্ধ-যুক্ত অবস্থায় থাকে।

ঠিক যেমনটি দুটি পরমাণু ইলেক্ট্রন জোট ভাগাভাগি করে সমযোগী বন্ধ গঠন করে যার মূলে থাকে উদ্ভূত বিনিময় বল (exchange force) তেমনি প্রোটনসমূহ ও নিউট্রনসমূহ 'মেসন' নামধারী কণা দ্বারা পরস্পর সংবদ্ধ থাকে। কেন্দ্রকের বাইরে এই মেসন কণা খুবই অনুস্থিত। এই মেসন বিনিময়ের ফলেই কেন্দ্রকীয় বলের উদ্ভব হয়। ইউকাওয়া (H. Yukawa)-র মতানুসারে কেন্দ্রকণ সমূহের মিথস্ক্রিয়ায়, মেসনের উৎপত্তি ও অবলুপ্তির মাধ্যমে কেন্দ্রকীয় বন্ধন-বলের উদ্ভব ঘটে। π মেসন বা পায়ন কেন্দ্রকণগুলি পরস্পরের সঙ্গে ধরে রাখে। কেন্দ্রকণের মধ্যে পায়নের অত্যন্ত অবস্থান পরিবর্তন (oscillation) কেন্দ্রকণসমূহের মধ্যের আকর্ষণ বলের জন্য দায়ী। এ থেকে ইলেক্ট্রন পজিট্রনের উৎপত্তি (তেজস্ক্রিয় বিঘণের সময়) ও ব্যাখ্যা করা যায়।

$$n \rightleftharpoons p + \pi^-$$

$$\pi^- \rightleftharpoons \mu^- + \gamma$$

$$\mu^- \rightleftharpoons \beta^- + 2\gamma$$

$$[\mu \equiv \text{মিউমমেসন} \quad \gamma \equiv \text{মিউঅন};$$

$$\gamma \equiv \text{নিউট্রিনো}]$$

আবার,

$$p \rightleftharpoons n + \pi^+$$

$$\pi^+ \rightleftharpoons \mu^+ + \gamma$$

$$\mu^+ \rightleftharpoons \beta^+ + 2\gamma$$

যেক্ষেত্রে N/Z অনুপাত 1-এর বেশি সেখানে π^0 বা প্রথম পায়নের বিনিময় নিউট্রন-নিউট্রন আকর্ষণ ঘটে।

$$n \rightleftharpoons n + \pi^0$$

অণুরূপে

$$p \rightleftharpoons p + \pi^0$$

অনুশীলনী—6

1. কেন্দ্রকে ইলেক্ট্রন নেই, কিন্তু তেজস্ক্রিয় বিঘণে β -রশ্মি বের হয় কীভাবে?

10.6.4 যাদু সংখ্যা (Magic numbers)

গভীর নিরীক্ষা করে দেখা গেছে 2, 8, 20, 28, 50, 82, 126 সংখ্যক কেন্দ্রকণ প্রোটন বা নিউট্রন বা দুইই থাকলে কেন্দ্রক বিশেষভাবে সুস্থিত হয় এবং সময়ের সংখ্যাও সে সব ক্ষেত্রে বেশি হয়। এই সংখ্যাগুলিকে যাদু সংখ্যা বলে। উদাহরণ : 8^{16}O_8 , 20^{40}Ca_{20} , 82^{208}Pb_{126} , পরবর্তীকালে এদের কোষ (shell) সংখ্যা বলা হয়েছে। উক্ত সংখ্যায়ুক্ত কেন্দ্রকের সুস্থিতি বোঝাবার জন্য নিচের তথ্যগুলি লক্ষ্য করুন।

() 20 ও 50 টি প্রয় বা 20, 50 ও 82 টি নিউট্রন সমষ্টি কেন্দ্রকের সুস্থিত সময়ের সংখ্যা যৌগ। 50Sn এর সময় সংখ্যা 10 (সর্বাঙ্গি), 20Ca -এর আছে 6 টি।

(ii) বিশ্ব-ব্রহ্মাণ্ডে যাই সংখ্যক কেন্দ্রকণ বিশিষ্ট কেন্দ্রককের (যেমন : 8^{16}O_8 , 20^{40}Ca_{20} , 38^{88}Sr_{50} , 50^{110}Sn_{68} , 50^{118}Ba_{82} , 82^{208}Pb_{126}) প্রাপ্তির পরিমাণ একই ভরসংখ্যা অঞ্চলে অবস্থিত অন্য কেন্দ্রককের চেয়ে বেশি।

(iii) 8^{17}O , 36^{87}Kr , 54^{137}Xe নিউট্রন ত্যাগ করে যাদুসংখ্যক নিউট্রন বিশিষ্ট কণায় পরিণত হয়।

(iv) যাদু সংখ্যক নিউট্রন বিশিষ্ট কেন্দ্রকক কিন্তু নিউট্রন গ্রহণ করতে পারজ্বুখ—তাদের নিউট্রন গ্রহণ প্রস্থচ্ছেদ খুব কম।

(v) $4n$, $4n + 2$, $4n + 3$ -এই তিনটি তেজস্ক্রিয় সারণির শেষতম মৌল তিনটি যথাক্রমে 82^{208}Pb_{126} , 82^{206}Pb_{124} , 82^{201}Pb_{125} । সবক্ষেত্রেই দেখা যাচ্ছে যাদুসংখ্যক প্রোটন তো বটেই, একক্ষেত্রে (82^{208}Pb) যাদু সংখ্যক নিউট্রন ও থাকে।

ইলেক্ট্রনের কক্ষ-গঠনের সঙ্গে সাযুজ্য রেখে যাদু-সংখ্যার গুরুত্ব ব্যাখ্যা করার জন্য কেন্দ্রকণেরও কক্ষ-গঠনের ধারণা দেওয়া হয়েছে। বিভিন্ন কক্ষ বা কক্ষকের নিউক্লিয়ন ধারণের ক্ষমতা ভিন্ন। যখন কোন কক্ষক নিউট্রন দিয়ে তার ক্ষমতানুযায়ী সম্পর্ক হয় (তুলনীয় এর গ্যাসের পরমাণুর বহির্তম কক্ষক ইলেক্ট্রন দিয়ে পূর্ণ হওয়ায় তাদের বিন্যাস অত্যন্ত সুস্থিত তখন কেন্দ্রক সুস্থিত হয়। যাদু সংখ্যায় এই পূর্ণতা সূচিত হয়।

10.7 কেন্দ্রক-কাঠামো সমূহ (Nuclear models)

10.7.1 প্রোটন-ইলেক্ট্রন কাঠামো।

নিউট্রনের আবিষ্কারের আগে এবং রাদার কোর্ডের বিচ্ছুরণ পরীক্ষার পরে ধারণা ছিল যে কেন্দ্রক পারমাণুর কেন্দ্রস্থলে থাকে; পারমাণুর বেশিরভাগ অংশ ফাঁকা এবং বাইরের কক্ষসমূহে ইলেক্ট্রন থাকে।

যেহেতু পরমাণুর ভরের প্রায় সবটাই কেন্দ্রে সংকীর্ণ, এবং কেন্দ্রের মোট ধনাত্মক আধান বহির্কক্ষের ধনাত্মক আধানের সমান, তাই ধরা হত যে কেন্দ্রক ইলেক্ট্রন ও প্রোটন-এর সমন্বয় গঠিত। Z^{AM} পরমাণুর কেন্দ্রে থাকবে A টি প্রোটন, $(A - Z)$ টি ইলেক্ট্রন (যাতে মোট ধনাত্মক আধান হয় $+Z$) এবং বাইরের কক্ষে থাকবে Z টি ইলেক্ট্রন। কেন্দ্রের প্রোটন ও ইলেক্ট্রন মুক্ত অবস্থায় থাকবে। এর পক্ষে আরও যুক্তি হল এই যে তেজস্ক্রিয় কেন্দ্রকীয় ধর্ম এবং তেজস্ক্রিয়তার সময় β -রশ্মি বের হয়। বিপক্ষের মত্বি এই : (i) কেন্দ্রকের আকার ইলেক্ট্রনের আকারের প্রায় সমান কাজেই কেন্দ্রকে মুক্ত ইলেক্ট্রন থাকায় সম্ভাবনা নেই।

(ii) ধরা যাক 7^{14}N পরমাণুর কেন্দ্রকের কথা। এতে 14 টি প্রোটন 37 টি কেন্দ্রকীয় ইলেক্ট্রন থাকবে।

14 টি প্রোটনের মোট ঘূর্ণন $R/2\lambda$ এককে 'O' একে 7 টি ইলেক্ট্রনের এক একক অর্থাৎ $+\frac{1}{2}$ বা $-\frac{1}{2}$ । কিন্তু ঘূর্ণনের পরীটালঙ্ক মান '1' অর্থাৎ 2 একক।

নিউট্রনের আবিষ্কারের পর এই সমস্যার সমাধান হল। ${}^{14}_7\text{N}_7$ এ 7 টি ইলেক্ট্রনের ঘূর্ণন $-\frac{1}{2}$, এবং 7 টি নিউট্রনের $\frac{1}{2}$ — অর্থাৎ মোট 1।

10-7-2 কক্ষ কাঠামো (shell model)

এখন, কেন্দ্রকে প্রোটন ও নিউট্রন বা এক কথায় কেন্দ্রকণগুলি কীভাবে সাজানো থাকে?

যাদু-সংখ্যার ধারণা পাবার পর এর গুরুত্ব ব্যাখ্যা করায় প্রচেষ্টা হতে থাকল। এদিকে বহির্কেন্দ্রিকীয় (extranuclear) ইলেক্ট্রন বিন্যাস এবং পূর্ণকক্ষক বিন্যাস সুস্থিতির কারণ, পরিষ্কার হতেই কেন্দ্রকের সুস্থিতির জন্য ও অণুরূপ কেন্দ্রীয় উপাদানের বিন্যাস ভাবা হচ্ছিল (নিউট্রন আবিষ্কারের পূর্বেই)। যাদু-সংখ্যার আবিষ্কারের পর এই প্রচেষ্টা নতুন উদ্যম পেল। 1933-এ ডব্লিউ-এম-ইলসার (W. M. Elasser) এবং গড়ে 1948-এ মারিয়া জি. মেয়ার (Maria G. Mayer) এবং জে-এইচ-ডি ইয়েনসেন (J. H. D. Iensen) ও এইচ-ই-সুয়েস (H. E. Suess) পৃথকভাবে কক্ষ-কাঠামো উপস্থাপিত করলেন।

এই কাঠামোতে বলা হয় যে কেন্দ্রকণগুলি তথাকথিত গভীর বিভব কূপ (Rectangular potential well)-এ অবস্থান করে। প্রতিটি কেন্দ্রকণ স্বাধীনভাবে এই বিভবকূপে ঘূর্ণ্যমান অবস্থায় আছে। কেন্দ্রকণগুলির শক্তি নিরূপণ করা যায় উপযুক্ত শ্রোডিংগার সমীকরণ সমাধানের মাধ্যমে। বিভিন্ন শক্তিস্তরে কেন্দ্রকণগুলির অবস্থান গাউলির অপবর্জন নীতি দ্বারা নিয়ন্ত্রিত।

ইলেক্ট্রন-কক্ষের মত এখানেও কেন্দ্রকণগুলি একেবারে নিচের স্তর থেকে উপরের দিকে পর্যায়ক্রমে প্রবেশ করে। দেখা গেছে কিছু শক্তিস্তর খুব কাছাকাছি থাকে। এদের থেকে বেশদূরত্বে আবার কাছাকাছি অবস্থানে কতগুলি শক্তিস্তর থাকে। এই কাছাকাছি থাকা শক্তিস্তরগুলি নিয়ে একটি কক্ষ গঠিত হয়।

যখন কোন কক্ষ একই ধরণের কেন্দ্রকণ দিয়ে সম্পূর্ণ ভর্তি হয়। তখন সেখান থেকে একটি কেন্দ্রকণ সরাতে সূচুর শক্তির প্রয়োজন হয়, অর্থাৎ সম্পূর্ণ কক্ষের বন্ধন শক্তি অসম্পূর্ণ কক্ষের থেকে বেশি। এরূপ কক্ষে কেন্দ্রকণ-সংখ্যাই যাদু সংখ্যা।

কেন্দ্রকীয় কক্ষসমূহ ও তাদের কেন্দ্রকণ ধারণের ক্ষমতা নিচে দেখানো হল।

(Level design)

সংখ্যা

1s $\frac{1}{2}$

2

22p $\frac{3}{2}$

4

2p $\frac{1}{2}$

2

83d $\frac{5}{2}$

6

3d $\frac{3}{2}$

4

2S $\frac{1}{2}$

2

204f $\frac{7}{2}$

8

284f $\frac{5}{2}$

6

3p $\frac{3}{2}$

4

3p $\frac{1}{2}$

2

5g $\frac{7}{2}$

10

505g $\frac{5}{2}$

8

4d $\frac{5}{2}$

6

4d $\frac{3}{2}$

4

3s $\frac{1}{2}$

2

6h $\frac{1}{2}$

12

82

6h $\frac{1}{2}$	10
5b $\frac{1}{2}$	8
5f $\frac{1}{2}$	6
4p $\frac{1}{2}$	4
4p $\frac{1}{2}$	2
7i $1\frac{1}{2}$	14

126

উদাহরণ : ${}_{38}^{88}\text{Sr}_{50}$

নিউট্রন-বিন্যাস : $\left(1S^2_{\frac{1}{2}}\right), \left(2p^4_{\frac{1}{2}} 2p^2_{\frac{1}{2}}\right), \left(3d^6_{\frac{1}{2}} 3d^4_{\frac{1}{2}} 2S^2_{\frac{1}{2}}\right), \left(4f^8_{\frac{1}{2}}\right), \left(4f_{\frac{1}{2}} 3p^4_{\frac{1}{2}} 3p^2_{\frac{1}{2}} 5g^{10}_{\frac{1}{2}}\right)$

প্রোটন বিন্যাস $\left(1S^2_{\frac{1}{2}}\right), \left(2p^4_{\frac{1}{2}} 2p^2_{\frac{1}{2}}\right), \left(3d^6_{\frac{1}{2}} 3d^4_{\frac{1}{2}} 2S^2_{\frac{1}{2}}\right), \left(4f^6_{\frac{1}{2}} 3p^4_{\frac{1}{2}}\right)$

বিঃ দ্রঃ এই অংশটি বর্তমান অবস্থায় মনে রাখতে পারবেন না। এটি বাদ দিলে পড়ুন। পরে এই অংশ পরিষ্কার হবে।]

10-7-3 তরল (বা প্রবাহী)-ফোঁটা কাঠামো [Liquid (fluid), drop model]

নীলস্ বর (Niels Bohr) 1935-এ এই কাঠামো উপস্থিত করে না প্রধানতঃ কেন্দ্রীয় বিভাজনে (nuclear frssron) বিক্রিয়ার ব্যাখ্যা দিতেই এই কাঠামোর উপস্থাপন। এই কাঠামোর মূলে আছে কেন্দ্রকের সঙ্গে তরল-ফোঁটার সাদৃশ্য।

যেমন :

(i) একটি তরল-ফোঁটার মধ্যে একটি নির্দিষ্ট অণু নির্দিষ্ট সংখ্যক অণুর উপর তার আকর্ষণ বল প্রয়োগ করে। অর্থাৎ সব অণুর উপর করে না। এ অবস্থায় বলা হয় যে আকর্ষণ বল সম্পৃক্ততায় উপস্থিত। যদি প্রতিটি অণু বাকী সব অণুর সঙ্গে মিথস্ক্রিয়া ঘটায় তবে মিথস্ক্রিয়াশীল অণু-জোড় সংখ্যা হবে $NC_2 = N \frac{(N-1)}{2} = \frac{N^2}{2}$

[N = ফোঁটায় অণুসংখ্যা, এটি খুব বড়]

∴ আণবিক শক্তি $\propto N^2$

অপর দিকে যদি প্রতিটি অণু নির্দিষ্ট সংখ্যক অণুর সঙ্গে মিথস্ক্রিয়া ঘটায় তবে একদম ইলেক্ট্রন জোড়ের সংখ্যা N -এর সঙ্গে সরল ভেদে পরিবর্তিত হবে, এবং আণবিক স্থিতিশক্তিও N -এর সমানুপাতী হবে। পরীক্ষায় দেখা গেছে দ্বিতীয়টিই ঘটে।

তরলের ক্ষেত্রেও অণুরূপ। এক ফোঁটা তরলকে বাষ্পায়িত করতে প্রয়োজনীয় তাপ অর্থাৎ লীনতাপ a ফোঁটায় উপস্থিত অণুসংখ্যা; 2 গ্রা. তরলকে বাষ্পায়িত করতে প্রয়োজনীয় তাপ $= 2 \times 1$ গ্রা. তরলকে বাষ্পায়িত করতে প্রয়োজনীয় তাপ।

আবার কেন্দ্রকীয় বন্ধন-শক্তি \propto কেন্দ্রকণ সংখ্যা (ভর সংখ্যা)

(ii) কেন্দ্রকে উপস্থিত আকর্ষণ বল তরল ফোঁটার পৃষ্ঠ টানের অণুরূপ।

(ii) তরলের ফোঁটার মত কেন্দ্রকের ঘনত্ব আয়তন নিরপেক্ষ। কেন্দ্রকের ব্যাসার্ধ $\propto A^{1/3}$, \therefore কেন্দ্রকের আয়তন $V \propto A$ ।

\therefore কেন্দ্রকের ভর $\propto A$, ঘনত্ব $\frac{M}{V} \propto A$ নিরপেক্ষ। এ থেকে কেন্দ্রকীয় বলের সম্পৃক্ততায় ধারণাও পাওয়া যায়।

(iv) কেন্দ্রকের বিভাজনের সময় N , p , α -কণা প্রভৃতি নির্গত হয়। এই ব্যাপারটার সঙ্গে তরলতল থেকে বাষ্পীভবনের সময় নির্গত অণুর সাদৃশ আছে।

(v) কেন্দ্রকের মধ্যস্থ শক্তি তরল-ফোঁটার মধ্যস্থ শক্তির অণুরূপ। পরবর্তী সময় ভাইজ্যাকার (C. f. Weizsaker) ও বেথে (H. A. Bethe) এই সাযুজ্য ধরে নিয়ে একটি অর্ধস্থূল ভর/শক্তি ফর্মুলা প্রতিষ্ঠিত করেন। সেই ফর্মুলার সার্থক প্রয়োগ থেকে তরল-ফোঁটা-কাঠামোর পক্ষে সমর্থন পাওয়া যায়।

4.7.4 সমন্বিত (Collective) কাঠামো

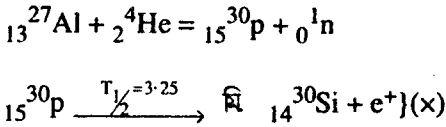
1951-তে আগে বর (Aage Bohr) ও মটেলসন (Mottelson) একটি সমন্বিত কাঠামো উপস্থিত করেন। এতে দেখানো হয়েছে কেন্দ্রকনের পরস্পারিক প্রভাবে কেন্দ্রক। তরল ফোঁটার মত বিকৃত হতে পারে। এই কাঠামোতে নির্জোঁট কেন্দ্রকণের মত পুরো কেন্দ্রকের চলন ধরা হয়েছে। আবার পূর্ণ কক্ষের বাইরের কেন্দ্রকণগুলির কোয়ান্টাম সংখ্যার ধারণাও মেমে নেওয়া হয়েছে। এতে কেন্দ্র ও তরল-ফোঁটা উভা কাঠামোর স্বীকৃতি একসঙ্গে গাঁথা হয়েছে।

10.8 কৃত্রিম (আবিষ্ট) তেজস্ক্রিয়া (Artificial or Induced Radioactivity)

কৃত্রিম বা আবিষ্ট তেজস্ক্রিয়ার ঘটনা আইরিন ক্যুরি ও এফ জোলিও ক্যুরি আবিষ্কার করেছিলেন। বোরণ, ম্যাগনেসিয়াম ও এ্যালুমিনিয়ামের উপর α -কণা প্রক্ষেপের ফল অনুসন্ধান করতে গিয়ে তাঁরা দেখেন যে দু'ধরনের রশ্মি নির্গত হয়;

(i) প্রথম ধরনের রশ্মিতে নিউট্রন বা প্রোটন থাকে, আর (ii) দ্বিতীয় ধরনের রশ্মিতে থাকে পজিট্রন বা ইলেক্ট্রন। α -কণার উৎস বন্ধ করে দিলে নিউট্রন/প্রোটন বের হওয়াও বন্ধ হয়ে যায়, কিন্তু পজিট্রন/ইলেক্ট্রন বের হতেই থাকে এবং নিঃসরণের প্রাবল্য সূচকীয়ভাবে (exponentially) বা লগারিদমীয়ভাবে কমতে থাকে। ঘটনাটি এভাবে ব্যাখ্যাও হলঃ α -কণা প্রক্ষেপের ফলে কোনও তেজস্ক্রিয় পরমাণু সৃষ্ট হল, যা কিনা তাদের ক্ষয়ের সময় পজিট্রন নিঃসৃত করে।

উদাহরণ স্বরূপ : α -কণার সঙ্গে সংঘর্ষে Al তেজস্ক্রিয় ফসফোরাস উৎপন্ন করে :

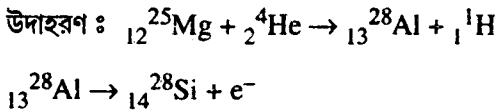


এ ধরনের তেজস্ক্রিয়তা কৃত্রিম পদ্ধতিতে ঘটানো হয় বলে একে কৃত্রিম বা আবিষ্ট তেজস্ক্রিয়তা বলে।

আরও পরীক্ষার ফলে প্রায় 500 বিভিন্ন অস্থায়ী সমঘর আবিষ্কৃত হল। পরবর্তী পরীক্ষাসমূহে এ-ও দেখা গেল যে তেজস্ক্রিয় সমঘর β -কণা বা ইলেক্ট্রন এবং এমন কী কোন কোন বিরল ক্ষেত্রে α -কণাও নির্গত হয়।

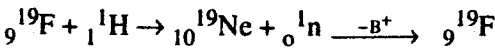
কৃত্রিম তেজস্ক্রিয়তাকে প্রক্ষিপ্ত কণার উপর নির্ভর করে কয়েকটি ভাগে ভাগ করা যায়।

(1) α -রশ্মি প্রক্ষেপণে আবিষ্ট তেজস্ক্রিয়তা : (α , p) বিক্রিয়ায় সাধারণত : স্থায়ী কেন্দ্রকই সৃষ্ট হয়, তবে কিছু কিছু ক্ষেত্রে অস্থায়ী পরমাণুও উৎপন্ন হয়, যারা β -কণা-নিঃসারী।

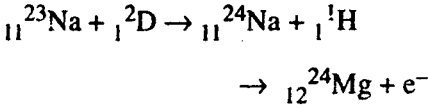


(α , n) বিক্রিয়ায় সাধারণত : β^+ - নিঃসারী তেজস্ক্রিয় পরমাণু পাওয়া যায়। যেমন পূর্বোক্ত (x) বিক্রিয়া। অল্প কিছু ব্যত্যয় বাদ দিলে, সাধারণত : হালকা মৌলই α -কণা সংঘর্ষে সাড়া দেয়; তবে Ti, Cr, Cu, Br প্রভৃতিও ত্বরান্বিত (accelerated) α -কণা সঙ্গে বিক্রিয়া ঘটায়।

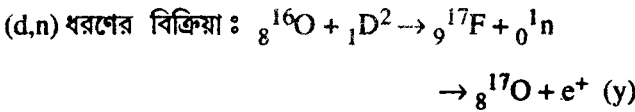
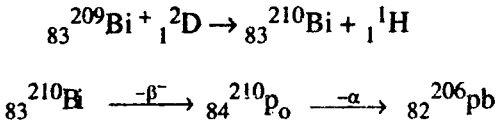
(2) প্রোটন প্রক্ষেপণে আবিষ্ট তেজস্ক্রিয়তা : প্রোটন দিয়ে সাধারণত : (p,n) ধরনের বিক্রিয়া ঘটে।



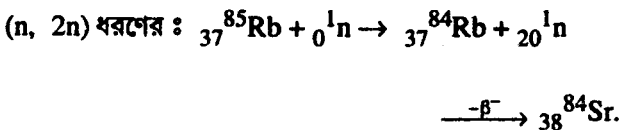
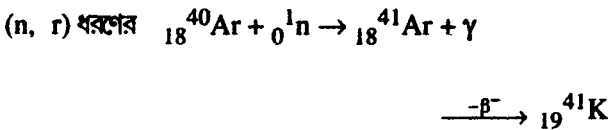
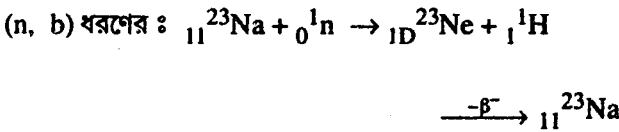
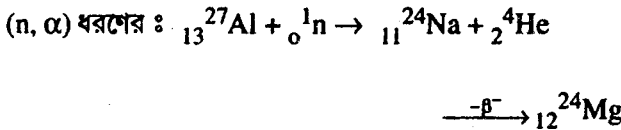
(3) ডয়টেরন প্রক্ষেপণে আবিষ্ট তেজস্ক্রিয়তা : (d,p), (d, α) ধরনের বিক্রিয়ায় তেজস্ক্রিয় পদার্থ উৎপন্ন হয়। প্রথম ধরনের বিক্রিয়ায় e^- ও দ্বিতীয় ধরনের বিক্রিয়ায় e^+ নিঃসারী পরমাণু উৎপন্ন হয়।



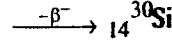
${}_{83}^{209}\text{Bi}$ এর সঙ্গে ${}_1^2\text{D}$ -এর বিক্রিয়া বেশ কৌতূহলোদ্দীপক। উদ্ভূত পদার্থ প্রথমে β -কণা নিঃসরণ করে (অর্থাৎ 5.0 দিন), তারপরে আবার α -কণা নিঃসরণ করে।



(4) নিউট্রন প্রক্ষেপণে আবিষ্ট তেজস্ক্রিয়তা : এই ধরনের বিক্রিয়াই সবচেয়ে বেশি সংখ্যক।



(5) γ -রশ্মি দ্বারা আবিষ্ট তেজস্ক্রিয়তা : উচ্চশক্তি (যথা 17×10^6 eV) γ -রশ্মি কখনও কখনও কেন্দ্রীয় বিক্রিয়ায় তেজস্ক্রিয় কণা তৈরি করতে পারে : $_{15}^{31}\text{P} + {}_0^0\gamma \rightarrow {}_{15}^{30}\text{P} + {}_0^1\text{n}$



তেজস্ক্রিয় পরমাণু সন্ধান-পদ্ধতি : এই উদ্দেশ্যে রাসায়নিক ও ভৌত উভয় পদ্ধতিই ব্যবহৃত হয়। ভৌত পদ্ধতির মধ্যে পড়ে তেজস্ক্রিয়তার ক্ষয় পরিমাণ, গাইগার মূলার গণক এবং তড়িদ্বীক্ষণ (electroswepe) ব্যবহার।

রাসায়নিক পদ্ধতিতে উদ্ভূত তেজস্ক্রিয় পদার্থ রাসায়নিক পদ্ধতিতে পৃথক করা হয়। যেমন (x) বিক্রিয়ায় ক্ষেত্রে সংঘর্ষের পর লক্ষ্যবস্তুকে HCl-এ দ্রবীভূত করা হয়। ফসফিন (AIP থেকে) নির্গত হয়—এটি e^+ -সক্রিয়।

অনুরূপ (y) বিক্রিয়ায় ক্ষেত্রে O-কে H_2O রূপে D-এ উন্মুক্ত রাখা হয়। বিক্রিয়ার পরে ঐ জল ফুটন্ত KF দ্রবণে ঢালা হয়; তা থেকে CaCl_2 দিয়ে CaF_2 অধঃক্ষিপ্ত করা হয়। এই অধঃক্ষেপ β^+ -সক্রিয়।

অনুশীলনী—7

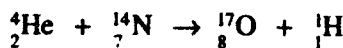
1. কৃত্রিম তেজস্ক্রিয়তার ক্ষেত্রে কখন β^+ ও কখন β^- বের হবে ... বুঝবেন?
2. শূন্যস্থান পূর্ণ করুন : তেজস্ক্রিয় ${}_6^{14}\text{C}$ —নির্গমনের ও ${}_6^{11}\text{C}$ —নির্গমনের মধ্যে বিঘটিত হয়।
3. ঠিক উত্তর বাছুন :

${}_{13}^{27}\text{Al}$ সুস্থির। ${}_{13}^{29}\text{Al}$ বিঘটিত হবে :

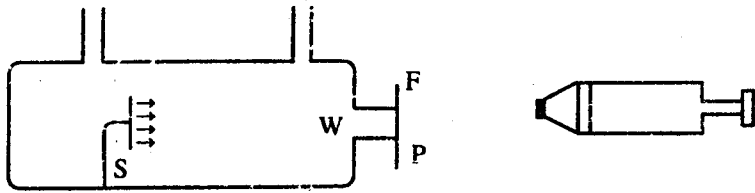
- (A) নিউট্রন (B) পজিট্রন (c) α (D) B নির্গমনের মাধ্যমে।

10.9 কৃত্রিম কেন্দ্রীয় উপস্ফুতি (Nuclear Transmutation) বা কেন্দ্রীয় রূপান্তর (Nuclear Transformation)

1919 খ্রিস্টাব্দে রাদারফোর্ড প্রথম মৌলের কৃত্রিম উপস্ফুতি ঘটাতে সক্ষম হয়। তিনি দেখেন যে N_2 গ্যাসকে α -কণা দিয়ে আঘাত করলে 1 প্রোটন বের হয়।



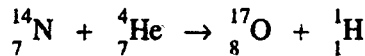
রাদারফোর্ডের যন্ত্র ছিল নিম্নরূপ (চিত্র 10.7)



(চিত্র 10.7)

A একটি বন্ধপাত্র। একে গ্যাস ঢোকাবার যন্ত্র প্রবেশপথ এবং ম্যানোমিটারের সঙ্গে সংযোগের জন্য বাহিরপথ আছে। S α -কণার উৎস ($^{214}_{83}\text{Bi}$) এবং P একটি প্রতিপ্রভ পর্দা (ZnS-এর) সিলভারের পাতলা পাত দিয়ে আটকানা জানালা W-র ঠিক বাইরে অবস্থিত। P-র পিছনেই আছে পর্দার দীপন (scintillation) দেখার জন্যে অণুবীক্ষণ যন্ত্র M। S ও P-র মধ্যবর্তী দূরত্ব বাকানো যায়।

রাদারফোর্ডের পরীক্ষায় F-এর বেধ এমনই ছিল যে S- থেকে বের হওয়া α -কণা এতে শোষিত হবে। S—P দূরত্ব α -র পাল্লার চেয়ে কম করা হল, ফলে F-এ আপতিত হয়ে α কণা পর্দায় দীপনের সুযোগ পাবে না। A কে N_2 দিয়ে ভর্তি করা হল, কিছু সময় পরেই দীপন দেখা যেতে লাগল। $SP > 40$ সেমি করার পরেও এই দীপন অব্যাহত থাকল। এ থেকে রাদারফোর্ড সিদ্ধান্ত করলেন যে N_2 -এর সঙ্গে প্রক্ষিপ্ত α -কণার সংঘর্ষ বাধে—ফলে দীর্ঘতর পাল্লার নতুনতর কণা তৈরি হয়—এরাই দীপটার জন্য দায়ী। চৌম্বক ক্ষেত্রে বিক্ষেপ থেকে বোঝা গেল যে এই কণারা প্রোটন অর্থাৎ নিচের উপবৃত্তে ঘটছে :



বিক্রিয়াটিকে $^{14}_7\text{N} (\alpha, p)^{17}_8\text{O}$ —এভাবে লেখা হয়।

এখানে $^{14}_7\text{N}$ -কে বলা হয় লক্ষ্য বস্তু (target), α -প্রক্ষিপ্ত কণা (projectile), P-নিঃসৃত (ejected) কণা ও $^{17}_8\text{O}$ -কে বলা হয় অবশিষ্ট (residual) কেন্দ্রক।

উপবৃত্ত আবিষ্কারের পর এরকম বাহু বিক্রিয়াই আবিষ্কৃত হয়েছে—এদের ক্ষেত্রে α -কণা, প্রোটন, ডয়েটেরন (^2_1D), নিউট্রন (^1_0n), এমন কী γ -রশ্মি পর্যন্ত প্রক্ষিপ্ত কণা হিসেবে ব্যবহৃত হয়েছে। α -কণা, প্রোটন ও ডয়েটেরন ধনাত্মক আধানযুক্ত কণা হওয়ায় তারা লক্ষ্যবস্তুর কেন্দ্রক দ্বারা বিকর্ষিত হয়—তাই প্রক্ষিপ্ত কণা

হিসাবে আদর্শ নয়। নিউট্রন আধানবিহীন হওয়ায় এই ক্ষেত্রে আদর্শ। আবার প্রোটন ও ডয়েটেরন একক আধান বিশিষ্ট হওয়ায় α -অপেক্ষা বেশি কাজের। তবে এসব কণাকে আরও উপযুক্ত করা যায় যদি তাদের অনেক উচ্চ গতিসম্পন্ন করা যায়। সাইক্লোট্রন (cyclotron) এমন একটি যন্ত্র যা দিয়ে প্রক্ষিপ্ত কণার গতিবেগ প্রায় 25000 মাইল সে⁻¹ করা যায়। অধুনা আরও বেশি দ্রুত কণার সৃষ্টি করার জন্য সিনকোট্রন (synchotron) বা বিভাট্রন (bevatron) নির্মিত হয়েছে।

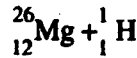
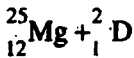
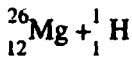
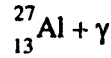
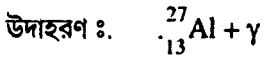
10.9.1 যৌগিক কেন্দ্রক বিষয়কের তত্ত্ব :

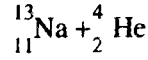
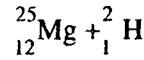
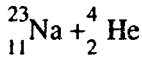
রাদারফোর্ড তাঁর $N(\alpha, \beta)O$ পরীক্ষায় ভেবে নিলেন যে N -কেন্দ্রক α -কণাকে পুরোপুরি শোষণ করে নেয়—এবং O -কেন্দ্রক থেকে প্রোটনক উৎপন্ন করে। আরেকটি সম্ভব হতে পারে α কণা না কেন্দ্রক থেকে প্রোটনকে ধাক্কা দিয়ে বের করে দেয়। সেক্ষেত্রে বিক্রিয়াটি হবে ${}^{17}_7N + {}^4_2He \rightarrow {}^{13}_6C + {}^1_1H + {}^4_2He$, অর্থাৎ সংঘর্ষের ফলে একটি কণা উৎপন্ন হবে। কণাগুলির গতিপথ একই তলে নাও হতে পারে। P.N.S Blakeh (1915)-এ উইলসন-এর মেঘ-কক্ষে (Wilson's cloud chamber) এই ধরনের পরীক্ষা করে সিদ্ধান্ত আসেন যে α -কণা বিক্রিয়ার ফলে অদৃশ্য হয় ও নতুন কণা (প্রোটন) জন্ম নেয়। এ থেকে নীল্‌স্‌ বর (Niels Bohr, 1936) তাঁর যৌগিক কেন্দ্রকের তত্ত্ব দিলেন।

এই তত্ত্ব অনুযায়ী x -কণা X -লক্ষ্যের উপর আপতিত হলে শেষোক্তটি প্রথমোক্তটিকে শুধে ফেলে, ফলে উৎপন্ন হয় একটি অস্থিতকম্প (metastable) যৌগিক কেন্দ্রক। এটি উত্তেজিত (excited) অবস্থায় থাকে এবং এর অর্ধায়ু 10^{16} সে। এরপরে এটি বিঘটিত হয়ে Y কেন্দ্রক ও y কণা উৎপন্ন করে।



বরের মতানুযায়ী যৌগিক-কেন্দ্রক একাধিকভাবে বিঘটিত হতে পারে। আবার একই যৌগিক কেন্দ্র একাধিকভাবে গঠিত হতে পারে।





যৌগিক কেন্দ্রের উদ্দীপন শক্তি (excitation energy) ও আরও কিছু বিভিন্ন ধরনের 'শক্তি'-র উপর কোন পথ (route) অনুসৃত হবে তা নির্ভর করে। 1950-এ SN Ghosal-এর পরীক্ষায় যৌগিক-কেন্দ্রক তত্ত্ব পূর্ণ প্রতিষ্ঠিত হয়।

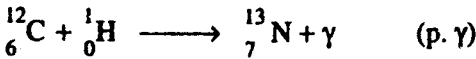
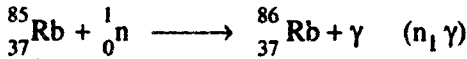
কিছু কিছু কেন্দ্রকীয় বিক্রিয়া অবশ্য আছে যেখানে যৌগিক কেন্দ্রক গঠি হয় না। অত্যুচ্চ শক্তির (>50 Mew) প্রক্ষিপ্তকণার ক্ষেত্রে কণাটি সরাসরি কেন্দ্রকে ঢোকে, যৌগ বা কিছু কেন্দ্রকণাকে ধাক্কা দিয়ে বের করে দেয় এবং নিজেও বেরিয়ে আসে। একে বলে প্রত্যক্ষ বিক্রিয়া (Direct Reaction)।

10.10 কেন্দ্রকীয় বিক্রিয়াসমূহে শ্রেণীবিভাগ :

বিভিন্ন ধরনের কেন্দ্রকীয় বিক্রিয়াসমূহকে কয়েকটি শ্রেণীতে ভাগ করা হয় : (i) প্রক্ষিপ্ত কণা অধিকার বিক্রিয়া; (iii) প্রক্ষিপ্ত কণা অধিকার কণা নির্গমন বিক্রিয়া; (iii) স্যাংশন বিক্রিয়া; (iv) কেন্দ্রকীয় বিভাজন ও (v) কেন্দ্রকীয় সংযোজন।

4.10.1 প্রক্ষিপ্ত কণা অধিকার বিক্রিয়া (Projectile capture reaction) :

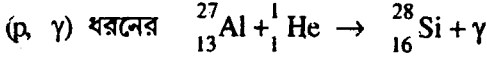
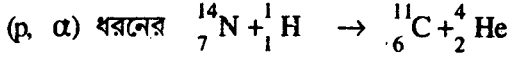
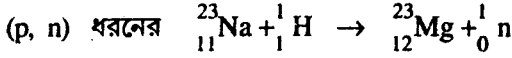
বেশিরভাগ কেন্দ্রকীয় ধীর (slow) নিউট্রন শোষণ করে নিতে পারে এবং এই নিউট্রন অধিকার বিক্রিয়া সাধারণত γ -রশ্মির নির্গমন ঘটে। প্রোটন অধিকার বিক্রিয়াও জানা আছে। উদাহরণ :



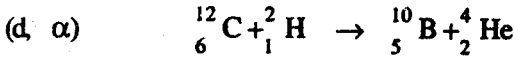
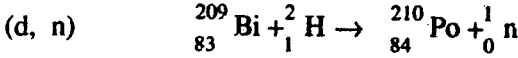
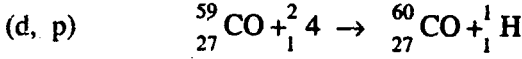
4.10.2 প্রক্ষিপ্ত কণা অধিকার—কণা নির্গমন বিক্রিয়া (Projectile capture particle emission reaction) :

এই ধরনের বিক্রিয়াই বেশি দেখা যায় : এদের আবার শ্রেণীবিভক্ত করা যায় ব্যবহৃত প্রক্ষিপ্ত কণার হিসাবে :

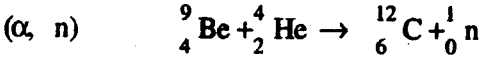
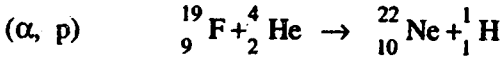
(i) প্রোটন দ্বারা সংঘটিত বিক্রিয়া—



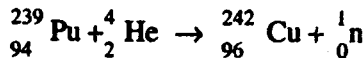
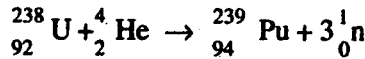
(ii) ডয়েটেরন সংঘটিত বিক্রিয়া :



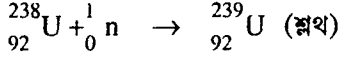
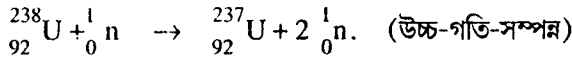
(iii) α -কণা সংঘটিত বিক্রিয়া :



উচ্চ-শক্তি α -কণা (সাইক্লোট্রন থেকে) দিয়ে ইউরেনিয়ামোস্টর (trans uranium) মৌল পাওয়া যায় :

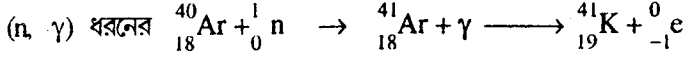


(iv) নিউট্রন-সংঘটিত বিক্রিয়া : আগে জেনেছেন যে আধান বিহীন হওয়ায় দ্রুত নিউট্রনই সবচেয়ে বেশি কার্যকরী। উচ্চ গতিশক্তি সম্পন্ন (1-13 Mw) নিউট্রন উৎপন্ন হয় পারমানবিক চুম্বী থেকে; গ্রাফাইট বা ভারী জল এর সঙ্গে সংঘর্ষে এরা শ্লথ হয়ে যায়—এদের তখন বলা হয় শ্লথ বা তাপীয় নিউট্রন, এদের শক্তি $\frac{1}{40}$ ই-ডি; দ্রুত এবং শ্লথ—উভয় প্রকার নিউট্রনের শক্তি বিক্রিয়ার ধরণ নির্ধারণ করে। দ্রুত নিউট্রন কেন্দ্রকের নিউট্রনকে ধাক্কা দিয়ে বেরিয়ে যায়। আর শ্লথ নিউট্রন শোষিত হয় :

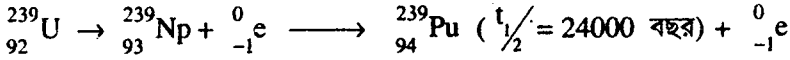
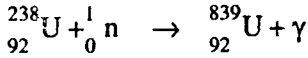


${}^{235}\text{U}$ বিভাজনে শ্লথ নিউট্রন উপযোগী। বিভিন্ন ধরনের নিউট্রন-সংঘটিত বিক্রিয়া :

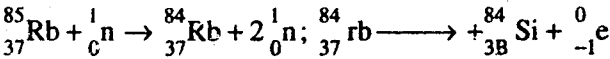
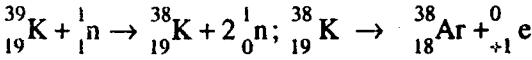
(a) বিকিরণ অধিকার (radiative capture) :



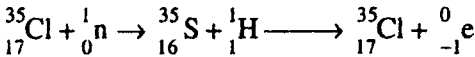
এ ধরনের বিক্রিয়ায় প্লুটোনিয়াম (পারমাণবিক জ্বালানী) উৎপন্ন হয় :



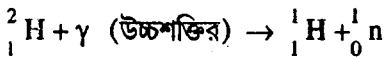
(b) নিউট্রন নির্গত হয় যে বিক্রিয়ায় :



(c) আধানযুক্ত কণার নির্গমন হয় যে বিক্রিয়ায় :



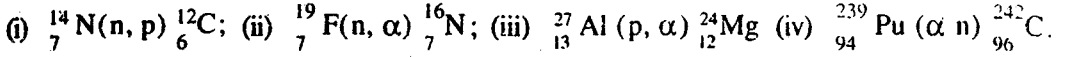
(v) γ -রশ্মি সংঘটিত বিক্রিয়া :



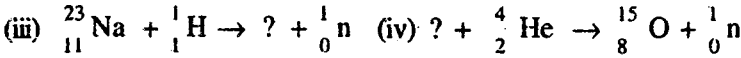
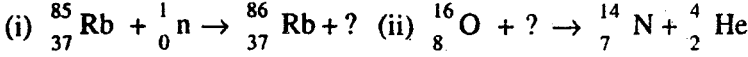
লক্ষণীয় : উপরের কোন কোন বিক্রিয়ায় তেজস্ক্রিয়তা (কৃত্রিম) উৎপন্ন হয়। মনে রাখবেন কৃত্রিম তেজস্ক্রিয়তা সৃষ্টি হয় যে সব বিক্রিয়ায় তারা কেন্দ্রকীয় উপস্থিতি, কিন্তু কেন্দ্রকীয় উপস্থিতি মাত্রই কৃত্রিম তেজস্ক্রিয়তা সৃষ্টি করে না।

অনুশীলনী—৪

1. নিচের বিক্রিয়াগুলি সম্পূর্ণ করে লিখুন :

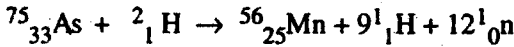
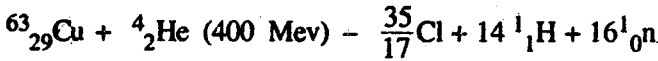


2. শূন্যস্থান পূর্ণ করুন :



10.10.3 স্প্যালেশন (খস্তুকরণ, Spallation) বিক্রিয়ায় :

400 MeV-র বেশি শক্তি প্রক্ষিপ্ত কণা কোন ভারি কেন্দ্রক থেকে অনেকগুলি খণ্ডাংশ তুলে নিয়ে আসতে পারে—পরে থাকে একটি ছোট সনাতকরণ যোগ্য অবশিষ্ট কেন্দ্রক। এইভাবে উৎপন্ন কেন্দ্রকের পারমানবিক সংখ্যা মূলের চেয়ে 10—20 একক কম হয়। এই বিক্রিয়াকে বলে স্প্যালেশন বিক্রিয়া। সাধারণ কেন্দ্রকীয় বিক্রিয়ার সঙ্গে এর পার্থক্য এই যে সাধারণক্ষেত্রে পারমানবিক সংখ্যার হ্রাস 2-এককের বেশি সাধারণত হয় না। আবার বিভাজন (কক্ষকে)-এর থেকে স্প্যালেশনরে অর্থাৎ যে সদ্যালেশন আত্মস্থানে (self-sustaining) নয় এবং এর পরিবর্তনও বিভাজনের মত নয় :



অনুশীলনী—৯

1. স্প্যালেশন ও বিভাজন বিক্রিয়ার পার্থক্য কী?

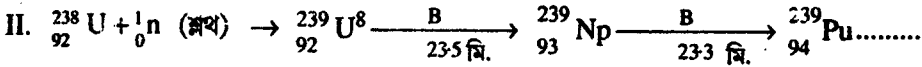
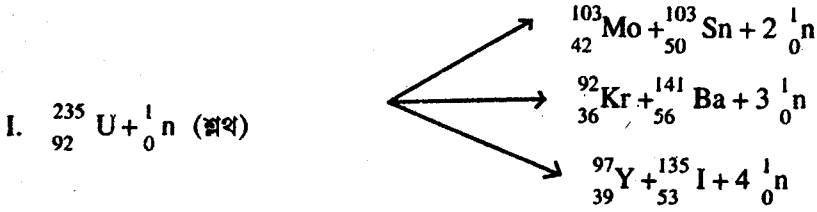
10.10.4 কেন্দ্রকীয় বিভাজন (Nuclur fission) :

মাইটনার ও ফ্রিশ (Meitner and Frisch, 1939) বিভাজন বিক্রিয়া আবিষ্কার করেন। ফার্মি (1934) ইউরেনিয়ামোস্টর মৌলসমূহ আবিষ্কারের উদ্দেশ্যে ইউরেনিয়ামকে স্নথ ইলেকট্রন দিয়ে আঘাত করে দেখলে যেন

β -সক্রিয় তেজস্ক্রিয় পদার্থ উৎপন্ন হয়েছে। এ থেকে তাঁর ধারণা হল যে অভীক্ষিত কৃত্রিম মৌল পাওয়া গেছে। কিন্তু অটো হান (Otto Han) ও স্ট্রাসম্যান (Strassman) দেখেন যে বিক্রিয়া-পরিমণ্ডলে রয়েছে La ও Bo মৌল। ব্যাপারটা ব্যাখ্যা প্রসঙ্গে মাইটনার ও ফ্রিশ্ এই কেন্দ্রকীয় বিভাজন-এর কথা বললেন।

কেন্দ্রকীয় বিভাজন এমন এক ধরনের কেন্দ্রকীয় বিক্রিয়া যেখানে একটি ভারি কেন্দ্রক উপযুক্ত শক্তি সম্পন্ন নিউট্রন বা অন্য কণা দ্বারা আঘাত-প্রাপ্ত হয়ে শোষিত হয়ে যায় এবং যৌগিক কেন্দ্রক গঠন করে। এই যৌগিক কেন্দ্রের এমনই উদ্দীপন শক্তিস্তরে থাকে N এটি দুটি মোটামুটি সমান ভরের কেন্দ্রক উৎপন্ন হয়। আর তার সঙ্গে নির্গত হয় 2-3টি নিউট্রন আর প্রভূত পরিমাণ শক্তি।

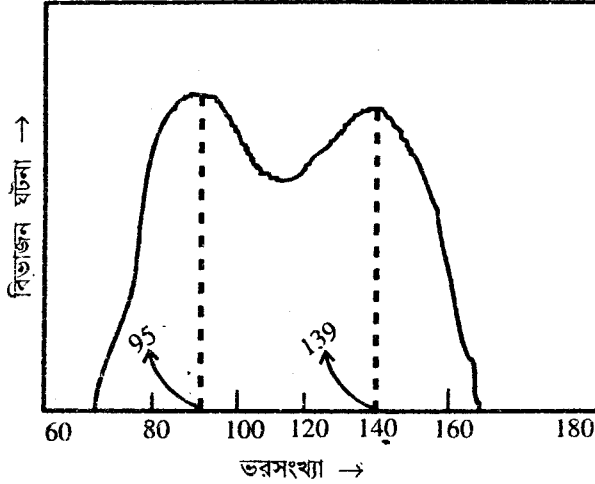
পরবর্তী পরীক্ষায় নিশ্চিত হওয়া গেছে যে শ্লথ নিউট্রন ^{235}U -কে বিভাজিত করে (i) আর ^{238}U -এর সঙ্গে বিক্রিয়ায় ইউরেনিয়ামোক্তর মৌল সংশ্লেষিত করে (ii)। বিভাজনের ক্ষেত্রে একাধিক ধরনের বিক্রিয়া ঘটে।



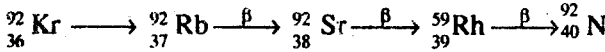
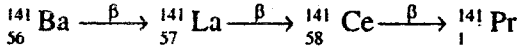
দ্রুতগতি নিউট্রন দ্বারা বিভাজিত হয়। এ-ও দেখা গেছে যে $\frac{1}{73} a$ উচ্চশক্তি সম্পন্ন কণা দ্বারা বিভাজিত হয়।

(I) অংশে প্রদর্শিত তিনটি বিক্রিয়া তিরিশেরও বেশি রকমের বিভাজনের কয়েকটি মাত্র। প্রকৃতপক্ষে ^{235}U -এর বিভাজন-জাত পদার্থের মধ্যে 40টি বিভিন্ন মৌলের প্রায় 160টি সমঘর থাকে—এদের পারমাণবিক সংখ্যার পাল্লা 30 (Zn) থেকে 63 (En), আর পারমাণবিক ভরের পাল্লা 72 থেকে 162। লঘু মৌল ভরসংখ্যা 100 পর্যন্ত) ও ভারিমৌল (ভরসংখ্যা 100-র উপর)-র অনুপাত 5 : 7। সবচেয়ে বেশি সম্ভাব্য বিভাজন ঘটনা (6.4%)

ভরসংখ্যা 95 ও 139 ভরসংখ্যার মৌল উৎপন্ন করে। আর সব চেয়ে কম বিভাজনস্থত সমঘরের ভরসংখ্যা 117 (চিত্র 10.8)।

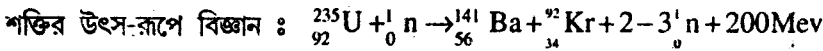


বিভাজনে উৎপন্ন বেশির ভাগ কেন্দ্রিকই তেজস্ক্রিয়—স্থির কেন্দ্রকণার হওয়া পর্যন্ত তারা β ও রশ্মি নির্গত করে চলে (ফার্মির ভুলটা হয়েছিল এখানেই) :

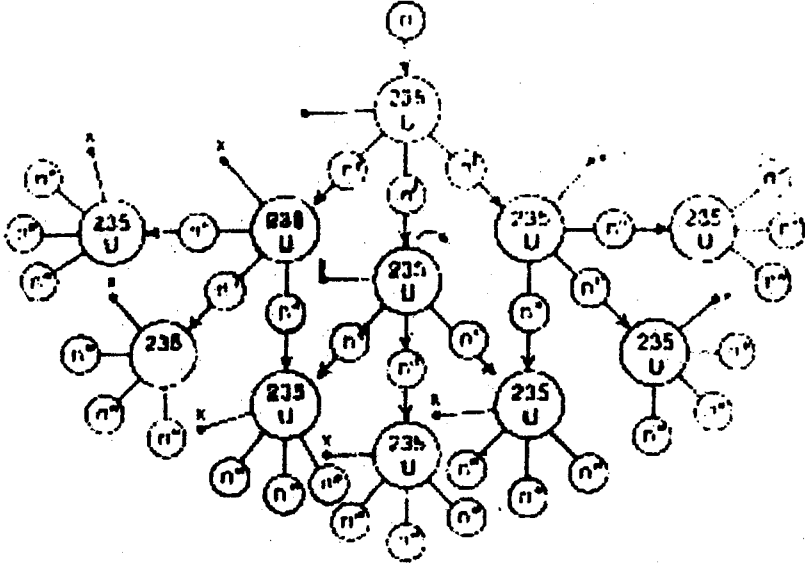


বিভাজন-ক্রিয়ার দুটি বৈশিষ্ট্য হল :

(i) প্রভূত পরিমাণ (v 200 Mev) শক্তির উৎপাদন এবং (ii) উচ্চগতি শক্তি সম্পন্ন 2-3টি নিউট্রন উৎপাদন।



এই প্রভূত পরিমাণ শক্তির খুব অল্প অংশ উৎপন্ন নিউট্রনের গতিশক্তি সরবরাহ করে, আর বেশিরভাগটাই পাওয়া যায়, তাপ-শক্তি হিসেবে। বিভাজনে কিছু ভরের আধান ঘটে; অর্থাৎ বিভাজনোদ্ভূত পদার্থসমূহের মোট ভর ইউরেনিয়াম ও নিউট্রনের মোট ভরের চেয়ে কম। ভর হ্রাস 0.1% ভারি মৌল U-এর বন্ধন-শক্তি মাঝামাঝি ভরের উদ্ভূত মৌলের কেন্দ্রিকীয় বন্ধন শক্তির চেয়ে কম। তাই প্রক্ষিপ্ত কণার শোষণের মাধ্যমে সরবরাহকৃত অতিরিক্ত শক্তিতে U-কেন্দ্রিক বিভাজিত হয়ে পড়ে। বিভাজনে ভরহ্রাস ঘটে প্রতি U কেন্দ্রিক বিভাজিত হয়ে পড়ে। বিভাজিত ভর হ্রাস ঘটে প্রতি U-কেন্দ্রিক পিছু 0.215 পারমাণবিক ভর একক। সুতরাং উদ্ভূত শক্তি $= 0.215 \times 931 = 200 \text{ Mev}$ গড়মান 198 Mw। এর 184 Mw ব্যবহারযোগ্য শক্তি হিসাবে পাওয়া যায়।



3টি নিউট্রন বের হয়। এই নিউট্রনগুলি আবার বিভাজন ঘটাবে। এইভাবে বিভাজনে প্রয়োজনীয় নিউট্রন থেকেও বেশি সংখ্যক নিউট্রন উৎপন্ন হয়। বিভাজন বিক্রিয়া তাই আত্মপুষ্ট (Self sustaining) এবং শৃঙ্খল-প্রক্রিয়া (Chain reaction) (চিত্র 10.9)

পারমাণবিক বোমা ও পারমাণবিক চুল্লী : পারমাণবিক বোমা এই কেন্দ্রিকীয় বিভাজন নীতের উপর ভিত্তি করে পরিকল্পিত। এর বিস্ফোরণের সময় মুহূর্তকালের মধ্যে তাপমাত্রা 10^6 °C বা তার বেশি উঠে যায়। 1 কিগ্রা ^{235}U বা ^{239}Pu বিস্ফোরণের ফলে 20 কিলোটন টি-এন্-টি-র সমান। বিভাজনজাত পদার্থের ওজন -1 কিগ্রা (কারণ ভরগ্রাম 0.1%)।

পারমাণবিক শক্তি বলতে আমরা এই বিভাজনজাত শক্তিই বুঝি। যে যন্ত্র-সমবায়ে নিয়ন্ত্রিত পদার্থকে কেন্দ্রিকীয় বিভাজন ঘটিতে শক্তি উৎপাদন করা হয় তাকে বলে পারমাণবিক বা কেন্দ্রিকীয় চুল্লী (nuclear reactor)

এতে জ্বালানী হিসাবে ব্যবহৃত হয় ^{235}U (U_2O_3 -রূপে) প্লুটোনিয়াম। বর্তমানে উদ্ভাবিত breeder reactor বা প্রজনক চুল্লীতে ^{238}U নতুনতর জ্বালানী ^{239}Pu পরিণত হয় বিভাজন ঘটায়। গ্রাফাইট বা ভারিয়ন নিয়ন্ত্রক (moderator) হিসাবে ব্যবহৃত হয়। এর কাজ উৎপন্ন দ্রুতগতি নিউট্রনকে ক্রম নিউট্রনে পরিণত করা।

ভারতবর্ষের পারমাণবিক চুল্লী ও পারমাণবিক শক্তিকেন্দ্র সমূহ

মুম্বাই-র কাছে ট্রস্বেতে যে চুল্লীগুলি আছে :

(i) অপ্সরা : হেমি জাহাঙ্গীর ভাবার তত্ত্বাবধানে 14.8.1956তে সম্পূর্ণ হয়। (Apsara) এখন প্রায় বন্ধ।

(ii) দি-সাইরাস (cirus) : 10.7.1960

(iii) দি জারলিনা (Zerlina, Zero energy reaction for lattice investigation and nuclear assemblies) 14.1.1961

(iv) পূর্ণিমা (Purnima) : Pu-চুল্লী 22.5.1972

পঞ্চম গবেষণাভিত্তিক চুল্লী হল ধ্রুব (Dhruva) : 15.8.1984 গবেষণা।

ষষ্ঠি কমিনী (Kamini) 1.4.1969 তারিখে কলকাতা-এর Indira Gandhi Centre for Atomic Research-এ স্থাপিত হয়।

চুল্লীগুলির অবস্থান : (i) তারাপুর (মহারাষ্ট্র), (ii) রাণা প্রতাপসাগর (কোটা, রাজস্থান), (iii) কলকাতা (চেন্নাইর কাছে), (iv) বুলন্দশহর (উঃ প্রদেশ), (v) কাকারপুর (গুজরাত)

কলকাতার চুল্লী দ্রুত প্রজনক ধরণের চুল্লী; এতে ^{232}Th জ্বালানী ব্যবহৃত হয় যা থেকে পাশে ^{233}U ।

এরপর আসুন দুটো অঙ্ক কমে দেখি এই কেন্দ্রীয় শক্তির বৈশিষ্ট্য :

1 কিলোগ্রাম ^{235}U বিভাজনে উৎপন্ন শক্তি :

1 গ্রা অর্থাৎ ^{235}U 6.02 $\times 10^{23}$ টি U-পরমাণু আছে।

\therefore 1 কিলোগ্রাম বা 1000 গ্রা U-এ $\frac{6.02 \times 10^{26}}{25}$ টি U-পরমাণু আছে

$$\therefore \text{নির্গত শক্তির পরিমাণ} = \frac{6.02 \times 10^{26}}{25} \times 184 \cdot 4 \cdot 75 \times 10^{26} \text{Mev} = \frac{4 \cdot 75 \times 23 \times 10^{35}}{6 \cdot 02 \times 10^{23}}$$

$$= 18 \cdot 15 \times 10^{12} \text{ ক্যালোরি} = \frac{18 \cdot 15 \times 10^{12}}{8 \cdot 57 \times 10^5} \text{ বা } 2 \cdot 1 \times 10^7 \text{ কিলোওয়াট-ঘণ্টা (KWH)}$$

$$[1 \text{ KWH} = 1 \times 10^3 \times 60 \times 60 \text{ জুল} = \frac{36 \times 10^5}{4 \cdot 2} = 8 \cdot 57 \times 10^5 \text{ ক্যালোরি}]$$

$$= 214 \times 10^{10} \text{ ক্যালোরি}$$

II. U ও কয়লার জ্বালানী ক্ষমতা :

g, u সম্পূর্ণ বিভাজনে 0.1% বা 0.001 গ্রাম ভর হ্রাস পায়।

$$\therefore \text{উৎপন্ন শক্তি} = 0.001 \times 9 \times 10^{20} = 9 \times 10^{17} \text{ আর্গ} = \frac{9 \times 10^{17}}{4.2 \times 10^7} \text{ ক্যালোরি} = 2.14 \times 10^{10} \text{ ক্যালোরি}$$

1 গ্রাম C সম্পূর্ণ দহনে প্রায় 8000 ক্যালোরি তাপ দেয় [C + O₂ = CO₂ = 97000 ক্যা.]

\therefore 94% C থাকে অ্যানথ্রাসাইট কয়লায় এবং আরও কিছু দাহ্য পদার্থ থাকে।

ধরে নিই না কেন যে, 100%ই কার্বন আছে।

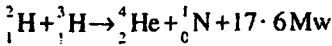
অব, 8000 ক্যালোরি তাপ পাওয়া যায় 1 গ্রাম কার্বন থেকে।

$$\therefore 2.14 \times 10^{10} \text{ ক্যালোরি তাপ পাওয়া যাবে } \frac{2.14 \times 10^{10}}{8000} = \frac{21.4 \times 10^6}{8} = 2.625 \times 10^6 \text{ গ্রা কার্বন থেকে।}$$

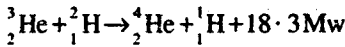
$$= 2.625 \text{ মেট্রিক টন}$$

10.10.5 তাপ-কেন্দ্রকীয় সংযোগ (Thermo nuclear fughtm)

²H, ³H, ও ⁶Li-এর মত লঘু কেন্দ্রসমূহ পরস্পরের সঙ্গে সংযোজিত হয়ে অপেক্ষাকৃত ভারি কেন্দ্রক গঠন করতে পারে। যেমন, ডায়টেরিয়াম ও ট্রিশিয়াম সংযোজিত হয় He কেন্দ্রক গঠন করে :



$$\text{অনুরূপে : } {}^2_1\text{H} + {}^2_1\text{H} \rightarrow {}^3_1\text{H} + {}^1_1\text{H} + 4.01 \text{ Mw}; {}^2_1\text{H} + {}^2_1\text{H} \rightarrow {}^3_2\text{He} + {}^1_0\text{N} + 3.26 \text{ Mw};$$



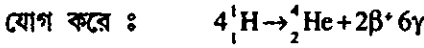
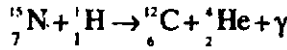
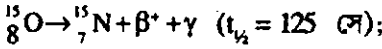
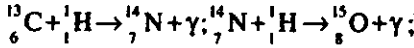
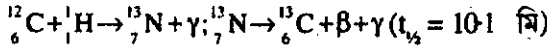
এরূপ কেন্দ্রকীয় বিক্রিয়াকে বলে সংযোজন (fusth)। আর যেহেতু এই বিক্রিয়া ঘটানো যায় অতি উচ্চ তাপমাত্রায়, তাই একে বলে তাপীয় কেন্দ্রকীয় সংযোজন (Thermal nuclur fusion)। লঘুতর কেন্দ্রকের যন্ধনশক্তি অপেক্ষাকৃত কম, তাই তারা কম সুস্থিত, আরতাই এদের দুটির সংযোজনে সুস্থিতর কেন্দ্রকগঠিত হয়।

প্রক্ষিপ্ত কণা ডায়টেরিয়াম লক্ষ্য ট্রিশিয়াম পরমাণু দ্বারা বিকর্ষিত হবে। এই কুলম্বীয় বিকর্ষণ অতিক্রম করতে প্রচুর শক্তি সরবরাহ করতে হবে। সাধারণতঃ বীক্ষণাগারে ত্বরক বলে এই ঘটনা ঘটানো হয়। ত্বরক ব্যবহার না করে কণাসমূহকে 10⁷ °K-র মত তাপমাত্রায় উত্তপ্ত পরে উপযুক্ত পরিমাণ শক্তি সরবরাহ করা হয়। এত উচ্চ তাপমাত্রায় কীভাবে পৌঁছানো সম্ভব? প্রকৃতপক্ষে সংযোজন বিক্রিয়া শুরু করা হয় প্রাথমিক বিভাজন বিক্রিয়ার মাধ্যমে।

সংযোজন বিক্রিয়ায় অকল্পনীয় শক্তির উদ্ভব ঘটে—সাধারণ বিভাজনের 4 গুণ। এর ব্যাখ্যা এরূপ :

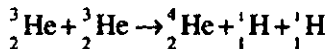
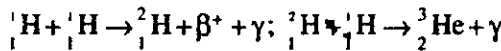
${}^7_3\text{Li} + {}^1_1\text{H} \rightarrow 2 {}^4_2\text{He}$ বিক্রিয়াটি ব্যবহৃত হয়। বিক্রিয়ার ভর হ্রাস 0.231% যেখানে U-এর বিভাজনের ক্ষেত্রে ভর হ্রাস 0.1%। এই লুপ্তভর শক্তিতে রূপান্তরিত হয়। $[E = \Delta mc^2]$ হাইড্রোজেন বোম্বায় ${}^2_1\text{H} + {}^3_1\text{H} \rightarrow {}^4_2\text{He} + {}^1_0\text{n}$ —বিক্রিয়াটি ব্যবহৃত হয়। ইউ-এস-এ, ইউ-এস-এস-আর, ইউ-কে, ফ্রান্স, চীন, ভারতবর্ষ, পাকিস্তান, উঃ কোরিয়া জাপান-এর ক্রিয়াকৌশল রপ্ত করেছে।

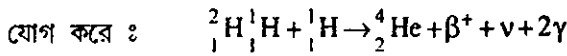
মনে করা হয়, নক্ষত্রসমূহ ও সূর্য (এ-ও একটি নক্ষত্র)-র শক্তির উৎস একপ্রকার সংযোজন বিক্রিয়া—যেখানে 4টি পরমাণু একটি He পরমাণুতে রূপান্তরিত হয়। 1939 সালে হান্স বেথে (Hans Bethi) ও ভাইজ্যাকার (Veizacker) ব্যাখ্যা করেন যে সূর্যের শক্তি এক ধরনের তাপ-কেন্দ্রিকীয় শৃঙ্খল বিক্রিয়া :



ভরের 0.7% শক্তিকে রূপান্তরিত হয়ে 26.8 Mev শক্তি প্রতি চক্র (cycle) উৎপন্ন হয়। একটি একক চক্র শেষ হতে লাগে 6×10^6 বছর। একে বলা হয় C-N চক্র; ${}^{12}_6\text{C}$ অনুঘটক। এই চক্রের হিসাবে সূর্যের আয়ু আরও 3×10^{10} বছর।

আরও আধুনিক মতানুসারে C-N চক্র ঘটে সূর্যের থেকে উজ্জ্বলতর নক্ষত্রের ক্ষেত্রে। সূর্যের ক্ষেত্রে ঘটে প্রোটিন-প্রোটিন চক্র :





এই হিসেবে সূর্যের আয়ু আরও 10^9 বছর। নিয়ন্ত্রিত তাপ-কেন্দ্রিকীয় সংযোজন ভবিষ্যতের শক্তির এই গুরুত্বপূর্ণ উৎস হিসাবে পরিগণিত হয়। কাঁচামাল ${}^2_1\text{H}$ মহাসমুদ্রসমূহে প্রচুর পরিমাণে বিদ্যমান।

10.11 ট্রেসার কৌশল (Tracer Technique)

আকৃতিতে রাসায়নিক মৌলসমূহের সমঘরীয় সংযুতি স্থির। কিছু কৃত্রিমভাবে এই সংযুতি পরিবর্তন করা যায়। কৃত্রিমভাবে আবিষ্কৃত এই সমঘরীয় সংযুতির পরিবর্তনকে বলে ট্রেসার, এটি নিরূপণযোগ্য। সুস্থিত সমঘরের পরিমাণ বৃদ্ধি ঘটলে বিশ্লেষণের জন্য ভর বর্ণালী বীক্ষণমিতি (mass spectrometry) প্রয়োগ করা হয়, আর তেজস্ক্রিয় সমঘরের অনুপ্রবেশ হেতু সংযুতি পরিবর্তনের ক্ষেত্রে বিশ্লেষণের জন্য তেজস্ক্রিয়মিতিক (radiometric) পদ্ধতির প্রয়োগ করা হয়। জৈব যৌগে H-সমঘরের থেকে দহনের ফলে উৎপন্ন জলের ঘনত্বের নিখুঁত পরিমাপ করা হয়। যে পদার্থের অণুর একটি উপাদান পরমাণু তেজস্ক্রিয় (বা অন্য সমঘরীর রূপ) করা হয়, তাকে 'চিহ্নিত' (tagged) অভিধা দেওয়া হয়। যে মৌলের নির্দিষ্ট সমঘর (তেজস্ক্রিয় বা অতেজস্ক্রিয়) ব্যবহার করা হয় তাকে বলে 'ট্রেসার মৌল' তেজস্ক্রিয়তা মেপে (বা ভর বর্ণালী বীক্ষণমিথিক উপায়ে) বিভিন্ন পর্যায়ে পদার্থটির অবস্থা জানা যায়। এই পদ্ধতিতে শরীরবৃত্তীয় বা রাসায়নিক পরিবর্তনের প্রণালী (course), অগ্রগতি ও কৌশল জানা যায়—এই পদ্ধতিকে বলে 'ট্রেসার কৌশল' (Tracer Technique)। আমরা এই অংশে আর কয়েকটি বহুলব্যবহৃত বৈশ্লেষণিক কৌশল অতি সংক্ষেপে আলোচনা করব। এগুলি হল : (a) তেজস্ক্রিয় ক্রোম্যাটোগ্রাফি, (b) সমঘর লঘুকরণ বিশ্লেষণ, (c) নিউট্রন উজ্জীবন বিশ্লেষণ, (d) নিউট্রন শোষণমিতি এবং তেজস্ক্রিয়মিতিক অনুমাপন।

10.11.1 তেজস্ক্রিয় ক্রোম্যাটোগ্রাফি (Radio Chromatography)

সমস্তরকম ক্রোম্যাটোগ্রাফীয় পৃথকীকরণই (কাগজ, স্তম্ভ ও গ্যাস) তেজস্ক্রিয় সমঘরের সার্থক প্রয়োগ হয়েছে। কোনও পরিস্ফুরক (developer) লাগে না, সক্রিয়তা সতেজই বিশ্লেষণ করা যায়।

তেজস্ক্রিয় ক্রোম্যাটোগ্রাফির সবচেয়ে চমকপ্রদ প্রয়োগ দেখিয়েছেন সীবর্গ (Seaborg) ও তাঁর সহকর্মীরা 19050-4। তাঁরা এই কৌশল প্রয়োগ করে তাঁরা অ্যামেরিসিয়াম, ক্যুরিয়াম, বার্কেলিয়াম, ক্যালিফোর্নিয়াম, আইনস্টাইনিয়াম ও ফার্মিয়াম (সবগুলিই তেজস্ক্রিয়)-কে পৃথক করেন। মিশ্রণকে ডাউক্স -50 (Dowex-50)-এর 5-6 সেমি লম্বা ও 2 মিমি ব্যাসযুক্ত স্তম্ভের উপর স্থাপন করে, তারপর 87°C -এ অ্যামেনিয়াম সাইট্রেট

ও অ্যামোনিয়াম অ্যাসিটেট নিয়ে প্রক্ষালন (elution) করা হয়। নিচে থেকে স্বয়ংক্রিয় সংগ্রাহক দিয়ে প্রক্ষালক সংগ্রহ করে প্রতিটি অংশের α -বা বিভাজন সক্রিয়তা মাপা হয়।

একইভাবে Li^+ , Na^+ , K^+ , Rb^+ , Cs^+ এর মিশ্রণ থেকে উপাদানগুলিকে সম্পূর্ণ পৃথক করা যায়। অ্যাসিডে ধোয়া অ্যাস্বেস্টস্ কাগজ ও লঘু HCl দ্রাবকরূপে ব্যবহার করে এবং ^{22}Na , ^{42}K , ^{86}Rb ও ^{137}Cs সমঘর ব্যবহার করা হয়। Li-এর তেজস্ক্রিয় সমঘর নেই বলে একে শিফ আলোকমিতিক পদ্ধতিতে (flame photometry) মাপা হয়।

10.11.2 সমঘর লঘুকরণ বিশ্লেষণ (Isotope dilution analysis)

এই পদ্ধতি অনুসৃত হয় কোন মিশ্রণের সেই উপাদানের পরিমাপনে—যাকে বিশুদ্ধ অবস্থায় অসম্পূর্ণভাবে পৃথক করা সম্ভব; যেমন, জৈব যৌগের জটিল মিশ্রণ। অবশ্য কোন কোন ক্ষেত্রে অজৈব মিশ্রণের বিশ্লেষণেও এই পদ্ধতি অনুসৃত। পদ্ধতিটি এরূপ অজ্ঞাত মিশ্রণে জ্ঞাত ওজনের বা তেজস্ক্রিয়া সমান জ্ঞাত ওজনের চিহ্নিত যৌগ n যৌগের পরিমাপ করতে হবে) যোগ করা হয়। এরপর মিশ্রণ থেকে ঐ যৌগটিকে বিশুদ্ধ অবস্থায় স্বল্প পরিমাণে পৃথক করে আনা হয়। এই অংশটির আপেক্ষিক তেজস্ক্রিয়তা (specific activity)। সংযোজিত বিশুদ্ধ পদার্থের তেজস্ক্রিয়তার সঙ্গে এই তেজস্ক্রিয়তার মান তুলনা করে মিশ্রণে উপাদানটির পরিমাণ নির্ণয় করা হয়।

নমুনা-গণনা : মনে করা যাক, মিশ্রণে পরিমাপ করা হচ্ছে এমন উপাদান A-এর ওজন w গ্রাম। Sa আপেক্ষিক সক্রিয়তা যুক্ত Wa গ্রা. চিহ্নিত A মিশ্রণে যোগ করা হল। রাসায়নিকভাবে বিশুদ্ধ একটু A বের করে নেওয়া হল, এর আপেক্ষিক সক্রিয়তা S, যেহেতু মিশ্রণে মোট সক্রিয়তা অক্ষুণ্ণ থাকে, $WaSa = (Wa + w)S$

$$S \therefore W = \frac{WaSa}{S} - Wa \quad (1)$$

যদি, $Sa \gg S$ হয়, তবে সমীকরণ (1) দাঁড়ায় $w = \frac{WaSa}{B}$

উদাহরণ : প্রোটিনের আর্দ্র বিশ্লেষণের ফলে প্রাপ্ত অ্যামিনো অ্যাসিডসমূহের জটিল মিশ্রণ থেকে কোন বিশেষ অ্যামিনো অ্যাসিডের পরিমাপ এভাবে করা যায়, ব্যবহৃত ট্রেসার N^{15} যুক্ত নির্দিষ্ট যৌগ।

অনুশীলনী—10

1. প্রোটিনের আর্দ্রবিশেষে প্রতি মিশ্রণে 10.1 মিগ্রা (আপেক্ষিক সক্রিয়তা প্রতি মিলিগ্রামে 128 গণনা-প্রতি মিনিটে cpm) যোগ করা হল। পৃথিবীকৃত বিশুদ্ধ অ্যাকানিনের সক্রিয়তা একই যান্ত্রিক গণকে দেখা গেল। মিলিগ্রাম প্রতি 68.3 সি.পি.এম্ মিশ্রণে অ্যাকানিনের পরিমাণ কত?

10.11.3 নিউট্রন উজ্জীবন বিশ্লেষণ (Neutron activation analysis)

এই পদ্ধতিতে, যে মৌলটির পরিমাপ করতে হবে, তাকে (n_1r) কেন্দ্রীয় বিক্রিয়ার মাধ্যমে তেজস্ক্রিয় সমঘর পরিণত করা হয় এবং উদ্বৃত্ত পদার্থের সক্রিয়া থেকে লক্ষ্য বস্তুর পরিমাণ বের করা হয়। পদ্ধতিটির দুটি রকমকের আছে—(i) আপেক্ষিক (relation) পদ্ধতি ও (ii) চরম (absolute) পদ্ধতি।

10.11.3.1 আপেক্ষিক পদ্ধতি

এই পদ্ধতি একটি প্রমাণ বস্তু (যাতে জ্ঞাত মাত্রার পরিমাপণীয় মৌল ϵ আছে) ও পরীক্ষাধীন বস্তু একই পরিবেশে ও সর্তাধীনে একই নিউট্রন ক্লাসে তারা একই সময় ধরে উন্মুক্ত রাখা হয়।

বিশেষে বাহক (Carrier) ব্যবহার করে উভয়ের থেকে পরিমাপনীয় মৌলটিকে পৃথক করে গণক যন্ত্রে তাদের তেজস্ক্রিয়তা মাপা হয়। তারপর গণনা তো অতি সোজা :

$$\frac{\text{পরীক্ষাধীন নমুনা E-র ওজন}}{\text{প্রমাণ বস্তুতে E-র ওজন}} = \frac{\text{নমুনায় E-মোট তেজস্ক্রিয়তা}}{\text{প্রমাণ বস্তুতে E-র মোট তেজস্ক্রিয়তা}}$$

10.11.3.2 চরমপদ্ধতি

এই পদ্ধতিতে পরীক্ষাধীন পদার্থে পরিমাপনীয় মৌলকে নির্দিষ্ট নিউট্রন ফ্লাবেস (নিউট্রন ছাড়া প্রোটন, ডয়েটেরন, α -কণা এবং r বা x রশ্মি ব্যবহার করা যায়, বর্তমানে পারমাণবিক চুম্বীতে যথেষ্ট নিউট্রন সরবরাহ করা হচ্ছে।

কশাপাত (irradiation)-এর পরে বস্তুটিকে দ্রবীভূত করে, বাহকের সহায়তায় কোনও রাসায়নিক আকারে পৃথক করে ফেলা হয় (এই ধাপটির প্রয়োজন। এতে অত্যন্ত তেজস্ক্রিয় পদার্থ থেকে এক পৃথকীকরণ হয়।) এখন গণক যন্ত্রে এর তেজস্ক্রিয়া মেপে নেওয়া হয়। তা থেকে নিচের সূত্রের সাহায্যে নির্ণয় পরিমাপ পাওয়া যায়।

$$C = \frac{n\phi\sigma}{3.7 \times 10^{10}} (1 - e^{-\lambda t}) \dots \dots (1)$$

C = তেজস্ক্রিয়তা (কুরি- 30 সংখ্যায়), n = লক্ষ্যবস্তুতে পরমাণু সংখ্যা, ϕ সেমি² সে⁻¹ = পদ্ধতিগ নিউট্রন ফ্লাক্স; θ = বিক্রিয়ার প্রস্থচ্ছেদ সেমি² [এটি একটি রাশি যা দিয়ে বিশেষ কোনও কেন্দ্রীয় বিক্রিয়া ঘটবার সম্ভাব্যতা প্রকাশিত হয়। এর একক সেমি² বা বার্ন (barn); 1 বার্ন = 10⁻²⁴ সেমি²]; t = যতক্ষণ ধরে কশাপাত ঘটেছে। এখন $n = \frac{\omega \times 6.02 \times 10^{23}}{A}$, w = পরীক্ষাধীন পদার্থের ওজন, A = পারমাণবিক ওজন।

$$(1) \text{ কে পুনর্লিখিত করে পাই, } c = \frac{6.02 \times 10^{23} \omega \phi \sigma}{3.7 \times 10^{10} A} (1 - e^{-\lambda t}) \dots (2)$$

$$\sigma \text{-কে বার্ণ-এ প্রকাশ করে, } \lambda = \frac{0.93}{t_{1/2}} \text{ (} t_{1/2} \text{ = অর্ধায়ু) বসিয়ে পাই,}$$

$$= \frac{0.602 \omega \phi \sigma}{3.7 \times 10^{10} \times A} (1 - e^{-0.693/t_{1/2}}) \dots (3)$$

(3) সূত্রটি খাটবে, যদি পরীক্ষাধীন মৌলটি এক-সমঘরীয় (monoisotopic) হয়। যদি একাধিক সমঘর থাকে তবে বিক্রিয়ায় সংশ্লিষ্ট সমঘরের সমঘরীয় প্রাচুর্য (isotopic abundance) θ হলে সমীকরণ দাঁড়াবে :

$$C = \frac{0.602 \omega \phi \theta}{3.7 \times 10^{10} \times A} (1 - e^{-0.693/t_{1/2}})$$

$W = 1$, স্থলে $C = S$, $S =$ আপেক্ষিক সক্রিয়তা।

In, Re, Tr, Sm, Eu, Dy, Ho, Lu, V, As, Sb প্রভৃতি মৌলের ক্ষেত্রে এই পদ্ধতিতে ভালো ফল পাওয়া গেছে। 10^{-12} গ্রা. পর্যন্ত। কিন্তু Te, Ca, Pb, Bi, Zn, Cd, Naik প্রভৃতির ক্ষেত্রে ফল রাসায়নিক পদ্ধতির ফলের চেয়ে খারাপ।

অনুশীলনী-11

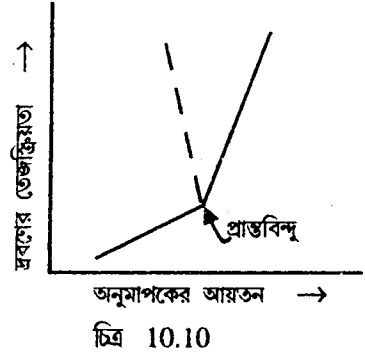
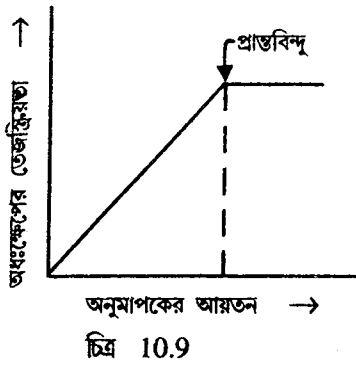
1. একটি খুব পাতলা সোনার মুদ্রা 10^{12} (পিউট্রন প্রতি বর্গ সেমি-এ) ফ্লাক্সে 25.6 ঘ. ধরে উন্মুক্ত রাখা হল। বিক্রিয়ায় ^{198}Au ($t_{1/2} = 64$ ঘ.) উৎপন্ন হল। বিক্রিয়ার প্রস্থচ্ছেদ 98 বর্গ হলে (i) নমুনার আপেক্ষিক সক্রিয়তা বের করুন। (ii) এর সম্পৃক্ত সক্রিয়তাই বা কত?

10.11.4 নিউট্রন শোষণমিতি

বোরণ ও ক্যাডমিয়াম-এর নিউট্রন শোষণ প্রস্থচ্ছেদ খুব বেশি। সেইজন্যই পারমাণবিক চুল্লীতে এদের নিয়ন্ত্রক হিসাবে ব্যবহার করা হয়। নিউট্রন শোষণমিতি এই দুটি মৌল আর বিরল মৃত্তিকা শ্রেণীর আরও কটি মৌল যেমন Sm, Eu, Gd, Ty, Yb, Lu-এর পরিমাপনে প্রয়োগ করা হয়। এই পদ্ধতিতে একটি প্রমাণ নমুনার পরীক্ষাধীন মৌল বা তার যৌগকে তাপীয় নিউট্রনের উৎস এবং নিরীক্ষক (detector)-এর মাধ্যমে স্থাপন করা হয়। নিরীক্ষকে পৌঁছনো নিউট্রন ফ্লাক্স নমুনার মৌলের পরিমাণের সমানুপাতিক। পদার্থের বেধ ও অবস্থান স্থির রেখে একটা প্রমাণ অঙ্ক ঠিক করে নেওয়া হয়। তার সাপেক্ষে পরীক্ষাধীন মৌলের পরিমাণ জানা যায়। $10^{-4} \text{ M} - 10^{-2} \text{ M}$ গাঢ়ত্বের বোরণ ও ক্যাডমিয়াম এভাবে নির্ণীত হয়েছে।

10.11.5 তেজস্ক্রিয়মিতিক অনুমাপক (Radiometric titratron)

অতেজস্ক্রিয় পদার্থের পরিমাণ নির্ণয়ের জন্য পরোক্ষভাবে তেজস্ক্রিয় পদার্থ ব্যবহার করার বৈশ্লেষণিক পদ্ধতিকে বলে তেজস্ক্রিয়মিতিক অনুমাপন। এর একটি সুন্দর উদাহরণ $^{110}\text{AgNO}_3$ ব্যবহার করে ক্লোরাইডের পরিমাপন। AgCl হিসাবে দূরীভূত হওয়ার ফলে AgNO_3 দ্রবণের তেজস্ক্রিয়তা হ্রাসের থেকে খুব স্বল্প পরিমাণ Cl ও জানা যাবে তেজস্ক্রিয়মিতিক অনুমাপনে প্রান্তবিন্দু নির্ণয়ের ক্ষেত্রে ক্রমাগত দ্রবণের এবং/বা অধক্ষিপের তেজস্ক্রিয়তা মাপা হয়। $^{110}\text{AgNO}_3$ দ্রবণ ও Cl দ্রবণের অনুমাপনের ক্ষেত্রে অনুমাপক (titrant) ও বিশ্লেষ্য (analyte) দ্রবণের উপর নির্ভর করে বিভিন্ন ধরনের লেখচিত্র পাওয়া যায়, তা থেকে প্রান্তবিন্দু নির্ণীত হয়। যেমন :



$^{110}\text{AgNO}_3$ অনুমাপন হিসেবে ব্যুরেটে নেওয়া হল, আর Cl বিশ্লেষ্যরূপে নিচে নেওয়া হলে লেখচিত্র হবে চিত্র 10.9-এর মত।

আরেকটি উদাহরণ নেওয়া যাক। কঠিন $^{110}\text{AgI}_3$ কে নির্দেশক হিসাবে ব্যবহৃত করে ই-ডি-টি-এ (EDTA) দ্রবণ দিয়ে Ca^{2+} অনুমাপনের সময়, প্রান্তবিন্দুতে ক্ল্যারিটের EDTA দ্রবণ যখন সব Ca^{2+} -এপ সঙ্গে জটিল দ্রবণ তৈরি করে ফেলেবে, তখন অনুমাপক EDTA দ্রবণ AgI_3 কে দ্রবীভূত করবে আর দ্রবণের তেজস্ক্রিয়তা বাড়বে (চিত্র 10.10).

এভাবে জারণ-বিজারণ অনুমাপন বা জ্বলতর (nonequations) দ্রাবকে অল্পমাত্রার ক্ষেত্রে তেজস্ক্রিয়মিতির ব্যবহার হতে পারে।

10.12 ইউরেনিয়ামোত্তর মৌলসমূহ (Trans Uranium elements, Transuranic)

10.13 সারাংশ

তাহলে এবার আসুন, এই এককটি পড়ে আমরা কী জানলাম একটু সংক্ষেপে বালিয়ে নিই।

মৌলের দুটি অংশ—ইলেকট্রন কক্ষকমহল ও কেন্দ্রক। কেন্দ্রকের ব্যাসার্ধ খুবই ছোট - 10^{-15} মিটার ক্রমের। ঘনত্ব কেন্দ্রকের প্রকৃতি নিরপেক্ষ এবং খুব বেশি -10^{17} কিগ্রা মি³

আজ পর্যন্ত প্রায় তিনশরও বেশি অবপারমাণবিক কণা আবিষ্কৃত হয়েছে। তার মধ্যে ইলেকট্রন, প্রোটন ও নিউট্রন মৌলকণা। গড় আয়ুষ্কাল 10^{-22} সেকেন্ডের বেশি হলে তাকে সত্যিকারের কণা বলা হয়। পদার্থের মৌলিকতম কণা কোয়ার্ক।

পারমাণবিক সংস্থা মৌলের মৌলিকত্ব নির্ধারণ করে। Z ও N-এর অনুপাত কেন্দ্রকের স্থায়িত্ব নির্ণয় করে। মৌলতত্ত্বের সাহায্যে এই অনুপাতের ভূমিকা ব্যাখ্যা করা যায়।

নিউট্রন ও প্রোটন উভয়েরই সংখ্যা যুগ্ম হলে কেন্দ্রক সুস্থিত হয়, উভয়ই অযুগ্ম হলে অণুস্থিত এবং একটির সংখ্যা যুগ্ম ও অপরটি অযুগ্ম হলে সুস্থিতি মাঝামাঝি।

নিউট্রন-প্রোটন অনুপাত থেকে বিভিন্ন ধরনের বিভাজনের ধারণা পাওয়া যায়।

কেন্দ্রকীয় বল খুব স্বল্প (10^{-15} মি.) দূরত্বে ক্রিয়াশীল এবং তা আধান নিরপেক্ষ। এর প্রকৃতি ব্যাখ্যারজন্য বিভিন্ন তত্ত্ব উপস্থাপিত হয়েছে। এর মধ্যে আছে সংকুলান ভগ্নাংশ, কেন্দ্রকীয় বন্ধন-শক্তি, মেসন তত্ত্ব ও যাদুসংখ্যা তত্ত্ব সমূহ।

কেন্দ্রকে মৌল কেন্দ্রকণা কীভাবে সজ্জিত থাকে—তারও একাধিক তত্ত্ব আছে। সবচেয়ে পুরানো ক্রেডক-কাঠামো রাদারফোর্ড পরিকল্পিত প্রোটন-ইলেকট্রন কাঠামো। যাদুসংখ্যার ব্যাখ্যা করতে গিয়ে কক্ষ-কাঠামো পরিকল্পিত হয়েছে। এতে বলা হয় ইলেকট্রনের মত কেন্দ্রকগুণিও

10.13 পারমাণবিক বিকীর্ণ সংকট (Nuclear/Radiation Hazards)

পারমাণবিক শক্তি বিস্তীর্ণ ব্যবহারের পথে সবচেয়ে বড় বাধা হল বর্জ্য পদার্থের অপসারণ সমস্যা। তাছাড়া পারমাণবিক চুল্লী থেকেও কিছু রশ্মি বিকীর্ণ হয়, এগুলো থেকে মানুষ ও মনুষ্যেতর প্রাণী, তথা সমগ্র জীবকুল ও পরিবেশের উপর সমূহ ক্ষতির সম্ভাবনা। এ ক্ষতি যে কতটা ভয়ানক হতে পারে তা আমাদের চোখে আঙুল দিয়ে দেখিয়ে দিয়েছে গত মহাযুদ্ধের অবসানের লগ্নে জাপানের হিরোশিমা (6 আগস্ট, 1945) ও নাগাসাকি (9 আগস্ট, 1945)-তে পরমাণু বোমা বিস্ফোরণজনিত ভয়ানক অভিজ্ঞতা।

পরমাণুর বিসর্জনের ফলে কিছুসংখ্যক বিভাজন খণ্ডাংশ (Fission fragments) ও নিউট্রন সৃষ্টি হয়। খণ্ডাংশগুলি তেজস্ক্রিয় এবং তারা β ও γ -রশ্মি বিকীর্ণ করে। এগুলি নিউট্রন জীবজগতের পক্ষে খুবই ক্ষতিকর। x -রশ্মি ও ত্বরক যন্ত্র থেকে নির্গত উচ্চ আধানসম্পন্ন অপর কণাসমূহকেও এদের শ্রেণীভুক্ত করতে হবে।

উচ্চশক্তিসম্পন্ন রশ্মিগুলি জীবিত কোষের জটিল অণুগুলিকে ভেঙ্গে ফেলে, পলে এগুলো নষ্ট হয়ে যায়। এই ক্ষতিকর প্রভাব রশ্মির আয়ন সৃষ্টির ক্ষমতার উপর নির্ভর করে। α -কণার এই ক্ষমতা অন্য তেজস্ক্রিয় রশ্মির চেয়ে বেশি। যেমন U, Th প্রভৃতি নিয়ে গবেষণা করার সময় তেজস্ক্রিয় Rn গ্যাস নিশ্বাসের সঙ্গে শরীরে ঢুকে গবেষকদের যথেষ্ট ক্ষতি করেছে একসময়। ইউরেনিয়াম খনিতে কর্মরত শ্রমিকদের (যদুগোড়ায় যেমন) উপরও এর ক্ষতিকর প্রভাব দেখা গেছে। দশ বছর ধরে এই খনিতে কাজ করলে ফুসফুসের ক্যান্সারের প্রভূত সম্ভাবনা। তবে বর্তমানে নিবর্তনমূলক ব্যবস্থা নেওয়া হচ্ছে। কেরলের কোচিন অঞ্চলে মোনজাইমের উপস্থিতির দ্রুপ লিউকেমিয়ার প্রকোপ বেশ বেশি।

তবে α -র ভেদন ক্ষমতা বেশ কম। তাই দেহাভ্যন্তরে না ঢুকলে ক্ষতির সম্ভাবনা কম। অপরদিকে β -রশ্মি আঁকাবাঁকা পথে চলে বলে চামড়া ভেদ করে বেশিদূর যেতে পারে না, আবার এর আয়নিতকরণের ক্ষমতাও α থেকে কম; তাই α -থেকে বেশি ভেদনক্ষমতা থাকা সত্ত্বেও β র ক্ষতিকর প্রভাব কম।

নিউট্রনের আয়নিতকরণের ক্ষমতা নেই সত্য, কিন্তু (n,Ph), (n, γ) প্রভৃতি বিক্রিয়া ঘটে বলে নিউট্রন জীবদেহের ক্ষতি করে। এই p ও γ -ই যত ক্ষতির মূল।

কম পরিমাণ কেন্দ্রকীয় বিকীর্ণ শরীরের বিশেষ ক্ষতি করে না। সত্যি বলতে কী, মহাজাগতিক রশ্মি ও ভূপৃষ্ঠের প্রাকৃতিক ঘটনাবলীর প্রভাবে উৎপন্ন পারমাণবিক রশ্মি সবসময়ই আমাদের উপর পড়ছে, কিন্তু তাতে বিশেষ ক্ষতি হচ্ছে না। তীব্র শক্তিসম্পন্ন রশ্মির দীর্ঘ প্রভাব রক্তাশ্রিতা, লিউকেমিয়া, মারণ টিউমার প্রভৃতি রোগ ঘটায়। তাছাড়া জীবিত কোষের দ্রুত পরিবর্তন ঘটে। মৃদু রশ্মি দীর্ঘ প্রভাব বমিবমিভাব, ক্ষুধামান্দ্য দেখা যেতে পারে। এছাড়া বিভিন্ন পরিমাণ বিকীর্ণ ফলে বন্ধ্যাত্ব, পুরুষত্বহীনতা, বিভিন্ন চর্মরোগ, বিভিন্ন ধরনের ক্যান্সার চুল ওঠা নাক দিয়ে রক্ত পড়া, ফুসফুস-যকৎ-বৃক্কের অসুখ, বিভিন্ন ধরনের বাত এবং নানা এখনও-অজানা

(যেমনটি মাদাম ক্যুরির বেশি বয়সে হয়েছিল) নানা উপসর্গ দেখা যায়। ভয়ের কথা এই যে নিউট্রন-বিকীরণে কোন বেদনা অনুভূত হয় না। কাজেই তেজস্ক্রিয় পদার্থ নিয়ে যাঁরা কাজ করেন তাঁদের স্বাস্থ্যের ধারাবাহিক পরীক্ষা (monitoring)-র ব্যবস্থা রাখা দরকার।

পরমাণু চুল্লিতে কাজ করলে যাঁরা—তাদের প্রত্যেকের নিজস্ব ‘ব্যাঞ্জ’ থাকে—তা পরীক্ষা করে শোষিত বিকীরণের পরিমাণ নির্ণীত হয়।

তেজস্ক্রিয় দূষণ প্রতিরোধের জন্য পরমাণুচুল্লি মোটা কংক্রীটের দেওয়ালে মোড়া থাকে। মাঝে মাঝে বিভাজন অংশ (fission fragments) পৃথক করে নিতে হয়—নতুনবা চুল্লি ভাল কাজ করবে না। এই পৃথকীকরণের সময় বিশেষ সতর্কতা নিতে হয়। দূর-নিয়ন্ত্রণ কৌশলে এই ব্যবস্থা করা হয়। সত্যি বলতে কী, এই তেজস্ক্রিয় বর্জ্য পদার্থ বিষয়ক সমস্যাই পারমাণবিক শক্তি উৎপাদনের সবচেয়ে সমস্যাঙ্কুল দিক।

বিকীরণ মাত্রা

তেজস্ক্রিয় বিকীরণ শোষণের পরিমাণ বা এর নিয়ন্ত্রণ করার জন্য সবচেয়ে আগে দরকার এর মাত্রা (dosage) নির্ধারণ। γ -রশ্মি, x -রশ্মি প্রভৃতি তড়িচ্চুম্বকীয় বিকীরণ মাপার স্বীকৃত একক হল রঞ্জন (Rontgen)। যে পরিমাণ রশ্মি থেকে উৎপন্ন ইলেকট্রন 0.001393 গ্রা. বায়ুতে। ই-এস্-ইউ ঋণাত্মক বা ধনাত্মক আধান উৎপন্ন করতে পারে, তাকে এক রঞ্জন (IR) বলা হয়। IR প্রতি গ্রাম বায়ুতে 83.8 আর্গ শক্তি সঞ্চয়ের সমান।

এ থেকে এসেছে REP (রেপ) (Rontgen equivalent physical বা রঞ্জনের ভৌত সমতুল্যতা) একথা একক। প্রতিগ্রাম বাতাস বা মানবকলাতলে (hssve) IR তড়িচ্চুম্বকীয় বিকীরণকে পরিমাণ শক্তি ব্যয় করে তাকে বলা হয় 1 REP।

আরেকটা এক হল র্যাড (RAD)। এক গ্রাম পদার্থে 100 আর্গ শক্তি সঞ্চারিত করে যে পরিমাণ বিকীরণ তাকে বলে 1 RAD।

বিভিন্ন ধরনের রশ্মির আয়ণিতকরণের ক্ষমতা বিভিন্ন। এক প্রকাশ করা হয় RBE (Relative biological effective ness) সংখ্যা দ্বারা। যেমন, $\beta/\gamma/x$ -রশ্মির REB সংখ্যা 1, α বা দ্রুত নিউট্রনের 10, আর বিভাজন খণ্ডাংশের 20।

অনুমোদিত বিকীরণ মাত্রা প্রকাশ করা হয় REM (রেম, Rontgen Equivalent Man) এককে।
 $REP = REP \times RBE$ । সাধারণত মনে করা হয় যে শরীরের 5 সেমি-র বেশি গভীরতায় প্রতি সপ্তাহে 100 মিলিয়াম সর্বাধিক অনুমোদিত মাত্রা।

বর্তমান REM সংজ্ঞায়িত হয় এভাবে : $REM = RBE \times RBE \times rad$. বিকীরণ মাত্রার SI একক সিয়েভার্ট (sievert). সিয়েভার্ট = REB \times গ্রে (Gray) 1 গ্রে = 100 rad। সিয়েভার্ট = 100 রেখ।

চিকিৎসক ও তেজস্ক্রিয়বিদরা বলেন যে 10,000 বেশ-এ 50% ক্ষেত্রে মৃত্যু ঘটে। 100-300 রেখ জীবজগতের উপর যথেষ্ট ক্ষতিকর প্রভাব ফেলে।

এসব ক্ষেত্রে ICRP (International Commission for Radiological Protection) মানুষের সহনীয় তেজস্ক্রিয়তা শোষণের সর্বোচ্চ সীমা ধরেছেন বছরে 0.2 রেখ। হাসপাতালে ও চিকিৎসাকেন্দ্রের x-রশ্মি বিভাগ, পরমাণু চুল্লিতে, ইউরেণিয়াম খনিতে এবং পরমাণু চুল্লির জ্বালানী প্রস্তুতির কারখানায় কর্মরত লোকজন বছরে 2 রেখ বিকীরণ শোষণ করেন।

আমাদের শরীরে সেকেন্ডে 15000 তেজস্ক্রিয় কণা এসে পড়ছে। এদের উৎস নিম্নরূপ :

কাঠ/কংক্রীটের বাড়ি, দুধ, বীয়ার, রেডিয়াম-ডায়াল ঘড়ি, রঙিন টিভি (রঙিন টি-ভি থেকে বছরে 3 মাইক্রো-সিয়েভার্ট বিকীরণ আসে)

মহাজাগতিক রশ্মি। এ থেকে আবার বেশি ক্ষতি হয় (i) আন্তর্মহাদেশীয় উড়ানে (ভূপৃষ্ঠের 12000 মি. উপর দিয়ে চলে যখন 5 মাইক্রো-সিয়েভার্ট ঘণ্টায়)

সুপারসনিক (শব্দের চেয়ে দ্রুত) বিমানে (ভূ-পৃষ্ঠের 12000-20000 মি. উপরে চলে, ঘণ্টায় 13 মাইক্রো-সিয়েভার্ট।

পরীক্ষায় দেখা গেছে লন্ডন/নিউইয়র্কে ভূপৃষ্ঠে তেজস্ক্রিয়তা যেখানে বছরে 0.2 রেম, ভারতবর্ষের কেরলে 0.4-3.25 রে।

দুর্ঘটনা :-

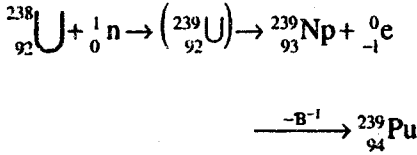
পরমাণু-শক্তি উৎপাদনে সবচেয়ে ভীতিকর দিক হচ্ছে যে এই যে চুল্লিতে শক্তি-উৎপাদন নিয়ন্ত্রণের বাইরে চলে গেলে দুর্ঘটনা ঘটতে পারে। ছোটখাটো দুর্ঘটনা প্রতিটি পরমাণু-শক্তি উৎপাদক দেশেই ঘটেছে। তবে এখন পর্যন্ত দুটি মারাত্মক দুর্ঘটনা নথিবদ্ধ হয়েছে।

(i) মার্কিন যুক্তরাষ্ট্রের প্লিমাইল দ্বীপ-এর দুর্ঘটনা (28 মার্চ, 1979)। চুল্লির প্রাথমিক শীতকনলের কাজ বিঘ্নিত হওয়ায় এই দুর্ঘটনা ঘটে। পরিবেশ দূষণমুক্ত করতে দীর্ঘ সময় লেগেছিল।

(ii) ভূতপূর্ব সোভিয়েট রাশিয়ার ইউক্রেন-এর টেনোবিল-এ ভি-আই-লেনিন পরমাণু শক্তি কেন্দ্রের দুর্ঘটনা (26 এপ্রিল, 1986)। এতে চারটি চুল্লির একটি অংশত গলে যায় ও অপরাংশ উড়ে যায়। 203 জন কর্মচারী বিকীরণ জনিত অসুখে পড়ে আর সরকারী হিসাবে 31 জন মারা যায়।

10.12 ইউরেনিয়ামোক্তর মৌলসমূহ

1930-এর দশক থেকেই কৃত্রিম মৌল তৈরির প্রচেষ্টা বিজ্ঞানীদের পেয়ে বসেছিল। আপনারা জেনেছেন কীভাবে ফার্মি ইউরেনিয়ামোক্তর মৌল তৈরি করে ফেলেছেন বলে বিশ্বাস করেছিলেন, কিন্তু তার কাজ প্রকৃতপক্ষে তার অজান্তে সূচনা করল আরেক যুগান্তকারী আবিষ্কার কেন্দ্রীয় বিভাজনের পরে দেখা গেল ^{238}U দ্রুতগতি সম্পন্ন নিউট্রনের সঙ্গে সংঘর্ষে বিভাজন ঘটায়। আর শ্লথ নিউট্রনের সঙ্গে ইউরেনিয়ামোক্তর মৌলের জন্ম দেয়।



তিনটি বিশেষ আবিষ্কার বৈজ্ঞানিকদের এই প্রচেষ্টাকে উজ্জীবিত ও ত্বরান্বিত করে :

- কৃত্রিম তেজস্ক্রিয় তার আবিষ্কার (আইরিন কুরিজোলিও ও এফ জোলিও কুরি),
- প্রক্ষিপ্য কণা হিসাবে নিউট্রনের সর্বাধিক দক্ষতা
- সাইক্লো ট্রন ত্বরকের আবিষ্কার (লরেন্স)

50 বছরের (1940-90) দীর্ঘ প্রচেষ্টার ফলশ্রুতি হল 93-105 পারমাণবিক সংখ্যার মৌলসমূহের আবিষ্কার (সারণি 10.6— 106-109 অসমর্থিত।

এই মৌলগুলি প্রকৃতিতে থাকে না। কেবল যৎসামান্য Pu প্রকৃতিতে আছে, ধারণা হয় যে সৃষ্টিত মৌলের কেন্দ্রকে মহাজাগতিক রশ্মির (cosmicray) অবিগাতে এটি সৃষ্ট। মনে করা যেতেই পারে যে এই কৃত্রিমভাবে সংশ্লেষিত ইউরেনিয়ামের মৌলগুলি পৃথিবীর আদিতে অবস্থাতে ছিল, কিন্তু কালক্রমে বিঘটিত হয়ে নিঃশেষ হয়ে গেছে।

সারণি-10.6.

ইউরেনিয়ামোক্তর মৌলসমূহ

নাম/প্রতীক	আবিষ্কার	প্রস্তুতি-পদ্ধতি	অর্ধায়ু বিঘটন	সৃষ্টিতম	
	আবিষ্কারের বছর		প্রক্রিয়া	সমঘর	
নেপচুনিয়াম	E. M Melillan	$^{238}\text{U} + (\text{n},\text{B})$	^{239}Np	23 মিনি $-\beta$	237 Np

Np	P. H. Abelson	${}_{92}^{236}\text{U} (n, 2n) {}_{92}^{237}\text{U}$	2.14×10^6 বছর	$-\alpha$
a ³	1940	7 দিন ${}_{93}^{237}\text{Np}$		
প্লুটোনিয়াম	Seaborg, Wshl	${}_{92}^{238}\text{U} (d, 2n) {}_{93}^{238}\text{Np}$	90 বছর	$-\alpha$ ${}_{94}^{239}\text{Pu}$
Pu	E. M. MCMillan	$\xrightarrow{-C} {}_{94}^{238}\text{Pu}$	24,300 বছর	
a ₄	J. Kennedy	90 বছর		
	1940			
আমেরিসিয়াম	Seaborg, R. A Jawes	${}_{92}^{238}\text{U} (\alpha, n) {}_{94}^{241}\text{Pu}$	433 বছর	$-\alpha$ ${}_{95}^{243}\text{Am}$
Am	L. O. Morgan	$\xrightarrow{-B^-} {}_{95}^{241}\text{Am}$	8000 বছর	
a ₃	1944			
ক্যুরিয়াম	Seaborg, Jawes	${}_{94}^{239}\text{Pu} (\alpha, n) {}_{96}^{242}\text{Cm}$	162 দিন	$-\alpha$ ${}_{98}^{248}\text{Cm}$
Cm	A. Ghiorso		4.7×10^5 বছর	
	1944			
বার্কেলিয়াম	S. G. Thomson	${}_{95}^{241}\text{Am} (\alpha, 2n) {}_{99}^{243}\text{Bk}$	4.6 ঘ	B, EC ${}_{101}^{247}\text{Bx}$
Bx	Ghiorso,		7×10^3 বছর	
a ₇	Seaborg			
	1949			

কালিফোর্নিয়াম	Thomson,	${}_{96}^{242}\text{Cm} (\alpha, 2n)$	${}_{98}^{244}\text{cf}$	45 মি	$-\alpha,$	${}^{252}\text{cf}$
	K. Street					800 বছর
	Chiorso					
	Seaborg					
আইনস্টাইনিয়াম	আমেরিকায়	${}_{92}^{238}\text{U}({}_{96}^{242}\text{N}, 5n)$	${}_{99}^{237}\text{En}$	73 মি	$-\alpha,$	${}^{252}\text{En}$
a, En	H-বোমার					40 দিন
	ধ্বংসস্তূপে					
	আবিষ্কৃত হয়					
	1952					
ফার্মিয়াম	En-এর সঙ্গে	${}_{92}^{238}\text{U}({}_{100}^{16}\text{O}, 4n)$	${}_{100}^{250}\text{Fm}$	30 মি	$-\alpha,$	${}^{252}\text{En}$
100^{Fn}	একইভাবেব আবিষ্কৃত					79 দিন
	হয়					
	1952					
মেগেলিভিয়াম	Chiorso,	${}_{99}^{253}\text{Es}(2^4\text{He}, 2n)$	${}_{101}^{255}\text{Mv}$	30 মি	Ec	${}^{256}\text{Mv}$
${}_{101}\text{Mv}$	B. G. Hargey,					15 ঘ.
	G. R. Choppin,					
	Thomson,					

Seaborg

1955

নোবেলিয়াম G. N. Glerov, $^{241}_{94}\text{Pu} \left(^{16}_8\text{O}, 4 - 5^1_0\text{n} \right) ^{252/253}_{102}\text{No}$ 95 শে $-\alpha$, ^{250}No
 ^{102}No ও সহকর্মীরা 58 মি

1958

লরেঙ্গিয়াম Chiorso, $^{250-251}_{98}\text{Cf} \left(^{11}_5\text{B}, 5\text{n} \right) ^{257}_{103}\text{Lr}$ 8 শে $-\alpha$, ^{260}Lr
 ^{103}Lr T. Sikkeland 3 মি.

A. E. Larsh

R. M. Latimer

1961

কুর্টটোভিয়াম Flevrov, $^{242}_{94}\text{Pu} \left(^{22}_{10}\text{Ne}, 4 - 5^1_0\text{n} \right) ^{259/260}_{104}\text{Ku}$ 0.3 শে $-\alpha$, ^{261}Ku
(Ku) ও সহকর্মীরা 65 মি.

উনুনিল

কুয়াজিয়াম, Unq

(104) 1964-66

হানিয়াম (Ha) ঐ $^{243}_{95}\text{Am} \left(^{22}_{10}\text{Ne}, 4 - 5^1_0\text{n} \right) ^{260/261}_{105}\text{Ha}$ 0.1 ^{262}HA

পেন্টিয়াম, (Unp)

(105)

ডুবনিয়াম (Du) Dubna থেকে

²⁶³Du

উন্নিল 1976

0.9 সে

কিসিয়াম, (Unh) অসমর্থিত

(106)

বিভিন্ন কক্ষ ও কক্ষকে নির্দিষ্ট নিয়ম মেনে সজ্জিত থাকে। কথা পূর্ণ হলে কেন্দ্রক সৃষ্টি হয়। পূর্ণ কক্ষের কেন্দ্রকণ সংস্থাই সহসংখ্যা।

তরল ফোঁটা কাঠামোয় কেন্দ্রকে একটি তরলের ফোঁটার মত মনে করা হয়। কেন্দ্রকীয় উপস্থিতি, বিশেষ করে বিভাজন ব্যাখ্যার জন্য এই তত্ত্ব উপযোগী। সমন্বিত কাঠামো তত্ত্ব এক্ষেত্রে আধুনিকতম সংযোজন।

বহু সংখ্যক কৃত্রিম কেন্দ্রকীয় বিক্রিয়া (কেন্দ্রকীয় উপস্ফুতি) ঘটানো হয়েছে। রাদারফোর্ডই প্রথম এই ঘটনা ঘটান। এতে α -কণা, প্রোটন, ডয়েটেরন, নিউট্রন (আধানবিহীন হওয়ায় সবচেয়ে উপযোগী), এমন কী γ -রশ্মিও ব্যবহৃত হয়েছে। কিছু বিশেষ উপস্ফুতিতে কৃত্রিম তেজস্ক্রিয়তা পরিলক্ষিত হয়।

উপস্ফুতিতে লক্ষ্যবস্তু প্রক্ষিপ্ত কণা শোষণ করে যৌগিক কেন্দ্রক গঠন করে, পরে তা উদ্দীপন শক্তির তারতম্য অনুসারে বিভিন্নভাবে ভেঙে যায়।

স্প্যালেশন, বিভাজন ও সংযোজন বিশেষ তিন ধরনের উপস্ফুতি। বিভাজনই পারমাণবিক বোমা ও পারমাণবিক চুম্বীয় মূলনীতি। সংযোজন আছে হাইড্রোজেন বোমা ও নক্ষত্রের শক্তির মূলে। উপস্থিতির মাধ্যমে কৃত্রিম ইউরেনিয়ামোসুর মৌলসমূহ তৈরি করা সম্ভব হয়েছে।

মৌলের সমঘরসমূহের স্বাভাবিক সমঘরীয় সংযুতি পরিবর্তন করে যে বৈশ্লেষণিক কৌশল আবিষ্কৃত হয়েছে তাকে ট্রেসার কৌশল বলে। এর প্রধান কয়েকটি রকমের তেজস্ক্রিয় ক্রোমাটোগ্রাফি, সমঘর লঘুকরণ বিশ্লেষণ, নিউট্রন উজ্জীবন বিশ্লেষণ, নিউট্রন শোষণমিতি ও তেজস্ক্রিয়মিতিক অনুমাপন।

1930 থেকে কৃত্রিম মৌল তৈরির প্রচেষ্টা চলছিল ফার্মির প্রচেষ্টার পর প্রায় পঞ্চাশ বছরে 14টিরও বেশি ইউরেনিয়ামের মৌল কৃত্রিমভাবে তৈরি হয়েছে।

10.14 প্রান্তিক প্রশ্নাবলী

1. প্রমাণ করুন যে কেন্দ্রকের ঘনত্ব মৌলের প্রকৃতির উপর নির্ভর করে না।
2. ম্যাগনেসিয়ামের ব্যাসটি 4.2 fm হলে এর কেন্দ্রকের ঘনত্ব বের করুন।
3. C^{12} কেন্দ্রকের আনুমাড়িক ঘনত্ব বের করুন।
4. প্রাকৃতিক ম্যাগনেসিয়ামে 78.6% ^{24}Mg , 10% ^{25}Mg ও 11.3% ^{26}Mg আছে। Mg -এর গড় পারমাণবিক ওজন কত হবে?
5. সংকুলন ভগ্নাংশ ও কেন্দ্রকীয় বন্ধনশক্তি বলতে কী বোঝেন? দেখান যে দ্বিতীয়টি প্রথমটি অপেক্ষা তাত্ত্বিক দিক থেকে বেশি গ্রহণীয়।
6. উদাহরণ সহ ব্যাখ্যা করুন : সমঘর, সমভর, সমকণ, কেন্দ্রীয় সমাবয়ব ও সমসমঘর ভেদ।
7. দেখান : কেন্দ্রকের ঘনত্ব সীসার (113 গ্রা. সেমি³) করেও বহুগুণ বেশি।
8. সীক লিখুন : (i) কেন্দ্রকীয় বিভাজন (ii) কেন্দ্রকীয় সংযোজন।
9. কৃত্রিম তেজস্ক্রিয়তার উপর একটি আলোচনা লিখুন।
10. ট্রেসার কাকে বলে। বিভিন্ন ট্রেসার কৌশল আলোচনা করুন।
11. $^{110}AgNO_3$ দ্রবণ বীকারে নিয়ে ব্যুরেটে থেকে Cl দ্রবণ ঢেলে তেজস্ক্রিয়মিতিক অনুমাপনে অনুমাপকের আয়তন বনাম স্বচ্ছ অগ্রভাগীয় (Supernatant) তরলের তেজস্ক্রিয়তা লেখ-চিত্র কীরূপ হবে ব্যাখ্যা করুন।
12. একটি পরমাণু ^{235}U -এর বিভাজনে 200 Mev শক্তি উৎপন্ন হয়। 1 ওয়াট ক্ষমতা পেতে সেকেন্ডে কয়টি বিভাজন প্রয়োজন হবে? 1 গ্রাম ইউরেনিয়ামের বিভাজনে কত জুল শক্তি পাওয়া যাবে?
13. ^{235}U এর সঙ্গে একটি নিউট্রনের অভিঘাতে 96 ও 138 ভর-সংখ্যা বিশিষ্ট দুটি অংশ এবং দুটি নিউট্রন উৎপন্ন হয়। বিভিন্ন কেন্দ্রকের ভর 235.1175, 95.9386 ও 137.9487 এবং নিউট্রনের 1.00898 পারমাণবিক ভর একক হলে উৎপন্ন শক্তির পরিমাণ বের করুন।
14. একটি স্বল্প নিউট্রন পারমাণবিক চুম্বীর ক্ষমতা 60,000 কিলোওয়াট ঘণ্টা। উৎপন্নশক্তির 20% তড়িৎ-শক্তিতে পরিণত হয়। প্রতিটি বিভাজনে 200 Mev শক্তি উৎপাদিত হলে বছরে কত ইউরেনিয়াম খরচ হয়? প্রাকৃতিক ইউরেনিয়াম 0.7% বিভাজনযোগ্য U থাকলে কতটা এই U খরচ হয়?

15. ${}^{40}_{18}\text{Ar}$ -এর সংকুলন ভগ্নাংশ, ভর-চ্যুতি ও কেন্দ্রকীয় বন্ধন শক্তি বের করুন।

দেওয়া আছে : আর্গনের সমঘরীয় ভর = 39.962384 পাঃ ভর একক;

H-পরমাণুর ভর = 1.007825 পাঃ ভর একক;

নিউট্রনের ভর = 1.008665 পাঃ ভর একক।

16. Li, He ও প্রোটনের ভর যথাক্রমে 7.01823, 4.00387 ও 1.00 815 পাঃ ভর একক। তাহলে

$7\text{Li} + {}^1_1\text{H} \rightarrow {}^7_2\text{He}$ এক শক্তি বিক্রিয়ায় শক্তির পরিমাম বের করুন।

17. একটি নিউট্রন ভেঙে একটি প্রোটন ও একটি ইলেকট্রন হয়। যদি ইলেকট্রন, প্রোটন ও নিউট্রনের ভর যথাক্রমে 9×10^{-31} , 1.6725×10^{-27} ও 1.6747×10^{-27} কিগ্রা হয় তবে উৎপাদিত শক্তি কত হবে?

18. ${}^{16}_8\text{O}$ পরমাণুর পরীক্ষালব্ধ ভর 15.99491 পাঃ ভর একক হলে কেন্দ্রকণ পিছু গড় বন্ধন শক্তি বের করুন।

10.15 উত্তরমালা

অনুশীলনী—1

1. কেন্দ্রকের আয়তন $\frac{4}{3} \pi R^3 = \frac{4}{3} \times 3.142 \times (5 \times 10^{-15})^3 \text{ মি}^3$

কেন্দ্রকের ভর = $\frac{27}{6.01 \times 10^{24}} \text{ কিগ্রা}$

\therefore ঘনত্ব = $\frac{27}{6.01 \times 10^{24}} + \frac{4}{3} \times 3.142 \times 1.25 \times 10^{-43}$

= $3.426 \times 10^{17} \text{ কিগ্রা. মি}^{-3}$

অনুশীলনী—২

1. পারমাণবিক ভর এককের অপর নাম ডালটন। এর মান : 1.66×10^{-27} কিগ্রা
2. পাঠ্যাংশ দেখুন।
3. (i) 2γ (ii) ${}_0^1n$
4. নিউট্রন আবিষ্কৃত হয়। জেম্ম্ স্যাডউইক

(b) শক্তি ভরে রূপান্তরতি হচ্ছে $\left(\Delta m = \frac{E}{c^2} \right)$

অনুশীলনী—৩

1. রকমভেদ

সমঘর

অভিন্ন

(i) পারমাণবিক সংখ্যা

(ii) প্রোটন সংখ্যা

(iii) ইলেকট্রন সংখ্যা

(iv) ইলেকট্রন বিন্যাস

(v) রাসায়নিক ধর্ম

(vi) পর্যায়ছকে অবস্থান

ভিন্ন

(i) ভরসংখ্যা

(ii) নিউট্রনসংখ্যা

(iii) ভৌতধর্ম

সমভর

(i) ভরসংখ্যা

(ii) কেন্দ্রকণ সংখ্যা

(i) পারমাণবিক সংখ্যা

(ii) প্রোটন, ইলেকট্রন, নিউট্রন সংখ্যা

(iii) ইলেকট্রন বিন্যাস

(iv) রাসায়নিক ধর্ম

(v) ভৌত ধর্ম

(vi) পর্যায়ছকে অবস্থান

$$2 \quad 10.81 = \frac{10.01 \times x + (100 - x) \times 11.01}{100} \therefore x = 20$$

[$x = 10.01$ পাঃ ভর বিশিষ্ট

সমঘরের শতকরূপ পরিমাণ]

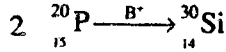
10.01 পাঃ ও বিশিষ্ট সমঘরের শতকরা পরিমাণ 20

এবং 11.01 পাঃ ও বিশিষ্ট সমঘরের শতকরা পরিমাণ 80

3. (a) B (b) A, B, C 5. (i) ফেল্টন (ii) কেন্দ্রকক্ষ

অনুশীলনী—4

1. (B)



অনুশীলনী—5

$$1. f = \frac{4.002603 - 4}{4} \times 10^4 = \frac{0.002603}{4} \times 10^4 = 0.000651 \times 10^4 = 6.51$$

ধারণা হয় যে কেন্দ্রক অবস্থিত। কিন্তু প্রকৃতপক্ষে এটি অত্যন্ত সুস্থিত। প্রকৃত f বের করুন (গুণনাংশ দেখুন) প্রকৃত f ঋণাত্মক বলে কেন্দ্রক সুস্থিত।

অনুশীলনী—6

1. গ্যাস্টনের ভরসংখ্যার তাত্ত্বিক তাৎপর্য নেই। তাই সংকুলন ভগ্নাংশও অনেকটা কল্পিত রাশি। দেখা যায় ছোট কেন্দ্রগুলির ($\text{He}, \text{B}, \text{C}$ ইত্যাদি) ক্ষেত্রে সংকুলন-ভগ্নাংশ ধনাত্মক হওয়া সত্ত্বেও তারা সুস্থিত। বন্ধনশক্তির ক্ষেত্রে পরমাণুর প্রকৃত ওজন নেওয়া হয় বলে এটির তাত্ত্বিক তাৎপর্য বেশি।

2. গণনাংশ দেখে নিজে করুন। উত্তর হবে 8.543 Mev ; 1.37×10^{-12} হল। (মনে রাখবেন 10^8 আর্গ = 1 জুল)

3. উত্তর 4.5 Mev .

অনুশীলনী—7

1. পাঠ্যাংশ দেখুন। λ মারফৎ।

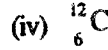
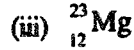
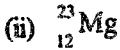
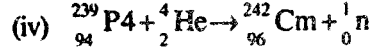
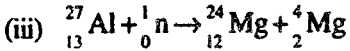
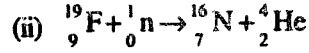
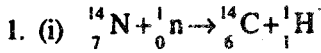
অনুশীলনী—8

1. N/Z অনুপাত থেকে। N/Z অনুপাত $> L$ হতে হবে। যুগ্ম-অযুগ্ম কেন্দ্রক নিয়ম থেকেও বোঝা যায়।

2. β^- , β^+

3. (B)

অনুশীলনী—9



অনুশীলনী—10

1. 4.10 অঙ্কের (c) দেখুন।

অনুশীলনী—11

এখানে $wa = 10.1$ মিগ্রা

$Sa = 128$ সি-পি-এম মিগ্রা⁻¹

$S = 68.3$ সি-পি-এম মিগ্রা⁻¹

$$\therefore w = \frac{10.2(128 - 68.3)}{68.3} = 8.83 \text{ মিগ্রা}$$

অনুশীলনী—12

(i) এখানে, $q = 10^{12}$, $t = 25.6$, $r = 98b$, $A = 197$

$$t_{1/2} = 64, \quad \theta = 1$$

$$\therefore S = \frac{0.602 \times 10^{12} \times 98}{3.7 \times 10^{10} \times 197} (1 - e^{-0.693 \times 25.6 / 64}) \text{ কুরি গ্রাম}^{-1}$$

$$= 8.09 (1 - e^{-0.277}) \text{ কুরি গ্রাম}^{-1}$$

$$= 1.96 \text{ কুরি গ্রা}^{-1}$$

(ii) $T \gg T_{1/2}$ হলে $e^{-0.693t/T_{1/2}} \rightarrow 0$ হয়। তখন $s = S_{\alpha}$

সম্পূর্ণ সক্রিয়তা।

এখানে সম্পূর্ণ সক্রিয়তা = 8.09 Cg^{-1}

প্রান্তিক প্রশ্নাবলি

1. 10.2.2 পাতা দেখুন।

2. অনুশীলনী 1-এর সম্পাদ্য দেখে নিজে করুন। উত্তর হবে 5.78×10^{17} কিগ্রা মি³

$$3. R^{12} = R_0 A^{1/2} = 1.4 \times 10^{-15} \times 12^{1/3}$$

$$v = \frac{4}{3} \pi R^3 = \frac{4}{3} \times 3.142 \times 1.4^3 \times (10^{-15})^3 \times 12$$

$$= 1.38 \times 10^{-43}$$

$$D = \frac{M}{V} = \frac{12}{1.38 \times 10^{-43} \times 6.02 \times 10^{26}} = 1.44 \times 10^{17} \text{ কিগ্রা মি}^{-3}$$

$$4. \frac{78 \cdot 6 \times 24 + 10 \cdot 1 \times 25 + 11 \cdot 3 \times 26}{100} = 24 \cdot 327.$$

5. 10.6.1 ও 10.62 পাঠ্যাংশ থেকে উত্তর সংগ্রহ করুন।

6. 10.4 অংশ দেখুন

7. 10.2.2 অংশ দেখুন

8. 10.10.4 ও 4.10.5 অংশ দেখুন।

9. 10.8 অংশ দেখুন।

10. 10.11 অংশ দেখুন।

11. ব্যাখ্যার জন্য 10.11.5 অংশ দেখুন। লেখচিত্র হবে এরূপ :

$$12. \text{ প্রতি পরমাণু U-এর বিভাজনে উৎপন্ন শক্তি} = \frac{200 \times 23000 \times 10^6}{6.03 \times 10^{23}} \text{ ক্যালোরি}$$

$$= \frac{46}{6.02} \times 10^{-12} \text{ ক্যালোরি} = 7.64 \times 10^{-12} \text{ ক্যালোরি}$$

$$1 \text{ ওয়াট} = 1 \text{ জুল প্রতি সে.} = \frac{1}{4.2} \text{ ক্যালোরি} \quad [4.2 \text{ জুল} = 1 \text{ ক্যালোরি}]$$

$$\therefore 1 \text{ ওয়াট ক্ষমতার জন্য প্রয়োজনীয় বিভাজন সংখ্যা} = \frac{1}{4.2 \times 7.64 \times 10^{-12}} = 3.12 \times 10^{10}$$

1 গ্রা. U-এ পরমাণু আছে $\frac{6.02 \times 10^{23}}{235}$ পরমাণু

$$\therefore 1 \text{ গ্রা. U-থেকে জুল-সংখ্যা} = \frac{6.02 \times 10^{23}}{235} \times 7.64 \times 10^{-12} = 8.2 \times 10^{10}$$

13. বিক্রিয়ক :

উদ্ভূত পদার্থ :

235.1175

95.9385

1.00898

137.9498

236.12648 পাঃ ভর একক

1.00898

-236.90516

1.00898

0.22132

235.90526 পাঃ ভর একক

$$\therefore \text{ভর-হ্রাস} = 0.22132 \times 931 = 20 \text{ Meu}$$

$$14. 60,000 \text{ কি. ওয়াট} = 6 \times 10^7 \text{ ওয়াট} = 6 \times 10^7 \text{ জুল সে}^{-1} = \frac{6 \times 10^7}{4.2} \text{ ক্যালোরি সে}^{-1}$$

$$= \frac{6 \times 10^7 \times 86400 \times 365}{4.2} = \text{ক্যালোরি বছর}^{-1} [4.2 \text{ জুল} = 1]$$

$$= 4.505 \times 10^{14} \text{ ক্যালোরি বছর}^{-1}$$

$$200 = \text{Meu} = \frac{200 \times 23000 \times 10^6}{602 \times 10^{23}} = 7.64 \times 10^{-12} \text{ ক্যালোরি}$$

$$\text{প্রয়োজনীয় বিভাজন-সংখ্যা} = \frac{4.505 \times 10^{14}}{7.64 \times 10^{-12}} = 5.897 \times 10^{25}$$

$$\therefore \text{U-এর ওজন} = \frac{5.897 \times 10^{25} \times 35}{6.02 \times 10^{23}} = 23000 \text{ গ্রাম} = 23 \text{ কিগ্রা।}$$

$$\text{U-এর প্রকৃত ওজন} = \frac{23 \times 100}{20} = 115 \text{ কিগ্রা।}$$

$$\text{প্রাকৃতিক U-এর ওজন} = \frac{115 \times 100}{0.7} = 16428.6 \text{ কিলো} = 16.4286 \text{ মেট্রিক টন।}$$

$$15. \text{ আর্গনের সমঘরীয় ভর} = 39.962384 \text{ পাঃ ভর একক}$$

$$\text{H-এর পরমাণুর ভর} = 1.007825 \text{ পাঃ ভর একক}$$

$$\text{নিউক্লনের ভর} = 1.008665 \text{ পাঃ ভর একক}$$

$$\text{আর্গন পরমাণুর ভর} = (18 \times 1.007825 + 22 \times 1.008665) = 40.33148 \text{ পাঃ ভর একক}$$

$$\text{ভরচ্যুতি} = (40.33148 - 39.962384) \text{ পাঃ ভর একক}$$

$$= 0.369096 \text{ পাঃ ভর একক}$$

$$\text{সংকুলন ভগ্নাংশ} = \frac{39.96234 - 40}{40} 10^4 = 9.4025$$

$$\text{কেন্দ্রীয় বন্ধন শক্তি} = 0.369096 \times 931 = 343.63 \text{ Mev}$$

$$16. 15\text{নং প্রশ্নোত্তর দেখে নিজে করুন। উত্তর } 17.354 \text{ Mev}$$

$$17. \text{ আগের সম্পাদ্য দুটির মত করুন। উত্তর } 0.73 \text{ Mev}$$

$$18. 15\text{নং প্রশ্নোত্তর দেখে নিজে করুন। উত্তর : } 7.99 \text{ Mev}$$

10.16 অতিরিক্ত সাহায্যকারী পুস্তকসমূহ

1. Physical chemistry : P. C. Rakshit, Saral Book Bouse (6th Edi)
2. General and Inorganic Chemitstry : P. K. Dutt. Sarat Book House
3. General and Inorganic Chemistry (Vol. 1) : R. Sarkar, Central Book Agency
4. Essentials of Nuclear Chemistry : H. J. Anhikar (4th Edi)
5. Atomic and Nuclear Physics (Vol. II) : S. N. Ghosal, Sultan Chand Co.
- 6 পরমাণুর নিউক্লিয়াস (দ্বিতীয় খণ্ড) এস. এন. ঘোষাল, রাজ্য পুস্তক পর্ষৎ
7. Nuclear Physics : Kaplan.

